

UNIVERSITATEA PETROL – GAZE PLOIEȘTI

M. V. BATISTATU

**ANALIZA CANTITATIVĂ
A BAZINELOR SEDIMENTARE**

Universitatea Petrol si Gaze Ploiesti



R000851375

**PLOIEȘTI
2000**

REFERENȚI ȘTIINȚIFICI:

Prof.dr.ing. I. MĂLUREANU
Conf.dr.ing. D. PRODAN

UNIVERSITATEA „PETROL - GAZE”	
BIBLIOTECA CENTRALĂ	
COTA	III 21290(1)
Nr. INVENTAR	313006

Editura UNIVERSITĂȚII "PETROL-GAZE" PLOIEȘTI

PREFAȚĂ

Științele geologice, parte integrantă a științelor naturii, au cunoscut, în ultimele decenii, progrese semnificative. Acestea au fost posibile datorită îmbogățirii tot mai rapide a materialului factual (date experimentale, de observație, din activități economice), perfecționării tehnologiilor de analiză și prelucrare a datelor și nu în ultimul rând interpretării informațiilor cu ajutorul sistemelor moderne de calcul care permit elaborarea unor modele tot mai performante capabile să se apropie de realitatea fenomenelor și proceselor geologice, de evoluția acestora în timp.

Multitudinea datelor și posibilitățile tot mai sofisticate de prelucrare și interpretare ale acestora au dus pe de o parte la studiul din ce în ce mai aprofundat al anumitor procese/fenomene geologice și pe de altă parte la delimitarea tot mai strictă a domeniilor de cercetare. În aceste condiții există riscul formării unor specialiști cu un spectru de activitate excesiv de specializat și care să nu mai poată percepe fenomenele geologice în întreaga lor complexitate și interdependență sau, într-o exprimare mai puțin științifică, "să nu mai vadă pădurea din cauza copacilor".

Corelarea și interpretarea informațiilor geologice, implică existența unor discipline cu caracter sumativ care să permită urmărirea, înțelegerea și estimarea evoluției unităților geologice majore ce alcătuiesc crusta și/sau globul terestru.

Prezenta lucrare își propune abordarea, unui domeniu de sinteză a cunoștințelor legate de formarea, caracterizarea și modelarea evoluției bazinelor sedimentare, unități geologice majore, ce acoperă mai bine de 2/3 din suprafața globului terestru.

Cursul fiind adresat în primul rând studenților din ultimul an al secției de geologia petrolului cuprinde mai multe părți distincte, fiecare dintre ele încercând să prezinte o sinteză a problematicii abordate.

Astfel, în prima parte sunt prezentate principalele tipuri de bazine sedimentare, caracteristicile morfologice, structurale și depozitionale ale acestora.

Secțiunea mediană abordează un domeniu relativ nou, mai puțin familiar geologilor români de petrol și anume analiza cantitativă a evoluției bazinelor sedimentare și principiile modelării acestora.

În ultima parte sunt tratate aspecte legate de relațiile dintre evoluția

bazinelor sedimentare și procesele de generare și acumulare a hidrocarburilor.

Având în vedere generozitatea scopului propus, respectiv multitudinea obiectivelor urmărite, fiecare dintre ele necesitând expunerea unui bogat material informațional, a fost necesară o prezentare sintetică a problemelor legate de evoluția bazinelor sedimentare.

Această abordare își propune în primul rând schițarea unui "algoritm" cât mai apropiat de realitatea fenomenelor și proceselor geologice, evident perfectibil, care să ghideze pe cei interesați spre studiul detaliat, aprofundat, al problematicii atât de complexe legate de bazinele sedimentare privite ca sisteme deschise, în continuă transformare și interacțiune cu factorii de mediu (interni și externi) de care sunt condiționate și pe care îi influențează.

Lucrarea poartă, cum era și firesc, amprenta experienței și modului de gândire al autorului ei, astfel că anumite modele propuse pot să nu concorde în totalitate cu opiniile și doleanțele celui ce o studiază și care, dispunând și de resurse informaționale mai bogate și/sau mai recente, poate aduce îmbunătățiri modului de abordare și modelelor prezentate de autor.

În încheiere doresc să reiterez faptul că această carte nu reprezintă decât un prim pas în studiul cantitativ al evoluției bazinelor sedimentare.

Autorul

CUPRINS

CAPITOLUL 1 Tipuri de bazine sedimentar	9
1.1. Introducere	9
1.2. Clasificarea bazinelor sedimentare	10
1.2.1. Bazine de sedimentare și tectonica plăcilor	10
1.3. Clasificarea tectonică a bazinelor	18
1.3.1. Bazine de sag continental	19
1.3.2. Bazine interne (continentale) fracturate	20
1.3.3. Bazine ale marginilor continentale pasive	23
1.3.4. Bazine de afundare (sag) oceanică	24
1.3.5. Bazine generate de subducție	25
1.3.6. Bazine formate prin coliziune	28
1.3.7. Bazine de strike-slip și wrench fault	30
1.4. Clasificarea tectono-sedimentară a bazinelor	31
1.4.1. Bazine pre-depoziționale	31
1.4.2. Bazine sin-depoziționale	32
1.4.3. Bazine post-depoziționale	32
1.5. Relația dintre bazinele sedimentare și mediul depozițional	33
CAPITOLUL 2 Mecanisme primare ale subsidenței bazinelor sedimentare	35
2.1. Izostazia	35
2.2. Flexurarea	40
2.3. Fluxul geotermic	41
2.4. Stressul intraplacă	44
CAPITOLUL 3 Analiza subsidenței bazinelor	46
3.1. Analiza geocronologică	46
3.1.1. Principii generale	46
3.1.2. Etapele construirii curbelor de subsidență	51
3.1.2.1. Acumularea sedimentelor	53
3.1.2.2. Decompactarea	54
3.1.2.3. Paleobatimetria	56
3.1.3. Exemplu de calcul	56
3.2. Calculul subsidenței tectonice	71
3.2.1. Backstripping	72
3.2.2. Exemplu de calcul	76
CAPITOLUL 4 Subsidența termală	79
4.1. Izostazia termală	79
4.2. Modelul de întindere simplă	79
4.3. Estimarea parametrilor subsidenței termale	88

4.4. Exemplu de calcul al subsidenței	91
4.5. Variațiile de nivel ale apei	93
4.6. Modelul cu întindere neuniformă	96
4.7. Modelul cu rată de întindere finită	99
4.8. Efectul conducerii laterale de căldură	101
CAPITOLUL 5 Flexura litosferei	105
5.1. Compensarea izostatică	105
5.2. Flexura plăcii elastice	106
5.3. Flexurarea simplă	109
5.4. Încărcarea cu apă și sedimente	112
5.5. Exemplu de calcul	113
5.6. Repartiția încărcăturii pe suprafață	115
5.7. Distribuția rectangulară a încărcării	117
5.8. Exemplu de calcul	120
5.9. Algoritm de calculare a flexurii	130
5.10. Backstripping flexural	135
5.11. Stratigrafia marginilor pasive	137
5.12. Stressul intraplacă	139
CAPITOLUL 6 Raporturi între aportul de sedimente, subsidență, variațiile eustatice și umplutara bazinelor	141
6.1. Factorii principali care controlează umplerea	141
6.2. Raporturi între aria sursă și volumul sedimentelor	143
6.2.1. Material predominant detritic	143
6.2.2. Sedimente chimice în locuri închise	146
6.3. Variația nivelului eustatic al apelor din bazin	148
6.3.1. Importanța ridicării și coborârii nivelului eustatic	148
6.3.2. Metode de măsurare a mărimii variației eustatice	148
6.4. Interacțiunea dintre sedimentație, subsidență și nivelul mării	152
6.5. Dispunerea secvențelor depoziționale	155
6.5.1. Relația subsidență/nivelul mării	155
6.5.2. Variațiile de subsidență și în alimentarea cu sedimente	156
6.6. Asociații de facies verticale și laterale	160
6.6.1. Evoluția faciesurilor pe verticală	160
6.6.2. Asociații verticale și laterale de facies	162
CAPITOLUL 7 POTENȚIALUL DE HIDROCARBURI AL BAZINELOR DE SEDIMENTARE	166
7.1. Condiții generale de formare a zăcămintelor de hidrocarburi	166
7.2. Oleogeneza	167
7.2.1. Rocile sursă de hidrocarburi	167
7.2.1.1. Sedimentul inițial	167

7.2.1.2. Istoria termală a bazinelor de sedimentare	168
7.2.2. Formarea hidrocarburilor	176
7.3. Migrația petrolului	184
7.4. Capcane; formarea zăcămintelor	188
7.5. Metode de explorare; suprafețe de perspectivă	191
Bibliografie	195

CAPITOLUL 1. TIPURI DE BAZINE SEDIMENTARE

1.1. INTRODUCERE

Bazinele de sedimentare sunt zone ale suprafeței terestre care au cunoscut în evoluția lor geologică, perioade îndelungate de timp, procese de subsidență însoțite de formarea unor depozite sedimentare, conservate integral sau parțial până în prezent. Dacă vom considera bazinele de sedimentare ca depresiuni ale crustei terestre, cu sedimente mai groase de 1 km, se poate observa că acestea acoperă aproximativ 70% din suprafața Pământului.

Conform acestei definiții, lanțurile orogenetice cutate, care includ în constituția lor și depozite sedimentare, nu sunt considerate, în prezent, bazine de sedimentare; sunt incluse însă zonele stabile din interiorul continentelor și regiunilor înconjurătoare care nu au fost afectate substanțial de procesele de riftare sau subducție adiacente.

Forma bazinelor, în funcție de modul în care au luat naștere, este variată: aproximativ circulară, alungită, neregulată. Mărimea suprafeței bazinelor de sedimentare este de asemenea extrem de variată de la câteva mii la milioane de kilometri pătrați.

În funcție de statutul actual se pot diferenția:

- bazine sedimentare active (care încă acumulează sedimente);
- bazine sedimentare puțin deformate (inactive) care păstrează mai mult sau mai puțin forma inițială și umplutura sedimentară;
- bazine sedimentare puternic deformate descompletate (erodate) datorită evenimentelor tectonice la care au fost supuse.

În ultimii ani au fost făcute progrese semnificative în modelarea bazinelor sedimentare, ceea ce a dus la o mai bună înțelegere a proceselor ce guvernează apariția și evoluția acestora. Aceste modele se bazează, în principal, pe descifrarea mecanismelor proceselor termice mecanice și chimice ce au loc la nivelul litosferei terestre. Acțiunea concertată a factorilor mai sus menționați se concretizează în apariția și evoluția unor tipuri de bazine sedimentare extrem de variate pe suprafața globului terestru.

1.2. CLASIFICAREA BAZINELOR SEDIMENTARE

Fiecărui tip de bazin sedimentar îi corespund faciesuri - litofaciesuri caracteristice cât și procese tectonice specifice. Acestea la rândul lor au constituit criterii de clasificare pentru cei care se ocupă cu studiul bazinelor sedimentare. Astfel, cele mai importante criterii de clasificare sunt:

- forma și mărimea suprafeței;
- încadrarea bazinelor în raport cu plăcile tectonice;
- procesele de ordin general (litosferice) care guvernează evoluția bazinului;
- caracteristicile litofaciale;
- condițiile paleogeografice ce caracterizează mediul depozitional și suprafețele adiacente acestuia, evoluția acestora pe durata existenței bazinului;
- condițiile climaterice existente la nivelul bazinului în timpul evoluției acestuia

În cele ce urmează vor fi prezentate mai multe sisteme de clasificare a bazinelor sedimentare, plecându-se de la acțiunea combinată a factorilor mai sus menționați și efectul acestora.

1.2.1. BAZINE DE SEDIMENTARE ȘI TECTONICA PLĂCILOR

O clasificare cât mai corectă a tipurilor de bazine sedimentare, este necesar să realizeze o concordanță între caracterizarea acestora și teoriile moderne referitoare la evoluția crustei terestre, respectiv la tectonica globală.

Diferiți autori au sintetizat cunoștințele referitoare la interacțiunea dintre tectonica plăcilor și procesele de sedimentare, propunând diferite sisteme de clasificare ale bazinelor de sedimentare (Dickinson, 1974; Kingston et al, 1983; Miall, 1984; Mitchel și Reading, 1986; Klein, 1987, 1991; Perrodon 1988; ș.a.). Deși identice din punct de vedere al fundamentului conceptual, aceste sisteme de clasificare diferă între ele prin criteriile și termenii folosiți, ceea ce face dificilă generalizarea unuia sau altuia dintre sisteme.

În continuare vor fi trecute în revistă unele dintre cele mai cunoscute sisteme de clasificare.

Astfel Dickinson (1974) identifică, în funcție de poziția bazinelor în raport cu morfostructura plăcilor litosferice, 5 tipuri principale de bazine și anume:

1. Bazine oceanice

2. Margini continentale riftate
3. Sisteme arc-fosă
4. Centuri de sutură
5. Bazine intercontinentale

Bally și Snelson (1980) definesc trei grupe de bazine sedimentare (tabelul 1.1), și anume:

1. Bazine situate în zone cu litosferă rigidă, relativ nedeformată, neasociată megasuturilor;
2. Bazine situate pe litosferă rigidă, relativ nedeformată, asociată cu megasuturi, dar la exteriorul acestora (bazine perisuturale);
3. Bazine suprajacente zonelor de megasuturi (bazine episuturale).

Megasuturile sunt definite ca zone care includ toate produsele activității orogenetice și magmatice asociate, cu deformări predominant compresionale. Limitele megasuturilor sunt asociate cu subducție (tip B - Benioff sau tip A - Ampferer) sau falii transformante (Dinu 1995).

Tabelul 1.1 Clasificarea bazinelor după Bally și Snelson (1980)

1. Bazine localizate pe litosfera rigidă, neasociată cu formarea megasuturilor.

1.1. Legate de formarea crustei oceanice

1.1.1. Rifturi

1.1.2. Bazine asociate faliilor transformante oceanice

1.1.3. Câmpii abisale oceanice

1.1.4. Margini pasive de tip Atlantic (self, taluz, rise) cu crustă oceanică sau continentală subțiată

1.1.4.1. Suprapuse sistemelor de rift timpurii

1.1.4.2. Suprapuse sistemelor de falii transformate

1.1.4.3. Suprapuse bazinelor de backarc timpurii

1.2. Localizate pe litosfera continentală pre - Mesozoică

1.2.1. Bazine cratonice

1.2.1.1. Localizate pe grabene de rifturi timpurii

1.2.1.2. Localizate pe bazine backarc de tip Pannonic

2. Bazine perisuturale amplasate pe litosfera rigidă asociate cu formarea megasuturilor compresionale

2.1. Fose sau suturi adânci pe crusta adiacentă unei margini cu subducție B

2.2. Avanfose (Foredeep) și sedimente suprapuse platformelor sau

O altă clasificare, mai complexă, realizată de Klein (1987, 1991) se bazează, în identificarea tipurilor de bazine pe următoarele criterii fundamentale:

1. Tipul de margine continentală
2. Poziția bazinului în raport cu plăcile litosferice
3. Tipul crustei subjacente
4. Procesele geodinamice care au generat formarea și evoluția bazinului (riftare, întindere, flexionare, compresiune, translație, termal).

Clasificarea rezultată în urma aplicării acestor criterii și caracteristicile tipurilor de bazine sunt sintetizate în tabelul 1.3. De asemenea se mai pot face o serie de precizări și anume (Dinu 1995):

- numai un singur tip de bazin este asociat cu interiorul cratoanelor, care se dezvoltă pe crusta extensională și sunt formate printr-o succesiune de procese extensionale, întindere și subsidență termală; multe astfel de bazine sunt suprapuse peste bazinele de rift sau aulacogene și conțin evaporite;
- bazinele de rift se dezvoltă în interiorul sau marginea marginii pasive și pot defini limita marginii pasive; ele se dezvoltă atât pe crusta continentală cât și de tranziție și conțin bazalte tholeitice extrusive și intrusive, precum și uneori granite anorogenice;
- aulacogenele se dezvoltă de la extremitatea marginii continentale, spre interiorul continentului, sunt orientate normal la limita plăcii și au fundul din crustă continentală sau de tranziție; ele reprezintă brațele slabe ale triplelor joncțiuni și sunt prezente intruziuni și extruziuni de roci bazaltice tholeiitice și granite anorogenice;
- bazinele de flexură se dezvoltă pe marginea externă a marginilor continentale și sunt formate ca răspuns la încărcarea sedimentară; subsidența implicată în încărcare este răspândită lateral, departe de punctul de încărcare al acumulării de sedimente și astfel o arie mai mare a crustei în spatele limitei bazinului este implicată în deformare;
- bazinele de fosă se formează în zonele de convergență a două plăci care se mișcă în sensuri opuse în procesul de subducție. Regimul geodinamic este compresional și plăcile sunt formate din crusta oceanică;
- bazinele pantei foselor sunt produse prin extensiunea acestor pante într-un regim general compresional-extensional și se prezintă în secțiune transversală ca grabene;
- bazinele de forearc se formează între marginea superioară a fosei

și arcul insular andezitic, sedimentele sale fiind depuse fie pe crusta oceanică, fie pe sedimente mai vechi și sunt implicate în încăleări imbricate ca răspuns la compresiune;

- bazinele intra-arc se formează prin extensiunea zonelor de sutură vulcano-tectonică sau arcurile asociate de subducție termală;
- bazinele back-arc se formează prin riftarea complexului de arc insular și întinderea crustei oceanice asociate cu o rapidă răcire termală după un stadiu inițial de creștere importantă de flux termic. bazinele intra-arc cuprind bazine backarc inactive care se dezvoltă spre interior în arcurile insulare inactive (remanente);
- bazinele pull-apart sunt formate prin extensiune și subsidență termală, asociate unei mișcări de translație de-a lungul faliilor care delimitează bazinul în zonele de arcuire cu mișcare divergentă (releasing bends) ale faliei transformante; sunt frecvente depozitele evaporitice;
- bazinele transpresionale au o istorie geodinamică similară cu a bazinelor pull-apart, dar se dezvoltă în zonele de arcuire cu mișcare convergentă (restraining bends) ale faliei transformante;
- bazinele de foreland se formează spre interiorul zonelor de coliziune și se dezvoltă pe crusta continentală sau oceanică (reactivată prin ridicarea temperaturii) sau pe fragmente de crustă continentală reactivată. Ele se formează într-un regim compresional cu încărcare excesivă și flexură;
- bazinele suprapuse sau de colaj (termen propus de Klein, 1987) sunt cele dezvoltate în zonele de sutură ale coliziunii plăcilor, cum sunt cele formate prin alipirea (colaj tectonic) terrane - urilor din British Columbia; istoria subsidenței lor nu este încă destul de clar lămurită;
- bazinele poli - istorice (termen propus de Kingston et al., 1983 și redefinit de Klein, 1987) reprezintă un caz general unde are loc dezvoltarea unui bazin prin procese suprapuse și repetabile; au fost recunoscute două tipuri.

Tabelul 1.3. Clasificarea bazinelor (după Klein, 1987, 1991)

Margine continentală	Tip de bazin	Poziția bazinului pe suprafața plăcii	Tip de crustă	Model geodinamic de formare	Exemple
Interior de placă	Bazin cratonic	Interior	Continental	Extensiune Subsidență termală	Bazine Illinois, Michigan
Margine pasivă	Bazin de rift	Interior și margini paralele	Continental Tranziție	Extensiune, Subsidență termală	Rift Gregory, grabenul Rhin
	Aulacogen	Margine la interior (perpendicular la margine)	Tranziție Continental	Extensiune, Subsidență termală	Oklahoma, fosa Benué
	Bazin de flexură	Margine	Continental	Încărcare, Flexură	Fosa Baltimore
	Bazin de fosă	Margine	Oceanic	Convergență, Compreseune	Fosa Sagama Suraoa
Margine activă	Bazin de pantă a fosei	Margine	Oceanic Sedi-mente vechi	Compreseune Extensiune Cutare	Pereții fosei Mariane Tonga
	Bazin de forearc	Margine depărtată	Oceanic Sedi-mente vechi	Compreseune Dublare Litosfer. subs. Term.	Bazin Great Valley
	Bazin intra-arc	Arc]	Continental-magmatic	Extensiune Riftare	Bazin Nigata Hokaido
	Bazin backarc (interarc)	Interior	Oceanic	Riftare Întindere Slăbire Termală	Bazin Shikoku Vest Filipine

Margine continentală	Tip de bazin	Poziția bazinului pe/sau interiorul plăcii	Tip de crustă	Model geodinamic de formare	Exemple
Margine transformantă	Bazin pull – apart	Margine transformantă	Cont./Tr. sau oceanic	Translație Extensiune Subsidență Termală	Bazin Ridge Los Angeles
	Bazin transpresional	Margine transformantă	Cont./Tr. sau oceanic	Translație Subsidență Termală	Bazin Ventura, St. George
Margine de coliziune	Bazin de foreland	Interior	C și O sau C la C	Cutare compresională Flexură Încărcare	Bazin Powder River Appalachian
	Bazin suprapus de colaj	Sutura	C/T sau O	Compreseune	Bazin Tyang-hton Mathow
Independent de margine	Bazin poli-istoric	Interior sau margine	C/T sau O	Multiple	Bazin Illinois
	Bazin succesor	Interior sau margine	C/T sau O	Multiple	Bazin Bowaar Sustut
	Bazin resurgent	Interior sau margine	C/T sau O	Multiple	Bazin Fundy

a) *bazine succesor*, unde o serie de bazine sedimentare sunt suprapuse, dar fiecare stadiu de dezvoltare al bazinului cuprinde schimbarea proceselor tectonice și geodinamice;

b) *bazine resurgente*, care cuprind o succesiune de bazine formate de-a lungul unor zone tectonice de slăbire sau moștenite mai vechi, iar procesele tectonice de formare a bazinului sunt identice în timpul multiplelor evenimente care au condus la edificarea acestuia.

1.3. CLASIFICAREA TECTONICĂ A BAZINELOR

Existența unor procese tectonice capabile să inducă subsidența este cerința de bază pentru formarea bazinelor sedimentare.

Aceste bazine (generate tectonic) pot fi sistematizate în funcție de mecanismele de formare, categorii de bazine, fiecareia corespunzându-i mai multe tipuri individuale diferențiate prin caracteristicile lor structurale, morfologice, sedimentologice, tipul de subsidență etc.

Pe baza sistemelor de clasificare a bazinelor sedimentare elaborate de Kingston et al. (1983) și Reading (1986), Einsele (1992), realizează o clasificare tectonică sintetică și în același timp sugestivă a principalelor tipuri ale bazinelor sedimentare și a caracteristicilor lor. (tabelul 1.4). Acestea sunt grupate în 7 categorii, fiecare incluzând 2-4 tipuri speciale de bazine reprezentate schematic în figurile 1.1 – 1.6 și care vor fi prezentate succint în cele ce urmează.

Tabelul 1.4. Clasificarea tectonică a bazinelor. (după Kingston et al., 1983; Mitcell and Reading, 1986; Einsele, 1992)

Categoria de bazin	Tip special de bazin sau sinonime	Crusta fundamentului	Stilul tectonic	Caracteristici ale bazinului
Bazine de sag continentale sau interior	Bazine epicontinentale, bazine intracratonice	Continentală	Divergentă	Arii largi Subsidență slabă
Bazine fracturate continentale sau interne	Structuri de graben Văi de rift Zone de rift Aulacogene	Continentală	Divergentă	Bazine înguste limitate de falii, subsidență rapidă în timpul riftării timpurii
Bazine pe margini continentale pasive, bazine de sag marginale	Bazine riftate tensional Bazine forfecate tensional	Tranziție	Divergentă + Forfecare	Bazine asimetrice, parțial umplute cu sedimente, subsidență moderată la slabă

Categoria de bazin	Tip special de bazin sau sinonime	Crusta fundamentului	Stilul tectonic	Caracteristici ale bazinului
Bazine oceanice de afundare	Bazin oceanic în naștere (de creștere)	Oceanică	Divergentă	Bazine largi, asimetrice, subsidență slabă
Bazine legate de subducție	Fose submarine Bazine forearc Bazine backarc Bazine interarc	Oceanică Tranziție Oceanică	Convergentă	Parțial asimetrice, adâncimi și subsidență care variază mult
Bazine legate de coliziune	Bazine remanente	Oceanică	Convergentă	Subsidență activă, dat. Încarc. sedimente
	Bazine de foreland Bazine retroarc (intramontane) Bazine de foreland rupte	Continentală	Flexură Mișcări convergente sau Transformare	Bazine simetrice cu tendința de creștere a subsidenței, uplift și subsidență
Bazine strike-slip/Wrench	Bazine pull-apart (transtensionale și bazine transpresionale)	Continentală și/sau oceanică	Mișcare transformantă + divergentă sau convergentă	Relativ mici, alungite, subsidență rapidă

1.3.1. BAZINE DE SAG CONTINENTAL (INTERNE)

Bazinele de sag, afundare, interne (fig. 1.1) apar ca urmare a mișcărilor de extensiune și/sau subsidenței termale ce acționează la nivelul unei zone, mai mult sau mai puțin extinse din interiorul unei plăci continentale. Deoarece intensitatea mișcărilor este redusă nu apar discontinuități ale crustei continentale respectiv falii majore și / sau zone de

rift. Afundarea apare ca efect al subțierii crustei generată fie de întinderea acesteia, fie de creșterea densității rocilor subjacente în raport cu ariile crustale adiacente. Subsidența este slabă sau moderată, dar poate dura o perioadă lungă de timp, astfel că efectul cumulat este semnificativ. De asemenea, procesul de subsidență este potențat și de grosimea stivei sedimentare ce se acumulează în bazin.

Raportându-se la perioada îndelungată a proceselor de subsidență termală, unii cercetători (Ziegler, 1988), au considerat că aceasta este legată de o zonă cu un flux termic mai scăzut emițându-se ipoteza existenței, la nivelul mantalei subjacente, a unui așa numit "spot rece" cauzat de o răcire anormală. O altă ipoteză tentantă, dar până în prezent insuficient argumentată, este existența unei corelări între poziția spoturilor reci și traseele curenților de convecție termică; este posibil ca zonele cu flux termic foarte scăzut să corespundă zonelor de afundare în manta ale curenților de convecție.

Deși rata de subsidență este scăzută, bazinele de sag continental se dezvoltă pe suprafețe întinse, formând bazine marine epicontinentale sau bazine intracratonice caracteristice regiunilor de platformă.

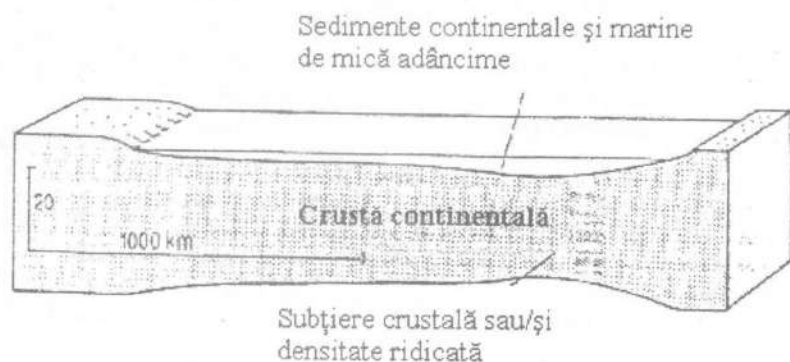


Fig. 1.1. Bazin de afundare (sag) continentală (după Einsele 1992)

1.3.2. BAZINE INTERNE (CONTINENTALE) FRACTURATE

Dezvoltate pe suprafețe relativ restrânse, bazinele fracturate continentale au o formă alungită, sunt înguste și delimitate lateral (în secțiune transversală) de falii majore simetrice (grabene) sau asimetrice,

fig. 1. 2. Se caracterizează printr-o subsidență inițială rapidă, urmate apoi de evoluții diferențiate, în funcție de intensitatea proceselor tectono-termice.

Înainte de începerea subsidenței, datorită fluxului termic ridicat (astenosferă fierbinte), se formează un spot sau aliniament termic însoțit de arcuirea și întinderea litosferei suprajacente. Are loc o subțiere a crustei compensată de ridicarea spre zonele superficiale a magmelor bazaltice, având originea în mantaua superioară. Se formează astfel o crustă de tranziție subțiată și cu chimism intermediar. Ulterior, prin echilibrare izostatică apar sisteme de falii ce formează structuri de tip graben → rift însoțite de o subsidență rapidă și diferențiată în suprafață.

Faza de riftări este urmată de contracția termală, respectiv răcirea și mărirea densității rocilor constitutive ale părții inferioare a litosferei. Acest proces are ca efect o subsidență accentuată și o sedimentație activă la nivelul zonelor de rift. În acest fel, în cadrul bazinului sedimentar, se formează depozite de mare grosime.

Dacă procesul de riftare continuă, bazinul poate să se dezvolte până la deschiderea unui ocean. Dacă însă procesul de riftare se oprește înainte ca la nivelul median al deschiderii bazinului să apară crustă de tip oceanic, cu formarea de structuri specifice, zona de rift este apreciată ca slabă (failed rift). Aceste zone mai sunt cunoscute (în literatura rusă) sub denumirea de aulacogene și sunt înglobate în structurile platformelor de diferite vârste.

Sub aceeași denumire, mai sunt înregistrate și zonele (brațul) de rift ale triplelor joncțiuni care nu se mai dezvoltă până la fazele de deschidere oceanică și sunt colmate de depozitele sedimentare ulterioare.

Socul crustal al aulacogenilor este alcătuit, în funcție de momentul încetării riftării, de crustă din tranziție sau chiar oceanică (în zona mediană) și este acoperit ulterior de o pătură sedimentară foarte groasă.

Bazine cu caracteristici morfostructurale asemănătoare se pot forma și în timpul închiderii unui bazin oceanic, în faza de coliziune, în zonele învecinate frontului de coliziune

(A) Graben

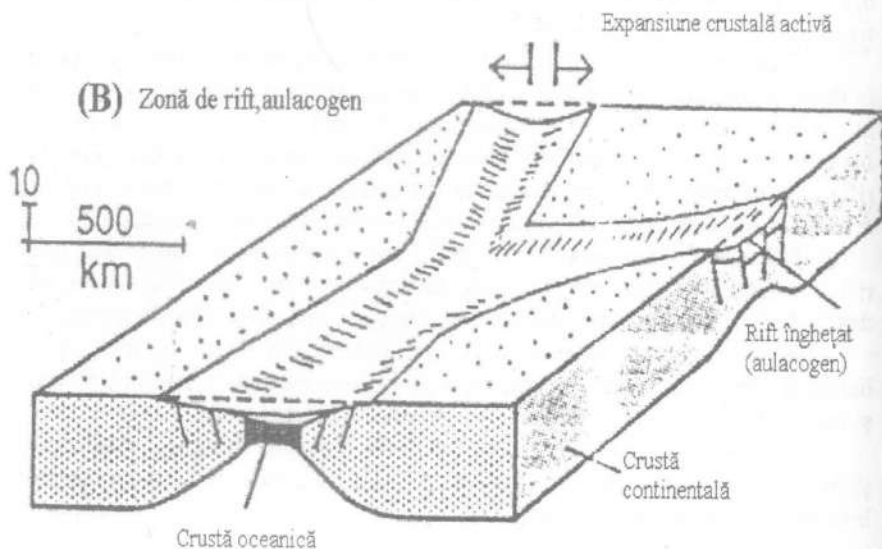
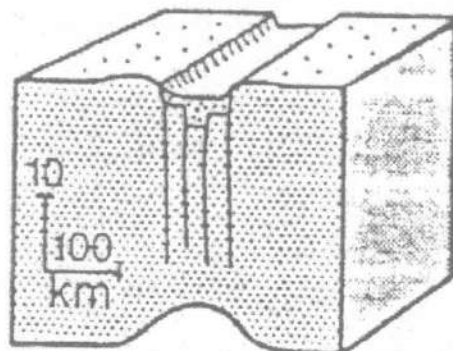


Fig. 1.2. Bazine continentale fracturate sau interne (după Einsele 1992)

Sub aceeași denumire, mai sunt înregimentate și zonele (brațul) de rift ale triplelor joncțiuni care nu se mai dezvoltă până la fazele de deschidere oceanică și sunt colmate de depozitele sedimentare ulterioare.

Socul crustal al aulacogenilor este alcătuit, în funcție de momentul încetării riftării, de crustă din tranziție sau chiar oceanică (în zona mediană) și este acoperit ulterior de o pătură sedimentară foarte groasă.

Bazine cu caracteristici morfostructurale asemănătoare se pot forma și în timpul închiderii unui bazin oceanic, în faza de coliziune, în zonele învecinate frontului de coliziune.

1.3.3. BAZINE ALE MARGINILOR CONTINENTALE PASIVE

Atunci când procesul de riftare continuă pentru o perioadă îndelungată de timp are loc deschiderea unui ocean. Zonele laterale, de tranziție de la continent la ocean transportate de placa (plăcile) în expansiune și formează marginile continentale pasive. Ele sunt caracterizate, în primul rând, printr-o depozitare extrem de activă, aici depunându-se majoritatea materialului sedimentar transportat de pe continent, datorită scăderii energiei agenților de transport. De asemenea, marginile continentale prezintă procese tectonice proprii care duc la formarea unor bazine de sedimentare cu crustă continentală subțiată. Principalele procese sunt cele de tensionare (se formează bazine riftate tensionale) și cele asociate mișcărilor de strike-slip sau transformante (se formează bazine forfecate tensionale).

Bazinele marginilor continentale pasive au o dezvoltare asimetrică, prezintă de obicei forme alungite mai mult sau mai puțin paralele cu limita dintre placa oceanică și cea continentală. Ele sunt mărginite de ridicări morfologice controlate termic.

Datorită subțierii treptate a crustei continentale spre limita (contactul) cu placa oceanică subsidența este mai activă, panta mai accentuată și implicit prisma sedimentară mai groasă, astfel încât are loc o progradare a depozitelor spre mare. Acest proces este favorizat și de sedimentația deosebit de activă, caracteristică bazinelor supraumplute.

Atunci când aportul de sedimente este mai scăzut, pe fondul aceluiași proces de subțiere crustală → subsidență activă, la care se asociază și existența faliilor gravitaționale, se pot forma zone de platou, de mare adâncime, și sedimente relativ subțiri și care poartă denumirea de bazine marginale înecate.

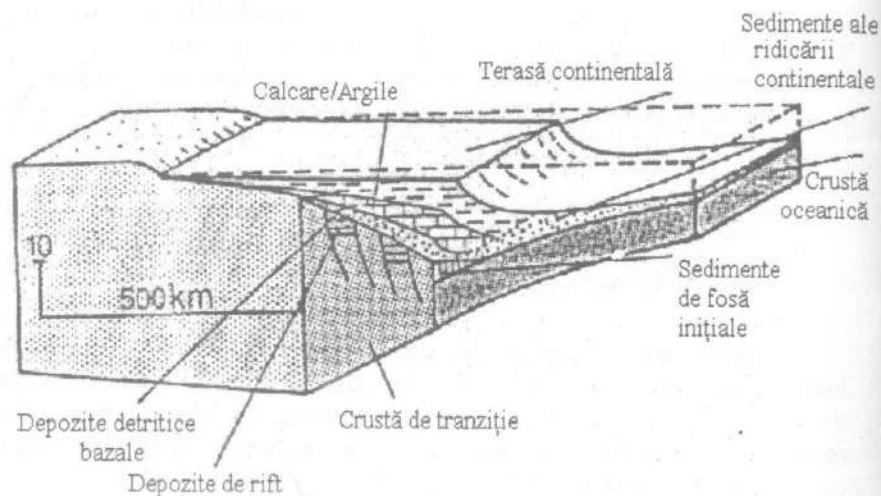


Fig. 1.3 Bazine ale marginilor continentale pasive: bazine de rift tensionale și bazine de afundare marginale (după Einsele 1992).

În general, raportându-ne la repartitia sedimentelor pe suprafața bazinelor marginale, se manifestă o tendință de scădere în timp a subsidenței acestora dar, în anumite condiții (de exemplu sub influența păturii sedimentare foarte groase), se pot reactiva unele zone astfel că repartitia subsidenței poate fi diferită în cadrul mai larg al marginii continentale.

1.3.4. BAZINE DE AFUNDARE (SAG) OCEANICĂ

Amplasate între dorsalele medio oceanice și marginea oceanică a marginii continentale pasive cu crustă de tranziție bazinele oceanice de afundare (sag) ocupă cea mai mare parte a domeniului oceanic (fig. 1.4.). Ele sunt caracterizate de sedimente relativ subțiri, dar care lateral, la limita cu marginea continentală pot deveni foarte groase datorită conurilor submarine adânci. Au o formă asimetrică și sunt dezvoltate pe un fundament crustal de tip oceanic sau de tranziție (la limita cu marginea continentală pasivă).

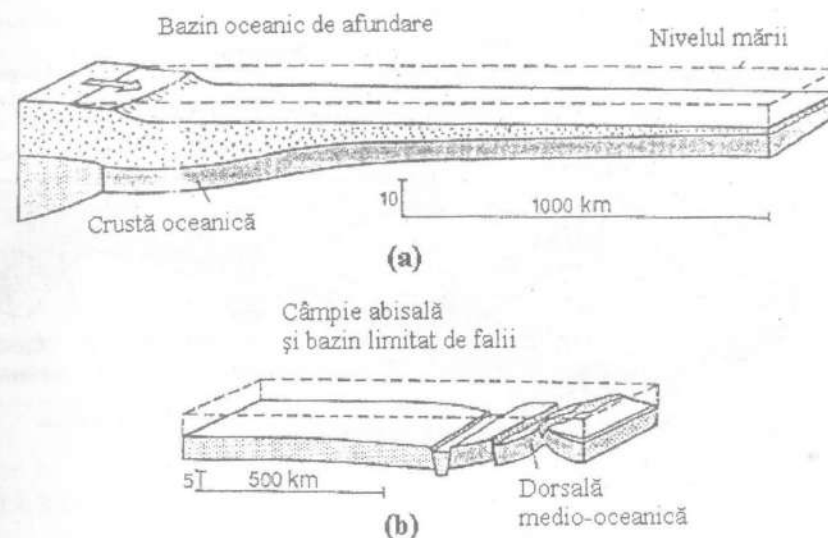


Fig. 1.4. Bazin oceanic de afundare (a) și bazin oceanic limitat de falii în apropierea dorsalei medio - oceanice (b).

Datorită tectonicii active, la limita cu dorsalele medio-oceanice se dezvoltă bazine (subbazine) înguste mărginite de falii, cu extindere limitată, generate de evoluția locală a dorsalei.

1.3.5. BAZINE GENERATE DE SUBDUCȚIE

Aceste bazine apar ca urmare a mișcărilor de convergență ale plăcilor litosferice, respectiv proceselor de subducție și formare a catenelor orogenice. La limita dintre plăcile antrenate în subducție (de-a lungul marginilor continentale active sau al arcurilor insulare ce delimitează bazinul marginal) se formează bazine care includ fosele oceanice, bazine forearc, backarc, intraarc (marginale) și bazine ale taluzului continental (de mici dimensiuni).

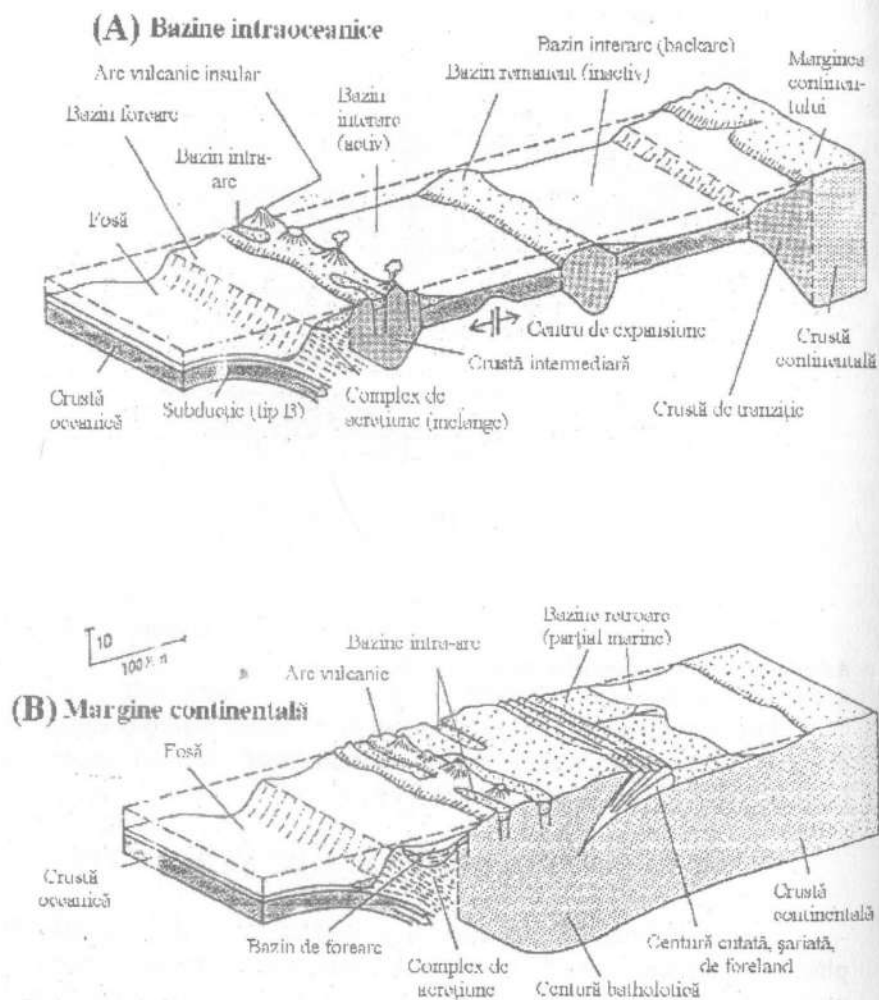


Fig. 1.5. Bazine produse ca urmare a subducției plăcilor litosferice: placă oceanică/placă oceanică (A) și placă oceanică/placă continentală (B), cu poziția diferitelor tipuri de bazine (după Einsele 1992)

Fosele oceanice adânci, apar în zonele de afundare ale crustei

oceanice sub placa continentală (în astenosferă). Pătura sedimentară este constituită din sedimentele transportate de placa oceanică subdusă, din aportul de material sedimentar de pe continent și din sedimentele biogene (reduse) generate de bazinul marin suprajacent.

Morfologic fosele oceanice se prezintă sub forma unor bazine înguste alungite și de mare sau foarte mare adâncime. În funcție de raportul dintre viteza de subducție a plăcii oceanice și aportul de sedimente (ce formează prisma de acrecțiune) fosele oceanice pot fi slab nutrite, situație în care adâncimea crește continuu sau bine alimentate, când prisma sedimentară compensează subducția și se racordează la taluzul continental (fig. 1.5).

Bazinele de forearc, se poziționează deasupra prisme de acțiune a foselor și arcului magmatic adiacent. Au un substrat crustal de tranziție. Subsidența și sedimentarea sunt în general foarte active și pot varia substanțial de la o zonă la alta și de la o epocă la alta (fig. 1.5).

În funcție de substratul crustal pe care se dezvoltă cât și de poziția lor în cadrul complexului de subducție se disting 4 tipuri de bazine (Dickinson și Selley 1979).

- bazine intraarc la care cuvertura sedimentară este suprajacentă rocilor arcului magmatic insular sau continental;
- bazine acrecționare situate în zona de dezvoltare a prisme de acrecțiune;
- bazine reziduale la care pătura sedimentară se dispune pe crustă oceanică și / sau de tranziție;
- bazine constricționale având pătura sedimentară depusă atât pe formațiunile complexului de subducție (la exterior) cât și pe rocile ce formează arcul magmatic (la interior).

Bazinele backarc sau intraarc, apar în spatele arcului vulcanic (între acesta și continent), ca urmare a riftării zonei mai sus menționate, ceea ce duce la deschiderea unui nou sistem de expansiune crustală, fig. 1.5. În timp acesta poate evolua până la deschiderea unui mini-ocean cu caracteristici morfologice și structurale specifice.

Substratul crustal peste care se depune pătura sedimentară este variat în funcție de gradul (stadiul) de dezvoltare al sistemului expansional și în funcție de poziționarea zonei respective în cadrul bazinului. Astfel cuvertura sedimentară poate fi dispusă pe crustă de tip continental, de tranziție sau chiar oceanică.

Umplutura sedimentară, similară (la scară redusă) celei a bazinelor oceanice este dependentă de uscatul adiacent, arcul vulcanic și/sau continentul adiacent.

1.3.6. BAZINE FORMATE PRIN COLIZIUNE

Procesul de coliziune reprezintă faza finală a consumării crustei în zonele de subducție. Datorită forme neregulate a marginilor plăcilor litosferice implicate în acest proces cât și vitezelor diferite ale plăcilor de la o zonă la alta, coliziunea este parțială și poate închide mai multe bazine de dimensiuni reduse cu un fundament crustal de tip oceanic.

În aceste bazine (remanente) se acumulează stive sedimentare de tip fliș, caracterizate prin grosime mare și modele depoziționale specifice (fig. 1.6.). Datorită continuării procesului de coliziune crusta oceanică este integral consumată iar formațiunile ce alcătuiesc centura cutată a marginii continentale active încalcă marginea continentală pasivă care, datorită încărcării tectonice, se depresionează și flexionează. În acest mod apar bazinele de foreland (fig. 1.6.) poziționate pe marginea continentală pasivă. Acestea prezintă o subsidență activă și o pătură sedimentară groasă, de tip molasă, generată de aportul masiv de material detritic generat de lanțul muntos adiacent. Datorită deplasării diferențiate, în timpul procesului de coliziune, unele sectoare ale plăcii de deasupra avansează mai rapid, iar în spatele acestora apar procese locale de extensie a litosferei, formând așa numitul "continental escape" (fig. 1.6). În acest mod apar structuri de tip graben dispuse transversal față de direcția de deplasare a frontului de coliziune și în care se acumulează sedimente.

De asemenea, tot din cauza proceselor de consumare a scoarței (subducție, coliziune), în spatele lanțului orogenetic, se pot forma bazine retroarc sau intramontane (fig. 1.6) datorită apariției unor zone de extensiune crustală, induse tectonic de procesele menționate, și care pot antrena suprafețe considerabile ale crustei continentale.

În timpul procesului de coliziune, la nivelul bazinelor de foreland și/sau retroarc, datorită complexității mișcărilor scoarței (induse de viteze diferite, formațiuni cu litologii specifice, compensare izostatică), apar falii de strike slip active ce separă mai multe subbazine. Acestea poartă denumirea de bazine de foreland rupte sau bazine de blocuri înclinate (atunci când se dezvoltă la nivelul hinterland - ului).

Uneori se pot forma bazine sedimentare datorită deplasării blocurilor crustale de - a lungul faliilor de strike slip, sub forma de terrane tectonice, așa numitele bazine produse de terrane, sedimentele fiind depuse pe crusta oceanică.

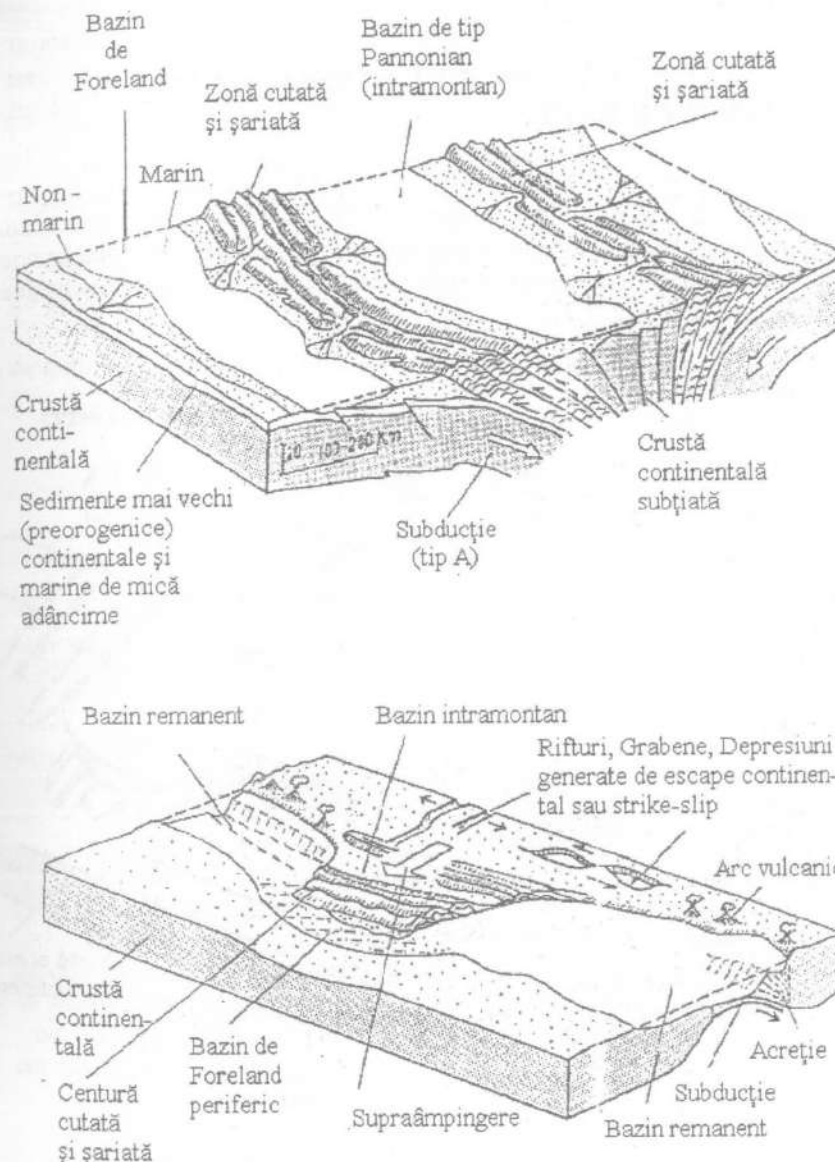


Fig. 1.6. Bazine produse prin coliziune (după Einsele 1992)

1.3.7. BAZINELE DE STRIKE – SLIP ȘI WRENCH FAULT

Atât crusta continentală cât și cea oceanică pot fi afectate de mișcări orizontale (de strike - slip), la nivelul faliilor transformante importante, care se pot asocia componentelor tensionali (de deschidere) formând bazine de tip "pull-apart", sau compresionale, situație în care sunt generate bazine de transpresiune. (fig. 1.7).

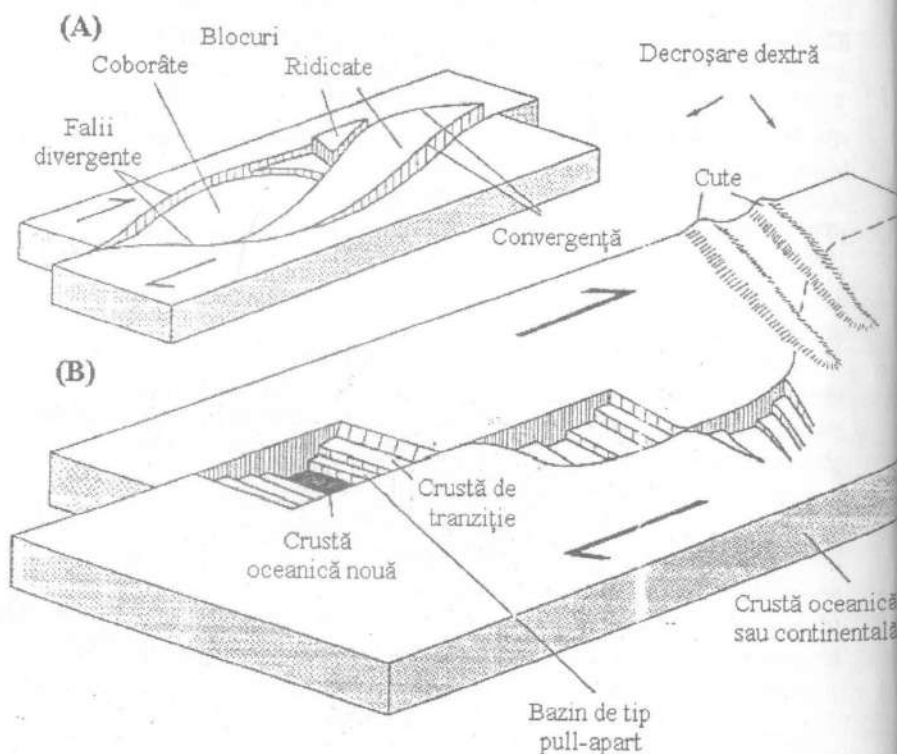


Fig. 1.7. Bazine de strike-slip și wrench faults:

(A) - procese de divergență cu subsidență asociată și convergență cu ridicare asociată,

(B) - bazine de tip pull - apart

Sistemele de tip transtensional, pull apart, sunt mai favorabile formării bazinelor de sedimentare și se asociază la diferite aranjamente tectonice, de - a lungul zonelor transformante dintre plăcile continentale rigide, în zonele de subducție oblică sau în zonele de continental escape legate de procesele de coliziune.

Bazinele pull apart pot avea dezvoltări diferite de la zone inițiale înguste la deschideri romboidale relativ extinse și care, în anumite condiții, atunci când sunt amplasate pe crustă oceanică, pot genera ridge - uri de expansiune. Subsidența este rapidă, iar sedimentarea poate varia în funcție de amplasamentul bazinului, fiind în general activă.

Bazinele dezvoltate prin transpresiune (de wrench) sunt, în general, de dimensiuni modeste și au o durată de existență redusă.

1.4. CLASIFICAREA TECTONO – SEDIMENTARĂ A BAZINELOR

Bazinele sedimentare apar ca urmare ca urmare a acțiunii conjugate a mai multor factori → procese geologice. Dintre acestea cele mai multe importante sunt mișcările tectonice și procesele de sedimentare. Ele pot acționa în trei moduri diferite și anume:

- mișcările tectonice acționează anterior depunerii cuverturii (umpluturii) sedimentare;
- mișcările tectonice și procesele depozitionale sunt simultane;
- cuvertura sedimentară, depusă anterior este modelată de mișcări tectonice ulterioare;

În funcție de cele mai sus menționate, bazinele sedimentare pot fi pre, sin sau post – depozitionale.

De asemenea se poate observa că evoluția unui bazin sedimentar este de cele mai multe ori complexă, evidențiindu - se faze succesive astfel că, la un moment dat, bazinul poate fi clasificat ca aparținând unuia dintre modelele specificate anterior, dar evoluția sa globală să aibă un caracter compozit.

1.4.1. BAZINE PRE – DEPOZIȚIONALE

Datorită mișcărilor tectonice care acționează în general rapid și intens asupra unei zone mai mult sau mai puțin extinse se formează un bazin morfologic care ulterior este umplut cu sedimente nedeformate sau

foarte puțin deformate, mai ales la partea inferioară (fig. 1.8).

În timp, la nivelul bazinului, are loc o descreștere a adâncimii apei datorită colmatării acestuia, rata de subsidență fiind mai mică decât în primele faze de evoluție. Dispunerea și dezvoltarea faciesurilor (pe verticală și orizontală), grosimea și caracteristicile sedimentelor sunt determinate în principal de morfologia bazinului și a uscatului adiacent.

1.4.2. BAZINE SIN - DEPOZIȚIONALE

Acest tip de bazine se caracterizează prin acumularea sedimentelor în același timp cu procesele tectonice care creează modificări ale fundului bazinului suprajacent, formate sau în curs de formare.

Atunci când aportul de sedimente compensează subsidența bazinului, condițiile faciale și implicit tipul de sedimente (roci) care se formează rămân constante pentru o perioadă îndelungată de timp, acumulându-se formațiuni monotone din punct litologic și de grosime relativ mare.

De asemenea încadrarea bazinului și morfologia acestuia nu se schimbă semnificativ pentru perioade îndelungate de timp. Dacă rata de sedimentare este inferioară ratei de subsidență a bazinului, atunci adâncimea acestuia va crește, iar morfologia se va accentua în timp. În cazul când aportul de sedimente este superior subsidenței bazinului, acesta se va colmata și își va atenua morfologia în timp.

De asemenea este posibilă modificarea dimensiunilor, extinderea în suprafață a acesteia, colmatarea și implicit reducerea adâncimii bazinului fiind însoțite de transgresiunea apelor bazinului.

1.4.3. BAZINE POST - DEPOZIȚIONALE

Principala caracteristică ce definește acest tip de bazin este aceea că mișcările tectonice care definesc morfologia bazinului au loc ulterior depozitării sedimentelor.

Cutele și falile ce se formează afectează toate formațiunile existente. Nu există o relație evidentă între transportul, distribuția și faciesul sedimentelor și evoluția elementelor structurale (fig. 1.8). Se pot totuși evidenția anumite relații de interdependență între faza de subsidență sin depozitională (etapă necesară formării sedimentelor ce ulterior vor fi tectonizate) care vor influența evoluția ulterioară a bazinului.

1.5. RELAȚIA DINTRE BAZINELE SEDIMENTARE ȘI MEDIUL DEPOZIȚIONAL

Bazinele de sedimentare prezintă o multitudine de caractere specifice morfo - structurale și depozitionale care îl individualizează la un moment dat. De asemenea, evoluția în timp a proceselor geodinamice face ca aceste caractere să se modifice de la o etapă la alta din momentul formării bazinului până la umplerea și exondarea acestuia. Clasificarea tectonică a bazinelor, oricât de complexă ar fi, nu poate releva în totalitate particularitățile fiecărui tip de bazin sedimentar. De aceea, este necesară caracterizarea ariei de sedimentare, a mediului depozitional, respectiv evidențierea morfologiei bazinului și a evoluției acestuia în timp.

Principalele caractere ce definesc morfologia unui bazin în diferite etape ale evoluției acestuia sunt suprafața sedimentelor, tipul (tipurile) litologice și grosimea depozitelor aparținând intervalului studiat. Morfologia bazinului poate fi controlată de mai mulți factori geologici, și anume:

- variația aportului de sedimente dintr-o sursă terigenă și dispunerea acestora pe suprafață;
- nivelul erozional de bază;
- energia bazinului;
- mărimea și caracteristicile ariei din care are loc aportul de sedimente;
- regimul hidrodinamic și chimic al bazinului;
- tipul climatic al zonei în care se încadrează bazinul;

Procesele prezente într-un anumit mediu depozitional induc specificitatea depozitelor sedimentare care se formează, ce caracterizează și individualizează un sistem depozitional sau ansambluri de sisteme depozitionale și faciesuri. În multe cazuri se poate observa o variație semnificativă a cauzelor, proceselor tectonice ce acționează la nivelul bazinului respectiv, dar care conduce la instalarea (uneori pentru perioade îndelungate de timp) aceluiași sistem depozitional.

De exemplu, un sistem depozitional fluviatil poate fi prezent, pentru un timp geologic apreciabil (perioadă în care sunt generate stive sedimentare de grosimi semnificative) deasupra unui sector crustal aflat în subsidență, în diferite amplasamente tectonice: structuri continentale de rift și grabene, margini continentale pasive, bazine de foreland, bazine de forearc și backarc, bazine pull-apart, bazine de sag continental, etc. (Dinu 1995).

Deși procesele tectonice de formare a bazinelor, precum și istoria

subsidenței acestora sunt evident profund diferite, faciesul sedimentar al formațiunilor din toate aceste bazine este asemănător până la identificare pentru situațiile mai sus menționate.

În funcție de sistemul depozițional și morfologia bazinului sedimentar au fost evidențiate mai multe grupe de bazine de sedimentare (Einsele 1992):

- bazine cu umpluturi sedimentare formate în medii continentale:
 - fluviatil
 - glacial
 - eolian
 - lacustru
 - delte fluviatile
- bazine cu umpluturi sedimentare formate în medii de tranziție de la continental la marin (sisteme depoziționale de coastă):
 - delte marine
 - sisteme intertidale
 - lagune de coastă
 - estuare
 - bariere insulare
- bazine cu umpluturi sedimentare formate în mări epicontinentale sau adiacente oceanelor și mărilor deschise, cu salinitate variabilă;
- bazine cu umpluturi sedimentare formate în arii depoziționale marine și oceanice cu salinitate normală.

Având în vedere perioada îndelungată de existență (funcționare) a bazinelor sedimentare și modificarea condițiilor depoziționale este foarte probabilă existența unor succesiuni de sedimente, formate în diverse medii depoziționale, rezultând astfel o evoluție complexă a bazinelor sedimentare.

CAPITOLUL 2. MECANISMELE PRIMARE ALE SUBSIDENȚEI BAZINELOR SEDIMENTARE

Principalele mecanisme ce concurează la inițierea, accelerarea, stoparea sau inversarea proceselor de subsidență ale bazinelor sedimentare sunt următoarele:

- izostazia
- flexurarea
- fluxul geotermic
- stressul intraplacă

Ele pot acționa în mod singular dar, de cele mai multe ori, procesele de subsidență sunt rezultatul compunerii, interacțiunii acestora.

2.1. IZOSTAZIA

Plăcile litosferice ce alcătuiesc crusta terestră sunt, din punct de vedere fizic, corpuri solide (rigide) ce plutesc pe astenosfera subjacentă fluidă.

Conform Legii lui Arhimede blocurile litosferice vor fi împinse în sus de o forță egală cu greutatea volumului de astenosferă dislocuit de acestea. Astfel, blocurile adiacente de grosimi și/sau densități diferite vor avea altitudini (reliefuri) diferite (fig. 2.1.).

La nivelul astenosferei se poate evidenția un plan (adâncime) de referință la care greutatea blocurilor adiacente este egală, respectiv presiunile exercitate de blocuri sunt identice. Adâncimea la care are loc egalarea greutății blocurilor poartă denumirea de adâncime de compensare izostatică (fig. 2.2.).

Considerând două blocuri adiacente (fig. 2.3.) cu distribuția densităților și grosimilor rocilor distribuită în mod variat pe intervalul cuprins între adâncimea de compensare pentru cele două blocuri și suprafața terestră (Respectiv crustă, manta litosferică și astenosferă se poate spune că masa coloanei 1 = masa coloanei 2, respectiv:

$$\sum_{i=0}^n e_{1i} \cdot h_{1i} = \sum_{i=0}^n e_{2i} \cdot h_{2i} \quad (2.1)$$

unde:

ρ_i = densitatea tipurilor de rocă

h_i = grosimea

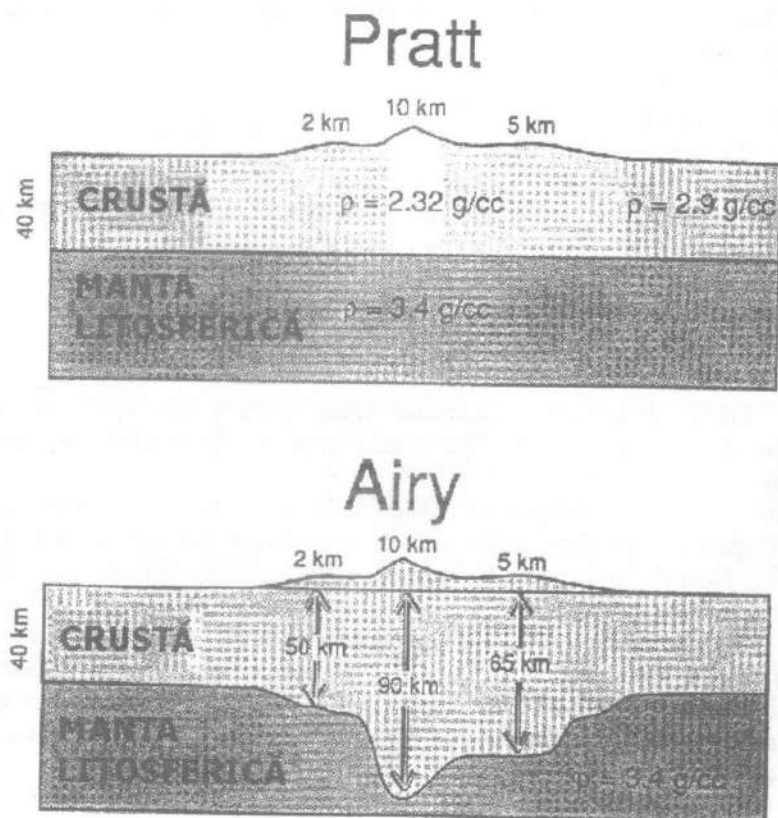


Fig.: 2.1. Modele de compensare izostatică după Pratt și Airy (din Angevine et al. 1990).

În cazul bazinelor sedimentare se pune problema determinării adâncimii acestora (Z) în funcție de umplutura acestora, respectiv apă, aer sau sedimente.

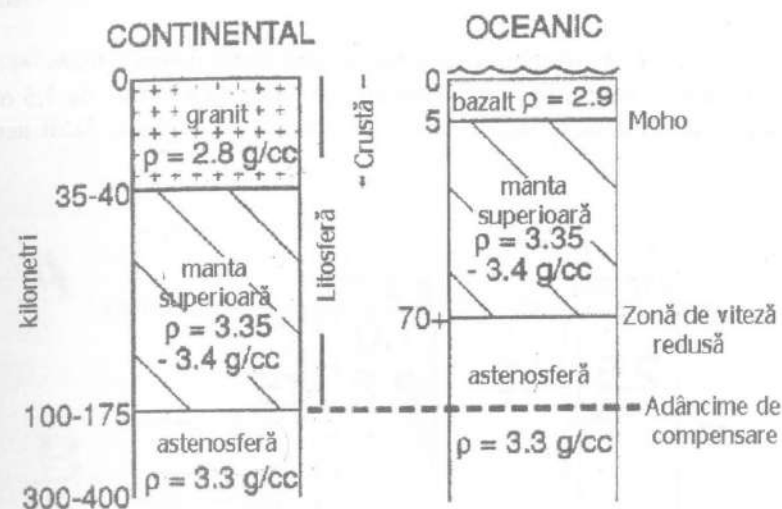


Fig.: 2.2. Reprezentare schematică (idealizată) a litosferei continentale și oceanice

Raportându-ne la datele din figura 2.3 vom avea următoarele cazuri:

a) bazin umplut cu apă:

$$\rho_{apa} = 1 \text{ g/cm}^3$$

$$30 \cdot 2.8 + 90 \cdot 3.4 = Z \cdot 1 + 15 \cdot 2.8 + 45 \cdot 3.4 + (160 - 2) \cdot 3.3$$

$$3 = 2.3 \cdot Z$$

$$Z = 1.3 \text{ km}$$

b) bazin umplut cu aer:

$$\rho_{aer} \approx 0 \text{ g/cm}^3 (0.0013 \text{ g/cm}^3)$$

$$3.3 \cdot Z = 3$$

$$Z = 0.9 \text{ km}$$

c) bazin umplut cu sedimente:

$$\rho_{\text{sedimente}} = 2.3 \text{ g/cm}^3$$

$$Z = 3$$

Se observă că adâncimea unui bazin sedimentar depinde foarte mult de materialul cu care este umplut. Astfel, un bazin cu apă este de 1,5 ori mai adânc decât unul subaerian și de 2,3 ori mai puțin adânc decât unul umplut cu sedimente

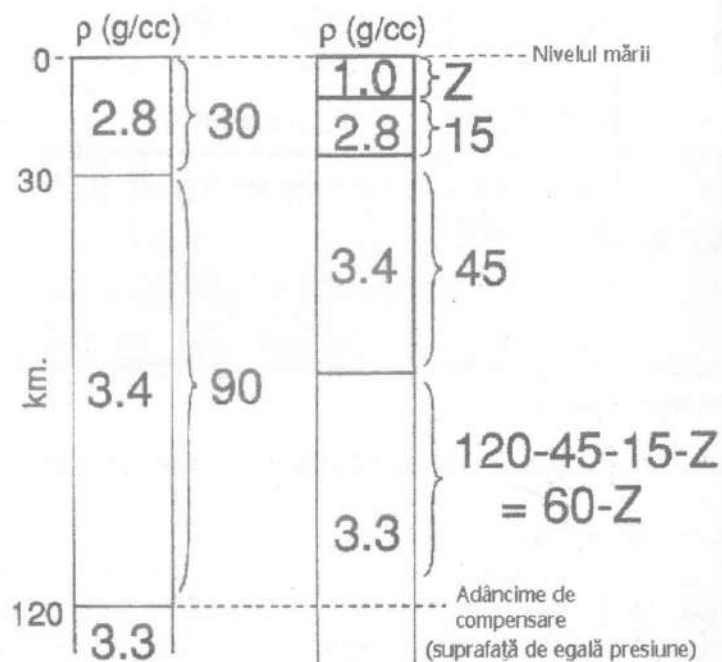


Fig.: 2.3 Balansarea izostatică a două blocuri continentale adiacente

Izostazia reprezintă un important factor al proceselor de subsidență dacă au loc schimbări ale grosimilor și/sau distribuției densităților pachetelor de roci ce alcătuiesc litosfera.

Aceste schimbări pot avea loc în cazul subțierii litosferei sau crustei (de exemplu prin întindere, îndepărtarea crustei prin eroziune sau procese

tectonice), aportului de roci cu densitate ridicată (injecția unei mase dense de soluții magmatice) sau umplerii bazinului cu materiale mai dense (înlocuirea apei cu sedimente). Similar, ridicările vor apărea în cazul substituirii parțiale a rocilor din mantaua solidă, mai densă, cu roci din astenosfera fluidă și mai puțin densă (fig. 1.2) sau prin îngroșarea păturilor superioare ale crustei de densitate scăzută.

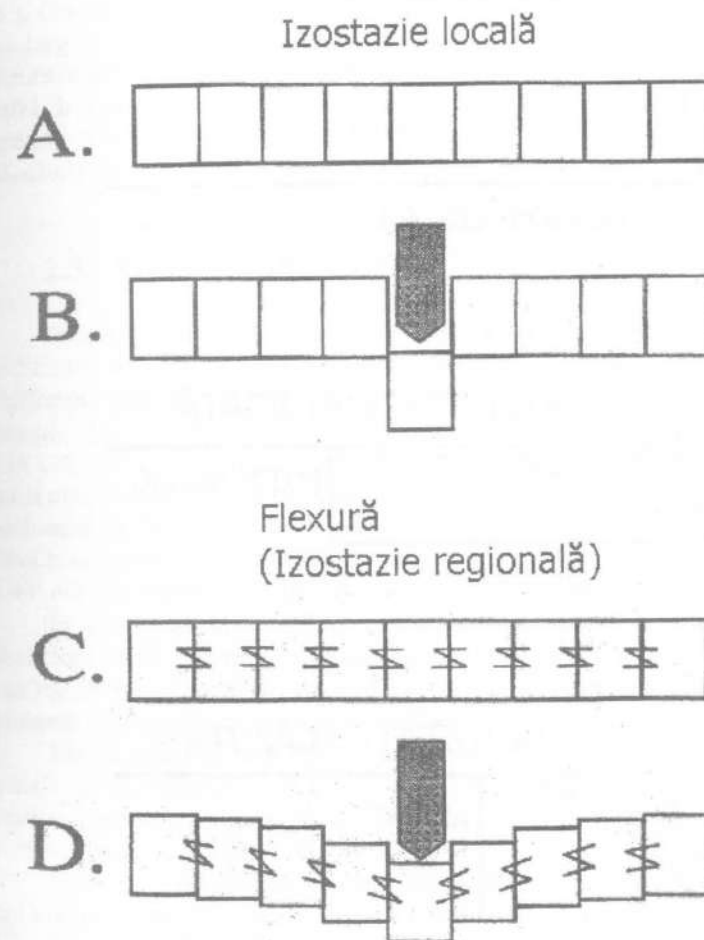


Fig.: 2.4. Compararea conceptelor de izostazie locală (A-B) și flexurală, regională (C-D); după Angevine, Heller și Pole 1990.

2.2. FLEXURAREA

Procesul de compensare izostatică în raport cu o suprafață de presiune (sarcină) constantă prezentată anterior consideră blocurile litosferice corpuri rigide cu o mișcare verticală independentă (fig. 2.4). În realitate litosfera prezintă o coeziune laterală și o rigiditate relativă. Când placa litosferică suferă o încărcare într-o anumită zonă o parte din sarcină este preluată sub forma unei încovoieri elastice.

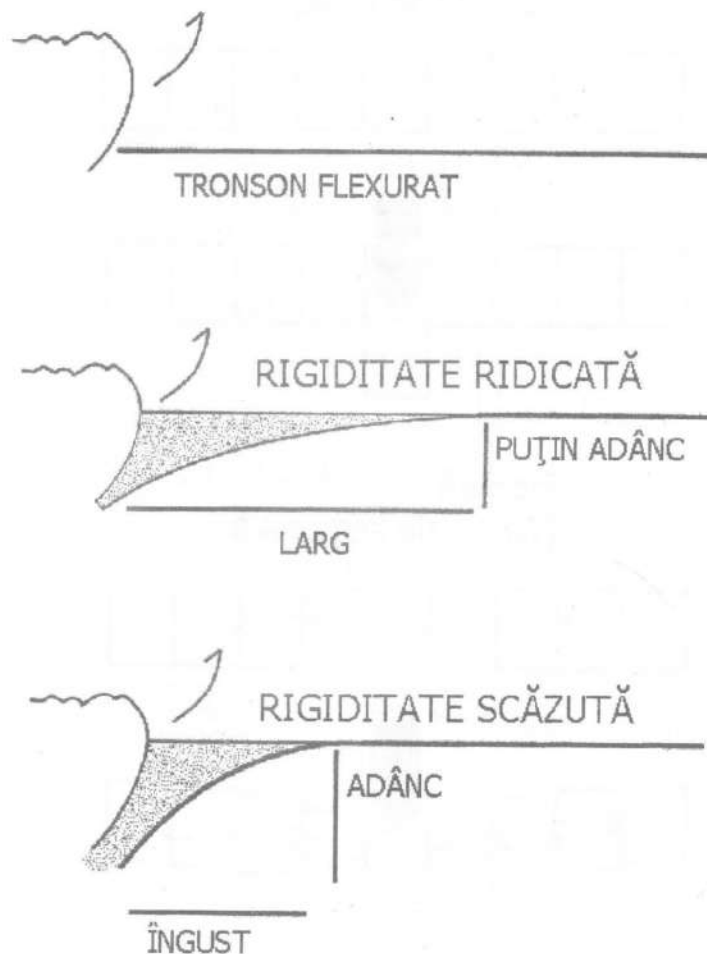


Fig.: 2.5. Răspunsul flexural al litosferei la încărcare tectonică

Are loc o dislocuire de volum de astenosferă și, conform principiului lui Arhimede, placa înclinată este ridicată cu o forță egală cu greutatea mantalei dislocuite. Zona subjacentă încărcării este menținută ridicată datorită coeziunii litosferei adiacente, iar aceasta din urmă coboară datorită încărcăturii zonei în vecinate. În final, se realizează o balansare izobatică - fluxurală la nivel regional.

Litosfera se comportă ca o bară elastică de o anumită rigiditate (fig. 2.5.). Cu cât rigiditatea plăcii este mai mare, cu atât bazinul rezultat va fi mai larg iar adâncimea lui mai mică, în timp ce în cazul unei rigidități scăzute a plăcii, bazinul format va fi mai îngust și adâncimea sa mai mare. Astfel, în cazul unei încărcări identice suferite de porțiuni o placă având rigidități diferite, vor rezulta două bazine cu geometrie diferită (suprafețe, adâncimi), dar cu volume egale (fig. 2.5.).

2.3. FLUXUL GEOTERMIC

Procesele termale generează fenomene de subsidență datorită modificării densității rocilor (pe verticală) astfel că au loc schimbări ale echilibrului izostatic. Porțiuni din litosferă se pot încălzi relativ repede (de exemplu datorită intruziunilor magmatice) în timp ce procesul de răcire (prin conductivitate termică) este mult mai lent. Dacă principala cauză a răcirii este conductivitatea termică, procesul de răcire a litosferei este foarte îndelungat (150-200 milioane ani). Astfel, în primele etape răcirea este direct proporțională cu radicalul timpului, iar după câteva zeci de milioane de ani aceasta poate fi asimilată unei funcții exponențiale ($e^{-\alpha/t}$).

În condițiile idealizate unui sistem izolat fără variații de masă subsidența totală generată de răcirea litosferică este egală cu ridicarea ce a avut loc în timpul încălzirii acesteia. În această situație, bilanțul mișcărilor susmenționate nu va indica o subsidență netă (fig. 2.6).

Pentru apariția unui bazin sedimentar este necesar ca procesele termale să fie însoțite și de evenimente geodinamice cum sunt: erodarea zonelor ridicate, îngroșarea părții superioare a mantalei (mai dense în raport cu atmosfera) sau subțierea crustei (fig. 2.6).

Pentru a exemplifica efectele proceselor geotermale în figura 2.7. sunt prezente cantitativ transformările datorate și variației fluxului termic.

Într-o primă etapă (fig. 2.7 A) de calm tectono - termic apriorică timpului 1 regiunea studiată este caracterizată de o configurație verticală, grosimi și densități, stabilă. Acestea îi corespunde un gradient geotermic normal, respectiv o creștere lineară a temperaturii până la circa 1300 °C la

limita litosferă / atmosferă. În această situație subsidența este nulă.

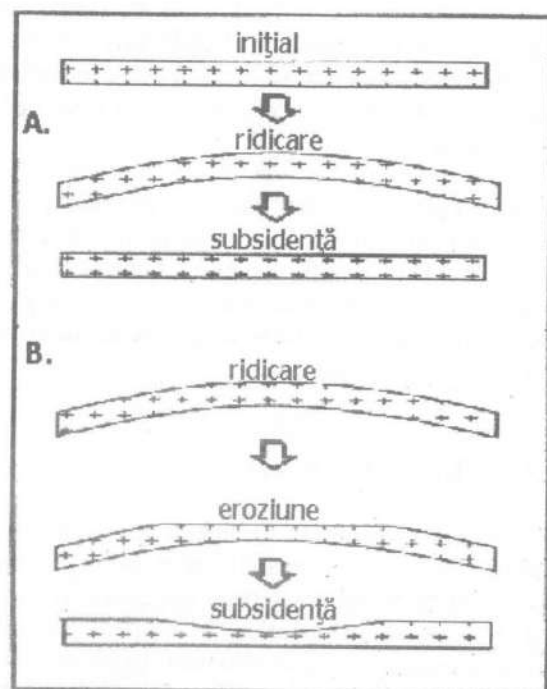


Fig.: 2.6. Deformări crustale datorate fluxului termic ridicat:

(A) – flux termic ridicat, fără eroziune;

(B) – flux termic ridicat asociat cu procese de eroziune

În perioada de timp dintre momentele 1 și 2 (fig. 2.7 B) are loc o întindere a litosferei cu un factor β astfel că litosfera se va subția cu $1/\beta$ (Mc Kenzie, 1978).

Gradientul geotermic este mai abrupt, iar blocul (zona) suferă o subsidență ca efect al subțierii litosferei și modificării distribuției grosimilor și densităților corpurilor de roci suprajacente suprafeței de compensare.

Ulterior, timpului 2 (fig. 2.7 C) are loc răcirea și îngroșarea litosferei însoțită de revenirea gradientului geotermic la valori normale. În această fază are loc subsidența termică propriu-zisă constând, de fapt, în echilibrarea verticală a maselor de roci din ce în ce mai dense (datorită contracției la răcire).

Subsidența deși nu mai este atât de rapidă în etapa anterioară continuă pe o perioadă îndelungată de timp și efectele sunt semnificative.

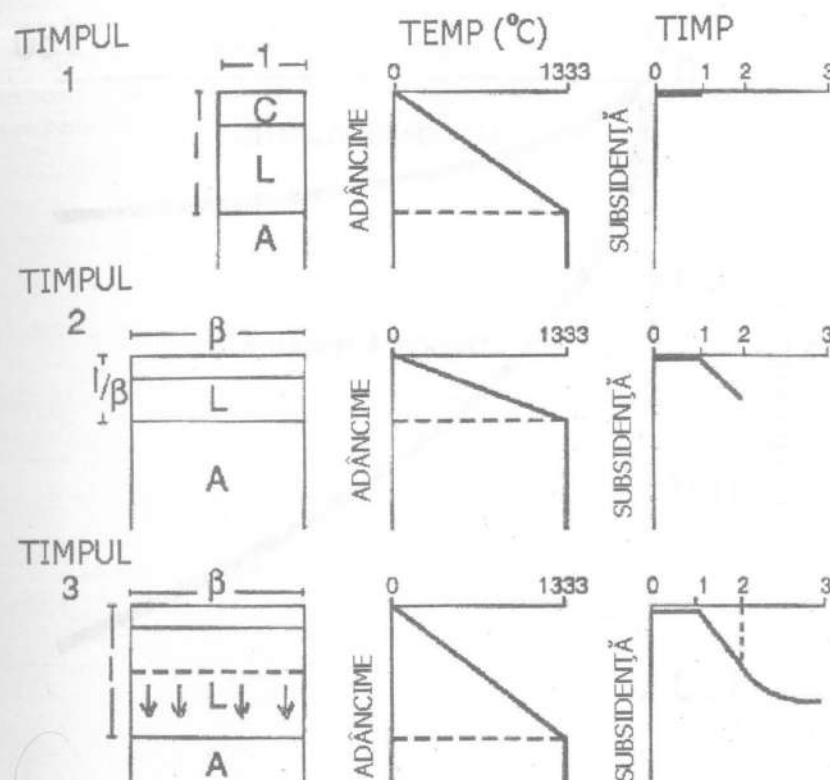


Fig.: 2.7. Variațiile gradientului geotermic și ale subsidenței datorate întinderii litosferei (după McKenzie – 1978, cu modificări).

Se poate concluziona că subsidența totală este un efect al echilibrării izostatice în funcție de raporturile dintre crustă / litosferă / astenosferă (fig. 2.8), iar principalul parametru cantitativ, rata subsidenței, este controlată de ecuația de revenire termală.

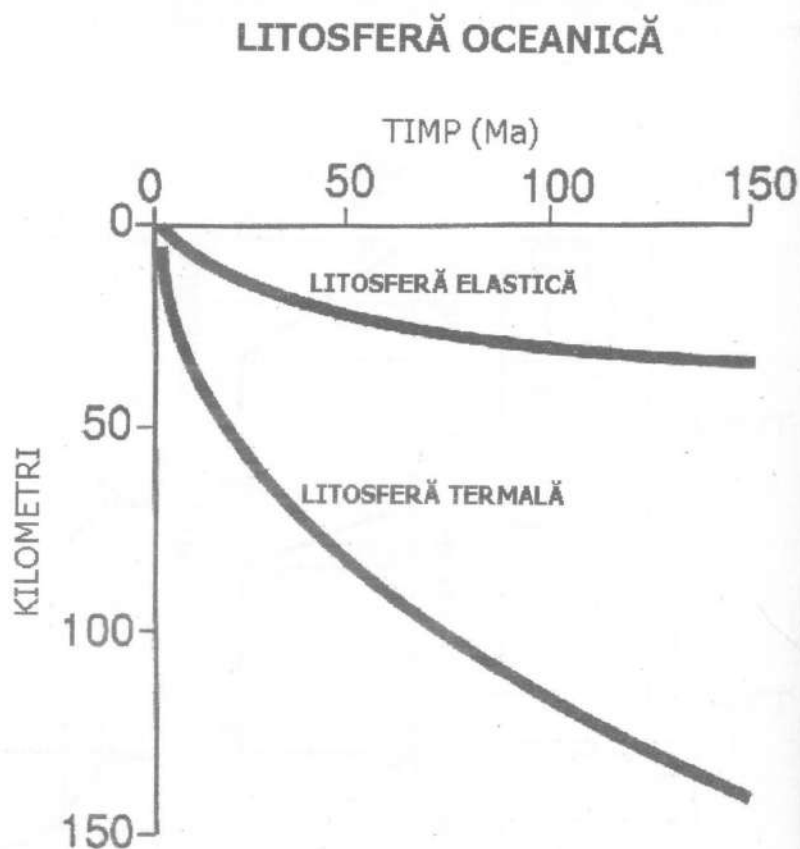


Fig.: 2.8. Variația grosimii litosferei oceanice în timp și adâncime în funcție de parametri fluxului termic (după Turcote și Schubert – 1982).

2.4. STRESSUL INTRAPLACĂ

Mișcările în plan plan orizontal pe care le suferă plăcile tectonice, reprezintă, la nivel global, suma eforturilor compresionale, respectiv extensionale ce acționează asupra acestora.

În aceste condiții, plăcile litosferice, sub acțiunea stressului, suferă modificări relativ importante ale parametrilor de stare, relevantă fiind, în

primul rând, modificarea rigidității plăcii. Astfel, mișcările convergente (compresionale) induc o scădere a rigidității plăcii, în general, dar mai ales în zonele marginilor implicate direct în procese compresionale. Similar, forțele extensionale induc (cu mai puțină evidență) o mărire a rigidității plăcilor tectonice.

Deși efectele stressului intraplacă asupra subsidenței bazinului sunt mai puțin evidente și cuantificarea lui ca proces singular practic imposibilă, nu poate fi neglijată ponderea sa în evoluția bazinelor de sedimentare, mai ales pentru zonele cu o tectonică mai activă.

CAPITOLUL 3 ANALIZA SUBSIDENȚEI BAZINELOR

3.1. ANALIZA GEOCRONOLOGICĂ

3.1.1. PRINCIPII GENERALE

Scopul analizei geoistorice este acela de a evidenția poziția în plan vertical (scufundare → îngropare, ridicare → eroziune) a formațiunilor geologice din momentul sedimentării / formării acestora până în prezent. Urmărind un anumit orizont stratigrafic de-a lungul evoluției bazinului studiat se realizează un istoric al subsidenței / ridicării zonei cercetate (fig. 3.1).

Pentru realizarea unei analize geoistorice corecte este necesară cunoașterea mai multor date stratigrafice și tectonice referitoare la bazinul sedimentar respectiv. Astfel, în primul rând este necesară întocmirea unei coloane stratigrafice care să includă grosimile actuale ale unităților stratigrafice, tipurile litologice, vârsta orizonturilor, nivelul paleoeustatic în evoluția bazinului. De asemenea, în analiză, pot fi folosite valorile diferiților parametri fizici și anume: porozitatea rocilor, gradientii (litostatic, de presiune și termic) natura și distribuția fluidelor interstițiale.

Pe datele, relativ sigure, mai sus menționate se grefează un eșafodaj de ipoteze privind modelul evoluției bazinului. Pentru o mai corectă evaluare analiza trebuie bazată pe studiul unităților stratigrafice de grosime mare, cu depozite de apă puțin adâncă.

Chiar și în condițiile susmenționate, în general, se poate studia numai evoluția evenimentelor majore privind areale și perioade de timp extinse.

Analiza geoistorică este redată sintetic prin grafice cunoscute în general sub denumirea de grafice (curbe) de îngropare a sedimentelor. Acestea conțin mai mulți parametri plasați pe scări diferite și care coroborați definesc istoricul de îngropare al sedimentelor.

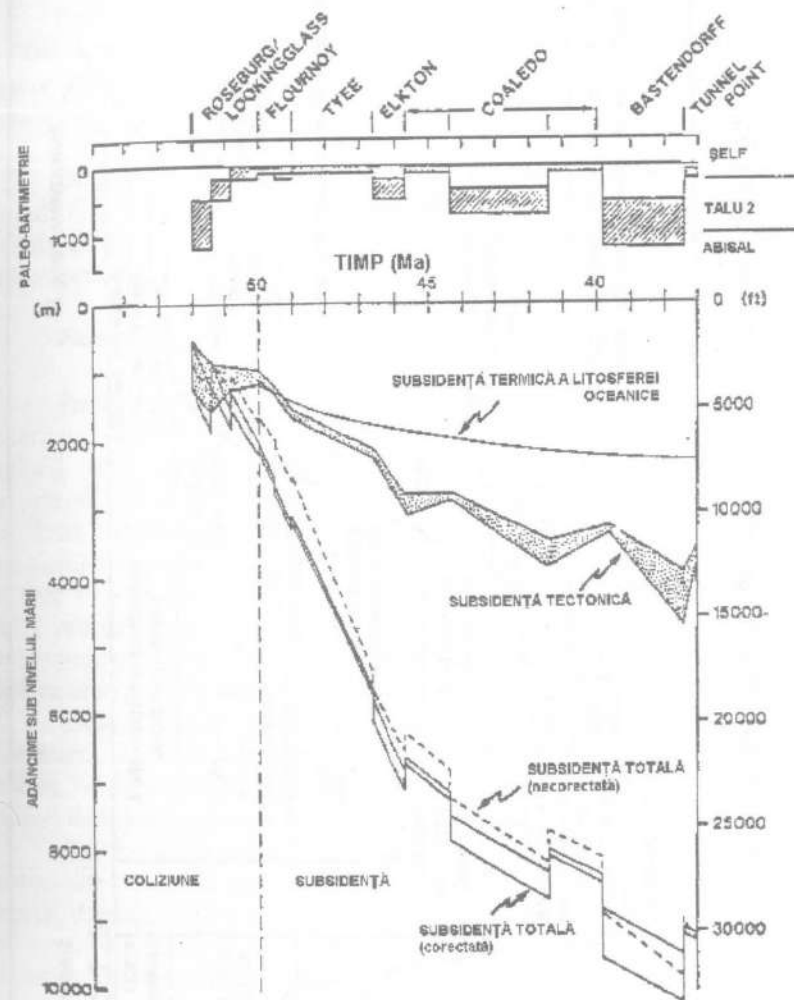
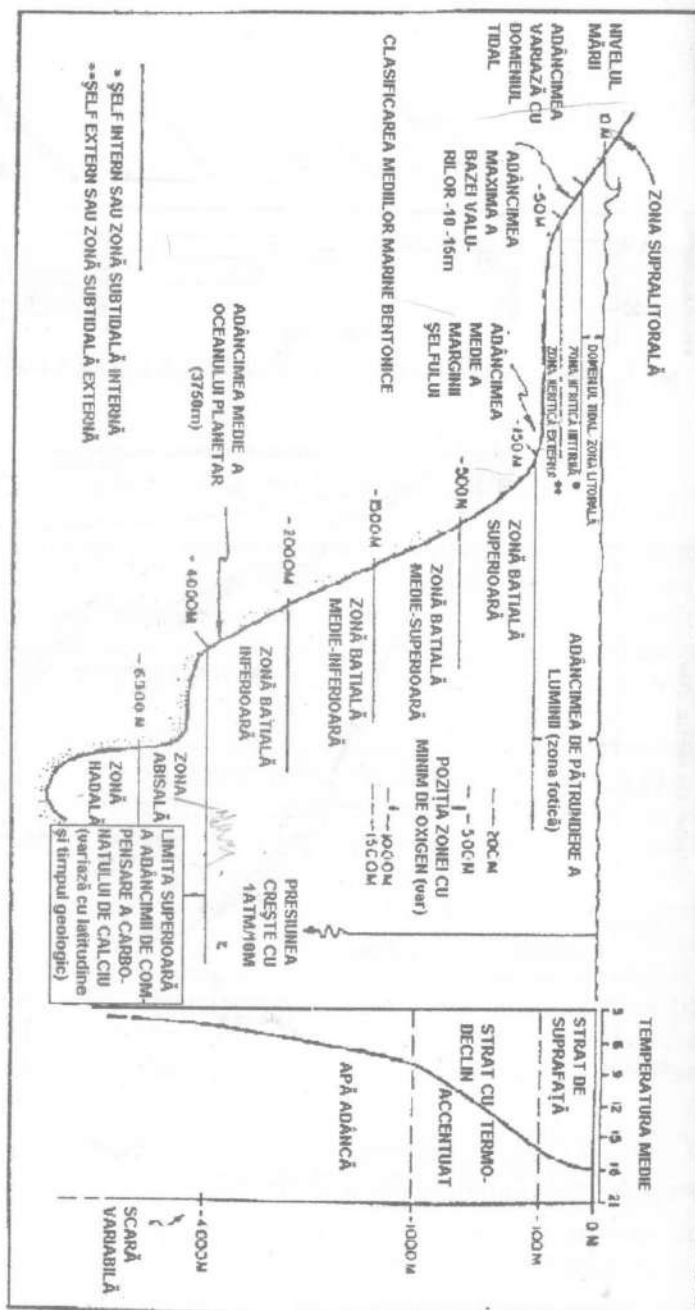


Fig. 3.1. Istoricul subsidenței unui bazin sedimentar (Oregon Coast Range) în timpul Eocenului (după Heller 1983)



Scara timpului

Pentru a putea fi poziționate cu cât mai mare exactitate elementele temporare privitoare la evoluția bazinului este necesară evidențierea unor repere stratigrafice cu grad de generalitate la nivelul bazinului studiat și corelabile cu date cunoscute la nivelul altor zone studiate anterior.

De asemenea, în raportarea temporală, de multe ori, sunt folosite criterii diferite (radiogenic, biostratigrafic, structural) astfel că poziția unui eveniment pe scara temporală poate fi diferită ceea ce generează confuzii și interpretări greșite.

Paleobatimetria ÷ Paleoaltitudinea

Precizarea adâncimii, respectiv altitudinii mediului de formare al diferitelor secvențe depoziționale este de cele mai multe ori mult mai dificilă decât datele temporale. Astfel, în cazul sedimentelor submarine raportarea adâncimii bazinului în momentul formării sedimentelor se face pe baza studiilor paleoecologice, respectiv prin corelarea tipurilor, asociațiilor fosilelor conținute de orizontul respectiv și condițiile de mediu în care au trăit acestea. Dacă în cazul depozitelor de adâncime redusă (de șelf) erorile sunt relativ mici, în cazul depozitelor de mare adâncă determinarea exactă a adâncimii bazinului este mai greu de realizat și pot apărea erori semnificative (fig. 3.2.).

Situația este și mai dificilă în cazul studierii depozitelor continentale. Estimarea evoluției acestora în raport cu nivelul mării este realizată, de obicei, pe baza studiilor paleontologice care, de multe ori, pot avea un grad ridicat de incertitudine.

Tot pentru estimarea altitudinii mai pot fi luate în calcul: panta sistemelor fluviale, nivelul de referință al punctului de vărsare în bazinul marin, depărtarea de linia țărmului sau de punctul de confluență, etc. Față de aceste situații este necesară asumarea unei marje de eroare ridicată și încadrarea între anumite limite a valorilor calculate astfel ca, prin corelare cu scenarii echivalente referitoare la alte zone / bazine , să se realizeze o bună compatibilitate.

Efectul (corecția) compactării

Fenomenele de compactare ale sedimentelor după depozitarea acestora sunt extrem de variate fiind dependente de o multitudine de factori și anume: tipul litologic, adâncimea de îngropare, rata îngropării, suprapresiuni, diageneze. Toate acestea îngreunează obținerea unei corelări

sigure între parametri fizici actuali (porozitate, densitate) și condițiile inițiale de formare a sedimentelor. În figura 3.3 sunt reprezentate curbele de compactare ale diferitelor tipuri de roci în funcție de adâncime.

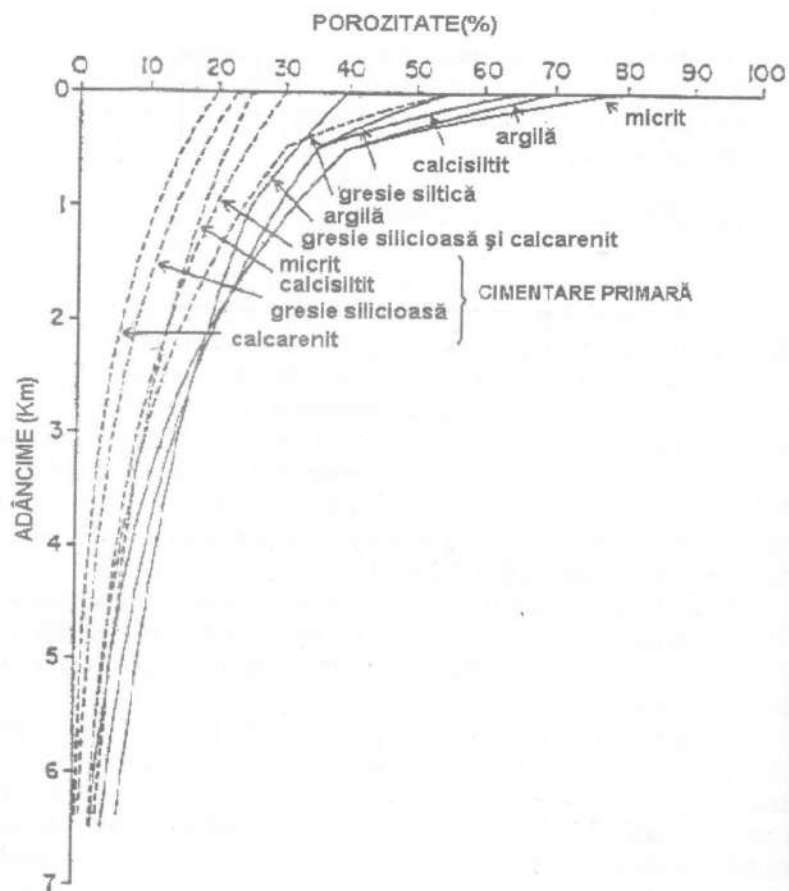


Fig. 3.3. Variația porozității diferitelor tipuri de roci în funcție de adâncime datorită numai proceselor de compactare - linie continuă, sau în condițiile existenței unei cimentări primare - linie întreruptă, (după Bond 1983, din Heller et.al. 1990)

Nivelul eustatic

Schimbările nivelului apelor bazinului, atunci când nu sunt observate și cuantificate, pot introduce erori în calcularea subsidenței bazinelor deoarece nivelul mării este un parametru destul de important în calcularea acesteia. Dacă nivelul apei crește se va înregistra o creștere a adâncimii bazinului; aceasta poate apare ca o creștere a subsidenței bazinului deși, în realitate, subsidența nu a suferit modificări. Analog, o scădere a nivelului eustatic poate fi interpretată în mod eronat ca o reducere a subsidenței bazinului.

Nu există metode infailibile de evidențiere și evaluare a schimbărilor nivelului apelor bazinului deoarece nu există un consens referitor la magnitudinea schimbărilor nivelului mărilor (oceanului planetar) în timp. O modalitate mai sigură de abordare a acestei probleme constă în corelarea variațiilor batimetrice de mică amplitudine (zeci de metri) și de scurtă durată cu evenimentele eustatice.

Față de această situație folosirea în calcul a unor secvențe depoziționale de grosime mare și a fluctuațiilor batimetrice majore efectul variațiilor nivelului eustatic va fi redus.

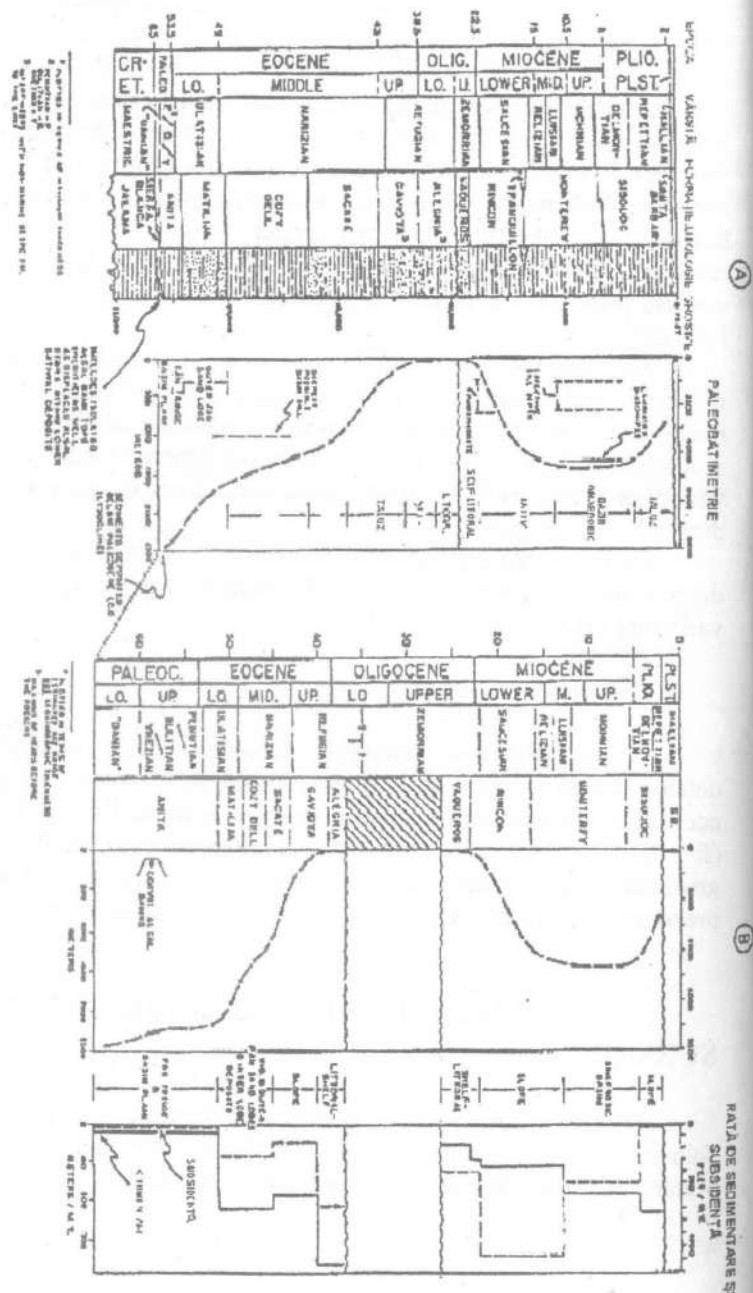
Prezentarea datelor

Pentru facilitarea calculului subsidenței este indicată gruparea datelor într-un sinoptic general care să simplifice accesarea și corelarea acestora. Un model cvasiunanim acceptat este cel realizat de Ingle în 1980 (fig. 3.4.). Pe două coloane distincte sunt reprezentate datele referitoare la grosimea, respectiv durata de acumulare, a formațiunilor. Sunt de asemenea prezentate date referitoare la paleobatimetrie, litologie, faciesuri, etc.

3.1.2. ETAPELE CONSTRUIRII CURBELOR DE SUBSIDENȚĂ

Deși reconstituirea evoluției geocronologice a formațiunilor implică folosirea unor algoritmi extrem de complicați în principiu se pot evidenția 3 etape principale în construirea curbelor de subsidență.

Fig. 3.4 Reprezentarea sintetică a datelor necesare analizei subsidenței bazinelor (după Ingle, 1980)



3.1.2.1. ACUMULAREA SEDIMENTELOR

În primul rând se ridică un grafic sintetic al acumularii sedimentelor în timp (fig. 3.5.). În exemplul dat intervalul de timp este marcat de momentele T_1 la T_4 . În final (T_4) este reprezentată grosimea actuală a fiecărei unități stratigrafice. Considerând că în fiecare interval de timp s-a format o stivă de sedimente constantă, egală cu rata de sedimentare acumularea va fi liniară

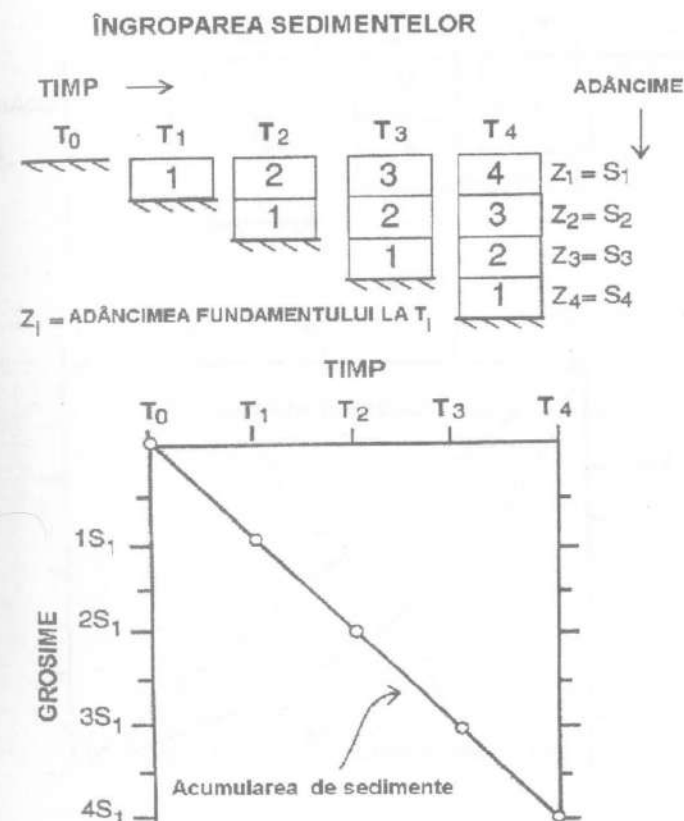


Fig. 3.5. Reconstituirea evoluției acumulării sedimentelor pe baza grosimilor actuale (necorectate) ale formațiunilor.

3.1.2.2. DECOMPACTAREA

Pe măsură ce se acumulează sedimentele creează o sarcină litostatică asupra celor precedente. În aceste condiții grosimea reală a stivei sedimentare la un moment oarecare va fi mai mare decât cea rezultată din graficul prezentat anterior (fig. 3.6).

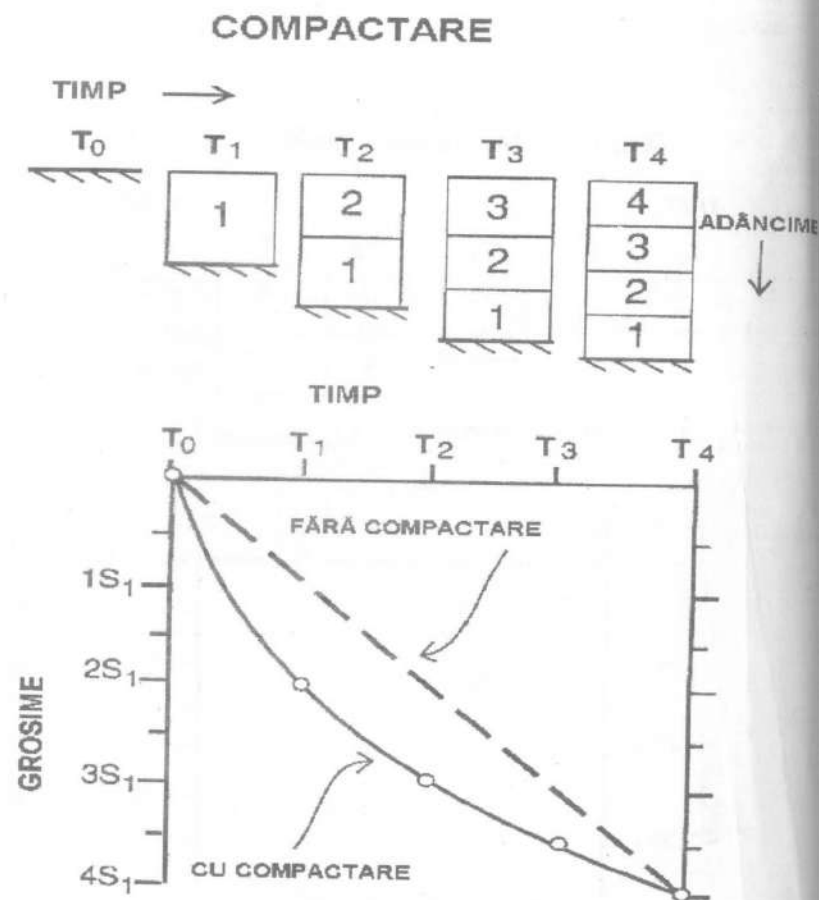


Fig. 3.6. Reprezentarea schematică a decompactării sedimentelor

Se pot observa totuși că există și puncte în care curba sedimentelor decompactate se confundă cu gradientul liniar al acumulării sedimentelor. Aceste puncte corespund momentului de inițiere a acumulării în bazin (T_0) când practic nu s-au format încă sedimente și momentului actual (T_4) când compactarea a acționat deja asupra unităților anterioare astfel că grosimile totale coincid.

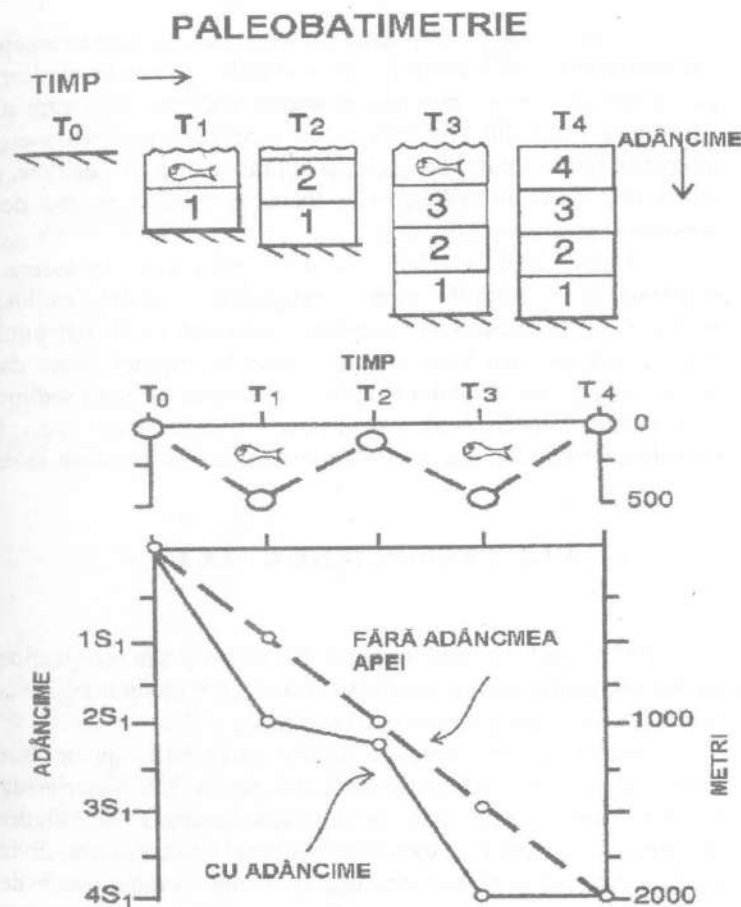


Fig. 3.7. Completarea analizei geistorice cu date paleobatimetrice (după Angevine et.al. 1990)

Atunci când în studiul evoluției bazinului se pleacă de la un moment ulterior inițierii bazinului (există sedimente anterioare) va apărea un decalaj

al valorilor de pe curba sedimentelor decompactate și gradientul liniar al grosimilor.

3.1.2.3. PALEOBATIMETRIA

Curba finală de subsidență încorporează, pe lângă corecțiile datorate decompactării sedimentelor, și variațiile paleoadâncimilor. Situațiile prezentate anterior au presupus existența unui echilibru între subsidență și adâncimea bazinului respectiv astfel încât sedimentarea a cuprins întreg intervalul dintre fundul bazinului și suprafața apei. În realitate, de cele mai multe ori, deasupra sedimentelor există o coloană de apă de o anumită grosime și care variază în timp.

Astfel, dacă la calcularea subsidenței vom considera că sarcina suportată de o anumită unitate stratigrafică este dată exclusiv de stiva sedimentelor suprajacente, subsidența calculată va fi mai mică decât cea reală. Dacă, pe baza unor indicatori paleobatimetriei, avem date (dovezi) privind adâncimea fundului bazinului în timpul formării sedimentelor (fig. 3.7) putem introduce această valoare (adâncimea apei) în calculul subsidenței bazinului rezultatele obținute fiind mai aproape de realitate.

3.1.3. EXEMPLU DE CALCUL

Pe baza informațiilor obținute din foraje și/sau prospecțiuni geofizice s-a definit, pentru o zonă aparținând unui bazin de tip margine continentală pasivă profilul litostratigrafic prezentat în fig. 3.8.

Pentru determinarea variațiilor adâncimii apelor bazinului s-a considerat modelul paleobatimetric din figura 3.9. Valorile de adâncime creditate sunt reprezentate pe coloana mediană din figura 3.8. De asemenea, intervalul corespunzător evoluției bazinului este divizat în șapte unități stratigrafice dintre care una (unitatea 4) corespunde de fapt unei discordanțe majore (coloana din stânga) respectiv unui interval de exondare caracterizat prin lipsa sedimentelor și (mai mult sau mai puțin) de eroziune respectiv unui hiatus îndelungat (coloana din dreapta).

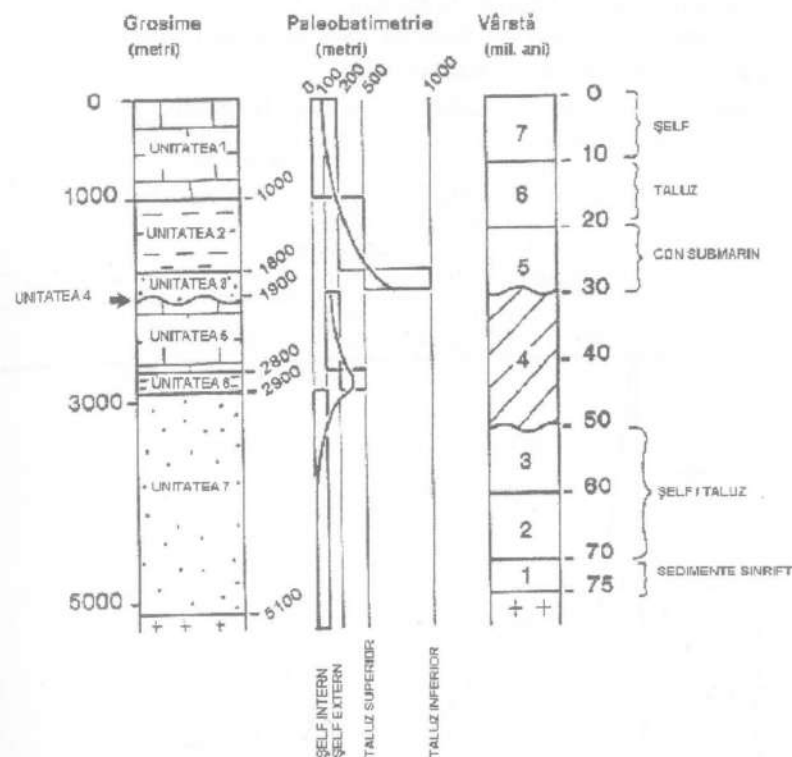


Fig. 3.8. Model de prezentare a datelor folosite în analiza subsidenței bazinelor sedimentare

Criteriile de divizare ale secțiunii litostratigrafice în unități pot diferi de la un exemplu la altul principala cerință fiind aceea de a defini perioade de timp și depozite cu o evoluție unitară. În exemplul ales criteriile (principale) avute în vedere la împărțirea coloanei stratigrafice în unități au fost următoarele:

- abundența și precizia reperelor stratigrafice capabile să fixeze vârsta sedimentelor, criteriu esențial dacă se are în vedere că subsidența se raportează la timp;
- numărul de discordanțe majore, dacă aceste reprezintă hiatusuri suficient de mari, semnificative pentru figurarea lor în graficul subsidenței;

- schimbări majore în paleobatimetria bazinului atunci când sunt suficiente indicii referitoare la acestea;
- schimbări importante de litologie care necesită corecții diferite ale gradului de compactare a sedimentelor;
- scopul pentru care se realizează studiul respectiv, focusarea pe o anumită perioadă de timp și evoluția depozitelor aferente acestora (obiective de interes).

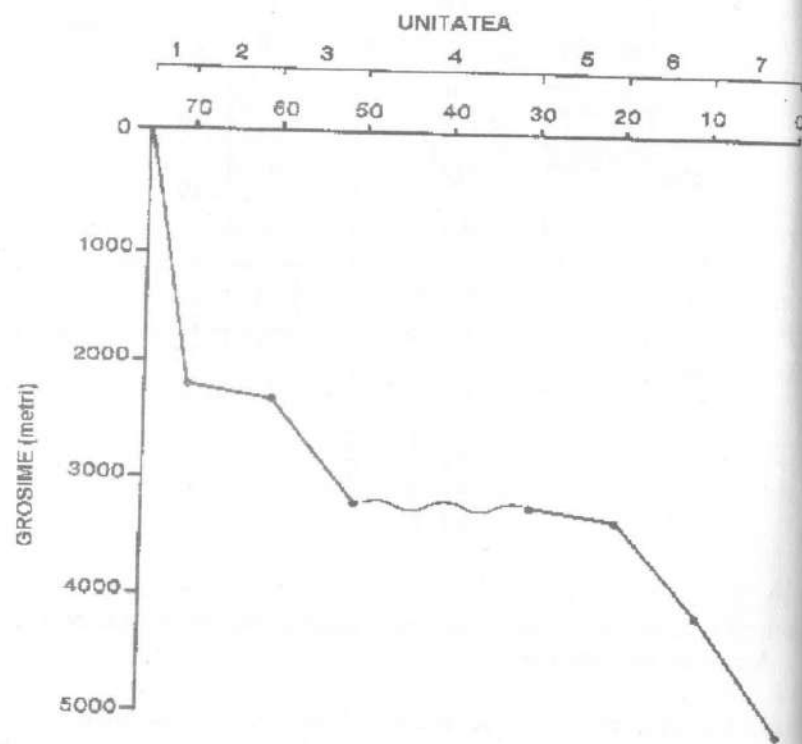
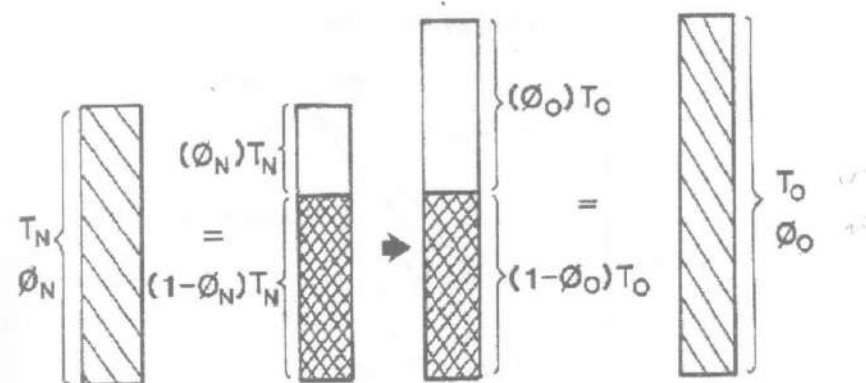


Fig. 3.9. Diagramă primară (stratigrafică) de îngropare a sedimentelor

a) Corecția pentru compactarea sedimentelor

Într-o primă etapă, prin compilarea datelor privind grosimile actuale ale unităților stratigrafice se poate trasa o curbă simplă de acumulare a sedimentelor (fig. 3.10). Următoarea etapă constă în corectarea grosimilor unităților în funcție de gradul de compactare al sedimentelor.

Exemplu $(1-\phi_N)T_N = (1-\phi_O)T_O$

LEGENDA

T grosime
 ϕ porozitate
 O inițială
 N actuală

$$T_O = \frac{(1-\phi_N)T_N}{1-\phi_O}$$

$$T_N = 100 \text{ m}$$

$$\phi_N = 0.20$$

$$\phi_O = 0.50$$

$$(1-\phi_N)T_N = 0.8(100) = 80 \text{ m de sediment}$$

$$T_O = \frac{(1-\phi_N)T_N}{1-\phi_O} = \frac{80}{0.5} = 160 \text{ m.}$$

Fig. 3.10. Model de calcul a corecției pentru compactarea sedimentelor (după Van Hinte 1978).

Se știe că volumul brut al sedimentelor (rocilor) este constituit, într-o ipoteză simplificatoare, din volumul granulelor minerale și spațiul dintre acestea, respectiv volumul porilor (fig. 3.11).

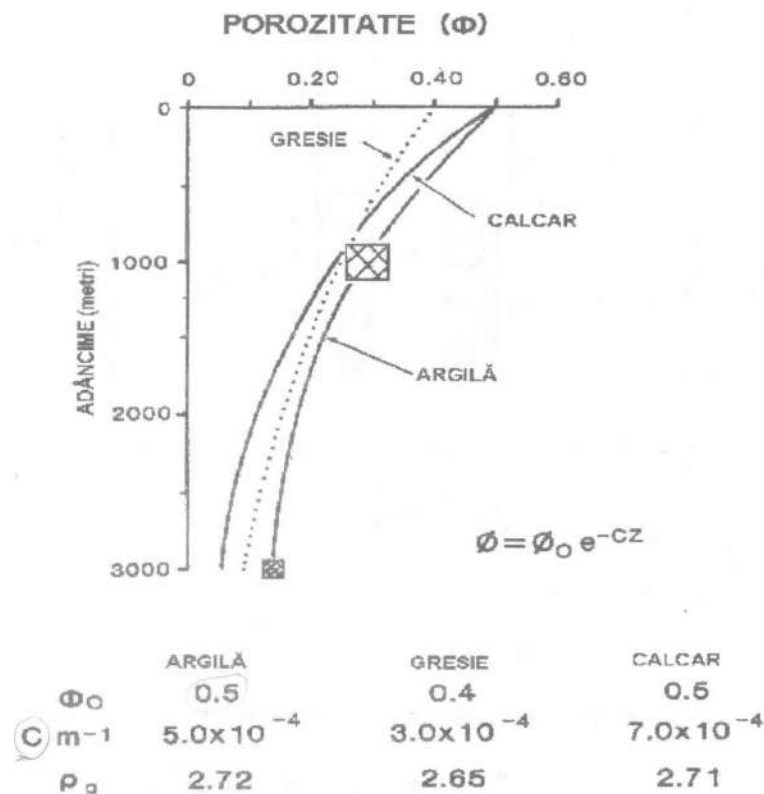


Fig. 3.11. Curbe de variație a porozității cu adâncimea pentru diferite tipuri de roci (după Christie 1980)

Acestei situații îi corespunde o grosime inițială a sedimentului, H_0 . Considerăm că în timpul îngropării sedimentelor nu au loc procese diagenetice care să modifice volumul granulelor minerale. Astfel, orice modificare a grosimii sedimentelor în procesele de compactare ulterioare momentului depunerii acestora se datorează exclusiv variației porozității.

În aceste condiții se poate stabili o relație între grosimea actuală a sedimentelor (rocilor) și grosimea inițială a acestora (H_0).

$$H_i = \frac{(1 - \Phi_a) \cdot H_0}{1 - \Phi_i} \quad (3.1)$$

unde: Φ_a = porozitatea actuală
 Φ_i = porozitatea inițială (în momentul depunerii)
 H_a = grosimea actuală a sedimentelor

Rata descreșterii porozității în timpul îngroșării pentru diferite tipuri de roci sedimentare poate fi determinată empiric prin relațiile, respectiv datele, furnizate de diferite studii (de exemplu valorile exemplificate în fig. 3.3). În principiu, variația porozității unității de volum este dată de o relație de forma:

$$\Phi_a = \Phi_i \cdot e^{-C \cdot z} \quad (3.2)$$

în care porozitatea actuală, sau oricare moment al îngropării (Φ_a) este corelată cu porozitatea inițială (din momentul depozitării - Φ_i), adâncimea de îngropare în metri (z) și constanta corespunzătoare fiecărui tip litologic (C).

În fig. 3.11 sunt ilustrate curbele de decompactare pentru diferite tipuri de roci cât și parametrii inițiali folosiți în exemplul de calcul.

În unele studii se afirmă că porozitatea rocilor descrește cu adâncimea după o curbă exponențială indiferent de tipul litologic (fig. 3.12) ceea ce ușurează realizarea programelor pe calculator. În realitate, cea mai corectă metodologie de determinare a porozităților este cea bazată pe valorile obținute din analiza carotelor mecanice, corelarea acestora cu carotajele geofizice de sondă corijarea datelor geofizice și reiterarea procesului de interpretare până la obținerea unor erori minime. Această metodologie oferă posibilitatea obținerii variației porozității cu adâncimea, cât și în funcție de diferitele tipuri litologice. Pentru a simplifica modelul de calcul, fără a introduce erori semnificative în exemplul nostru, vom folosi valorile din fig. 3.11.

Prin această abordare trebuie să presupunem că toate variațiile porozității cu adâncimea sunt rezultatul fenomenului de compactare. Dacă procesele de cimentare primară (timpurie) sunt semnificative atunci o mare parte din micșorarea porozității este posibil să nu se datoreze compactării rocilor.

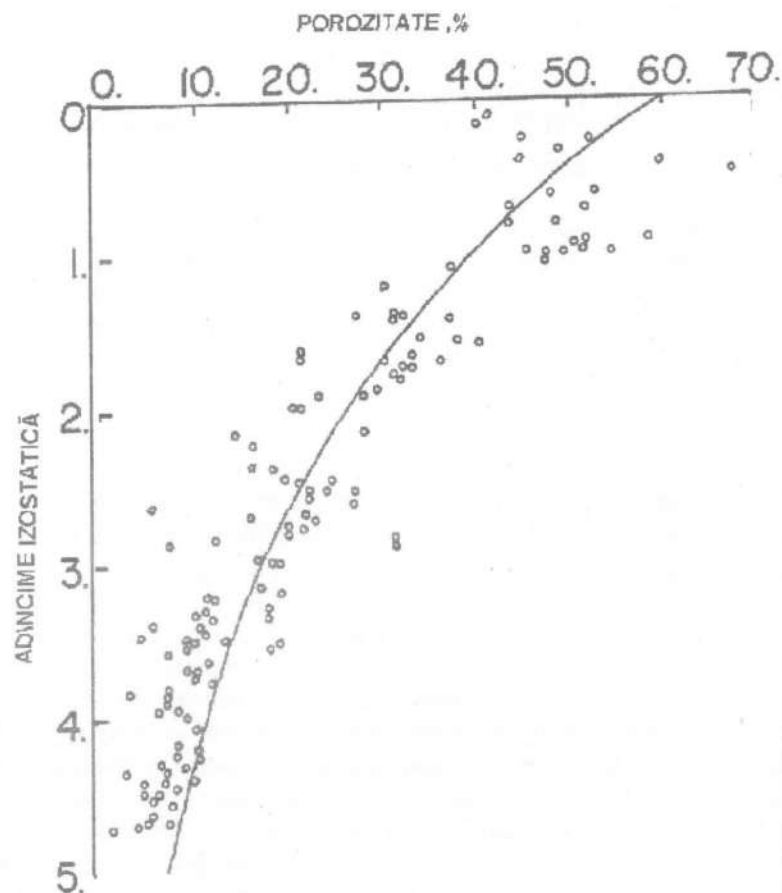


Fig. 3.12. Trasarea curbei de variație a porozității pe baza datelor din sonde

În această situație corecțiile datorate compactării nu se mai execută sau sunt foarte reduse. De asemenea, se pune problema provenienței cimentului și a modelului de cimentare; respectiv dacă acesta a fost transportat de la nivelul altei unități stratigrafice sau a apărut ca urmare a circulației în sistem deschis la nivelul unității studiate.

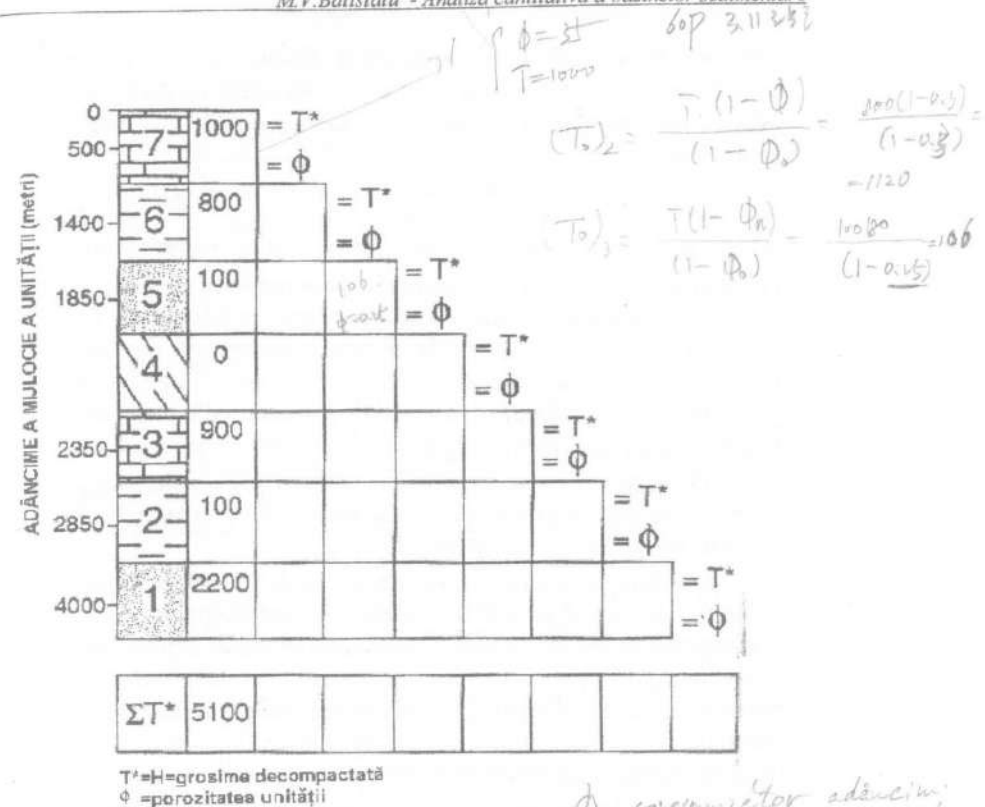


Fig. 3.13. Model de prezentarea datelor necesare efectuării corecției pentru compactizarea sedimentelor

Problema variației gradului de compactare în funcție de tipurile litologice (unul sau mai multe tipuri de roci cu comportamente diferite) nu este de natură să influențeze major rezultatele calculelor deoarece ponderea compactării în totalul subsidenței este, în general, redusă (sub 10% în cazul depozitelor de grosime mare). Pentru o mai corectă încadrare se pot folosi paliere de valori maxime și minime și, în funcție de alți parametri geologo - geofizici, să se opteze pentru un anumit set de valori, între cele extreme. Pentru o și mai exactă apreciere a compactării rocilor se poate apela și la analize petrografice executate pe eșantioane (carote) prelevate din arealul studiat (fig. 3.12).

Cu ajutorul relațiilor 3.1 și 3.2 putem estima grosimile unităților stratigrafice în diferite momente ale istoricului de îngropare al acestora. Pentru simplificarea calculelor se estimează valorile de porozitate

corespunzătoare adâncimii mijlocului fiecărei unități și considerăm că aceasta este valoarea medie pentru întreaga unitate stratigrafică. Desigur, adâncimea mijlocului unități(lor) se modifică în timpul îngropării sedimentelor.

În figura 3.13 este prezentat un tabel cu ajutorul căruia putem reconstitui evoluția compactării sedimentelor și grosimile unităților stratigrafice în diferite momente (Van Hinte 1978). Astfel, pe prima coloană din partea stângă sunt prezentate (pe baza coloanei litologice din fig. 3.8), litologia și adâncimea medie pentru fiecare unitate stratigrafică

În coloana următoare, la partea superioară a fiecărei căsuțe sunt trecute grosimile actuale ale unităților. Pe bara inferioară se marchează grosimea totală a depozitelor (ΔH) aferentă coloanei suprajacente (și bineînțeles momentului corespunzător).

Pe baza adâncimilor medii pentru fiecare unitate în parte se pot calcula valorile porozităților fie analitic, din relația 3.2, fie direct din graficul ϕ/H prezentat în figura 3.12.

Coloana următoare reprezintă situația existentă în momentul încheierii depunerii unității 6, respectiv înaintea depunerii unității 7. Pentru aceasta practic îndepărtăm grosimea ultimei unități depozitionale limita 7/6 devenind astfel punctul de adâncime 0 al coloanei. Se calculează, pe baza adâncimii punctului mediu, porozitatea medie a unității 6 și cu ajutorul acestuia, conform relației 3.1, se poate calcula grosimea inițială (decompactată) a unității stratigrafice.

În continuare se calculează valorile de porozitate și grosimile unităților subjacente ale coloanei, iar pe bara din bază, în dreptul coloanei, se însumează grosimea totală a celor 6 unități.

În mod similar se procedează cu fiecare coloană (5...1) prin îndepărtarea consecutivă a celei mai noi unități și calcularea valorilor susmenționate (fig. 3.14.).

Deoarece în calculul corecțiilor de compactare pot apărea erori care, deși sunt relativ mici, prin însumare pot deveni semnificative, la calcularea valorilor de grosime și porozitate pentru fiecare coloană în parte se folosesc ca date de intrare valorile din prima coloană îndepărtându-se pe rând unitățile stratigrafice în ordinea lor descrescătoare

Astfel, pentru coloana 5-1 se îndepărtează unitățile 6+7, pentru coloana 4-1 unitățile 5+6+7, ș.a.m.d..

În acest mod se realizează "decompactarea" în timp a fiecărei unități stratigrafice. În figura 3.14 sunt prezentate valorile obținute la decompactarea unităților stratigrafice din coloana prezentată anterior (fig. 3.8).

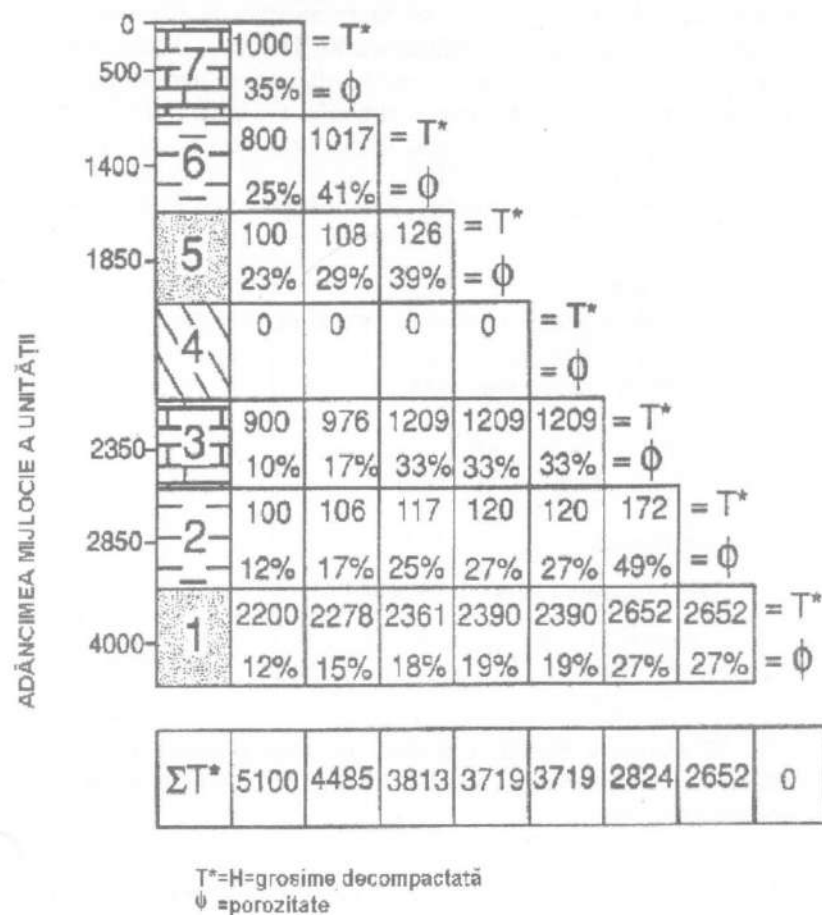


Fig. 3.14. Calcularea grosimilor decompactate ale sedimentelor

b). Calculul "corect" al decompactării

Tehnica de calcul a decompactării stratelor prezentată anterior este totuși mai puțin precisă. Pentru o mai mare acuratețe în rezolvare, mai ales când se dorește realizarea unui program de prelucrare automată a datelor, se poate folosi un algoritm mai elaborat. În figura 3.15. este reprezentată în mod schematic problema decompactării, respectiv eroarea introdusă prin folosirea valorilor medii pe interval (unitate) față de valorile corecte de

compactare plotate în graficul din figura menționată. Considerăm o unitate de grosime H_a îngropată la adâncimea Z_a . Dorim să determinăm grosimea acesteia într-un moment anterior când unitatea era îngropată la o adâncime Z_i (pentru conformitate s-a folosit simbolul i = inițial, dar determinarea se poate face pentru orice moment, respectiv adâncime de îngropare de la inițierea procesului până în prezent). Ipotezele de bază sunt:

- porozitatea descrește cu adâncimea după o lege exponențială:

$$\Phi_a = \Phi_i \cdot e^{-c \cdot z} \quad (3.2)$$

-volumul granulelor minerale de roci este constant.

În această situație vom avea:

$$\int_{z_i}^{z_i+H_i} (1-\Phi) dz = \int_{z_a}^{z_a+H_a} (1-\Phi) dz \quad (3.3)$$

Prin rezolvarea integralelor se obține:

$$H_i + \frac{\Phi_i}{C} \cdot e^{(-c \cdot z_i)} \cdot [e^{(-c \cdot H_i)} - 1] = H_a + \frac{\Phi}{C} \cdot e^{(-c \cdot z_a)} \cdot [e^{(-c \cdot H_a)} - 1] \quad (3.4)$$

O rezolvare directă a ecuației nu este posibilă astfel că cea mai eficientă metodă de lucru constă în izolarea lui H_i (grosimea decompactată) obținându-se relația:

$$H_i = -\frac{\Phi}{C} \cdot e^{(-c \cdot z_i)} \cdot [e^{(-c \cdot H_i)} - 1] + H_a + \frac{\Phi}{C} \cdot e^{(-c \cdot z_a)} \cdot [e^{(-c \cdot H_a)} - 1] \quad (3.5)$$

iar în continuare să se dea valori grosimii inițiale H_i pentru care să se obțină verificarea relației de mai sus (3.5). Prin încercări succesive se poate determina o valoare H_i care să verifice egalitatea sau marja de eroare să fie acceptabilă.

Să folosim acest proces iterativ în comparație cu rezultatele obținute anterior în cazul decompactării unității stratigrafice 6 (fig. 3.14.). Roca este o argilă așa că vom avea constanta de compactare $c = 5 \cdot 10^{-4} \text{ m}^{-1}$ și porozitatea inițială $\phi = 0,5$. Adâncimea actuală a limitei superioare a unității este de 1000 m și grosimea (H_a) de 800 m. Care este grosimea acestei unități la sfârșitul depunerii sale (H_i)?

În primul rând introducem valorile cunoscute în relația (3.5) și vom obține:

$$H_i = -1000 \cdot e^{(-5 \cdot 10^{-4} \cdot H_i)} + 1599,9 \quad (3.6)$$

unde H_i este exprimată în metri.

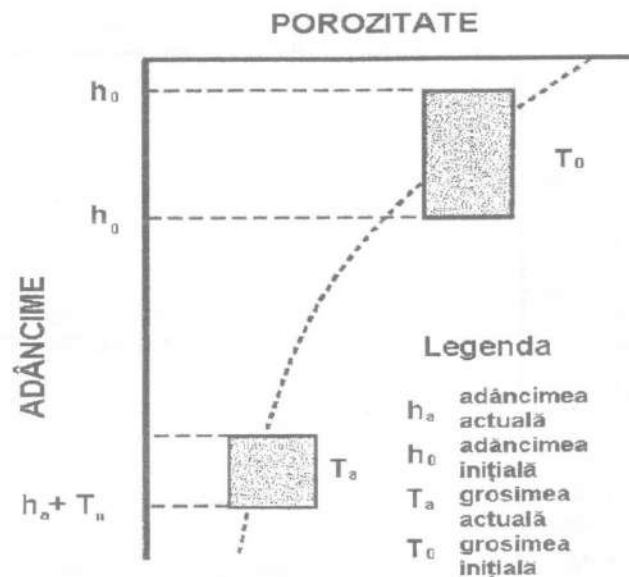


Fig. 3.15. Exemplificarea marjei de eroare ce poate fi introdusă la calcularea decompactării sedimentelor prin folosirea valorilor medii de interval pentru porozitate (după Heller 1990).

Dacă se dorește estimarea variațiilor nivelului apelor mării folosindu-se secțiuni balansate este necesară folosirea algoritmului de calcul al decompactării "corecte", mai ales când unitățile lito - stratigrafice sunt de grosime mare, peste 100 m.

Atunci când se are în vedere în principal istoricul subsidenței tectonice și grosimea unităților este redusă, sub 100 m, metoda aproximativă poate fi folosită fără riscul introducerii unor erori.

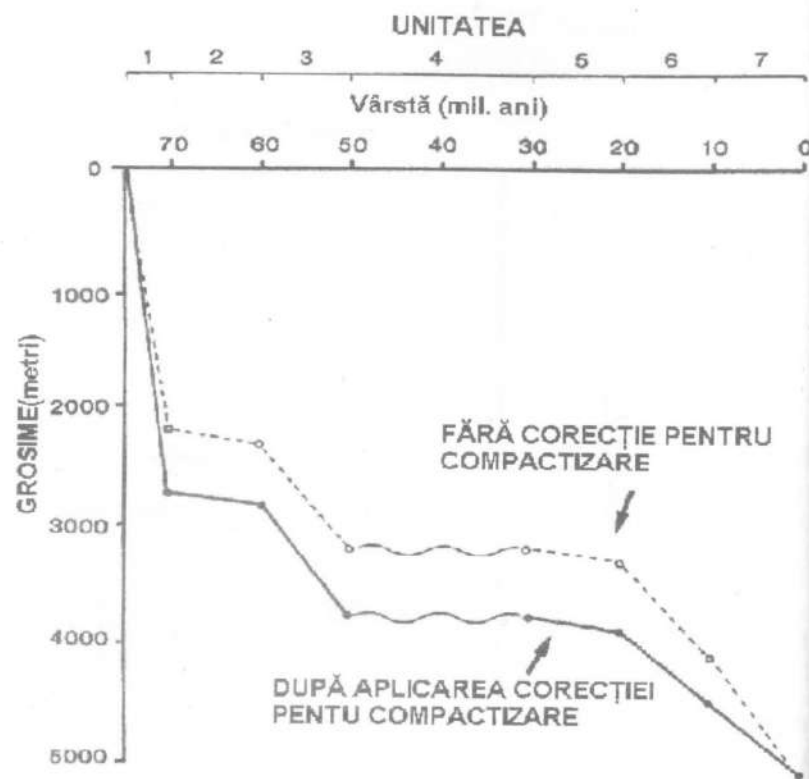


Fig. 3.16. Curba de subsidență corectată cu gradul de compactare al sedimentelor pentru datele din exemplul

O primă valoare a lui H_i poate fi luată grosimea actuală $H_a = 800$ m. Din calcule vom obține $H_i = 929,58$ m. Introducem această valoare în ecuație și vom obține $H_i = 971,63$ m. Continuând în același mod obținem seria de valori: 800; 929,58; 971,63; 984,71; 988,71; 989,94; 990,31; 990,42; 990,46; 990,47. Astfel s-a ajuns la soluția $H_i = 990,47$. Această valoare este mai mică cu 27 m decât cea obținută prin metoda mediei de

interval folosită la determinarea aproximativă, ceea ce înseamnă o eroare mai mică de 3%.

După estimarea decompactării sedimentelor se poate trasa curba de acumulare a sedimentelor pentru secvența studiată (fig. 3.16). Această curbă a îndepărtat efectele compactării din secțiune.

Deoarece corecțiile de compactare au un caracter general, curba finală reprezintă numai o aproximare a curbei reale de acumulare a sedimentelor. În general, are loc o supraestimare a grosimilor unităților atunci când procesele de cimentare au avut un rol semnificativ în litificarea unităților sedimentare.

c. Curba subsidenței totale

După stabilirea corecțiilor datorate compactării sedimentelor pentru obținerea curbei subsidenței totale la valorile obținute (grosimi decompactate) se însumează datele paleobatimetrice estimate pe baza celor menționate anterior (fig. 3.17).

Deoarece indicațiile privind adâncimea apei sunt cuprinse într-o plajă de valori mai mult sau mai puțin extinsă (Vail et. al. 1977) în cazul estimării subsidenței totale se pot folosi paliere de valori minime și maxime sau acestea se ponderează după o curbă ce include valori medii de adâncime.

Referindu-ne la exemplul studiat se poate observa că evoluția bazinului debutează printr-o fază de subsidență rapidă pentru că în continuare aceasta să descrească lent și să se manifeste în continuare printr-o rată minimă sau chiar să apară fenomene de inversare, respectiv o ridicare a fundului bazinului marcată în dreptul punctului de 20.000.000 ani.

Hiatusul reprezentat de unitatea 4 poate fi interpretat în mai multe moduri fără ca (datorită lipsei datelor certe) nici unul dintre acestea să fie respins sau acceptat fără rezerve.

O primă remarcă se referă la diferența datelor de paleobatimetrie între unitățile adiacente suprafeței de discordanță. Astfel, la partea superioară a unității 3 adâncimea bazinului era de aproximativ 100 m, în timp ce sedimentele din baza unității 5 corespund unei adâncimi de peste 500 m.

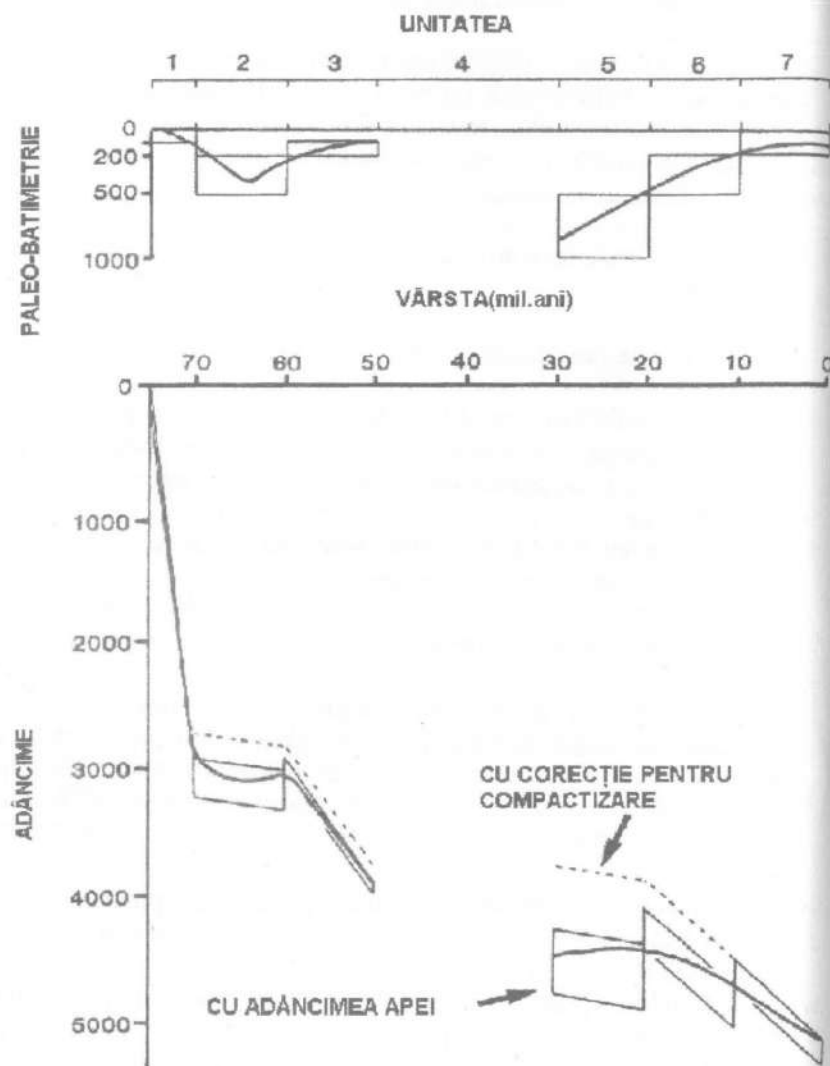


Fig. 3.17. Curba subsidenței totale calculate pentru efectul de compactizare a sedimentelor și variația adâncimii apei bazinului.

Pe baza acestor date se poate considera că în intervalul corespunzător hiatusului a avut loc o subsidență continuă fără însă a se forma, respectiv distruge (sedimentare → eroziune) depozite.

Probabilitatea ca într-o perioadă de timp relativ extinsă (cca 20 milioane ani) să existe un echilibru perfect între procesele de sedimentare, subsidență și eroziune astfel încât să nu se formeze sau să se distrugă depozite sedimentare este foarte redusă, însă lipsa datelor privind evoluția bazinului în timpul lacunei stratigrafice ne obligă să considerăm valabilă ipoteza subsidenței continue în condiții de nesedimentare.

Variațiile de adâncime datorate fluctuațiilor eustatice sunt mai greu de evidențiat și se bazează în principiu pe compararea curbelor de subsidență sincrone, dar aparținând unor zone diferite.

Atunci când apar perioade de subsidență sincrone în bazine diferite cu evoluții distincte, treapta de subsidență poate reprezenta o schimbare a nivelului apelor oceanului planetar (Heller 1982).

O altă modalitate de estimare a variațiilor eustatice constă în compararea treptelor din curbele de subsidență totală cu variațiile în timp ale nivelului eustatic estimate de diferiți cercetători (de exemplu Haq et al. 1987).

3.2. CALCULUL SUBSIDENȚEI TECTONICE

Curba subsidenței totale, așa cum a fost ea calculată anterior, reprezintă efectul cumulat al tuturor factorilor implicați în subsidența bazinului respectiv: încărcarea cu sedimente, încărcarea tectonică și schimbările nivelului eustatic (corecția de compactare fiind deja realizată).

Atunci când ne propunem studierea și cuantificarea proceselor tectonice și/sau schimbările de nivel eustatic este necesară eliminarea efectului încărcării cu sedimente a fundului bazinului din curba subsidenței totale. Cea mai simplă metodă de realizare a cuantificării și estimării acestui efect constă în aplicarea, la scară restrânsă (pentru secțiunea studiată), a modelului de echilibrare izostatică, ceea ce ne permite îndepărtarea consecutivă a sarcinii exercitate de unitățile stratigrafice componente ale secțiunii studiate, de la suprafață în adâncime.

Această tehnică simplistă nu se poate aplica însă unor zone întinse sau întregului bazin sedimentar deoarece, în interpretarea subsidenței la scară regională intervin în mod variat, fluxul geotermic și subsidența flexurală. Astfel, rezultatele obținute prin izostazie locală pot fi eronate când ne referim la întreg arealul bazinului sedimentar.

Principalele avantaje ale backstripping - ului izostatic constau în simplitatea algoritmului, cantitatea redusă de date la care se apelează (în comparație cu analiza flexurală bi sau tridimensională) și obținerea unor rezultate destul de exacte pentru o secțiune cu extindere orizontală redusă.

De asemenea, dacă pe anumite zone nu apar varietăți semnificative ale grosimilor unităților stratigrafice, backstripping - ul izostatic poate da rezultate similare izostaziei flexurale.

3.2.1. BACKSTRIPPING

Prin backstripping se înțelege calcularea și estimarea efectului de subsidență al încărcăturii sedimentare asupra fundului bazinului depozițional, respectiv aplicarea balansării izostatice pentru depozitele sedimentare.

Considerăm un bazin sedimentar care, fără a fi afectat de procese tectonice, este colmatat cu sedimente într-o anumită perioadă de timp (fig. 3.18). Pe măsură ce se acumulează sedimente sarcina exercitată de acestea asupra fundului bazinului duce la subsidență. Aceasta poate fi determinată folosind egalitatea sarcinilor la suprafața de compensație izostatică (vezi cap. 2). Astfel relația 2.1 devine:

$$\rho_a \cdot Z + H_L \cdot \rho_l + \rho_{ma} \cdot X = \rho_s \cdot H_s + H_L \cdot \rho_L + \rho_{ma} \cdot (Z + X' - H_s) \quad (3.7)$$

unde:

ρ = densitatea

a = apei

l = litosferei

ma = astenosferică

s = sedimentelor

Z = adâncimea apei din bazin

H_s = grosimea sedimentelor

H_l = grosimea litosferei

X, X' = grosimea astenosferei deasupra suprafeței de compensare izostatică

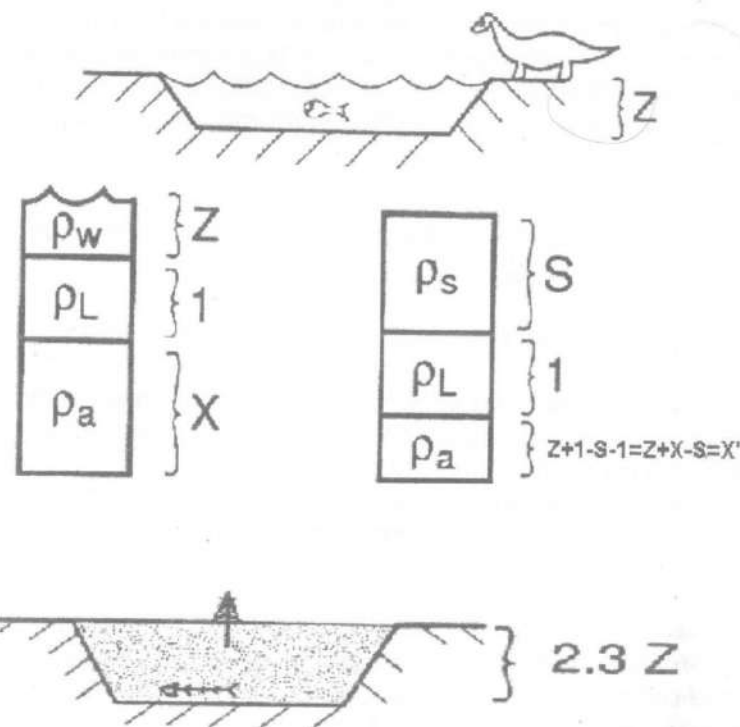


Fig. 3.18. Reprezentarea modelului geologic pentru calculul izostatic al grosimii umpluturii sedimentare a bazinelor (după Angevine, Heller și Paola 1990).

respectiv:

$$(\rho_{ma} - \rho_s) \cdot H_s = (\rho_{ma} - \rho_a) \cdot Z \quad (3.8)$$

deci:

$$H_s = \frac{(\rho_{ma} - \rho_a)}{(\rho_{ma} - \rho_s)} \cdot Z \quad (3.9)$$

Rezolvând ecuația pentru valorile normale de densitate respectiv: $\rho_{ma} = 3,3 \text{ g/cm}^3$, $\rho_s = 2,3 \text{ g/cm}^3$, se obține: $H_s = 2,3Z$ ceea ce arată raportul dintre grosimea sedimentelor și adâncimea apei.

În cazul ecuației de backstripping se caută rezolvarea situației inverse, respectiv determinarea adâncimilor apei din bazinul sedimentar în anumite momente prin raportarea acestora la grosimea sedimentelor depuse și care sunt îndepărtate secvențial. Astfel, adâncimea orizontului reper (Z_i) raportată la nivelul mării reprezentând subsidența tectonică se poate calcula conform relației:

$$Z_i = \left(\frac{\rho_{ma} - \rho_s}{\rho_{ma} - \rho_a} \right) \cdot H_s^* + Z_{ai} \quad (3.10)$$

unde: Z_{ai} = adâncimea apei pentru unitatea stratigrafică respectivă (i)

Pentru simplificarea calculelor se consideră că bazinul sedimentar, în curs de colmatare, nu prezintă o variație în timp a grosimii fundamentului litosferic (crustal + manta superioară rigidă) - Hl

De asemenea pentru o mai exactă determinare a densității stivei sedimentare cât și a comportamentului acesteia în timpul îngropării în calcul se pot folosi valorile din tabelul 2.1.

Tabel 2.1. Variația greutății specifice și a coeficientului de compresibilitate al rocilor în funcție de adâncime pentru diferite categorii de roci sedimentare din România, determinate pe baza datelor din foraje (carote mecanice) – după I.C.P.T. Câmpina

Nr. crt.	H [m]	ROCI MOI		ROCI TARI	
		γ_i [at/10m]	ν	γ_i [at/10m]	ν
1	100	1,960	0,244	2,068	0,174
2	150	1,966	0,265	2,078	0,193
3	200	1,972	0,278	2,088	0,205
4	300	1,984	0,300	2,102	0,235
5	400	1,994	0,318	2,116	0,255
6	500	2,004	0,330	2,130	0,272
7	600	2,014	0,341	2,143	0,285
8	700	2,024	0,350	2,155	0,297
9	800	2,033	0,358	2,167	0,305
10	900	2,042	0,366	2,179	0,313

Nr. crt.	H [m]	ROCI MOI		ROCI TARI	
		γ_i [at/10m]	ν	γ_i [at/10m]	ν
11	1.000	2,051	0,373	2,190	0,321
12	1.200	2,068	0,384	2,212	0,336
13	1.400	2,085	0,392	2,231	0,349
14	1.600	2,100	0,400	2,250	0,362
15	1.800	2,114	0,408	2,268	0,370
16	2.000	2,127	0,416	2,285	0,378
17	2.500	2,157	0,430	2,322	0,397
18	3.000	2,183	0,443	2,350	0,413
19	3.500	2,204	0,453	2,375	0,425
20	4.000	2,225	0,461	2,390	0,436
21	4.500	2,245	0,469	2,405	0,446
22	5.000	2,265	0,476	2,420	0,455
23	5.500	2,283	0,483	2,434	0,464
24	6.000	2,300	0,490	2,445	0,474

Grosimea totală a coloanei de sedimente de sub limita superioară a unității (i) corectată pentru compactarea subsecventă va fi:

$$H_s = \sum_{j=1}^i H_j^* \quad (3.11)$$

iar valorile grosimilor unităților sedimentare (H_j) sunt cele calculate pe linia de bază din fig. 3.14., conform relației 3.1.

Relația referitoare la subsidența tectonică (3.10) a fost formulată pentru cazul în care bazinul sedimentar este umplut cu apă. În cazul unui bazin subaerian subsidența tectonică (Z_i) se calculează înlocuind densitatea apei ($\rho_a = 1 \text{ g/cm}^3$) cu cea a aerului ($\rho_{\text{aer}} = 0,0012 \text{ g/cm}^3$).

De asemenea, relația anterioară (3.10) se referă la cazul când nu sunt cunoscute variațiile eustatice ale nivelului apelor bazinului. Dacă acestea sunt determinate, relația poate fi scrisă sub forma:

$$Z_i = H_s^* \cdot \left(\frac{\rho_{ma} - \rho_s}{\rho_{ma} - \rho_a} \right) + Z_{ai} \pm \Delta NM_i \cdot \frac{\rho_{ma}}{\rho_{ma} - \rho_a} \quad (3.12)$$

unde ΔNM este pozitiv pentru creșteri de nivel și negativ pentru scăderi de nivel (NM = nivelul mării).

În calculul subsidenței tectonice, relația (3.10) se cunosc toți termenii cu excepția densității coloanei sedimentare, ρ_s . Această valoare este dependentă de variația grosimii unităților stratigrafice datorate compactării sedimentelor astfel că ea trebuie calculată după fiecare unitate spațio - temporală (depozite sedimentare □ timp).

Calculul densității sedimentelor se poate face pentru fiecare unitate litostratigrafică în parte, după relația:

$$\rho_s = \frac{\sum_{j=1}^i [\Phi_j \cdot \rho_a + (1 - \Phi_j) \cdot \rho_g] \cdot H_j^*}{H_s} \quad (3.13)$$

unde:

ρ_g = densitatea granulelor minerale

ρ_j = porozitatea unității stratigrafice j

Valorile maxime de porozitate (în condiții de suprafață) pentru diferite tipuri de roci sunt cele prezentate în fig. 3.11.

3.2.2. EXEMPLU DE CALCUL

În exemplul folosit pentru evoluția (istoria) subsidenței putem folosi relațiile 3.10 și 3.13. Prin construirea graficului subsidenței tectonice (Z) pe același grafic pe care s-a trasat curba subsidenței totale (fig. 3.19) putem ilustra evoluția subsidenței coloanei sedimentare datorată altor forțe decât încărcării cu sedimente după modelul izostaziei locale.

Se poate observa că mai mult de jumătate din subsidența bazinului se datorează încărcăturii sedimentare. De fapt se poate observa că cea mai mare parte din subsidența tectonică are loc în perioada de formare-deschidere a bazinului, dar care nu este evidențiată cu acuratețe dată fiind incertitudinea datelor referitoare la amplitudinea variațiilor adâncimii apei în bazin. Din nou nu se pot face aprecieri privind, de data aceasta, subsidența tectonică în timpul unității 4 (hiatusului). Oricum, la sfârșitul perioadei mai

sus menționate bazinul nu se scufundase mai mult decât la începutul acesteia.

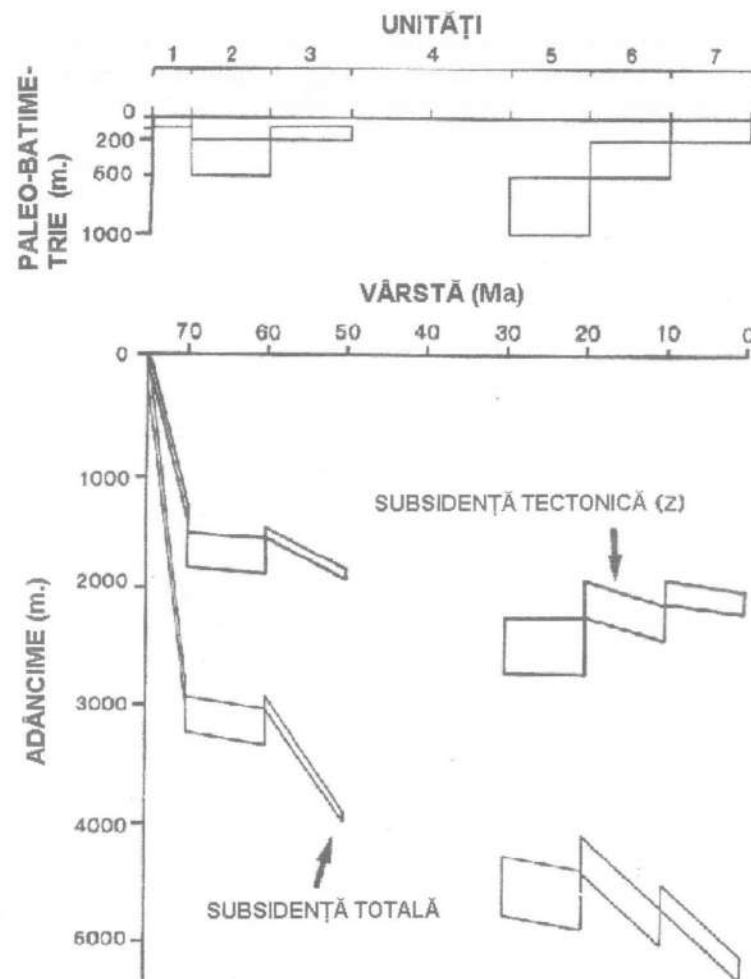


Fig. 3.19. Reprezentarea subsidenței tectonice pentru datele din exemplul anterior

Este puțin probabil ca în această perioadă să fi avut loc evenimente tectonice cu o evoluție de așa natură încât să fi reprezentat un ciclu "simetric" față de limitele hiatusului și care să lase bazinul la același nivel ca la început. Deci în această perioadă nu au avut loc evenimente tectonice importante.

Așa cum se va arăta în continuare aceste curbe pot fi folosite pentru interpretarea mecanismelor de subsidență, monitorizarea temporală a acestora și istoricul variațiilor de nivel ale mării.

CAPITOLUL 4 SUBSIDENȚA TERMALĂ

4.1. IZOSTAZIA TERMALĂ

În decursul evoluției lor bazinele de sedimentare sunt caracterizate, așa cum s-a arătat anterior (cap. 2.3), de existența unui flux geotermic variabil ce induce variații ale proprietăților secțiunii studiate. Astfel, se poate observa că în cazul bazinelor de rift subsidența îndelungată este asociată cu răcirea și îngroșarea litosferei. Prin răcire rocile devin mai dense. Putem aprecia variația densității rocilor ce constituie litosfera după relația:

$$\rho_1 = \rho_0 \cdot [1 + \alpha_v \cdot (T - T_0)] \quad (4.1)$$

unde:

ρ_1 = densitatea rocilor litosferice la T_0 , aprox. 3,33 g/cm³

T = temperatura de la suprafața terestră (0 – 20 °C)

α_v = coeficient de volum al expansiunii termale ($3,28 \times 10^{-5} \text{ K}^{-1}$)

Având în vedere că astenosfera are compoziție mineralogică identică cu a mantalei litosferice, dar are o temperatură mai mare decât punctul de topire, (aprox. 1300-1350 °C), densitatea acesteia va fi mai mică decât densitatea mantalei litosferice. Conform relației de mai sus densitatea acesteia este de aprox. 3,185 g/cm³. Se poate observa că între cele două valori există o diferență de aprox. 4%, relativ mică, dar care, raportată la grosimea litosferei devine semnificativă în balanța izostatică a secțiunii. În cele ce urmează vom prezenta modelul de calcul al subsidenței termale elaborat de Mc Kenzie (1978) pentru evaluarea subsidenței termale a bazinelor de rift, cele mai influențate de fluxul geotermic.

4.2. MODELUL DE ÎNTINDERE SIMPLĂ

În linii mari acest model a fost prezentat anterior (cap. 2.3) dar este necesară definirea relațiilor cantitative de determinare a parametrilor evoluției bazinului. Subsidența inițială (S_i) reprezintă rezultatul a două procese complementare, respectiv întinderea crustală, având ca efect

subsidența, și subțierea mantalei litosferice, având ca efect ridicarea. Se presupune că întinderea litosferică afectează grosimea și nu densitatea plăurilor litosferice (crusta și mantaua litosferică). Raportându-ne însă la relația 4.1. se poate observa că încălzirea litosferei în timpul riftării are ca efect reducerea densității litosferice și afectează subsidența inițială (fig. 4.1.).

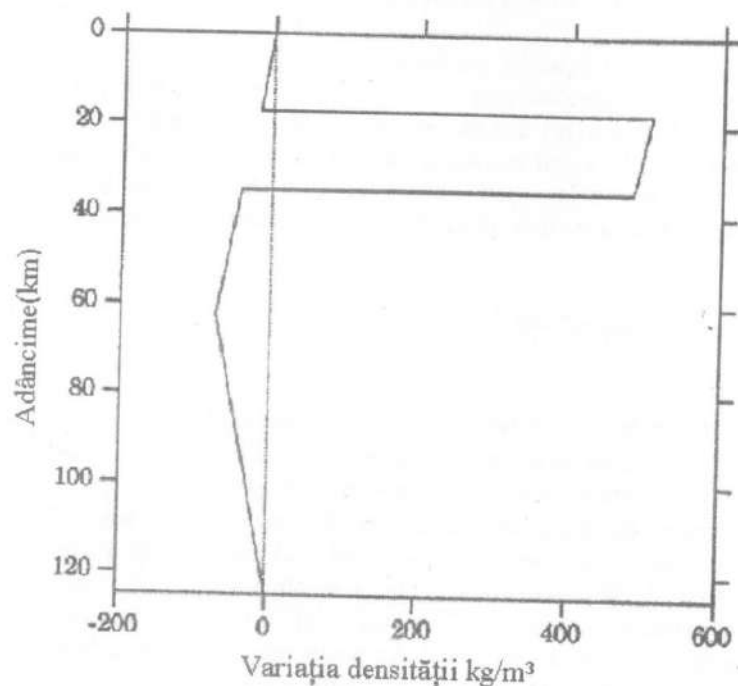


Fig.: 4.1. Modificarea valorilor de densitate ale rocilor în timpul procesului de riftare ca urmare a întinderii litosferei (pentru un factor de întindere $\beta = 2$). În zona superioară, mărirea densității apare datorită înlocuirii rocilor crustale cu roci aparținând mantalei litosferice. Zonele cu densități mai scăzute apar ca urmare a încălzirii litosferei și a înlocuirii parțiale a mantalei litosferice solide cu astenosferă (mai puțin densă). Grosimile inițiale ale crustei și litosferei sunt de 35 și respectiv 125 km.

Pentru a evalua schimbările ce apar în variația temperaturilor cu adâncimea în timpul riftării este necesară cunoașterea distribuției inițiale a

temperaturilor la nivelul litosferei și cum aceasta (litosfera) se deformează în timpul riftării.

Considerăm că înainte de riftare distribuția temperaturilor se face uniform de la suprafață (convențional acceptată ca având 0°C) până la baza litosferei unde se consideră o temperatură convențională de 1333°C reprezentând punctul de topire al rocilor mantalei.

Dacă procesul de întindere este suficient de rapid și omogen (o rată constantă de strain) va avea loc o creștere liniară a temperaturii de la 0°C la suprafață la temperatura T_1 la baza litosferei. Putem considera că temperatura T_1 rămâne constantă indiferent de variațiile de grosime ale litosferei. Astfel, în timpul riftării gradientului termic va crește de la T_1/a (unde a este grosimea litosferei) la $\beta T_1/a$ deoarece are loc o reducere a grosimii de la a la a/β (β = factor de întindere). Luând în considerație schimbarea grosimilor (fig. 2.7.) și a temperaturilor, în funcție de adâncime, putem evalua subsidența fazei de sin rift conform relației:

$$S_i = \frac{a \cdot \left[(\rho_0 - \rho_c) \cdot \frac{h_c}{a} \cdot \left(1 - \frac{\alpha_v \cdot T_1 \cdot h_c}{2 \cdot a} \right) - \frac{\rho_0 \cdot \alpha_v \cdot T_1}{2} \right] \cdot \left(1 - \frac{1}{\beta} \right)}{\rho_0 \cdot (1 + \alpha_v \cdot T_1) - \rho_a} \quad (4.2)$$

unde:

h_c = grosimea inițială a crustei (25 - 75 km)
 ρ_c = densitatea crustei continentale ($2,8 \text{ g/cm}^3$)
 ρ_a = densitatea apei.

Se presupune că riftarea are loc în domeniul continental și că zona în care are loc subducția (marginile continentale și crusta în subducție) este acoperită cu apă.

Procesul de subsidență este prezent atâta timp cât grosimea scoarței este mai mare decât 17,2 km. Sub această grosime va avea loc o ridicare crustală. În fig. 4.2. este prezentată variația subsidenței în funcție de factorul de întindere (β) în cazul unei grosimi a crustei de 35 km și o grosime a litosferei (a) de 125 km.

Eludând procesele dinamice de riftare vom putea estima cu ușurință distribuția temperaturilor înainte și după faza de riftare. Conform acestei ipoteze, care simplifică modelarea procesului, putem calcula subsidența inițială după relația:

$$S_i = \frac{(\rho_0 - \rho_c)}{(\rho_0 - \rho_a)} \cdot h_c \cdot \left(1 - \frac{1}{\beta} \right) + \frac{\rho_0 \cdot \alpha_v \cdot T_1}{2 \cdot (\rho_0 - \rho_a)} \cdot a \cdot \left(1 - \frac{1}{\beta} \right) \quad (4.3)$$

unde:

δ = factorul de întindere al crustei

β = factorul de întindere al mantalei litosferice

În comparație cu relația 4.2 se poate observa că unii termeni minori au fost eliminați dar pentru o mai mare acuratețe a evaluării se folosesc valori diferite pentru factorii de întindere corespunzători crustei și respectiv mantalei litosferice.

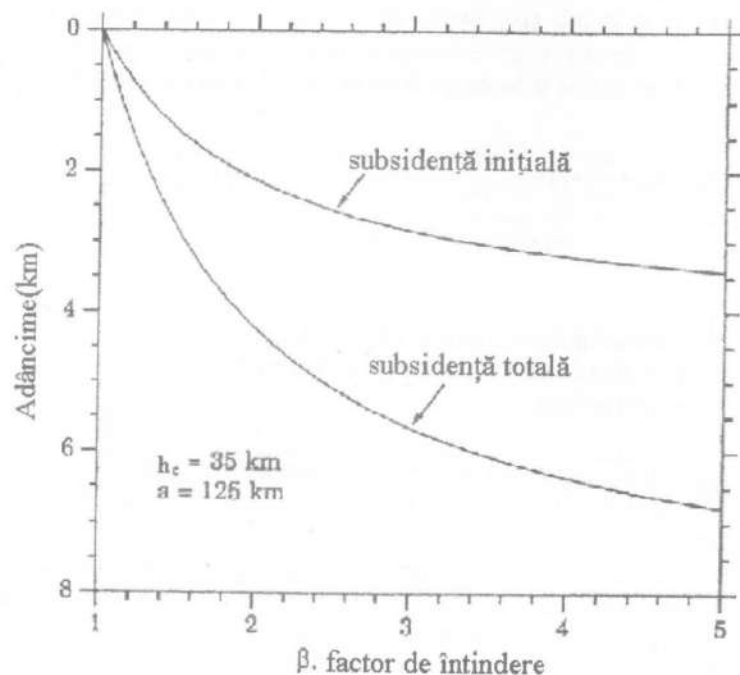


Fig.: 4.2. Reprezentarea subsidenței inițiale și totale în funcție de gradul de întindere al litosferei.

În cazul unei întinderi uniforme se presupune că paturile litosferice au un comportament identic astfel că $\delta = \beta$. În membrul drept al ecuației

4.3 primul termen reprezintă subsidența datorată subțierii mantalei litosferice.

Mult mai dificilă este estimarea subsidenței termale corespunzătoare fazei post rift deoarece nu sunt cunoscuți cu exactitate parametri inițiali de stare, respectiv structura densităților și a temperaturilor în cadrul litosferei.

Se poate face totuși o evaluare a structurii termale a litosferei folosindu-se distribuția temperaturilor după întindere și condițiile limită, temperaturile de suprafață (T_0) și la baza litosferei (T_1) - fig. 4.3.

De asemenea, putem considera că fluxul termic s-a manifestat unidimensional, respectiv a avut loc o conducție termică verticală. Aceasta presupune că transportul de căldură prin convecție și conductivitate laterală este foarte mic și poate fi neglijat.

Folosind o serie tip Fourier temperatura litosferei în funcție de adâncime (Z) și timpul scurs de la riftarea bazinului (t) este dată de relația:

$$\frac{T}{T_1} = \frac{Z}{a} + \frac{2}{\pi} \cdot \sum_{n=1}^{\infty} \left[\frac{\beta}{n^2 \cdot \pi} \cdot \sin\left(\frac{n \cdot \pi}{\beta}\right) \right] \cdot e^{\left(-\frac{n^2 \cdot t}{\tau}\right)} \cdot \sin\left(\frac{n \cdot \pi \cdot Z}{a}\right) \quad (4.4)$$

unde:

τ = constanta termală de timp ($a^2/\pi^2 K$)

k = difuziunea termală ($8 \times 10^{-7} \text{ m}^2/\text{s}$)

Ecuația nu este așa de complicată pe cât pare. Astfel, în membrul drept primul termen reprezintă distribuția stabilă a temperaturilor exemplificată în graficul din fig. 4.3. Suma reprezintă excesul de căldură debitat în litosferă de procesul de riftare.

De fapt, ponderea cea mai importantă a acestui exces de flux caloric este dată de primul termen al sumei, respectiv pentru $n = 1$, ceilalți termeni fiind, în comparație cu primul, foarte mici datorită factorului exponențial de timp. Aceasta înseamnă că excesul de căldură este îndepărtat treptat de procesele de conducție.

Constanta de timp (τ) controlează rata de echilibrare prin răcire a litosferei. Pentru parametrii dați $\tau = 62,8 \text{ M.a.}$ Timpul se măsoară din momentul încetării procesului de riftare.

Folosind ecuația de mai sus, în modelarea răcirii litosferice nu se ia în calcul efectul de ecran termic al păturii sedimentare.

Acest efect poate fi considerat ca având o valoare nesemnificativă pentru situațiile în care grosimea păturii sedimentare este mult mai mică comparativ cu grosimea totală a litosferei.

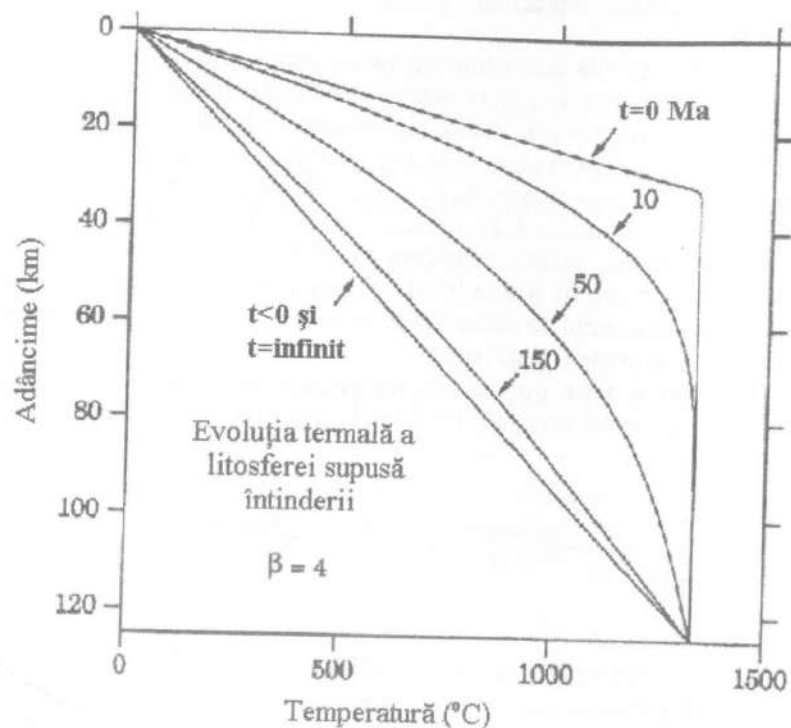


Fig.: 4.3. Reprezentarea grafică a proceselor de răcire ale litosferei ulterioare fazei de riftare pentru diferite durate de timp ale acestora (după Angevine et al. 1990).

În acest context, păstrând numai primul termen al sumei, în ecuația 4.4 variația temperaturii litosferei (ΔT) în funcție de timp și adâncime devine:

$$\Delta T = \frac{2 \cdot T_1 \cdot \beta}{\pi^2} \cdot \sin\left(\frac{\pi}{\beta}\right) \cdot \left[1 - e^{-\left(\frac{t}{\tau}\right)}\right] \cdot \sin \frac{\pi \cdot Z}{a} \quad (4.5)$$

Conform ecuației 4.1 se poate observa că răcirea litosferei provoacă o creștere de densitate astfel că:

$$\Delta \rho_l = \frac{2 \cdot \rho_0 \cdot \alpha_v \cdot T_1 \cdot \beta}{\pi^2} \cdot \sin\left(\frac{\pi}{\beta}\right) \cdot \left[1 - e^{-\left(\frac{t}{\tau}\right)}\right] \cdot \sin \frac{\pi \cdot Z}{a} \quad (4.6)$$

Ecuația 4.6 reprezintă creșterea densității ce apare la orice adâncime în litosferă (Z) la un moment dat (t) după riftare.

Cele mai mari creșteri de densitate apar în secțiunea mediană a litosferei (adâncime medie) unde au loc cele mai mari modificări ale temperaturii. Rata scăderii temperaturii și a creșterii densității litosferei este controlată de constanta termală de timp.

Ultima etapă este corelarea creșterii densității determinată prin relația 4.6 cu subsidența termală a litosferei. Figura 4.4 prezintă o balansare izostatică între litosfera care, tocmai a suferit o întindere ($t = 0$) și litosfera parțial echilibrată într-un moment ulterior oarecare ($t > 0$). Balansarea izostatică este dată de:

$$S_T(t) \cdot \rho_0 \cdot (1 - \alpha_v \cdot T_1) = \int_0^a \Delta \rho_l dZ + S_T \cdot \rho_a \quad (4.7.)$$

unde:

S_t = mărimea subsidenței termale care apare după riftare.

Termenul din stânga reprezintă masa astenosferei dislocuite ca urmare a subsidenței litosferei, iar termenul din dreapta reprezintă creșterea masei litosferice datorită răcirii și masa de apă ce umple bazinul (se presupune că bazinul este în permanență umplut cu apă).

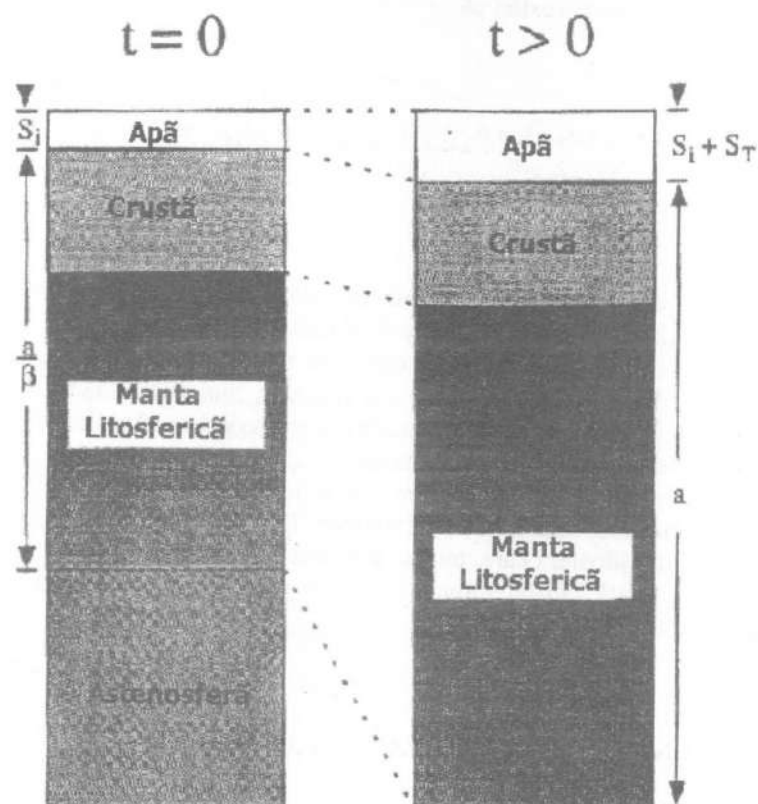


Fig.: 4.4. Balansarea izostatică a unei secțiuni litologice în diferite momente ale evoluției acestuia:

- (a) - după întinderea litosferei în faza de sinrift
(b) - după reechilibrarea maselor de roci din litosferă în faza postrift

De multe ori se obișnuiește ca termenii conținând $\alpha_v T_1$ să fie neglijati datorită valorii mici a acestora, dar în cazul derivatei ecuației 4.2 care reține termeni mici această practică este inconsistentă. După efectuarea substituțiilor și integrarea ecuației 4.7 subsidența termală devine:

$$S_T(t) = \frac{4 \cdot \rho_0 \cdot \alpha_v \cdot T_1 \cdot a}{\pi^2 \cdot (\rho_0 - \rho_a)} \cdot \left[\frac{\beta}{\pi} \cdot \sin\left(\frac{\pi}{\beta}\right) \right] \cdot \left[1 - e^{-\left(\frac{t}{\tau}\right)} \right] \quad (4.8.)$$

Această formulă aproximativă este valabilă pentru o întindere moderată $\beta < 4$, dar poate fi folosită și la întinderi mai mari $\beta > 4$ dacă perioada de timp este mare, $t > 20$ M.a. Dacă nu sunt îndeplinite aceste condiții este necesară folosirea relației generale, respectiv ecuația 4.3.

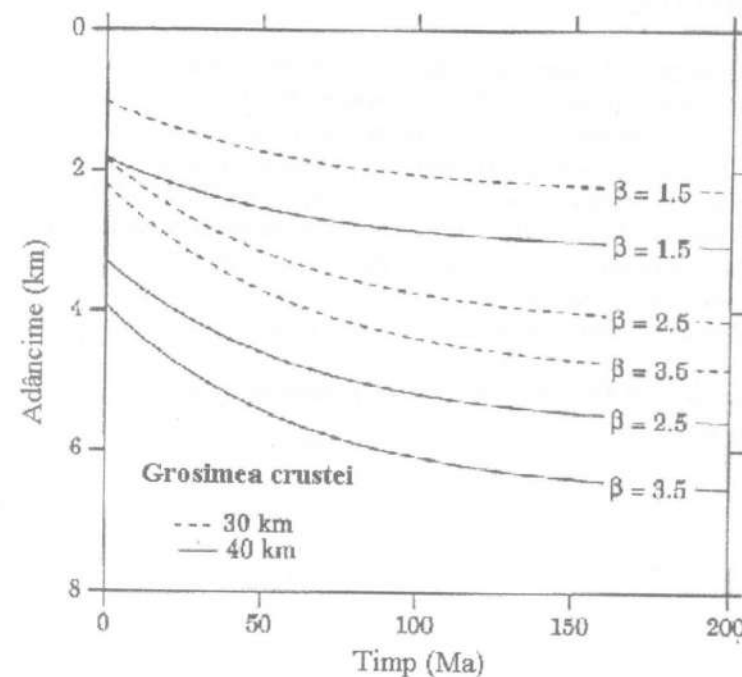


Fig.: 4.5. Ilustrarea evoluției subsidenței bazinelor calculată conform modelului cu întindere simplă (McKenzie 1978).

Subsidența tectonică totală este tocmai însumarea subsidenței inițiale și a celei termale.

$$S(t) = S_i + S_T(t) \quad (4.9.)$$

În figura 4.5 sunt reprezentate curbele de subsidență pentru grosimi

ale crustei de 30, respectiv 40 km și factori de întindere variabili. Se consideră că riftarea este instantanee. Se poate observa că subsidența termală are în final o valoare similară celei inițiale.

În cele ce urmează vor fi prezentate ajustarea unui model la un set de date concrete și interpretarea diferențelor dintre model și date prin prisma variațiilor de nivel ale apei bazinului.

4.3. ESTIMAREA PARAMETRILOR SUBSIDENȚEI TERMALE

Presupunem că parametri de bază folosiți pentru modelarea subsidenței termale (tipul de riftare, grosimea litosferică și factorul de întindere) sunt necunoscute. Pentru seturi de valori considerate acceptabile (compatibile) cadrul geologic al bazinului se realizează un model teoretic de subsidență. În continuare se corijează modelul obținut astfel încât să corespundă datelor de subsidență tectonică cu o marjă minimă de eroare calculată prin metoda celor mai mici pătrate. În cazurile reale datele eronate se încadrează rar într-o distribuție Gauss așa că dacă tehnicile folosite înglobează valori ale parametrilor ce nu au sens acestea nu vor fi luate în calcul.

Pentru a evita folosirea prea multor parametri ecuația 4.8 poate fi rescrisă sub forma:

$$S_T(t) = D_0 \cdot \left[1 - e^{\left(\frac{t-t_0}{\tau} \right)} \right] \quad (4.10.)$$

în care:

$$D_0 = \frac{4 \cdot \rho_0 \cdot \alpha_v \cdot T_1 \cdot a}{\pi^2 \cdot (\rho_0 - \rho_a)} \cdot \left[\frac{\beta}{\pi} \cdot \sin\left(\frac{\pi}{\beta}\right) \right] \quad (4.11.)$$

unde:

D_0 = subsidența termală finală (cuantificată pentru evoluția integrală a procesului)

t = vârsta actuală (măsurată între momentul actual și timpul total de subsidență termică a bazinului)

t_0 = durata totală a subsidenței termale.

Dorim să estimăm cei trei parametri ai modelului D_0 , t_0 și τ . Sunt puține cazuri în care pentru analiză avem la dispoziție o secțiune completă (sedimente din fazele de rift și postrift).

De exemplu, sonda A-5 amplasată într-o zonă a unui bazin tip margine pasivă a traversat numai 4,8 km dintr-o stivă sedimentară estimată ca având o grosime de 12,8 km. În această situație folosim o abordare pragmatică de tratare a secțiunii incomplete. Astfel, definim un nou sistem de referință (față de care se măsoară subsidența tectonică) prin trasarea liniei de 0 a subsidenței la nivelul celui mai adânc strat interceptat (fig. 4.6). Subsidența tectonică în raport cu acest nou nivel de referință (datum) este:

$$w(t) = D_1 \cdot \left[1 - e^{\left(\frac{t-t_1}{\tau} \right)} \right] \quad (4.12.)$$

Deși constanta de timp rămâne neschimbată, vom avea acum doi noi parametri D_1 și t_1 . D_1 este subsidența termală finală în raport cu noul datum și t_1 este timpul corespunzător intersecției dintre curba de subsidență și nivelul de referință. Comparând ecuațiile 4.10 și 4.12 se poate vedea că relația dintre cei patru parametri D_0 , t_0 , D_1 și t_1 este:

$$D_0 = D_1 \cdot e^{\frac{(t_0-t_1)}{\tau}} \quad (4.13.)$$

Prin ajustarea modelului de subsidență termală la setul de date disponibile vom obține estimări ale parametrilor D_1 , t_1 și τ . Dar din ecuația 4.13 ar fi imposibil să obținem estimări independente pentru D_0 și t_0 așa că, pentru o analiză completă, este nevoie de informații suplimentare privitoare la aceștia. Pentru aceasta vom încerca în continuare să estimăm parametrii modelului folosind ecuația 4.12.

Datele de subsidență tectonică sunt formate din N triplete de numere $(t_i; w_{\min,i}; w_{\max,i})$ unde $i = 1, 2, 3, \dots, N$. Primul număr, t_i , reprezintă vârsta, iar celelalte două ($w_{\min,i}$, $w_{\max,i}$) sunt estimările minimă, respectiv maximă, pentru subsidența tectonică ce corespunde acestei vârste.

Pentru estimarea parametrilor modelului se folosește media subsidențelor estimate sau, dacă mijloacele de calcul o permit, se plotează întreg palierul corespunzător diferenței dintre valorile limită.

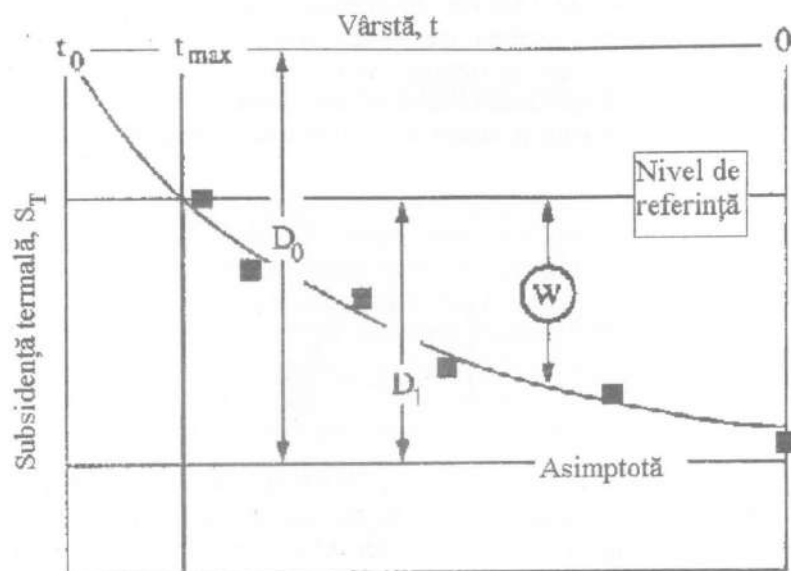


Fig.: 4.6. Model de referință pentru studiul subsidenței termale în cazul unei stive sedimentare incomplet cunoscută.

În vederea simplificării algoritmului în cele ce urmează vom apela la valoarea medie, respectiv:

$$w_i = \frac{1}{2} \cdot (w_{i \max} + w_{i \min}) \quad (4.14)$$

iar pentru evaluarea gradului de incertitudine a estimărilor se calculează diferența medie dintre valori, respectiv:

$$\sigma_i = \frac{1}{2} \cdot (w_{i \max} - w_{i \min}) \quad (4.15)$$

Deoarece rezolvarea se face pentru 3 valori necunoscute sunt necesare minim 3 triple de date ($N > 3$). De asemenea, trebuie să ne asigurăm că datele provin din palierul corespunzător fazei de postrift, în care se manifestă procesele de subsidență termală.

Presupunem că valorile optime ale parametrilor sunt acelea care minimizează suma pătratelor incongruenței dintre subsidența calculată teoretic (din ecuația 4.12) și date.

$$\chi^2(D_1, t_1, \tau) = \sum_{i=1}^n \left\{ \frac{w_i - D_1 \cdot \left[1 - e^{-\frac{(t_i - t_1)}{\tau}} \right]}{\sigma_i} \right\}^2 \quad (4.16)$$

Se rezolvă ecuația pentru parametri modelului folosindu-se un algoritm pentru pătrate minime cu valori neliniare (Press 1986). Trebuie avut în vedere că algoritmul metodei celor mai mici pătrate neliniare are tendința de a masca minima reală a funcției χ^2 . Pentru a ne convinge că a fost pusă în evidență minima adevărată este necesară variația datelor inițiale pentru parametri.

Se observă că scopul metodei celor mai mici pătrate este de a minimaliza diferențele dintre modelul fizic și setul de date. Deoarece abaterile de la valorile teoretice pot fi interpretate prin prisma variațiilor nivelului eustatic al apelor bazinului sedimentar metoda celor mai mici pătrate are tendința de a minimaliza variațiile nivelului eustatic.

Pentru a evita subestimarea variațiilor eustatice este important să se ia în considerare orice informație de ordin geologic sau geofizic ce limitează valorile factorului de întindere și momentul începerii subsidenței termale.

4.4. EXEMPLU DE CALCUL AL SUBSIDENȚEI

În capitolul anterior s-a calculat istoricul subsidenței tectonice prin efectuarea corecțiilor pentru compactarea sedimentelor, compensarea Airy (pentru încărcătura sedimentară) și variațiile adâncimii apei. În continuare, se vor folosi seturile de date disponibile pentru perfectarea modelului de subsidență termică pe baza algoritmului prezentate în subcapitolul anterior. Datele sunt prezentate în tabelul 4.1 și în fig. 4.7.

Folosind metoda celor mai mici pătrate s-a obținut următorul set de parametri corespunzători unui $\chi^2 = 3,8 \text{ km}^2$.

$$D_1 = 2,2 \pm 0,1 \text{ km} \quad (4.17a)$$

$$t_1 = 95,9 \pm 21,2 \text{ M.a} \quad (4.17b)$$

$$\tau = 23,6 \pm 14,9 \text{ M.a} \quad (4.17c)$$

Estimarea erorii probabile de determinare a parametrilor se obține prin interpretarea elementelor diagonalei matricei de covarianță (un biprodus al algoritmului curbei model-date) ca pătratul deviației standard a parametrilor. Constanta termală de timp are un grad mare de incertitudine, dar acest lucru nu este surprinzător, având în vedere gradul scăzut de confidență în valorile de adâncime ale paleoapei. Curba subsidenței termale rezultate (pe baza ecuației 4.12) este reprezentată în fig. 4.7.

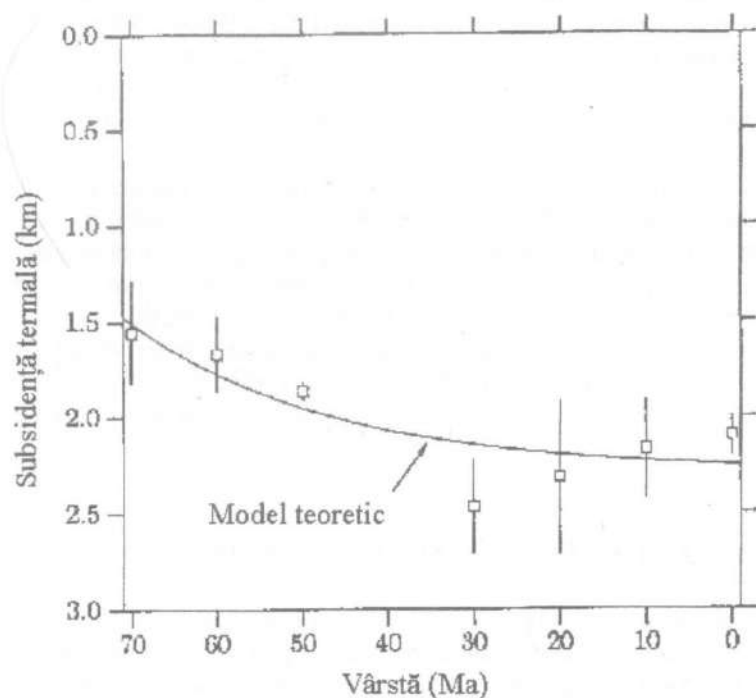


Fig.: 4.7. Calculul subsidenței tectonice pe baza seturilor de valori prezentate în exemplul anterior (cap. 3) după modelul cu întindere simplă.

Să prezentăm acum modul de calcul al valorilor D_0 și t_0 . Pentru acest exemplu se cunoaște că subsidența termală a început în urmă cu 70 M.a. Introducând această valoare în ecuația 4.13 vom obține:

$$D_0 = 0,7 \text{ km} \quad (4.18)$$

Cunoscând τ se poate calcula grosimea litosferei

$$a = \pi \cdot \sqrt{k \cdot \pi} = 76,7 \pm 24,2 \text{ km} \quad (4.19)$$

iar factorul de întindere (din ecuația 4.2 rearanjată)

$$\beta = \left\{ 1 - \frac{2 \cdot D_0 \cdot [\rho_0 \cdot (1 - \alpha_v \cdot T_1 - \rho_a)]}{\alpha_v \cdot a \cdot T_1 \cdot \rho_0} \right\}^{-1} = 1,4 \quad (4.20)$$

De asemenea, putem calcula β folosind ecuația 4.11, respectiv:

$$\frac{\beta}{\pi} \cdot \sin\left(\frac{\pi}{\beta}\right) = \frac{\pi^2 \cdot D_0 \cdot [\rho_0 \cdot (1 + \alpha_v \cdot T_1) - \rho_a]}{4 \cdot \alpha_v \cdot a \cdot T_1 \cdot \rho_0} \Rightarrow \beta = 1,4 \quad (4.21)$$

În acest caz trebuie avut în vedere că subsidența termală finală nu este o funcție simplă (liniară) dependentă de factorul de întindere, β .

Din cele două relații (4.20; 4.21) se pot obține uneori rezultate diferite pentru β deoarece ecuația 4.7 (din care derivă ecuația 4.21) este numai primul termen al unei serii infinite.

În această etapă putem folosi subsidența tectonică inițială calculată anterior pentru a estima un factor de întindere crustală. Pentru aceasta ar fi nevoie să măsurăm grosimea crustală din faza de prerift; în loc de aceasta ne putem raporta la interpretarea incongruenței dintre datele de subsidență și modelul teoretic al subsidenței.

4.5. VARIATIILE DE NIVEL ALE APEI

În figura 4.8. sunt prezentate estimările valorilor maxime și minime ale adâncimii apei (raportate la nivel actual) folosind datele și cel mai adecvat model termal din subcapitolul anterior. Acest grafic a fost realizat scăzând valorile calculate ale subsidenței tectonice (maximă și minimă) din valoarea teoretică a subsidenței termale. Apoi fiecare set de date a fost șifrat pe verticală încât variația actuală a nivelului apelor să fie zero.

Adâncimile pozitive indică ape mai adânci decât în momentul actual.

Există cel puțin trei moduri de a explica variațiile observate: variațiile nivelului eustatic, fluctuații ale ratelor de sedimentare și variațiile ratelor de subsidență tectonică. Până în prezent nu pot fi decelate ponderile cu care acestea intervin în evoluția bazinului și nici nu avem cum izola unul din factorii menționați și discerne asupra istoriei sale din variațiile adâncimii apei.

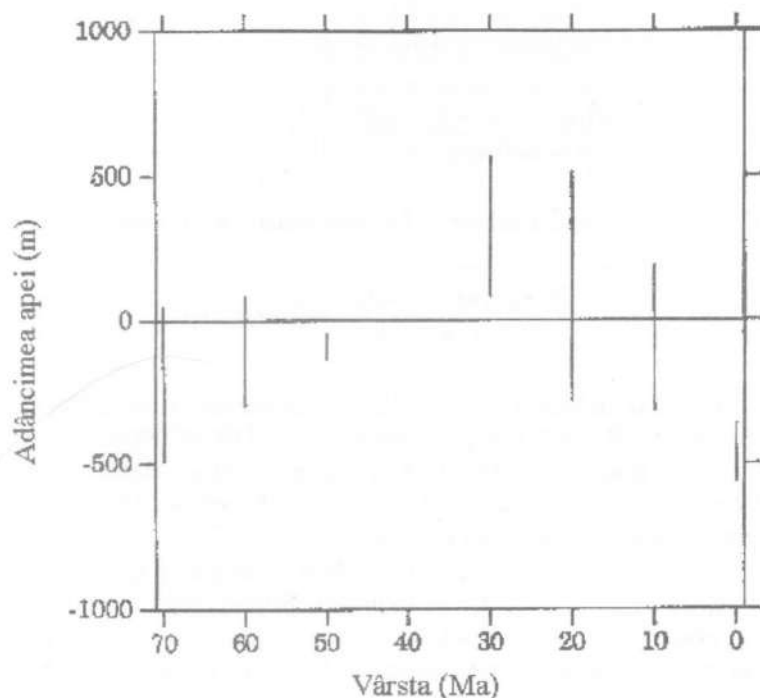


Fig.: 4.8. Estimarea variațiilor adâncimii apei din bazin pe baza necorelării datelor de subsidență tectonică cu cele din modelul teoretic de subsidență.

Să considerăm că variațiile adâncimii apei sunt efectul schimbărilor nivelului eustatic.

Așa cum am arătat în capitolul anterior, o creștere a adâncimii apei se corelează cu o creștere a nivelului eustatic calculabilă conform relației:

$$\Delta NM = \left[\frac{\rho_{ma} - \rho_a}{\rho_{ma}} \right] \cdot \Delta Z_{apa} \quad (4.22.)$$

unde raportul densităților este folosit la calcularea subsidenței izostatice datorată creșterii nivelului apelor. Acest raport este de aproximativ 0,7. Cu ajutorul ecuației 4.22 putem transforma variația adâncimii apei într-un istoric al nivelului eustatic (fig. 4.9). Acest istoric nu poate fi comparat cu curbele lui Vail, istoricul este rezultatul procesării seturilor de date concrete. De asemenea, trebuie reținută obiecția privind imposibilitatea separării influențelor tectonice, sedimentare și eustatice asupra variațiilor adâncimii apei. Este mult mai adecvat să spunem că fig. 4.9 reprezintă variațiile relative ale nivelului apelor decât nivelurile eustatice.

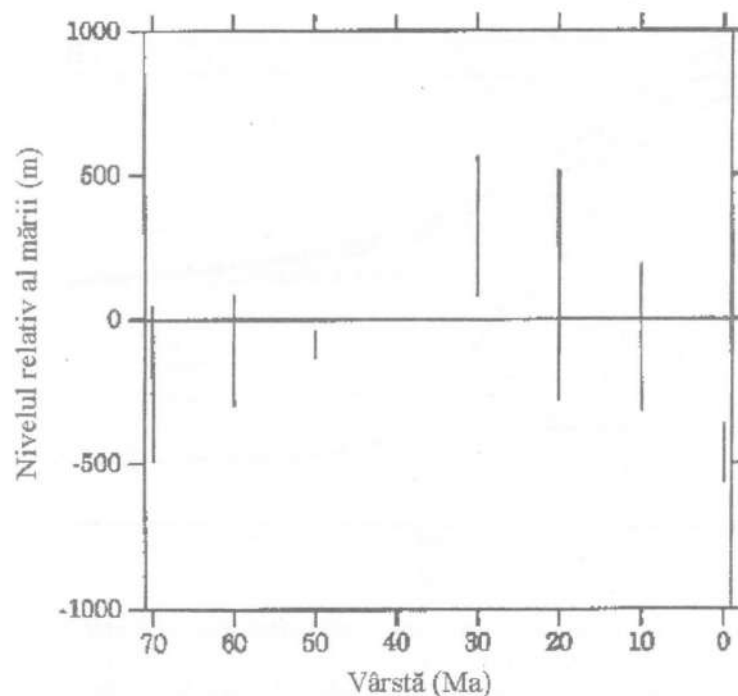


Fig.: 4.9. Variațiile relative ale nivelului apelor bazinului estimate pe baza necorelării dintre subsidența tectonică și subsidența termală. Variațiile adâncimii apelor sunt corectate cu valoarea subsidenței izostatice indusă de greutatea coloanei de apă coloanei de apă.

4.6. MODELUL CU ÎNTINDERE NEUNIFORMĂ

Modelul de întindere simplă este valabil pentru un număr limitat de cazuri, respectiv acolo unde aplicarea sa conduce la erori acceptabile în comparație cu datele de teren. Royden și Keen (1980) au încercat să aplice modelul de întindere simplă datelor de foraj de pe șelful Noii Scoții. Ei au găsit că subsidența inițială pe această margine continentală este considerabil supraestimată atunci când se folosește ecuația 4.2. (fig. 4.10). Reamintim că subsidența inițială este controlată de interacțiunea dintre subțierea crustală (ce provoacă subsidența) și subțierea mantalei litosferice (ce provoacă ridicare

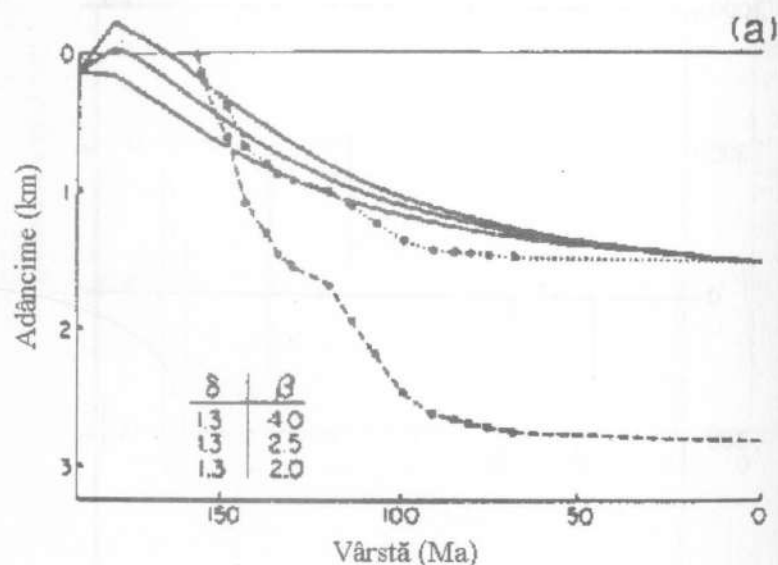


Fig.: 4.10. Date de subsidență aparținând zonei de șelf – Noua Scoție –ilustrând caracterul impropriu al modelului cu întindere simplă pentru exemplul prezentat datorită factorilor de întindere diferențiați și ponderii subsidenței inițiale în modelarea procesului (după Royden și Keen 1980).

Pentru a reduce subsidența inițială este necesar ca mantaua litosferică să se subțieze mai mult decât crusta. Această condiție poate fi

realizată în două moduri:

- îngroșarea crustei prin adăugarea de mase de roci vulcanice;
- întinderea mai mare a mantalei litosferice în comparație cu crusta.

Prin prisma celui de-al doilea mod de abordare a problemei (fig. 4.11) se propune un factor de întindere al crustei, δ , diferit de cel al mantalei litosferice, β , (ecuația 4.3) pentru o grosime a crustei de 35 km și o grosime litosferică de 125 km. Poate apărea chiar o ridicare inițială atunci când mantaua litosferică este întinsă mult mai mult decât crusta suprajacentă (fig. 4.12). Subsidența termală nu este substanțial afectată de întinderea diferențiată cu excepția situațiilor când între cei doi factori (δ , β) există o mare discrepanță.

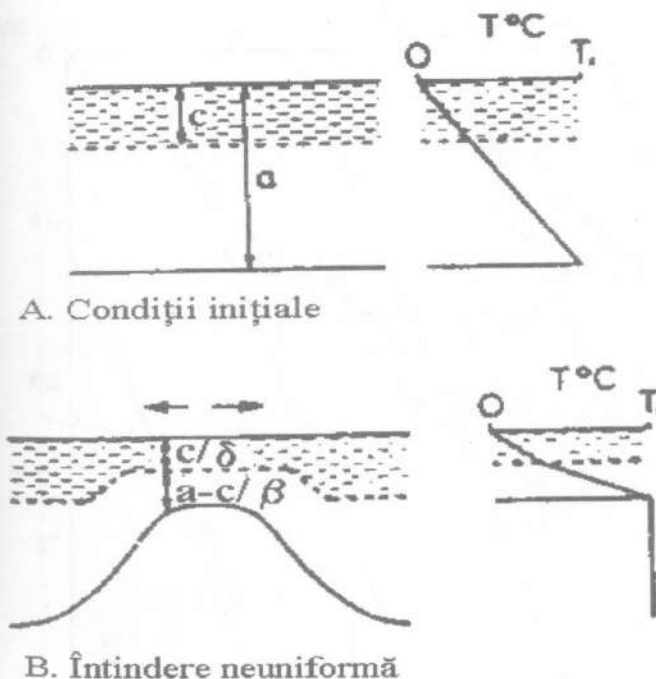


Fig.: 4.11. Reprezentarea schematică a procesului de întindere neuniformă a litosferei cu factori de întindere diferiți pentru crustă și mantaua litosferică, $\beta > \delta$, (după Royden și Keen, cu modificări).

Subsidența tectonică este controlată, în principal, de gradul de subțiere al crustei. Întinderea neuniformă nu este încă bine înțeleasă. Unii

cercetători consideră că mantaua litosferică și crusta sunt întinse în egală măsură la nivelul bazinului regional. Dacă această ipoteză este adevărată înseamnă că diferențele locale de întindere sunt cauzate de contrastul de ductibilitate dintre rocile din crustă și din manta.

Un studiu realizat în zona golfului Suez (Steckler 1985) arată că mantaua litosferică s-a extins de la 60 la 110 km în timp ce crusta s-a extins numai de la 25 la 30 km. Steckler atribuie diferența de extensiune conducției termice laterale și convecției la scară redusă a mantalei litosferice. Aceasta arată că diferența nu apare atât datorită întinderii mai mari a mantalei litosferice față de crustă, cât datorită variatelor procese de transfer termic care au subțiat mantaua litosferică.

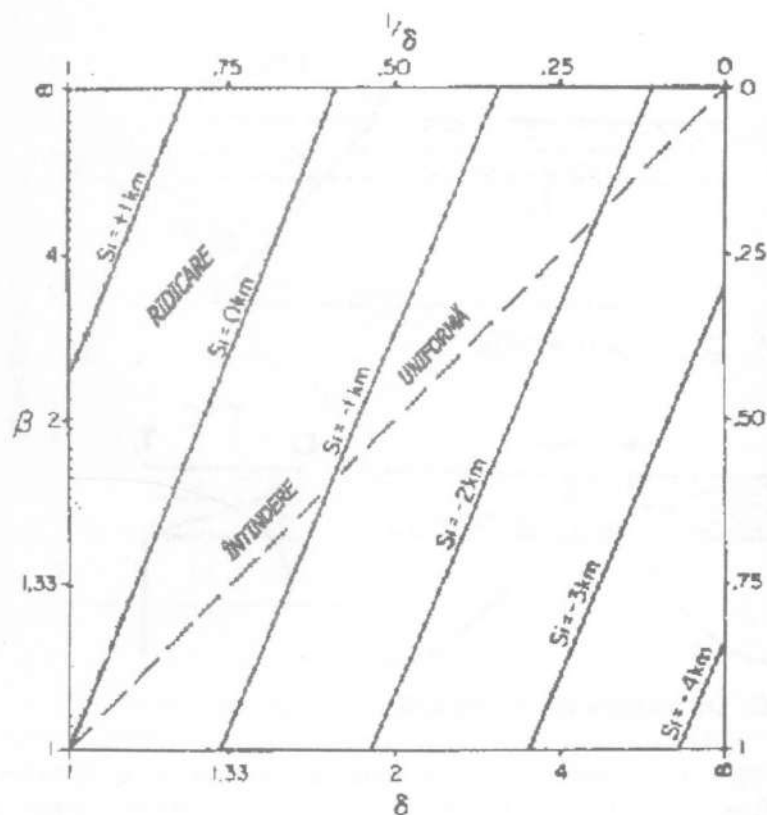


Fig.: 4.12. Estimarea subsidenței inițiale pentru modelul cu întindere neuniformă (după Royden și Keen 1980).

4.7. MODELUL CU RATA DE ÎNTINDERE FINITĂ

În timpul riftării au loc două procese termale majore. Primul dintre acestea este convecția termală caracterizată prin aceea că întinderea litosferică implică ridicarea spre suprafață a maselor de roci cu temperatură ridicată existente la adâncime. Convecția termică provoacă devierea în sus a izotermelor și ridicarea fluxului termic de suprafață. Perioada de manifestare a acestui proces se suprapune timpului de riftare (respectiv fazei de sunrift) și este de aproximativ 5 - 30 M.a. Al doilea proces este difuziunea termică. Aceasta constă în difuzarea excesului de căldură, în sensul de descreștere a gradientului geotermic spre suprafață.

Se știe că perioada de timp corespunzătoare difuziunii termice corespunde constantei termale de timp (τ M.a).

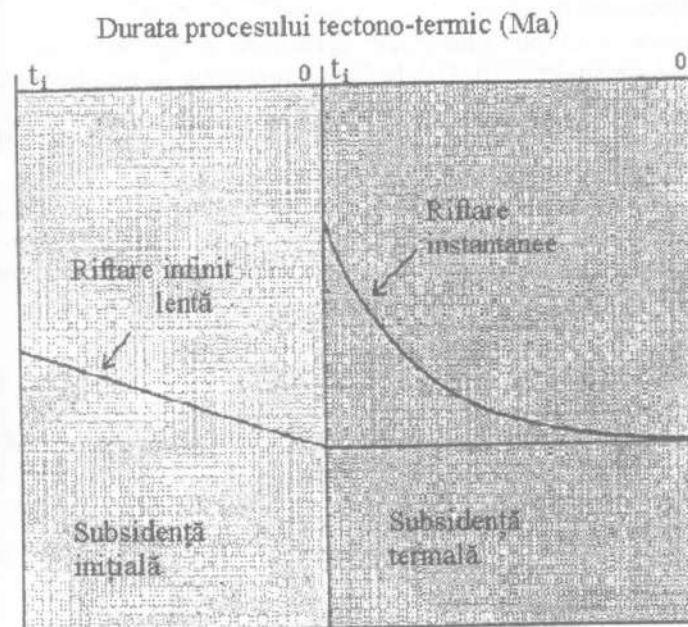


Fig.: 4.13. Efectul ratei finite de riftare asupra subsidenței termale (după Angevine et al. cu modificări)

Datorită diferenței de durată dintre cele două procese (cantitatea de căldură fiind aceeași) de obicei în perioada de riftare convecția termică este dominantă ceea ce duce la încălzirea și subțierea litosferei.

Practic se pot intui, estima și verifica (prin comparație cu date concrete) două scenarii referitoare la evoluția riftului. Primul scenariu constă în asumarea unei faze de extensie a riftului cvasiinstantanee (modelul de întindere simplă) corespunzând unei faze de subsidență inițială caracterizată de lipsa factorului termal. În acest caz scufundarea este datorată întinderii după care urmează o fază de subsidență termală.

Al doilea scenariu are în vedere un proces de întindere foarte încet a cărui durată este aproximativ egală sau mai mare decât constanta termală de timp (τ). În această situație difuziunea termică este componenta dominantă și are ca efect menținerea în echilibru termic a litosferei în timpul procesului de întindere. Astfel, la sfârșitul riftării nu mai apar procese de subsidență termală, deci subsidența este realizată integral în timpul procesului de riftare.

Aceste două posibilități sunt prezentate în fig. 4.14 unde $t = 0$ marchează sfârșitul riftării. Datele subsidenței reale se încadrează undeva între aceste două extreme. În cele care urmează va fi prezentat modelul Jarvis McKenzie care oferă unele dintre căile de urmat în aplicarea modelului de întindere simplă la cazurile reale.

Autorii menționați anterior pleacă de la premiza că o porțiune de litosferă (secțiune verticală) suferă o întindere uniformă corespunzătoare unei rate de strain G . Urmează să vedem cum factorul de întindere variază în funcție de durata de riftare (t). Astfel:

$$\beta = e^{(G \cdot t)} \quad (4.23)$$

Pentru aprecierea magnitudinii procesului se poate explicita că $\beta = 4$ și $G = 0,1 \text{ Ma}^{-1}$ astfel că procesul de riftare a durat:

$$t = \frac{\log(\beta)}{G} = 14 \text{ Ma} \quad (4.24)$$

În problematica legată de interacțiunea fenomenelor de convecție și difuzie se folosește un parametru adimensional denumit numărul lui Peclet. Aceasta evidențiază (măsoară) influența relativă a celor două fenomene mai sus menționate. Astfel, valori mari ale numărului Peclet arată o dominantă adectivă în timp ce valorile scăzute indică dominația proceselor de difuzie.

Pentru cazurile caracterizate de o rată finită a riftării numărul lui

Peclet are expresia:

$$G' = \frac{G \cdot a^2}{K} \quad (4.25)$$

Figura 4.14 arată distribuția temperaturii în litosferă pentru diferite valori ale acestui număr și un factor de întindere $\beta = 4$. Grosimea litosferică este $a = 125 \text{ km}$. Modelul de riftare instantanee corespunde unui parametru Peclet infinit (o rată de strain infinit mare). Când $G = 0$ rată de strain este zero și litosfera rămâne în echilibru termic în timpul riftării.

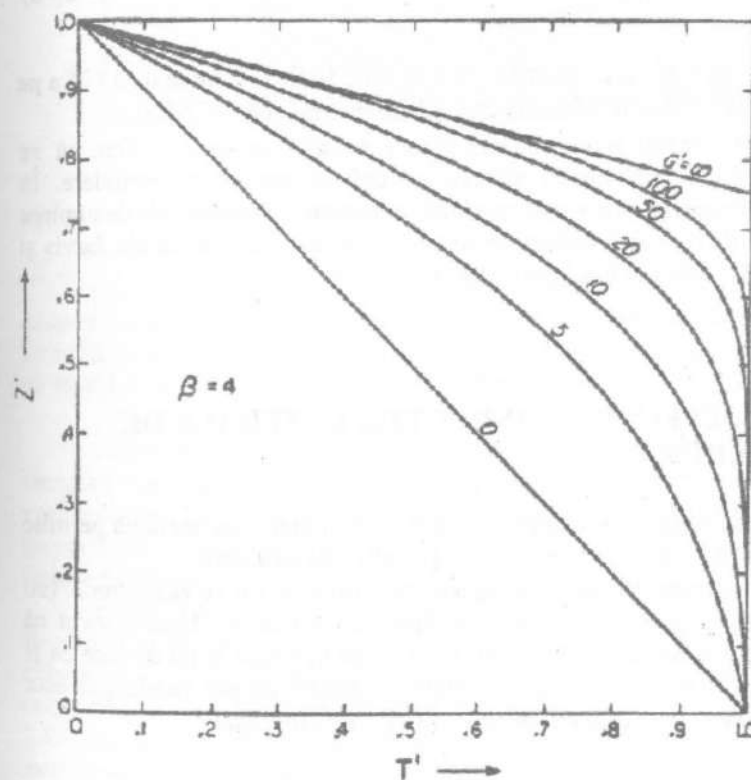


Fig. 4.14. Distribuția temperaturilor în litosferă după întinderea acesteia cu $\beta = 4$, și la o rată constantă de strain (după Jarvis și McKenzie 1980).

Se observa că pentru $G > 50$ curba geotermică este apropiată de cea corespunzătoare riftării instantanee.

Din calculele efectuate Jarvis și McKenzie (1980) au stabilit două relații empirice de evaluare a scenariului (riftare instantanee sau lentă) în funcție de durata riftării (t) și factorul de întindere (β) și care asigură o modelare teoretică rezonabilă. Astfel:

$$t < \frac{60}{\beta^2} \text{ pentru } \beta \leq 2 \quad (4.26 a)$$

$$t < 60 \cdot \left(1 - \frac{1}{\beta}\right)^2 \text{ pentru } \beta \geq 2 \quad (4.26 b)$$

Dacă $\beta = 4$, atunci durata riftării trebuie să fie mai mică de 34 M.a pe când dacă $\beta = 2$ durata riftării trebuie să fie mai mică de 17 M.a.

Dacă bazinul nu întrunește aceste condiții nu este indicat să se încerce analiza acestuia cu ajutorul modelului simplu de întindere. În literatura de specialitate există modelări adecvate cunoscute sub denumirea de modele de convecție-difuziune integrală (de exemplu modelele Jarvis și McKenzie - 1980 sau Cochran - 1983).

4.8. EFECTUL CONVECȚIEI LATERALE DE CĂLDURĂ

Un alt minus al modelului simplu de întindere este acela că permite (presupune) o curgere unidimensională (verticală) a căldurii.

Considerând domeniile adiacente bazinului de rift ca zone "reci" (cu un flux termic și un gradient de temperatură normale). Este evident că fluxul termic ridicat din zona de rift se va dirija în lateral la fel de bine ca și pe verticală. Efectul convecției laterale a căldurii asupra subducției este ușor de înțeles și de acceptat, dar mai dificil de cuantificat.

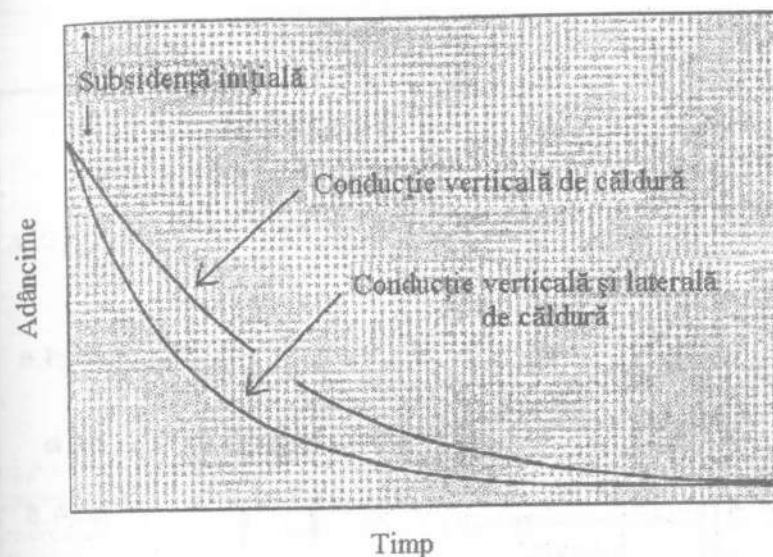


Fig. 4.15. Reprezentarea influenței convecției laterale de căldură asupra evoluției subsidenței unui bazin în zona limitrofă riftului. Conducția laterală de căldură induce o subsidență mai accelerată decât cea estimată de modelul cu întindere simplă (după Heller 1990).

Curgerea laterală a căldurii face ca litosfera din zona de rift să se răcească mai rapid decât în cazul când ar avea loc numai o convecție verticală ceea ce implică o subsidență mai rapidă (cel puțin în stadiile de început ale subsidenței termale) decât cea estimată folosind modelul întinderii simple (fig. 4.16).

În fig. 4.16 sunt prezentate estimările subsidenței tectonice pentru Bazinul Los Angeles, care a fost tratat ca un bazin de rift îngust. Fluxul caloric de la rift are două direcții de descărcare, una verticală și alta orizontală. În cca. 11 M.a subsidența tectonică este de fapt cu aproximativ 1 km mai mare decât cea estimată prin modelul de întindere simplă. Acesta este totuși un caz extrem deoarece lățimea maximă a riftului este de numai 30 km

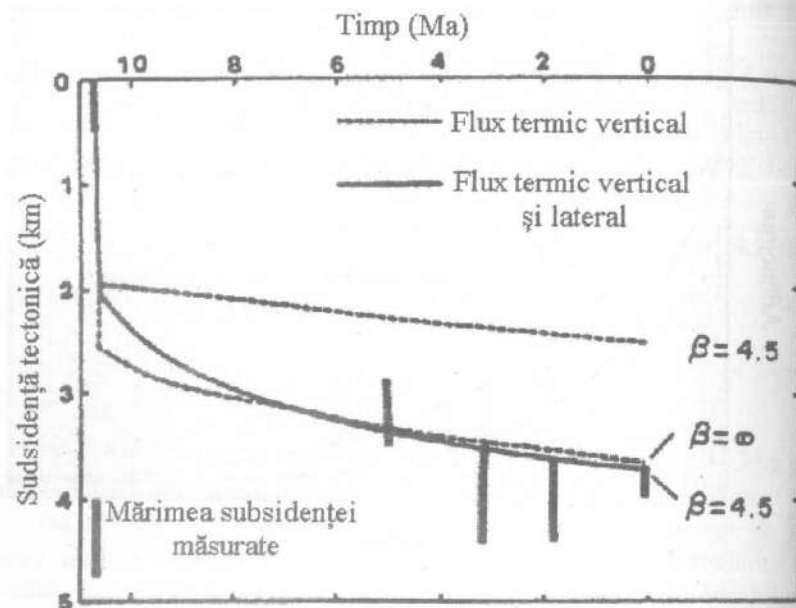


Fig.: 4.16. Modelul de subsidență termală al bazinului Los Angeles calculat atât pentru convecție verticală cât și pentru convecție verticală și laterală a căldurii. Acest model încearcă să explice subsidența rapidă a bazinului (după Sawyer et al., 1987; din Angevine et al., 1990).

CAPITOLUL 5. FLEXURA LITOSFEREI

5.1. COMPENSAREA IZOSTATICĂ

Pentru început să apelăm la prezentarea mecanismului de izostazie din primul capitol, dar într-un mod puțin diferit. Considerăm două coloane litosferice (fig. 5.1). Coloana din stânga este o coloană de referință, iar cea din dreapta reprezintă aceeași secțiune crustală îngroșată acum cu un factor $1/\beta$ unde $0 < \beta < 1$. Baza crustei îngroșate este afundată în manta cu o valoare W datorită greutății crustei adăugate. Balanța izostatică locală cere ca:

$$\rho_m \cdot g \cdot w = \left(\frac{1}{\beta} - 1 \right) \cdot \rho_c \cdot g h_c \quad (5.1.)$$

unde:

W – flexura verticală a crustei

ρ_m – densitatea mantalei superioare ($3,3 \text{ g/cm}^3$)

g – accelerația gravitațională ($9,8 \text{ m/s}^2$)

ρ_c – densitatea crustei continentale ($2,8 \text{ g/cm}^3$)

h_c – grosimea de referință a crustei (35 km)

Rezultatul arată că greutatea centurii muntoase (incluzând și partea de sub nivelul de referință este balansată de o față de plutire din manta. Aceasta este o balansare izostatică locală la care abaterea (afundarea) crustei în orice loc depinde numai de valoarea îngroșării crustale în locul respectiv. Pentru simplificarea calculelor în această situație nu s-a ținut cont de forța de coeziune laterală a litosferei. Un model mai realist și mai eficient presupune că litosfera răspunde la încărcare ca o placă elastică suprapusă unui fluid extrem de vâcos. Placa elastică este corespondentul porțiunii mai reci aflate la partea superioară a litosferei termale în timp ce fluidul foarte vâcos corespunde unei porțiuni mai adânci a litosferei (partea inferioară) și astenosferei. Nu trebuie totuși uitat că modelul plăcii

elastice este de fapt o extensie a modelului de compensare izostatică locală.

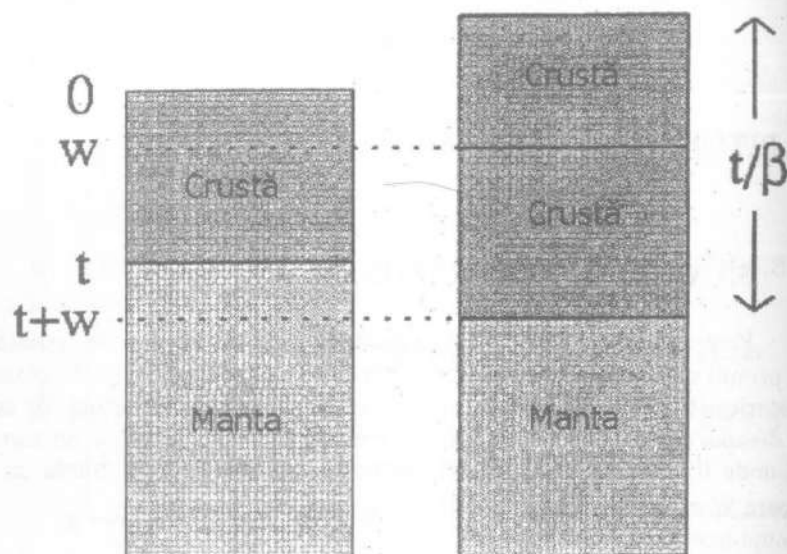


Fig.: 5.1. Balansarea izostatică între blocuri litosferice având crustă cu grosime normală (stânga) și îngroșată (dreapta). Crusta se scufundă în manta cu o valoare, w , corespunzătoare sarcinii suplimentare indusă de greutatea îngroșării crustei.

5.2. FLEXURA PLĂCII ELASTICE

În deducerea ecuației flexurii elastice se pleacă de la patru ipoteze de bază și anume:

- se presupune că litosfera are o reologie elastică lineară;
- se consideră că flexurile sunt mici;
- grosimea plăcii elastice este mică în raport cu extinderea acesteia în suprafață;
- secțiunile plane ale plăci(lor) se presupune că rămân plane și după flexionare.

De asemenea, se ignoră faptul că pentru flexiunea litosferei mai întâi (sau de fapt simultan și compensatoriu) este necesară dislocuirea unei cantități corespunzătoare din astenosferă. De asemenea, teoria nu este

aplicabilă zonelor în care încărcarea tectonică are mai puțin de un milion de ani.

În condițiile și ipotezele mai sus enumerate pentru cazul distribuției bidimensionale a încărcărilor crustale, cum sunt centurile muntoase lineare și sistemele de rift, ecuația flexurii elastice se reduce la:

$$R \frac{d^2 w}{dx^4} + N \frac{d^2 w}{dx^2} + \rho_{ma} \cdot g \cdot w = p(x) \quad (5.2)$$

unde:

- x - distanța (normală la axul de încărcare)
- R - rigiditatea flexurală
- N - forța intraplacă (pozitivă dacă este compresivă)
- p - distribuția încărcării verticale

Distribuția sarcinii (încărcării) variază în general cu distanța și include nu numai încărcările tectonice responsabile pentru flexurare dar și greutatea apei și sedimentelor suprajacente flexurii.

La o examinare mai atentă se poate observa că ultimii doi termeni ai ecuației (5.2) reprezintă balanța izostatică dată de ecuația 5.1. Primul termen care implică și rigiditatea flexurii înglobează și rigiditatea laterală a litosferei. Cu cât rigiditatea flexurală este mai mare, cu atât flexurarea va fi mai mică (pentru o distribuție de sarcină dată).

Al doilea termen al ecuației 5.2 reprezintă efectul stressului intraplacă asupra flexurii. De fapt acești termeni pot fi, și în general așa se procedează, ignorați la modelarea flexurii litosferei; totuși ei pot juca un rol important în evoluția secvențelor stratigrafice ale marginilor bazinului.

Un alt mod de a cuantifica rigiditatea litosferei este de a măsura grosimea elastică efectivă (E.E.T). Cuvântul cheie este "efectivă"; nimeni nu poate spune cu precizie ce porțiune din litosferă se comportă elastic în evoluția sa la scară geologică. Relația (mai mult sau mai puțin empirică) dintre E.E.T. și rigiditatea flexurală este:

$$E.E.T. = \sqrt[3]{\frac{12 \cdot (1 - \nu^2) \cdot R}{E}} \quad (5.3)$$

unde:

- ν - coeficientul lui Poisson (0,25)
- E - modulul lui Young ($7 \times 10^{10} \text{ N/m}^2$)

Aceste două constante (ν și E) caracterizează reologia, relația stress \rightarrow strain, a porțiunii elastice a crustei și mantalei litosferice. Pentru rigiditatea flexurală cuprinsă între 10^{21} - 10^{25} Nm grosimea elastică variază de la 5,4 la 117 km.

Justificarea folosirii unui model tip placă elastică este exemplificată în figura 5.2 unde E.E.T.-ul obținut din studiile flexurale ale diferitelor tipuri de încărcări tectonice este reprezentat în funcție de vârstă. Punctele 15 și 17 pot fi ignorate deoarece se bazează pe valori medii de arii de dimensiuni continentale și pot subestima valorile E.E.T. pentru zone de studiu restrânse. E.E.T. pare a fi independent de vârsta sarcinii, ceea ce sugerează că stress-ul elastic, cel ce provoacă flexura, nu se relaxează decât într-o mică măsură la scara timpului geologic.

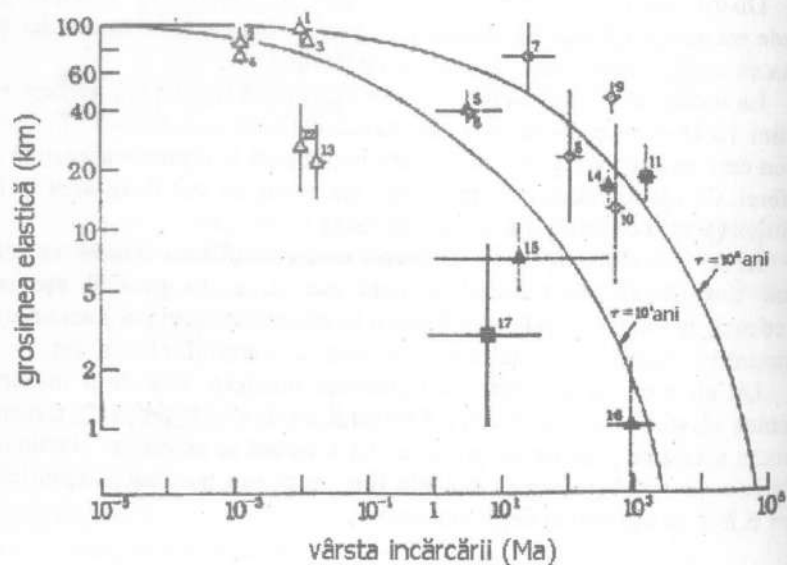


Fig.: 5.2. Variația grosimii elastice efective (EET) a litosferei continentale în funcție de vârsta încărcării tectonice (după Watts et al. - 1982).

Oricum, există dovezi că E.E.T. depinde de structura termală a litosferei. Figura 5.3 arată că E.E.T. este mic atunci când litosfera este fierbinte și mare când litosfera este rece.

Grafice ca acesta au făcut pe mulți cercetători să considere că E.E.T. este controlat de temperatură, respectiv de adâncimea unei anumite izoterme.

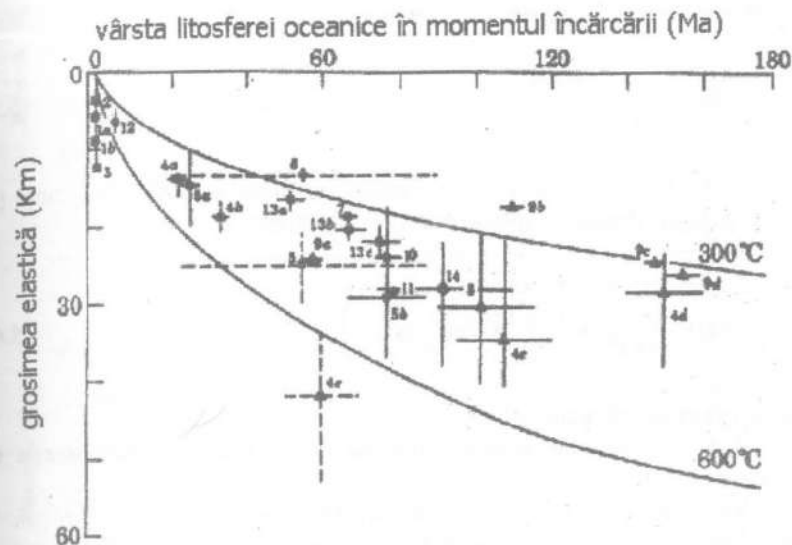


Fig.: 5.3. Variația grosimii elastice efective (EET) a litosferei oceanice în funcție de vârsta litosferei în momentul încărcării tectonice (după Watts et al. - 1982).

Datele prezentate sunt specifice pentru litosfera oceanică, dar există și grafice similare pentru zonele continentale.

De asemenea, mai trebuie subliniat faptul că rocile care furnizează rezistența elastică a litosferei pe termen lung nu constau în întregime dintr-o secțiune verticală a E.E.T.

5.3. FLEXURAREA SIMPLĂ

Soluțiile fundamentale ale ecuației 5.2. sunt pentru cazul unei sarcini lineare, concentrate, de magnitudine V_0 acționând pe o placă infinită sau

semiinfinită (fig. 5.4). Sarcina lineară poate fi considerată ca o coloană de mărime Δx , înălțime h și densitate ρ_l .

$$V_0 = \rho_l \cdot g \cdot h \cdot \Delta x \quad (5.4)$$

Distribuția sarcinii în ecuația 5.2 devine:

$$P(x) = \begin{cases} 0 & x \neq 0 \\ V_0 & x = 0 \end{cases} \quad (5.5)$$

În cazul unei plăci infinite flexura rezultată variază cu distanța (x) față de punctul (linia) de aplicare conform relației:

$$w(x) = \frac{V_0 \cdot \alpha^3}{8 \cdot R} \cdot e^{\left(-\frac{x}{a}\right)} \cdot \left(\cos \frac{x}{a} + \sin \frac{x}{a}\right) \quad (5.6)$$

pentru valori pozitive ale lui x .

Așa cum era de așteptat, flexura este simetrică față de axa de încărcare ($x = 0$).

Valoarea α reprezintă un parametru flexural.

Între acesta și rigiditatea flexurală există relația:

$$\alpha = 4 \sqrt{\frac{4 \cdot R}{\rho_{ma} \cdot g}} \quad (5.7)$$

Parametrul flexural joacă un rol important în controlul mărimii flexurii. Acesta se evidențiază prin termenul exponențial din relația 5.6 α^3 . Când distanța α este mică flexura este abruptă, iar atunci când α este mai mare flexura este largă.

Figura 5.4. a arată că jumătate din extinderea flexurii (definită ca distanța dintre punctul de încărcare până la prima intersecție dintre nivelul de referință și curba de flexurare) este $3\pi/4$. În punctul $x = 0$ mărimea flexurii este maximă și egală cu:

$$w_0 = \frac{V_0 \cdot \alpha^3}{8 \cdot R} \quad (5.8)$$

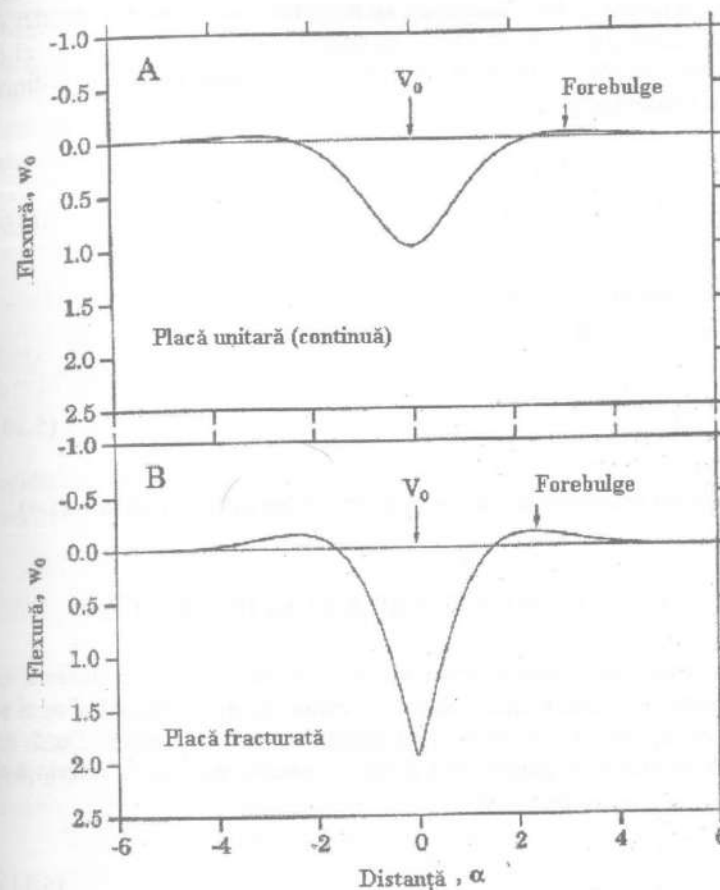


Fig.: 5.4. Flexurarea unei plăci litosferice infinite și continue pentru o încărcare liniară (punctuală în secțiune verticală) având valoarea V (după Angevine et al. - 1990).

Flexura maximă este cu atât mai adâncă cu cât placa este mai slabă. Această soluție este valabilă numai când extinderea încărcării (Δx) este mică în comparație cu α . Adiacent, se evidențiază o zonă de ridicare (forebulge) de mică amplitudine datorită interacțiunii dintre rigiditatea litosferei și forța arhimedică a mantalei.

Figura 5.4. a arată soluția ecuației flexurării elastice (5.6) pentru cazul când încărcarea este aplicată linear ($x = 0$), iar litosfera este fracturată

în punctul de aplicare. Prin fracturare se presupune că nu există transfer de stress peste zona (linia) de fractură. În această situație greutatea liniei de încărcare este împărțită în mod egal între cele două plăci semiinfinite. Flexura este redată prin relația:

$$w(x) = \frac{V_0 \cdot \alpha^3}{4 \cdot R} \cdot e^{\left(-\frac{x}{a}\right)} \cdot \cos \frac{x}{a} \quad (5.9)$$

unde α este calculat prin ecuația 5.7.

Flexura maximă în cazul plăcilor fracturate este:

$$w_0 = \frac{V_0 \cdot \alpha^3}{4 \cdot R} \quad (5.10)$$

deci de două ori mai mare decât în cazul unei plăci infinite (nefracturate).

5.4. ÎNCĂRCAREA CU APĂ ȘI SEDIMENTE

În modelul prezentat anterior s-a considerat o încărcare lineară ce creează flexura litosferică fără a se lua în calcul aportul flexural al apei și sedimentelor ce umplu bazinul, deci acesta a fost subaerian. Dacă un sediment de densitate ρ_s umple zona flexurată până la nivelul de referință al plăcii, distribuția sarcinilor va fi:

$$P(x) = \rho_s \cdot g \cdot w(x) + \begin{cases} V_0 & x = 0 \\ 0 & x \neq 0 \end{cases} \quad (5.11)$$

Greutatea încărcăturii sedimentare poate fi transferată în membrul stâng al ecuației 5.2 și încorporată în termenul reprezentând efectul de plutire pe astenosferă. Soluția acestei ecuații va avea aceeași formă ca ecuațiile 5.4 și 5.9 cu excepția că parametrul flexural este definit în mod diferit.

$$\alpha = 4 \sqrt{\frac{4 \cdot R}{(\rho_{ma} - \rho_s) \cdot g}} \quad (5.12)$$

Însumarea încărcării cu apă și sedimente asupra procesului de flexurare are ca efect creșterea parametrului α , magnitudinii flexurii și a

extinderii acestuia. Astfel, creșterea încărcării pe litosferă va duce întotdeauna la mărirea adâncimii flexurii, iar adăugarea de sarcină (încărcare) la distanță de linia centrală de încărcare (presupusă) cu siguranță va conduce la o lărgire a zonei flexurate denivelate). Această tehnică este mai greu de corelat pentru zonele de forebulge unde, conform ecuației 5.11 ar apărea o îndepărtare a sedimentelor $w < 0$. Valorile tipice pentru parametrul flexural (în km) sunt:

	Aer	Apă	Sediment $\rho_s = 2,5 \text{ g/cm}^3$
$R = 10^{21} \text{ Nm}$	18,7	20,5	26,7
$R = 10^{25} \text{ Nm}$	18,7	205	267

Este demn de subliniat că flexurile sunt foarte înguste pentru rigiditățile flexurale $R < 10^{21} \text{ Nm}$. Deși magnitudinea rigidității este relativ mare (ca număr) sarcina este aproape compensată local.

5.5. EXEMPLU DE CALCUL

Se consideră secțiunea unei zone riftate (fig. 5.5). Riftarea a condus la înlocuirea unei porțiuni de crustă cu rocă din manta. Aceasta înseamnă că riftul nu este în echilibru izostatic cu crusta adiacentă neafectată. Dacă presupunem că a avut loc subsidența inițială întregul surplus de masă al zonei de rift trebuie compensat regional prin flexură litosferică.

Scopul acestui exemplu este de a stabili o valoare medie pentru β cunoscându-se geometria bazinului flexural suprapus riftului (un aulacogen ipotetic).

Conform ecuației 5.4 mărimea încărcării tectonice va fi dependentă de contrastul dintre manta și crustă.

$$V_0 = (\rho_{ma} - \rho_c) \cdot g \cdot r \cdot l \cdot \left(1 - \frac{1}{\beta}\right) \quad (5.13)$$

Pentru a simplifica algoritmul asimilăm (aproximăm) excesul de încărcătură al riftului ca o linie de încărcare. De asemenea, se mai fac următoarele precizări:

- flexura este umplută cu sedimente până la nivelul de referință ($\rho_s = 2,5 \text{ g/cm}^3$)
- jumătatea lărimii bazinului, 225 km
- adâncimea maximă, 6 km

- grosimea crustală normală, 50 km
- lăţimea zonei de rift, 150 km

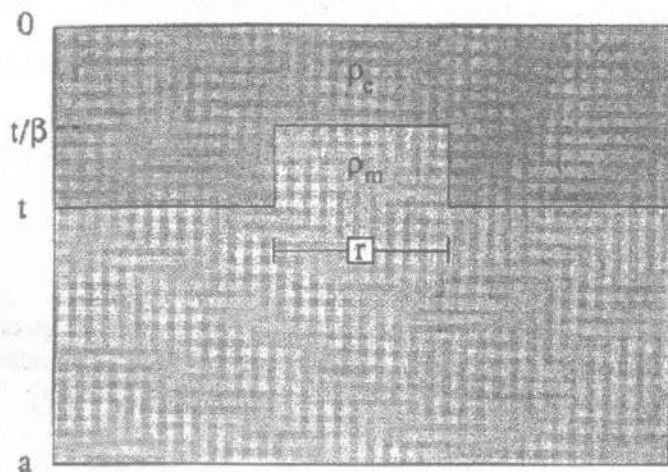


Fig.: 5.5. Reprezentarea simplificată a unei zone riftate și neechilibrate izostatic.

Utilizăm jumătatea lățimii bazinului pentru a calcula valoarea parametrului flexural:

$$\alpha = \frac{4 \cdot (225 \text{ km})}{3 \cdot \pi} = 95.5 \text{ km} \quad (5.14)$$

apoi rigiditatea flexurală:

$$R = \frac{1}{4} \cdot \alpha^4 \cdot (\rho_{ma} - \rho_s) \cdot g = 1.6 \cdot 10^{23} \text{ km} \quad (5.15)$$

și grosimea elastică efectivă:

$$E.E.T. = \left[\frac{12 \cdot R \cdot (1 - \nu_2)}{E} \right]^{\frac{1}{3}} = 29.7 \text{ km} \quad (5.16)$$

Cunoscând adâncimea maximă, R și α putem calcula V_0 :

$$V_0 = \frac{8 \cdot R \cdot (6000 \text{ m})}{\alpha^3} = 8.8 \cdot 10^{12} \text{ N/m} \quad (5.17)$$

și factorul de întindere:

$$\beta = \left[1 - \frac{V_0}{(\rho_{ma} - \rho_c) \cdot g \cdot r \cdot t} \right]^{-1} = 1.3 \quad (5.18)$$

Pentru comparație, dacă riftul ar fi fost compensat izostatic (în sens local, cu $R = 0$) bazinul ar fi avut o lăţime de numai 150 km (lăţimea riftului) și o adâncime medie de:

$$w = \frac{(\rho_{ma} - \rho_c)}{(\rho_{ma} - \rho_s)} \cdot r \cdot \left(1 - \frac{1}{\beta} \right) = 7.2 \text{ km} \quad (5.19)$$

Se observă că modelul de balansare izostatică locală nu dă rezultate congruente datelor geologice inițiale.

Acest exemplu va fi rediscutat și modelarea îmbunătățită după ce va fi prezentată metodologia de calcul a flexurii în condițiile unei sarcini (sediment + apă) distribuite la nivelul bazinului.

5.6. REPARTIȚIA ÎNCĂRCĂRII PE SUPRAFAȚĂ

Sunt relativ puține cazuri (situații geologice reale) în care modelul cu încărcare punctuală să poată fi aplicat direct.

În general, încărcătura este distribuită pe o anumită zonă (de exemplu o centură muntoasă), nu concentrată într-un punct. Oricum, având în vedere că litosfera este tratată ca o placă uniformă și infinită (pentru simplificarea algoritmului) și încărcătura distribuită pe suprafața bazinului poate fi schematizată sub forma mai multor linii de încărcare situație în care flexura se va calcula prin însumarea flexurilor cauzate de fiecare linie. Această metodă se bazează pe liniaritatea ecuației 5.2 fiind o formă convolută a acesteia.

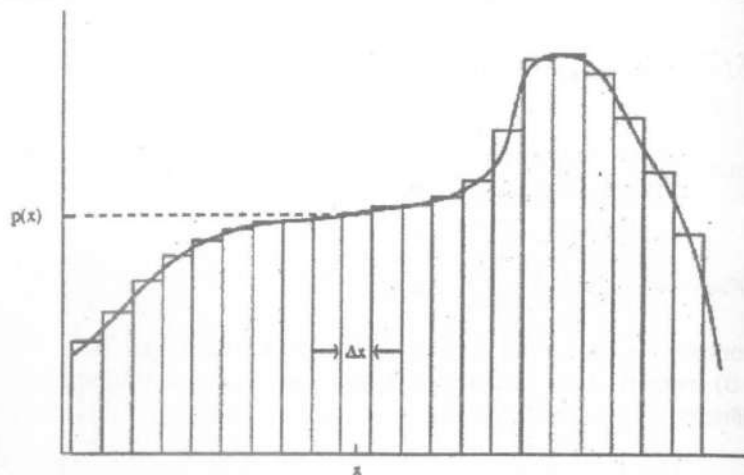


Fig.: 5.6. Reprezentarea schematică a repartiției încărcării tectonice pe placa litosferică. Fiecare coloană are o încărcare $p(x)\Delta x$ dependentă de dispunerea sarcinii pe placă.

Considerăm distribuția încărcării $p(x)$ prezentată în figura 5.6. Dacă distribuția este reprezentată printr-un set de linii de încărcare decalate între ele la o echidistanță Δx , atunci linia de încărcare într-o anumită poziție x va fi:

$$V_x = p(x)\Delta x \quad (5.20)$$

În analogie cu ecuația 5.6 creșterea flexurii, măsurată în x_0 , ce rezultă din acest punct de încărcare va fi:

$$\Delta w_1(x_0) = \frac{p(x) \cdot \alpha^3 \cdot \Delta x}{8 \cdot R} \cdot e^{\left(-\frac{x-x_0}{\alpha}\right)} \cdot \left[\cos\left(\frac{x_0-x}{\alpha}\right) + \sin\left(\frac{x_0-x}{\alpha}\right) \right] \quad (5.21)$$

când $x < x_0$ și:

$$\Delta w_1(x_0) = \frac{p(x) \cdot \alpha^3 \cdot \Delta x}{8 \cdot R} \cdot e^{\left(-\frac{x-x_0}{\alpha}\right)} \cdot \left[\cos\left(\frac{x-x_0}{\alpha}\right) + \sin\left(\frac{x-x_0}{\alpha}\right) \right] \quad (5.22)$$

când $x > x_0$.

Sunt necesare două formulări deoarece soluția originală (ecuația 5.6)

presupune un argument pozitiv pentru factorul exponențial. Flexura totală este obținută prin însumarea creșterilor flexurale. Pentru un Δx infinit mic suma devine integrală, respectiv:

$$w(x) = \int_{-\infty}^x dw_1(x) + \int_x^{\infty} dw_2(x) \quad (5.23)$$

În principiu, limitele de integrare sunt de la $-\infty$ la $+\infty$; în practică, limitele sunt determinate de extinderea (lărgimea) distribuției încărcării. Ecuația 5.23 pleacă de la premisa că placa este continuă și nefraturată.

Pentru modelarea unei plăci fracturate mai trebuie adăugați alți termeni ecuațiilor 5.21 și 5.22 care să asigure că în zona fracturii nu există moment de încovoire sau forțe de forfecare.

5.7. DISTRIBUȚIA RECTANGULARĂ A ÎNCĂRCĂRII

Un model simplu dar eficient de rezolvare a distribuției încărcării bazinului este considerarea unei sarcini rectangulare (fig. 5.7) suprajacentă secțiunii analizate.

Astfel;

$$p(x) = \begin{cases} p_0 & |x| \leq L \\ 0 & |x| \geq L \end{cases} \quad (5.24)$$

Acest model este mai ușor de studiat pentru că $p(x)$ este considerat între $-L$ și $+L$ și 0 în orice loc.

Presupunând că $p(x)$ reprezintă un corp (strat) de grosime h_L și densitate ρ_L , iar densitatea este plină cu sedimente, atunci flexura va fi:

$$w(x) = \frac{\rho_L \cdot h_L}{2 \cdot (\rho_{ma} - \rho_s)} \cdot \left[2 - e^{\left(-\frac{x-L}{\alpha}\right)} \cdot \cos\left(\frac{x+L}{\alpha}\right) - e^{\left(-\frac{L-x}{\alpha}\right)} \cdot \cos\left(\frac{L-x}{\alpha}\right) \right] \quad (5.25)$$

pentru $-L < x < L$ și:

$$w(x) = \frac{\rho L \cdot h \cdot L}{2 \cdot (\rho_{ma} - \rho_s)} \cdot \left[e^{\left(\frac{x-L}{\alpha}\right)} \cdot \cos\left(\frac{x-L}{\alpha}\right) - e^{\left(\frac{x+L}{\alpha}\right)} \cdot \cos\left(\frac{L-x}{\alpha}\right) \right] \quad (5.26)$$

pentru $x > L$.

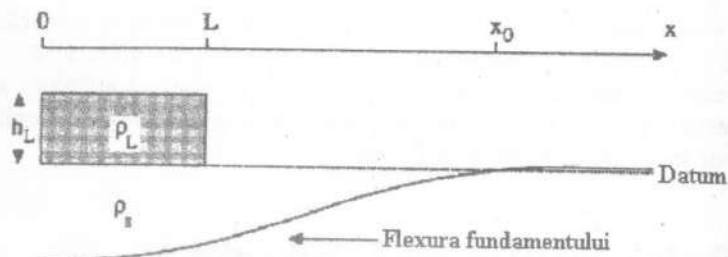


Fig.: 5.7. Reprezentarea repartiției flexurii plăcii în cazul unei sarcini rectangulare

Considerăm că flexura este simetrică față de $x = 0$. Folosind ecuația (5.25) se poate calcula flexura pentru $x = 0$ respectiv:

$$w(x) = \frac{\rho L \cdot h \cdot L}{2 \cdot (\rho_{ma} - \rho_s)} \cdot \left[1 - e^{\left(\frac{-L}{\alpha}\right)} \cdot \cos\left(\frac{L}{\alpha}\right) \right] \quad (5.27)$$

Atunci când L este mare în comparație cu α ecuația anterioară devine:

$$w(x) = \frac{\rho L \cdot h \cdot L}{(\rho_{ma} - \rho_s)} \quad (5.28)$$

Acest rezultat sugerează că în apropierea centrului încărcarea este compensată local (izostatic) când încărcarea este foarte extinsă, iar rigiditatea flexurală neglijabil de mică.

Acest comportament apare deoarece fiecare suprafață elementară a

plăcii este încărcată uniform în zona din centrul distribuției rectangulare de sarcină. Nu există nici o porțiune de placă în zona centrală cu un comportament diferit astfel că pentru această porțiune se realizează o flexură apropiată de modelul balansării izostatice.

Evaluarea din ecuația 5.27 arată că apare o compensare locală (aproximativă) la $x = 0$ atunci când $L > 1,5\alpha$. Situația este cu totul diferită în zonele de margine ale încărcării ($x = L$).

Aici flexura este dată de :

$$w(x) = \frac{\rho L \cdot h \cdot L}{2 \cdot (\rho_{ma} - \rho_s)} \cdot \left[1 - e^{\left(\frac{2 \cdot L}{\alpha}\right)} \cdot \cos\left(\frac{2 \cdot L}{\alpha}\right) \right] \quad (5.29)$$

Chiar dacă L este mare în comparație cu α flexura este numai pe jumătate față de cea estimată pentru o încărcare compensată local. Ecuația 5.29 arată că, indiferent de lățime, întreaga distribuție a încărcării nu poate fi niciodată compensată local.

De menționat că dacă L este foarte mic în comparație cu α flexura calculată de ecuațiile 5.27 și 5.29 se reduce la zero. Încărcările înguste sunt suportate de coeziunea litosferei pe când încărcările largi sunt suportate de plutirea mantalei.

De asemenea, se poate evidenția relația dintre parametrul flexural și lățimea bazinului sedimentar (respectiv jumătatea acestuia x_0) generată de modelul de distribuție rectangulară a încărcării. Ca și în cazul anterior, x_0 va fi punctul în care flexura intersectează pentru prima oară nivelul de referință. Folosind ecuația 5.26 pentru punctul x_0 unde $w(x_0) = 0$ aceasta devine:

$$e^{\left(\frac{-x_0-L}{\alpha}\right)} \cos\left(\frac{x_0-L}{\alpha}\right) = e^{\left(\frac{-x_0-L}{\alpha}\right)} \cdot \cos\left(\frac{x_0+L}{\alpha}\right) \quad (5.30)$$

Fiind o ecuație transcendențială aceasta nu poate fi rezolvată cu soluție unică. Cea mai bună cale de urmat este izolarea lui α și reiterarea pentru obținerea unei soluții:

$$\alpha = \frac{x_0 - L}{\cos^{-1} \cdot \left[e^{\left(\frac{2 \cdot L}{\alpha}\right)} \cdot \cos\left(\frac{x_0 - L}{\alpha}\right) \right]} \quad (5.31)$$

În exemplul următor se va arăta modelul de rezolvare al acestuia.

5.8. EXEMPLE DE CALCUL

Exemplul 1 - aulacogen

Având soluțiile (algoritmul) furnizat de subcapitolul anterior se pot reconsidera estimările pentru rigiditatea flexurală ($1,6 \times 10^{23}$ Nm) și factorul de întindere crustală (1,3) obținute pentru exemplul din subcapitolul 5.5. În secțiunea respectivă am aproximat că încărcarea unei intruziuni din manta sub aulacogen ca fiind concentrată liniar (linie de sarcină):

Flexura este umplută cu sediment ($\rho = 2,5 \text{ g/cm}^3$)

Jumătate din lățimea bazinului = 225 km

Adâncimea maximă = 6 km

Grosimea normală a crustei = 50 km

Lățimea zonei de rift = 150 km

Prima etapă constă în determinarea parametrului flexural α pe baza informațiilor de mai sus ($L = 75 \text{ km}$; $x_0 = 225 \text{ km}$).

Avansăm o primă ipoteză, $\alpha 10 \text{ km}$ și substituim aceste valori în membrul drept al ecuației 5.31 pentru a obține o nouă valoare a lui α . Dacă aceasta este egală cu 10 km înseamnă că ipoteza este valabilă, respectiv alegerea a fost cea adecvată. Dacă valoarea nou obținută este diferită de 10 km , se substituie noua valoare a ecuației și se reiterează procedeul până nu se mai modifică. Valoarea finală obținută este:

$$\alpha = 86,3 \text{ km} \quad (5.32)$$

ceea ce este evident diferit de estimarea anterioară de $95,5 \text{ km}$.

Rigiditatea flexurală ce afectează grosimea elastică efectivă este:

$$R = 1,1 \times 10^{23} \text{ Nm} \quad (5.33)$$

și

$$\text{EET} = 26,0 \text{ km} \quad (5.34)$$

Se poate spune că și modelul anterior (cu încărcare punctuală) folosit la prima abordare a exemplului a fost relativ corect.

Având diferența de încărcare datorată densităților diferite, $\rho_L = \rho_{ma} - \rho_c$ putem acum folosi ecuația 5.27 pentru determinarea amplitudinii încărcării tectonice h_L :

$$h_L = \frac{(\rho_{ma} - \rho_s)(6 \text{ km})}{(\rho_{ma} - \rho_c) \left[1 - e^{-\left(\frac{L}{\alpha}\right)} \cdot \cos\left(\frac{L}{\alpha}\right) \right]} = 13,2 \text{ km} \quad (5.35)$$

iar din geometria riftului (fig. 5.7) factorul de întindere:

$$\beta = \frac{1}{1 - h_L} = 1,4 \quad (5.36)$$

Valoarea determinată (1,4) este ceva mai mare decât cea anterioară (1,3) pe care o obținusem folosind modelul de încărcare liniară (punctuală).

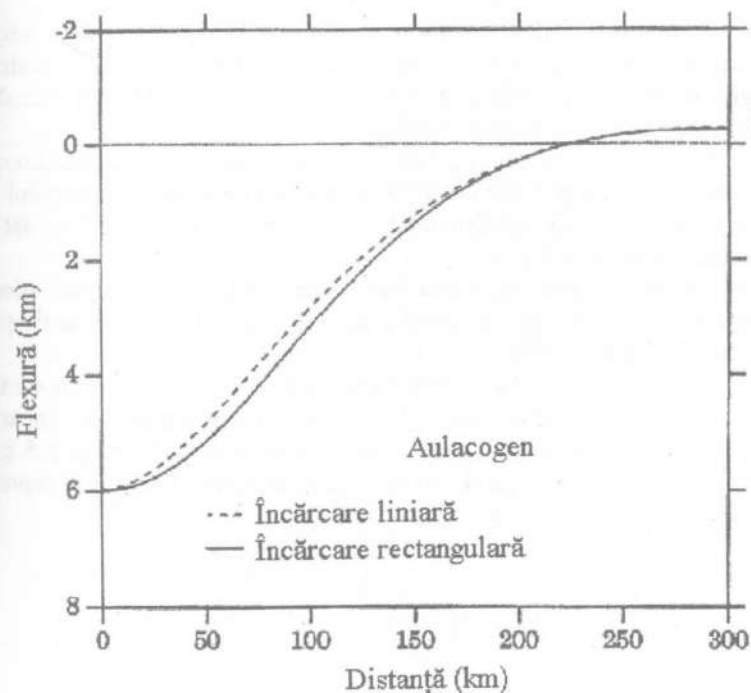


Fig. 5.8. Flexura litosferei la o încărcare distribuită liniar comparată cu modelul de încărcare rectangulară pentru parametri din exemplul 1.

Diferența arată că atunci când rezolvarea se face pentru o sarcină mai mică dar concentrată pe o suprafață redusă se obține același rezultat ca atunci când se folosește o sarcină distribuită.

Flexurile pentru încărcările lineare și rectangulare sunt prezente în fig. 5.8. Flexurile sunt aproape identice. Reprezentarea anterioară a zonei de rift cu o încărcare lineară este deci suficient de exactă. Cel mai simplu model de bazin funcționează chiar și atunci când distribuția sarcinii pe jumătate din lățimea riftului (75 km) este comparabilă ca mărime cu parametrul flexural (86 km).

Concluzionând, se poate spune că folosind metode, respectiv modele, mai simple, prin reiterarea și corijarea rezultatelor, se pot obține valori satisfăcătoare din punct de vedere al exactității estimărilor.

Exemplul 2 - Ridicare flexurală datorată eroziunii

Figura 5.9 (după Hamblin și Pigby, 1969) prezintă o secțiune transversală prin Marele Canion al fluviului Colorado. Dorim să calculăm mărimea ridicării flexurale la marginile canionului datorită îndepărtării sedimentelor de către fluviul Colorado.

Pentru modelare, considerăm canionul un șanț bidimensional cu secțiune transversală rectangulară. Presupunem că lățimea canionului are o valoare de 9 km și o adâncime medie de 500 m, iar sedimentul erodat are o densitate medie de $2,5 \text{ g/cm}^3$.

Deoarece nu se cunoaște care este rigiditatea flexurală adecvată acestei regiuni, vom calcula pentru valorile uzuale limită, respectiv pentru $R = 10^{21} \text{ Nm}$ și $R = 10^{25} \text{ Nm}$.

Ecuția de flexurare adecvată este de 5.29 ce se referă la flexura unei plăci infinite la marginea distribuției rectangulară a încărcării. Amplitudinea (grosimea) și densitatea sarcinii sunt -500 m și $2,5 \text{ g/cm}^3$. Jumătatea lărgimii este de 4.500 m. Această sarcină (negativă) reprezintă încărcătura sedimentelor erodate de fluviu.

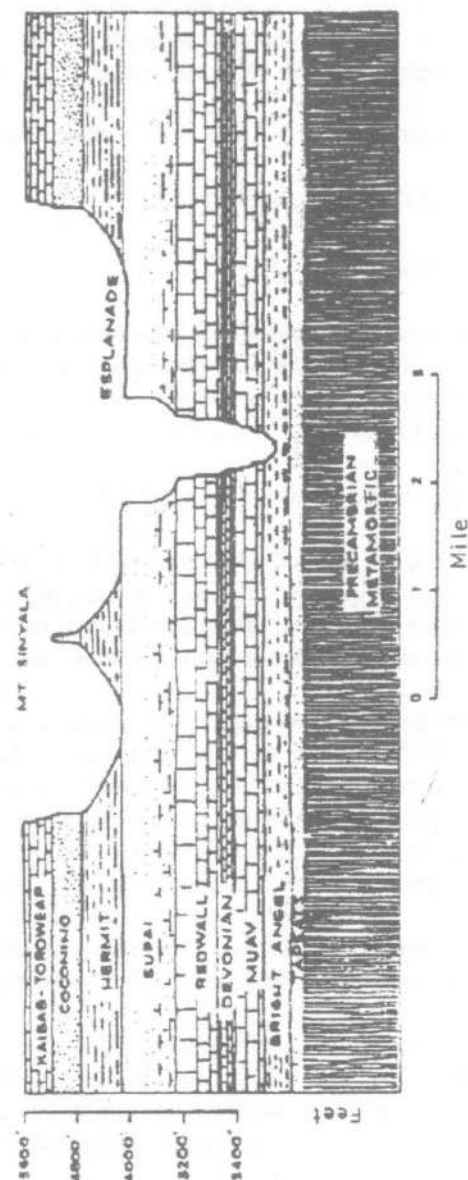


Fig 5.9. Secțiune transversală prin Canionul fluviului Colorado (după Hamblin și Pigby – din Angevine et. al. 1990)

Urmează să alegem o valoare pentru α . Putem fi tentați să folosim ecuația 5.12 ce conține contrastul de densitate între manta și sediment dar, de fapt, deja a fost calculată încărcarea pe baza prisme sedimentelor erodate. În această situație singurul material de suprafață dislocuit de flexură este aerul care are o densitate neglijabilă. Pentru aceasta vom calcula α conform ecuației 5.7. Flexurile rezultate sunt:

$$w_{(L)} = -85.6\text{m; pentru } R = 10^{21} \text{ Nm} \quad (5.37)$$

$$w_{(L)} = -18.2\text{m; pentru } R = 10^{25} \text{ Nm} \quad (5.38)$$

Flexurile negative indică ridicare. Aceste valori reprezintă ridicarea flexurală a întregii litosfere și nu includ efectul de relaxare elastică a rocilor din pereții canionului. Nu s-a verificat dacă se observă sau nu ridicarea flexurală pe profilele topografice transversale pe canion.

Exemplul 3 - Pânze de șariaj și bazine de foreland, Apenini.

Figura 5.10 a. (după Poyden și Karner, 1984) reprezintă o secțiune transversală prin munții Apenini și bazinul sedimentar adiacent (de tip foreland). Curba din partea dreaptă a figurii reprezintă baza secvenței sedimentare pliocene așa cum a fost ea determinată prin lucrări de foraj și din profilele seismice.

Royden și Karner au argumentat că depozitele miocene subiacente s-au sedimentat în condiții de apă puțin adâncă (în apropierea nivelului mării) și sunt acum flexate în jos datorită apăsării pânzei de șariaj adiacente. Ne propunem să determinăm dacă pânza de șariaj este suficient de grea (sau nu) pentru a justifica flexura.

Într-o primă etapă este necesar să aproximăm încărcarea "topografică" a pânzei de șariaj cu ajutorul unei prisme (secțiuni) rectangulare. Deși pare relativ labilă, această aproximare are în realitate o destul de mare acuratețe. Din figura 5.10 a se estimează că parametrii de calcul rezonabili sunt $L = 55 \text{ km}$ și $h_L = 1,5 \text{ km}$.

Dacă îndreptăm suita pliocenului bazal și o extindem sub nivelul mării, lățimea flexurii pare a fi de cca. 150 km (x_0). Presupunem că această denivelare este umplută cu sedimente având o densitate de $2,5 \text{ g/cm}^3$. Cu ajutorul acestor date se calculează α folosind ecuația 5.31.

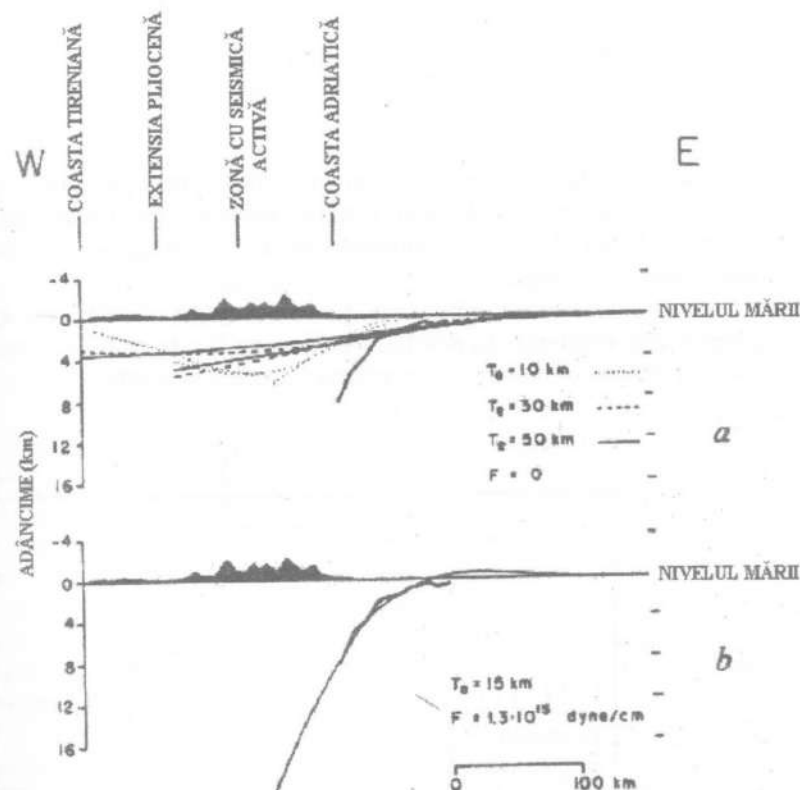


Fig.: 5.10. Flexura orizontului Pliocen bazal (linia continuă) în cazul bazinului de foreland din fața Munților Apenini.

(A) - Grosimea aparentă a pânzei de șariaj este prea mică pentru a induce o flexură egală celei măsurate;

(B) - Pentru ajustarea modelului teoretic cu datele reale se consideră că încărcarea se produce liniar la capătul unei plăci litosferice fracturate, sub centura Apeninilor (după Royden și Karner 1984).

Prin reiterație, se obține următorul șir de valori: 10; 60,5; 55; 55,5; 56; 56,1 și 56,1 astfel că:

$$\alpha = 56,1 \text{ km} \quad (5.39)$$

$$R = 1,9 \times 10^{22} \text{ Nm} \quad (5.40)$$

$$E.E.T = 14,6 \text{ km} \quad (5.41)$$

La calcularea acestor parametri presupunem implicit că peste depozitele pliocene nu au mai fost sedimentate alte formațiuni. Unele bazine de foreland pot fi supraumplute, situație în care presupunerea de mai sus nu mai este valabilă.

Lângă marginea pânzei de șariaj suprafața Pliocenului bazal se găsește la o adâncime de peste 8 km. Folosind ecuația 5.29 și parametrul flexural determinat anterior vom estima o flexură de numai:

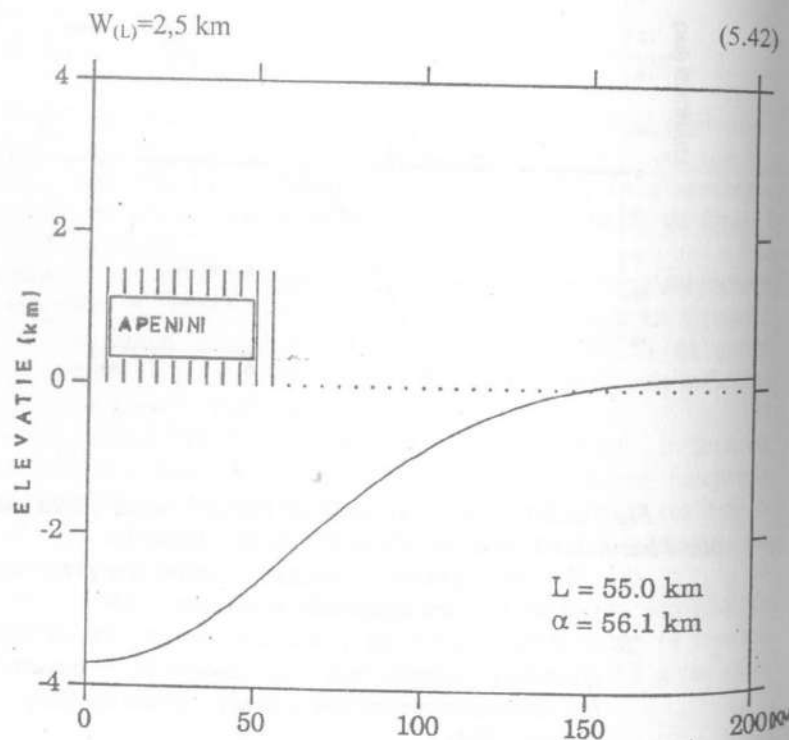


Fig.: 5.11 . Modelul de calcul al flexurii pentru marginea de placă litosferică încărcată rectangular aplicat bazinului de foreland al Apeninilor (pentru datele menționate în text).

Acest calcul arată că numai greutatea pânzei de șariaj și a sedimentelor bazinului este insuficientă (cel puțin de 3 ori mai mică) pentru a explica flexura observată a forelandului. Royden și Karner (1984) au încercat să crească flexura calculată în mai multe moduri (incluzând fracturarea plăcii sub centura muntoasă și modificând greutatea sedimentelor) dar fără rezultat; încărcarea topografică era mult prea mică.

În final, ei au reușit să modeleze flexura aplicând o linie de sarcină concentrată sub centura muntoasă (fig. 5.10 b).

Pentru motivarea acesteia au emis ipoteza că pentru sarcina respectivă reprezintă greutatea unui bloc subdus atașat litosferei forelandului Apeninilor.

Figura 5.11 prezintă flexura estimată a suprafeței Pliocenului bazal așa cum a fost calculată din ecuațiile 5.25 și 5.26.

O flexură maximă de mai puțin de 4 km este întâlnită sub centura muntoasă.

Figura 5.12 prezintă o variantă alternativă privind evoluția bazinului (într-un aranjament structural de tip forearc), după Slockmal et al. 1986. În timp ce Royden și Karner (1984) presupuneau că pânza de șariaj este suprapusă unei suprafețe orizontale. Slockman et al. (1986) argumentează că un bazin oceanic (marin) preexistent a fost de asemenea umplut cu sedimente anterior șariajului. Înlocuirea apei cu sedimente și fragmente crustale măresc încărcarea litosferei. Să vedem cum această sarcină adițională (care este în realitate o parte integrantă a pânzei de șariaj) ne poate furniza flexurarea sedimentară necesară modelării bazinului de foreland al Apeninilor.

Dacă presupunem că marginea bazinului preexistent (anteriori șariajului) coincide cu marginea pânzei de șariaj, putem determina flexurarea folosind din nou ecuația 5.29. Marginea bazinului oceanic era probabil mult mai spre vest (sedimente miocene de apă puțin adâncă sunt prezente în pânza de șariaj), însă această ipoteză simplifică modelul de calcul.

Presupunem de asemenea că bazinului oceanic era foarte mare în comparație cu parametrul flexural ($2L \gg \alpha$) și că bazinul sedimentar (oceanic) avea o adâncime de 5 km. Amplitudinea încărcăturii este, în această situație, $h_L = 5 \text{ km}$ și flexura este dată de relația:

$$w(L) = \frac{\rho_L \cdot h_L}{2 \cdot (\rho_{ma} - \rho_s)} \quad (5.43)$$

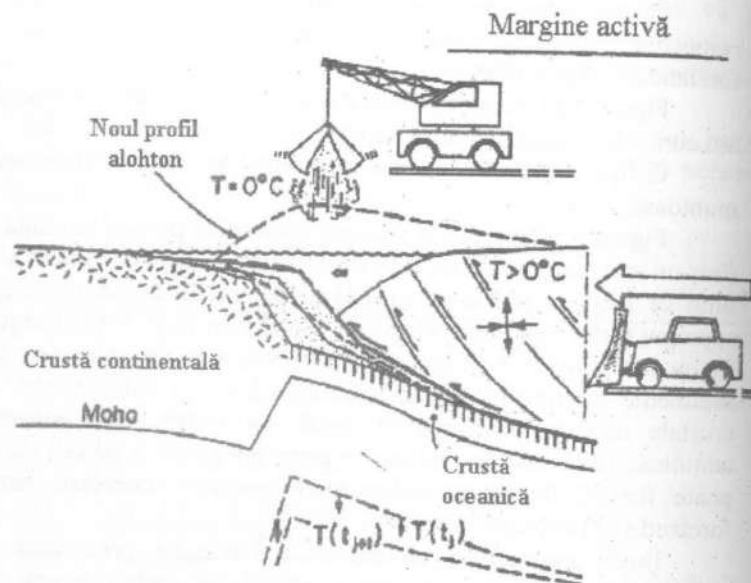


Fig.: 5.12. Încărcarea unei margini continentale pasive de către o margine orogenică activă, de supraîmpingere, care şariază peste o stivă sedimentară preexistentă (după Stockmal et al. 1986).

Deoarece bazinul oceanic se presupune că era în echilibru izostatic densitatea adecvată încărcării sedimentare este:

$$\rho_L = \rho_s - \rho_{apa} \quad (5.44)$$

Prin înlocuirea apei cu sedimente în cadrul bazinului încărcarea se măreşte. De asemenea, se presupune că sediamentele umplu denivelarea (flexura) provocată de această nouă sarcină. Flexurarea rezultată este:

$$w_L = 4,7 \text{ km} \quad (5.45)$$

În figura 5.13 este prezentată flexura estimată. Adăugând flexura din ecuația 5.44 cu cea asociată topografiei ecuația 5.42 denivelarea (flexura) totală este:

$$w_L = 4,7 + 2,5 = 7,2 \text{ km} \quad (5.46)$$

valoare mult mai apropiată estimării de 8-10 km din fig. 5.12.

Dacă umplem bazinul oceanic cu roci crustale de densitate $\rho = 2,8 \text{ g/cm}^3$ are loc o creștere a denivelării pe care am calculat-o în ecuația 5.44.

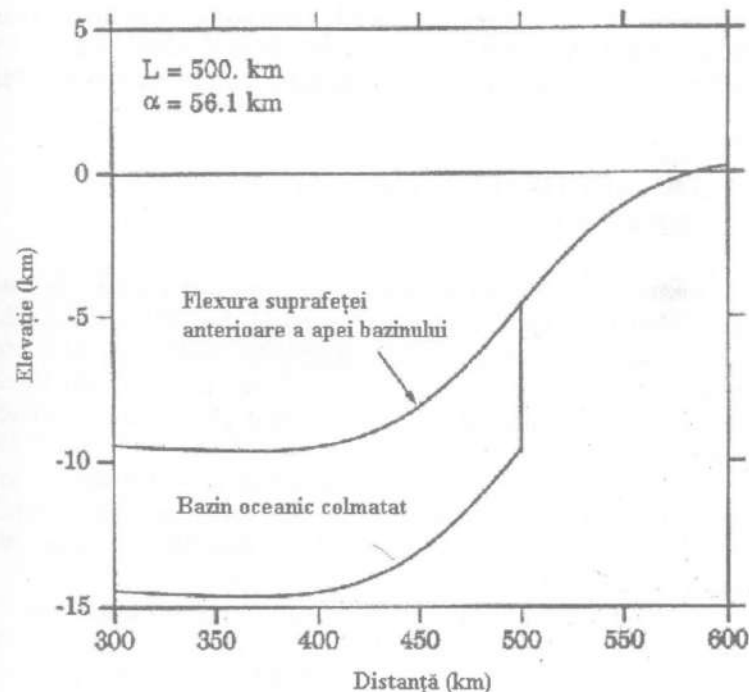


Fig.: 5.13. Flexura indusă de înlocuirea în modelare a umpluturii bazinului sedimentar. Se consideră că bazinul este colmatat de o pătură sedimentară corespunzătoare adâncimii sale, și nu plin cu apă. De asemenea flexura inițială este umplută cu sedimente.

Profilele seismice de adâncime pot ajuta la decelarea între cele două modele pentru Apenini (prin evidențierea unităților litologice cu densități diferite și a reperelor geologice corespunzătoare unităților tectonice) dar putem fi convinși că situația reală se încadrează între cele două extreme prezentate anterior.

Modelul lui Stockmal nu poate fi aplicat tuturor bazinelor de foreland. Forelanduri retroarc, cum ar fi bazinele Andin și Cretacic vest intern, nu au fost niciodată adiacente unui bazin oceanic.

Întrădevăr, Lyon-Caen et al (1985) argumentează că încărcătura topografică a munților sub-Anzi este suficientă pentru a provoca flexura litosferică dedusă din anomaliiile gravitaționale la nivelul Andin de foreland.

Considerăm că la nivelul bazinului de foreland al munților Apenini, sub acțiunea factorilor geodinamici externi are loc procesul de eroziune. Deoarece încărcarea topografică scade bazinul se va ridica din nou cauzând erodarea sedimentelor din bazin. Oricum, chiar și după erodarea totală a munților, va mai rămâne un bazin de foreland cu o adâncime de 4-5 km.

5.9. ALGORITMUL DE CALCULAREA A FLEXURII

Exemplele anterioare arată că se pot obține o mulțime de date prin soluții simple ale ecuației de flexurare elastică. Se întâlnesc însă (chiar cu pondere dominantă) situații în care distribuția sarcinii nu este adecvată reprezentării unei încărcări rectangulare. Pentru aceste cazuri în cele ce urmează va fi prezentat un algoritm general pentru rezolvarea ecuației flexurării.

Acest algoritm nu este foarte sofisticat și este bazat pe soluțiile pentru o încărcare rectangulară care au fost prezentate și exemplificate anterior. El a fost folosit pentru modelarea unor bazine sedimentare cu rezultate remarcabile.

Pentru cele mai multe dintre situații se preferă calcularea flexurii utilizându-se aproximări de tip diferențe pentru ecuația flexurii elastice. Algoritmul diferențelor finite poate fi scris într-un mod general, permițând utilizatorului să modeleze plăci fracturate, variațiile laterale ale densității umpluturii sedimentare, a bazinului și ale rigidității flexurale cât și fluctuațiile stressului intraplacă.

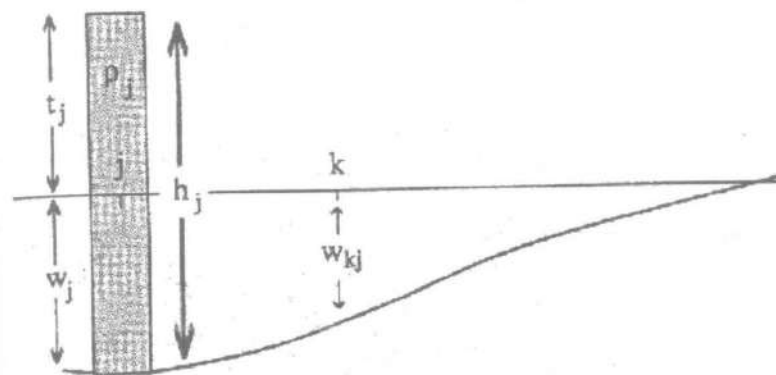


Fig.: 5.14. Reprezentarea încărcărilor și flexurilor conform algoritmului de calcul al flexurii:

w – flexura totală;

t_j – încărcarea topografică în raport cu nivelul de referință;

ρ_j – densitatea încărcăturii;

w_{kj} – flexura indusă în punctul k .

Se începe prin alegerea a N puncte pe placa elastică uniform distanțate între ele ($\Delta x = ct$).

În fiecare punct se amplasează o sarcină rectangulară cu o extindere Δx și se calculează flexurile pentru aceste puncte. Distanța Δx este mică în comparație cu parametrul flexural (α) și suficient de mică pentru a caracteriza în mod adecvat repartiția încărcării.

Punctele se distribuie deasupra zonei de încărcare maximă și se extind în lateral la o distanță de aprox. 3α de fiecare parte a liniei (punctului de încărcare). Un compromis acceptabil între puterea de rezoluție și timpul de calcul este $N = 100$ și $\Delta x = 10$ km.

În figura 5.14 este arătat modelul schematic de reprezentare a încărcării.

În fiecare punct j sarcina va fi determinată fie prin specificarea grosimii încărcăturii h_j , fie a reliefului topografic t_j (unde $t_j = h_j - w_j$) și a densității încărcăturii. Sarcina în punctul j va provoca o flexură în punctul k de valoare w_{kj} . Calculul flexurii totale în punctul k implică realizarea sumei:

$$w_k = \sum_{j=1}^N w_{kj} \quad (5.47)$$

Creșterea flexurii (denivelării) se calculează din:

$$w_{kj} = \rho_i \cdot h_j \cdot G_{k-j} \quad (5.48)$$

unde G_{k-j} are două forme:

$$G_{k-j} = \left[e^{\left(\frac{-\Delta x}{2 \cdot \alpha} \right)} \cdot \cos \left(\frac{\Delta x}{2 \cdot \alpha} \right) \right] \cdot \frac{1}{\rho_{ma}} \quad (5.49)$$

dacă $k = j$ și:

$$G_{k-j} = \left[e^{\left[\left(\left| k-j \right| - \frac{1}{2} \right) \cdot \frac{\Delta x}{\alpha} \right]} \cdot \cos \left[\left(\left| k-j \right| - \frac{1}{2} \right) \cdot \frac{\Delta x}{\alpha} \right] - e^{\left[\left(\left| k-j \right| + \frac{1}{2} \right) \cdot \frac{\Delta x}{\alpha} \right]} \cdot \cos \left[\left(\left| k-j \right| + \frac{1}{2} \right) \cdot \frac{\Delta x}{\alpha} \right] \right] \cdot \frac{1}{2 \rho_{ma}} \quad (5.50)$$

dacă j este egal cu k .

Procesul de calcul poate fi considerabil accelerat dacă observăm că sunt numai N valori distincte ale lui G ce urmează a fi calculate (deoarece $G_{k-j} = G_{j-k}$). Acestea sunt $G_0, G_1, G_2 \dots G_{N-1}$. După calcularea acestor valori ele se păstrează în memorie deoarece sunt necesare la calcularea flexurilor.

Ecuatia 5.49 este de fapt ecuația flexurii sub un centru de încărcare rectangulară de înălțimea și densitatea unitară având lățimea Δx (ecuția 5.27). Ecuția 5.50 este derivată din ecuația 5.26 care calculează flexura pentru punctele amplasate sub sarcina rectangulară. Forma adecvată pentru α este dată de ecuația 5.7, iar greutatea umpluturii bazinului este inclusă în termenii h_j .

Probabil cel mai bun mod de ilustrare al algoritmului este aplicarea sa pe un exemplu concret. Considerăm o pânză de șariaj (fig. 5.15). Încărcarea primară este dată de o pânză de șariaj cu grosimea de 3 km și densitatea de $2,5 \text{ g/cm}^3$.

Extinderea acesteia este de 110 km și rigiditatea litosferică este $R = 10^{23} \text{ Nm}$. Folosim $N = 101$ și $\Delta x = 10 \text{ km}$. Încărcarea plăcii de șariaj este repartizată între punctele 45 - 55 puncte.

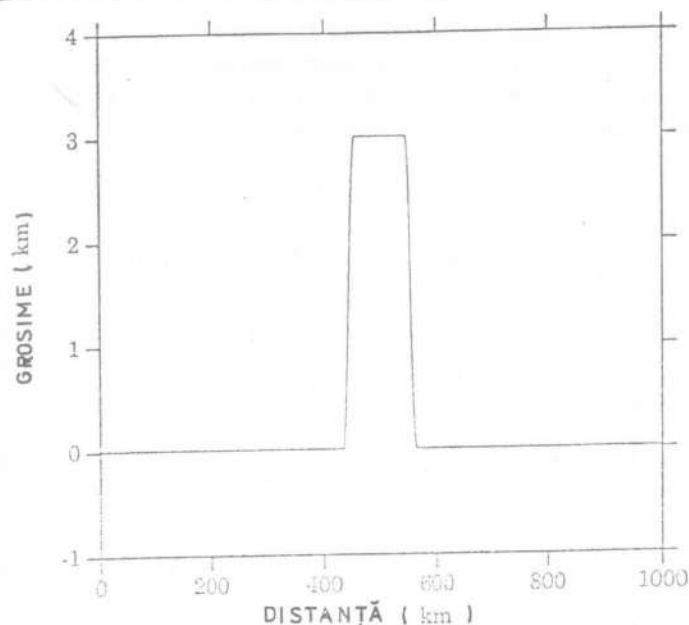


Fig. 5.15. Reprezentarea încărcării generate de pânza de șariaj pentru calcularea flexurii.

Sedimentele având densitatea de $2,3 \text{ g/cm}^3$ umplu denivelarea inițială până la nivelul de bază. La realizarea acestei ipoteze se pun următoarele condiții:

$$t_i = 0 \quad (5.51)$$

t_i = elevația inițială (fig. 5.14)

$$\text{și} \quad \rho_i = 2,3 \text{ g/cm}^3 \quad (5.52)$$

pentru $i=1, 2, 3, \dots, 44$ și $56, 57, 58, \dots, 101$.

Pentru punctele $i=45, 46, \dots, 55$ avem:

$$h_i = 3 \text{ km} \quad (5.53)$$

$$\text{și} \quad \rho_i = 2,5 \text{ g/cm}^3 \quad (5.54)$$

Într-o primă etapă se calculează flexura folosind numai încărcarea primară, placa de șariaj. Valorile flexurii rezultate sunt prezentate în fig. 5.16 A. Ce grosime de sedimente (Δh_i) este necesară pentru umplerea denivelării? Aceasta se calculează folosind relația:

$$\Delta h_i = (t_i + w_i) - h_i \quad (5.55)$$

pentru $i=1, 2, 3, \dots, 44$ și $56, 57, 58, \dots, 101$.

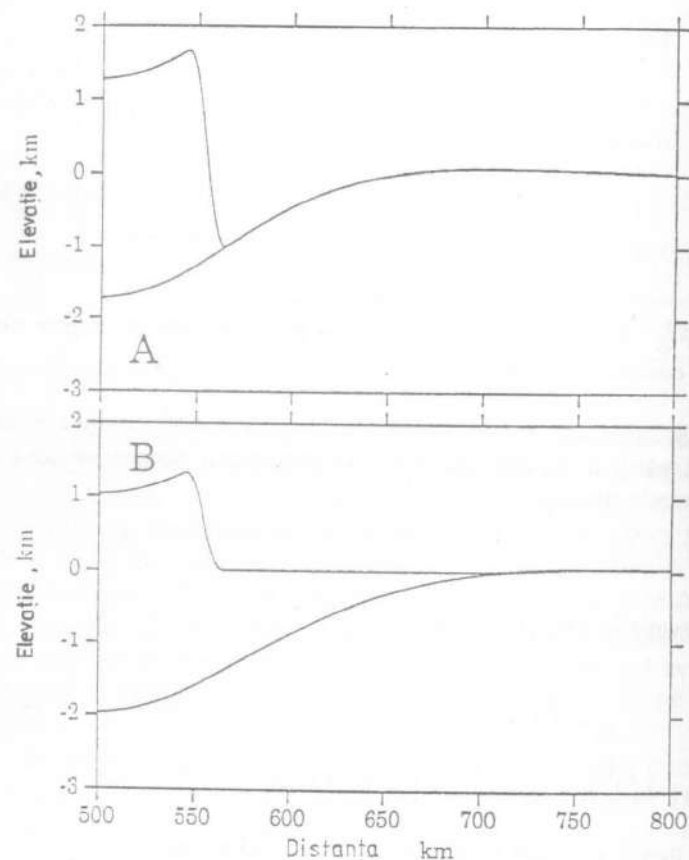


Fig. 5.16. Flexura litosferei sub greutatea pânzei de șariaj:
(A) – bazin umplut cu aer;
(B) – bazin umplut cu sedimente.

Dacă Δh_i este pozitiv se adaugă această valoare la sarcina punctelor respective și se calculează flexura rezultată. Se repetă această etapă de calculare și sumare a flexurii și umpluturii sedimentare deoarece apar noi valori ale grosimii de sedimentare până când valoarea flexurii totale rămâne constantă.

Figura 5.16 arată rezultatele obținute după 20 de iterații. Trebuie menționat că această schemă ia în considerare umplerea denivelărilor (flexurilor) cu sedimente, dar nu compensează procesul de erodare de la forebulge. În această situație apelăm din nou la algoritmul general. Alegem pentru t_i o valoare inițială diferită de 0, astfel că se poate construi o pantă topografică a bazinului.

Se poate specifica, de asemenea, că încărcarea primară să fie în sus la un anumit nivel topografic prin adăugarea sau îndepărtarea de material peste sarcina inițială.

5.10 BACKSTRIPPING FLEXURAL

În capitolul 2 am calculat o valoare a subsidenței tectonice plecând de la ipoteza că stiva sedimentară este, în decursul evoluției bazinului, local, balansată izostatic. Din cele prezentate până acum, compensarea izostatică locală poate fi aplicată cu rezultate corecte numai bazinelor tinere, în faza de sinrift, ce îndeplinesc anumite condiții, și anume:

- flux / gradient geotermic ridicat;
- existența unui sistem de falii activ;
- rigiditate flexurală redusă;
- grosime relativ constantă a cuverturii sedimentare în comparație cu parametrul flexural.

În figura 5.17 este reprezentată subsidența tectonică asociată pânzei de șariaj și bazinului de foreland analizat în subcapitolul anterior. Sarcina (încărcarea) primară este dată de o pânză de șariaj cu o grosime de 3 km și o lățime de 110 km, având o densitate de 2.5 g/cm^3 .

În conformitate cu definiția anterioară a subsidenței tectonice, denivelarea (flexura) este umplută cu apă. Pentru comparație este prezentată și subsidența tectonică estimată în cazul compensării Airy.

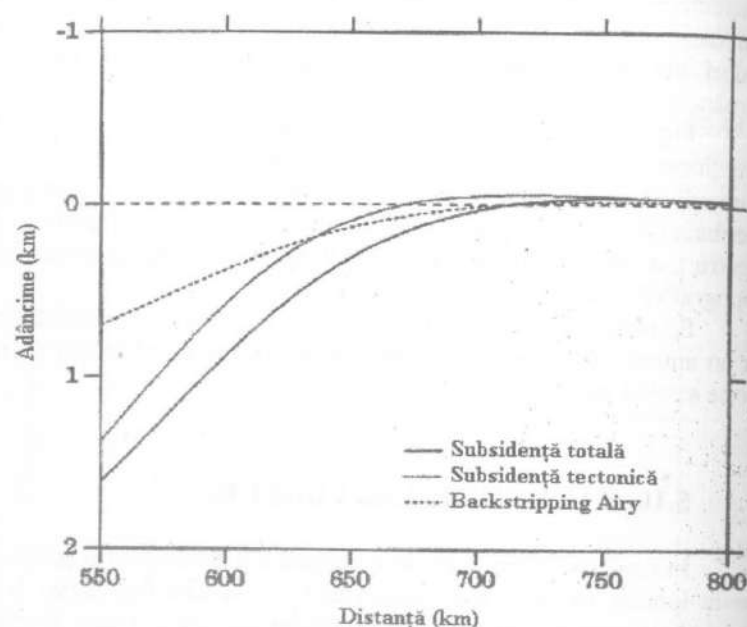


Fig.: 5.17. Reprezentarea curbelor de subsidență totală și subsidență tectonică pentru bazinele de foreland din fig. 5.16. Curba subsidenței tectonice este calculată atât după modelul flexural cât și pentru modelul izostatic local (Airy).

Curba de backstripping Airy a fost obținută împărțind subsidența totală la 2.3 respectiv la raportul diferențelor de densitate (vezi cap. 2). În vecinătatea axei bazinului, subsidența tectonică ce a fost calculată utilizând ipoteza compensării Airy, este cu mult mai mică decât subsidența tectonică reală în timp ce în zona distală a bazinului, curba Airy estimează subsidența tectonică acolo unde aceasta nu este prezentă.

Numeroși cercetători au alcătuit grafice având ca scop reprezentarea subsidenței tectonice, pe baza modelului de compensare Airy, pentru bazinele de foreland, unele dintre ele fiind prezentate anterior și în această lucrare.

Atunci când se analizează aceste grafice, trebuie avut în vedere faptul că bazinele de foreland au în prezent lărgimi considerabile datorită

compensării flexurele a centurilor muntoase adiacente. O chestiune deosebit de supărătoare este aceea că aceste grafice pot conduce la supraestimarea vârstei faliilor, deoarece schema de backstripping Airy estimează subsidența tectonică și în unele bazine în care aceasta nu a apărut încă.

În capitolele 2 și 3, am calculat subsidența tectonică în bazinele de rift conform compensării izostatice Airy. Dacă valoarea EET a litosferei riftate crește pe măsură ce relaxarea termică avansează (fig. 5.3), atunci greutatea crustei riftate se va repartiza pe o arie din ce în ce mai mare.

Dacă acest proces apare în prezent, atunci schema de backstripping Airy are tendința de a subestima subsidența tectonică în zona de rift și de a supraestima subsidența tectonică în zona adiacentă bazinului de rift.

Backstripping-ul flexural este un proces dificil, deoarece reologia litosferei continentale nu este pe deplin lămurită. În subcapitolul următor vom analiza cum stratigrafia marginilor pasive poate fi influențată de variațiile seculare ale rigidității litosferice.

5.11 STRATIGRAFIA MARGINILOR PASIVE

Figura 5.18. arată că sedimentele mezo și neocretacice ale coastei estice a Statelor Unite, prezintă un on lap progresiv spre continent.

O posibilă interpretare a acestor date este aceea că lățimea zonei de flexură a crescut datorită răcirii și îngroșării litosferice în zona de postrift.

După o aproximare grosieră, datele din fig. 5.3 ne sugerează că EET (exprimat în km) crește cu timpul scurs din momentul (încheierea perioadei) de riftare. EET (în kilometri) poate fi estimat după relația:

$$E.E.T. = 3 \cdot \sqrt{t} \quad (5.56)$$

În timp de 100 M.a răcirea litosferei conduce la o creștere a EET de la 0 la 30 km. Creșterea corespunzătoare a rigidității flexurale dintre punctul de onlap și marginea riftului este dată de:

$$\Delta x = \frac{3 \cdot \pi}{4} \cdot \alpha \quad (5.57)$$

Știm că aceasta reprezintă jumătate din lățimea flexurii produsă de o linie de încărcare pe o placă elastică infinită.

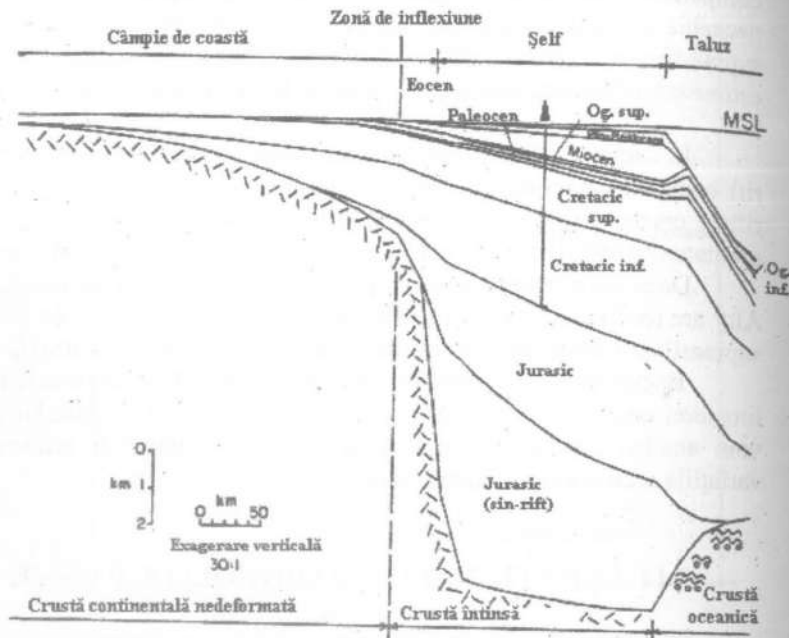


Fig.: 5.18. Secțiune geologică a coastei de est a Statelor Unite bazată pe date seismice și de foraj. Sedimentele mezozoicului mediu și superior prezintă onlapping progresiv spre continent. Unele din aceste onlap-uri pot fi datorate răcirii și rigidizării litosferei (după Watts și Thorne 1984).

Dacă vom considera că bazinul este umplut cu sediment de densitate $2,5 \text{ g/cm}^3$, Δx se mărește de la 0 la 277 km. Acest calcul arată că bazinul nu este colmatat, ceea ce poate nu este valabil pentru Cretacicul superior.

De asemenea, calculele nu pot explica schimbarea onlapping-ului (spre larg) la nivelul depozitelor neozoice. Oricum, trebuie menționat că în mare parte onlap-ul menționat poate fi asociat răcirii litosferice ulterioare fazei de rift.

Așa cum este de așteptat, sunt alte căi de explicare a procesului de onlap prezentat în fig. 5.18. Cea mai evidentă este existența unei largi perioade de transgresiune urmată de o regresiune.

5.12 STRESSUL INTRAPLACĂ

Stressul intraplacă este o manifestare a forțelor tectonice ce provoacă deplasarea plăcilor litosferice pe suprafața globului terestru. Până nu demult efectul acestui stress asupra evoluției bazinelor sedimentare a fost trecut cu vederea.

Majoritatea cercetătorilor sunt de acord că stressul intraplacă joacă un rol primordial în formarea pânzelor de șariaj și a rifturilor, dar s-a crezut că stressul în sine joacă un rol nesemnificativ în flexura pe verticală a litosferei. În ultimele decenii însă, s-a constatat, de către unii cercetători (Cloetingh – 1985, Karner – 1986, Einsele – 1992, ș.a.), că variațiile nivelului stressului intraplacă pot avea o influență substanțială asupra evoluției stratigrafice a bazinelor sedimentare.

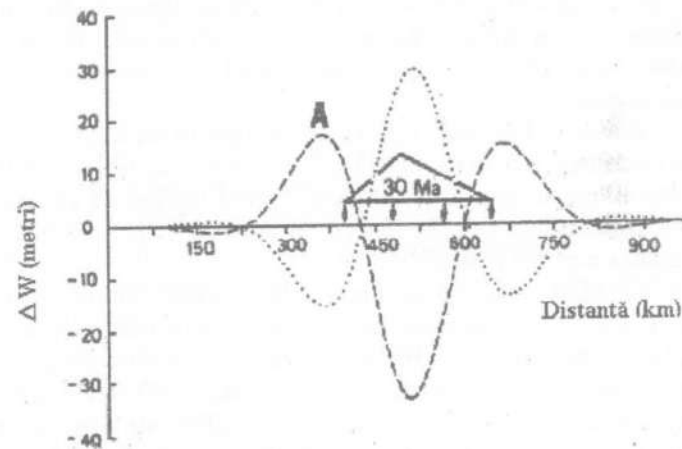


Fig.: 5.19. Efectele variațiilor câmpului de stress intraplacă asupra stratigrafiei marginilor pasive. Acestea erau inițial compensate. Stressul compresional (tensional) provoacă subsidență (ridicare) în zona centrală a bazinului sedimentar și ridicare (subsidență) pe marginile acestuia. Variațiile stressului pot fi responsabile pentru unele schimbări regionale ale nivelului apelor bazinului (după Cloetingh et al. – 1985, din Angevine et al. – 1990).

Efectul unui stress compresional intraplacă asupra litosferei flexate este mai ușor de luat în considerare. De fapt principalele efecte ale stressului intraplacă se caracterizează prin modificarea rigidității plăcii, respectiv (cel puțin aparent) efectul compresional micșorează rigiditatea plăcii, iar cel extensional duce la mărire rigidității.

În figura 5.19. este arătat efectul variației stressului intraplacă asupra unei margini pasive. Marginea se scufundă în timp datorită contracției termice și a încărcării cu sedimente.

Rigiditatea flexurală a marginii se presupune că va crește, datorită răcirii, de la 0, la sfârșitul fazei de sinrift, până la $EET = 22$ km, după 30 M.a de la sfârșitul riftării.

Atunci când se aplică un stress tensional acestei margini la nivelul bazinului apar, datorită proceselor de subsidență, ridicări pe flancurile bazinului.

Stressul intraplacă are efecte opuse pe flancuri față de axul bazinului. Deoarece placa se răcește și se rigidizează în continuare stressul intraplacă va avea o capacitate mai scăzută de a genera flexuare. Este important de subliniat că nivelurile scăzute de stress intraplacă pot cauza flexurare numai când placa a fost deja flexată de încărcătura sedimentară suprajacentă.

Braun și Beaumont (1989) au construit modelul unui bazin de rift în care coeziunea litosferei variază cu adâncimea, iar rigiditatea litosferei în timpul extensiei, este finită. În acest model bazinul de rift poate fi inițial supra și subcomprimat, în funcție de adâncimea la care este concentrată coeziunea maximă a litosferei.

Modelul lor diferă de modelul de întindere simplă a lui McKenzie, care presupune că bazinul de rift este compensat izostatic în timpul extensiei. După modelul Braun și Beaumont efectul tensiunii intraplacă asupra bazinului constă în inducerea unei ridicări dacă riftul este supracompensat sau a unei subsidențe dacă riftul este subcompensat.

Concluzia acestei analize este aceea că dacă dorim să cunoaștem modul în care variațiile stressului intraplacă afectează stratigrafia bazinului avem nevoie să cunoaștem mai multe date (mecanismul de deformare, temperatura, litologie, presiune, ș.a.) care influențează rigiditatea litosferei.

CAPITOLUL 6. RAPORTURI ÎNTRE APORTUL DE SEDIMENTE, SUBSIDENȚĂ, VARIAȚIILE EUSTATICE ȘI UMPLUTURA BAZINELOR

6.1. FACTORII PRINCIPALI CARE CONTROLEAZĂ UMPLEREA CU SEDIMENTE A BAZINELOR

Pentru o cât mai corectă evaluare a proceselor ce au loc în evoluția unui bazin sedimentar cât și a rezultatelor acestora este necesară cunoașterea principalilor factori care controlează aceste procese și a modului lor de acțiune.

Cei mai importanți factori implicați în umplerea cu sedimente a bazinelor, aflați în relații de interdependență mai mult sau mai puțin evidente, sunt următorii:

- mărimea suprafețelor de uscat, energia de relief și intensitatea proceselor de eroziune din care derivă sedimentele;
- extinderea în suprafață și geometria bazinelor;
- regimul de subsidență tectonică al fundului bazinului;
- grosimea și gradul de compactare al sedimentelor;
- regimul hidraulic caracteristic sistemului de transport al sedimentelor;
- schimbările de nivel ale apei din bazin;
- regulile privind generarea sedimentelor autohtone (inclusiv construcții carbonatice).

În raport cu acești parametri și în funcție de modul în care se intercondiționează se pot defini și alți factori mai complecși cum ar fi:

- distribuția granulometrică și succesiunile tipurilor faciesurilor sedimentare;
- ratele de sedimentare în diferite zone ale bazinului;
- extinderea construcțiilor carbonatice.

Ansamblul tuturor factorilor mai sus menționați participă la realizarea a două procese majore respectiv:

- procese ce concură la crearea și distrugerea spațiului unui bazin sedimentar;
- procese legate de introducerea și eliminarea sedimentelor în /din

bazin.

Crearea spațiului unui bazin de sedimentare este legată de subsidența tectonică a fundamentului, compensarea izostatică a greutatei coloanei de apă și sedimente (prin adundarea crustei), compactizarea sedimentelor (în timpul îngropării) și ridicarea nivelului apei din bazinul sedimentar.

Acestor procese, generatoare de spațiu la nivelul bazinului sedimentar, li se opun procesele de umplere cu sedimente care conduc în principal la reducerea volumului (spațiului) bazinului.

Atunci când procesele generatoare de spațiu predomină asupra acumulării sedimentelor materialul depozitional provenind de pe uscat este cantonat pe câmpia de coastă și pe șelf.

Dacă dimpotrivă, aportul de sedimente este predominant în comparație cu procesele ce generează spațiu, sedimentele traversează șelful și se depun în zonele mai adânci ale bazinului. Această situație este corespunzătoare perioadelor de subsidență scăzută a bazinului și/sau scădere a nivelului apelor din bazin.

În cazurile când rata subsidenței se păstrează relativ constantă pentru o perioadă îndelungată de timp aportul (volumul) de sedimente controlează extinderea depozitelor spre largul bazinului și morfologia acestuia.

În timpul evoluției bazinelor sedimentare factorii mai sus menționați se manifestă cu ponderi diferite și variabile determinând în acest mod dinamica specifică a bazinului. Astfel caracteristicile uscatului adiacent (ca sursă de material sedimentar), mărimea și morfologia bazinului, procesele de subsidență, etc. se modifică semnificativ în timp generând o dinamică specifică fiecărui bazin în parte.

Pentru reprezentarea sintetică a evoluției bazinelor sedimentare se apelează la construirea unor modele de integrare a datelor (informațiilor) în vederea obținerii unui corespondent teoretic, mai mult sau mai puțin apropiat modelului real de evoluție a bazinului.

În ultimele decenii posibilitățile sistemelor electronice de calcul de a prelucra un volum foarte mare de date au permis elaborarea unor programe tot mai performante capabile să integreze tot mai mulți factori ce controlează evoluția bazinelor în vederea realizării unor modele din ce în ce mai perfecționate.

În funcție de comportamentul bazinului în timp și de scopul urmărit (caracterizarea bazinului la un moment dat și/sau a istoricului acestuia) se pot distinge două categorii de modele.

Modelele geometrice, aplicabile în general bazinelor cu o geometrie de suprafață relativ simplă și care au o evoluție constantă pe perioade îndelungate de timp, respectiv principalii factori sunt în echilibru.

Astfel un bazin fluvial alimentat cu un volum de sedimente relativ constant și aflat în echilibru în raport cu rata de subsidență își menține

pentru un timp îndelungat suprafața (spațiul) și tipul sedimentelor acumulate, adâncimea, etc. relativ constante. În mod asemănător o câmpie de coastă și zona de foreshore limitrofă, deși acumulează sedimente relativ groase, pot menține o pantă constantă în timpul sedimentării pe baza echilibrului dintre subsidență, aportul de sedimente și variațiile nivelului apelor bazinului. Acest tip de modele relativ simplificator, este ușor de construit iar evoluția sa în timp poate fi previzibilă.

Modelele dinamice, mult mai complexe, realizează (mai mult sau mai puțin exact) o cuantificare spațio-temporală a diversilor parametri care controlează evoluția bazinelor sedimentare.

Astfel la nivelul unui bazin pot apărea, de la o zonă la alta, de la un moment la altul, variații de facies și grosime ale sedimentelor, respectiv a geometriei suprafeței sedimentare. Schimbarea succesivă a valorilor parametrilor de intrare are ca efect descrierea și respectiv modelarea mai precisă a evoluției bazinului sedimentar.

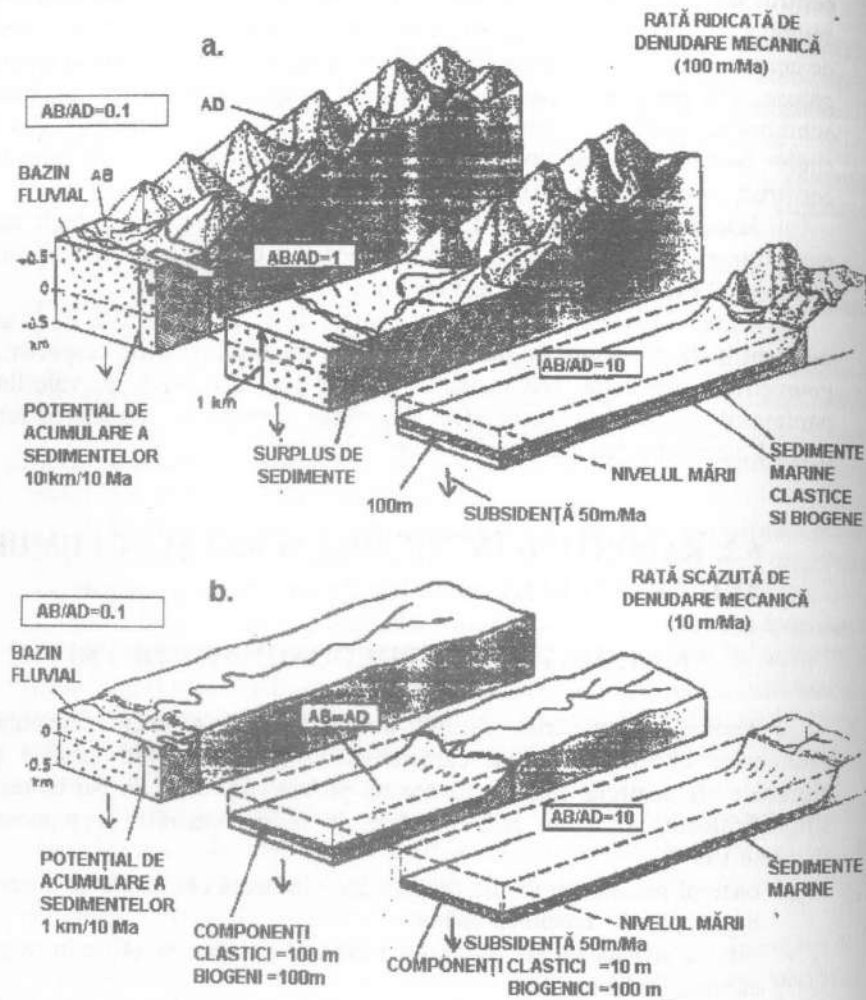
6.2. RAPORTURI ÎNTRE ARIA SURSĂ ȘI VOLUMUL SEDIMENTELOR

6.2.1. MATERIAL PREDOMINANT DETRITIC

Aportul de material detritic de pe uscatul adiacent bazinului sedimentar este dependent de caracteristicile orografice, hidrografice și climatice ale acestuia. Modelarea acestui proces (fig. 6.1.), într-o ipoteză simplificatoare, se poate face plecând de la următoarele presupuneri (Einsele 1992):

- bazinul sedimentar și aria de denudare limitrofă constituie un sistem depozitional – erozional închis;
- rata de subsidență are o valoare medie și este constantă pe întreaga suprafață a bazinului;
- distribuția materialului sedimentar este uniformă pe întreg bazinul, perioada de timp aferentă proceselor de denudare – acumulare de sedimente este de 10 Ma;
- la momentul inițial evoluțiile nivelului mării și fundului bazinului marin sunt congruente.

În raport cu acestea pot fi definite mai multe modele respectiv tipuri depozitionale.



1. Bazine supra-alimentate

Atunci când aria de drenaj de pe uscat, AD, este cu mult mai mare

decât suprafața bazinului sedimentar, AB, raportul AB/AD (fig. 6.1.a) mai mare sau egal cu 0,1, bazinul este de obicei supra-alimentat cu material sedimentar și rămâne tot timpul umplut cu sedimente (model de umplutură de bazin geometrică).

Această situație mai poate fi generată și în cazul unei arii de drenaj scăzute balansată însă de o rată de subsidență redusă (în exemplul din figura 6.1. rata de subsidență mai mică de 100m /Ma).

În condițiile mai sus menționate umplutura bazinului este constituită în întregime din depozite continentale, predominant fluviatile. Surplusul de material sedimentar necompensat de umplerea bazinului (încărcătura suplimentară) este transportat mai departe în alte arii depoziționale. De obicei această situație este caracteristică structurilor de tip graben de pe continente.

De la această regulă se abat zonele de rift sau grabenele aflate în faza de subsidență inițială rapidă (cu o rată de subsidență de circa 200 m/Ma) și/sau cu o arie de drenaj relativ mică, cu denudație scăzută în raport cu procesele de generare de bazin. În astfel de situații bazinul (graben, rift) poate fi parțial umplut cu apă (se formează lacuri și/sau sisteme fluviatile) sau mărit, de exemplu zona de rift Est-African. De asemenea, atunci când raportul precipitații/sedimentare este foarte scăzut (Marea Moartă-Iordania, Valea Morții-California) nivelul de subsidență este sub nivelul mării.

Un alt exemplu de bazin supra-alimentat, situat de această dată suprajacent șelfului continental, este Marea Galbenă, situată între China și peninsula Coreea, alimentată în exces cu material sedimentar de fluviile limitrofe, în special Huang-he și Yang-tze. Astfel în condiții normale Fluviul Huang-he are un raport între greutatea materialului în suspensie și greutatea apei de 1/25 pentru ca în perioadele de exces pluviometric-inundație acest raport să ajungă la 1 sau chiar mai mult (Strahler 1973). În aceste condiții apare evidentă supra-alimentarea bazinului și colmatarea acestuia în timp.

2. Bazine cu alimentare de sedimente moderată la scăzută

Atunci când raportul dintre aria de denudare și suprafața bazinului sedimentar este relativ unitar ($AD/AB = 1$), umplerea bazinului și natura sedimentelor sunt controlate de rata de denudare și subsidența bazinului (fig 6.1.b). Rate de denudare intense și medii potențiază un volum de sedimente mai mare decât este necesar pentru umplerea bazinului dată de o subsidență moderată (50m/Ma).

O rată de sedimentare redusă are ca efect o alimentare cu sedimente scăzută și implicit necompensarea generării de volum în bazinul depozițional prin sedimentare. În aceste condiții (insuficient aport de

sedimente) are loc o adâncire a bazinului și/sau o eventuală mărire a suprafeței acestuia. Apar sedimente de tip marin. Producția biogenică de sedimente poate atinge o valoare medie de 10m/Ma. Aproximativ jumătate din volumul total de sedimente marine este de origine autohtonă iar cealaltă jumătate este alohtonă (terigenă).

La o creștere semnificativă a raportului dintre suprafețe ($AB/AD=10$) nu mai este posibilă compensarea creșterii de volum datorate subsidenței, chiar în cazul unei rate de denudare accentuate. În această situație conform ipotezelor (presupunerilor) enunțate anterior numai jumătate din sedimentele marine care rezultă sunt terigene (tipice pentru sedimentele hemipelagice în oceanele moderne).

Atunci când pe fondul raportului mare dintre aria bazinului și suprafața de denudare ($AB/AD=10$) se grefează o rată de denudare scăzută predomină sedimentele marine biogene care conțin numai o mică fracție din materialul derivat de pe uscatul adiacent. Acest model descrie condițiile de sedimentare din bazinele oceanice largi, departe de un continent.

3. Influența reliefului ariei sursă

Atunci când aria de drenaj de pe uscat este aproximativ egală cu suprafața bazinului sedimentar ($AB/AD=1$), mărirea energiei de relief datorată ridicării ariei de drenaj induce o creștere accentuată a intrării de material terigen în bazin (fig. 6.1.a). Rata de denudare mecanică este scăzută în raport cu relieful mediu. Efectul cumulat al acestor procese constă în colmatarea accentuată a bazinului sedimentar; bazinul sedimentar va fi din ce în ce mai puțin adânc și în final va trece la un sistem fluviatil. În același timp are loc o creștere a proporției de material terigen crește în raport cu componenta biogenă.

În cazurile când are loc o descreșterea a reliefului la nivelul ariei de denudație se diminuează raportul clastite terigene/biogenetice și se produce o adâncire a bazinului.

6.2.2. SEDIMENTE CHIMICE ÎN LOCURI ÎNCHISE

În cazul unui bazin (lac) închis cu o arie de depozitare (suprafață) ce rămâne constantă în timp și este mică în raport cu aria de denudare ($AB/AD=1/10$), poziționat într-o zonă cu climat arid și rocile ce formează

detaliat în cele ce urmează.

1. Onlap de coastă

Una dintre cele mai eficiente metode de recunoaștere și evaluare a evenimentelor eustatice la nivelul bazinelor sedimentare este cea bazată pe studierea extinderii și grosimilor secvențelor depoziționale în decursul evoluției bazinelor sedimentare. Vail et al. (1977, 1984) și Hardenbol et al. (1981) au fundamentat una dintre cele mai bine cunoscute modalități de descriere a geocronologică și estimare a mărimii evenimentelor eustatice. Aceasta se bazează pe două metode (abordări) diferite:

- studierea secțiunilor seismice și evidențierea poziției depășirilor prin onlap de către secvențele sedimentare marine de coastă sau aluviale de pe marginea continentală, în funcție de timp;
- determinarea extinderii perturbațiilor de pe curbele de subsidență crustală cu ajutorul detelor din foraje.

Studiul secțiunilor seismice se realizează plecând de la identificarea secvențelor seismice, considerând că reflectorii seismici cu dezvoltare continuă corespund unor plane de stratificație sau de discordanță.

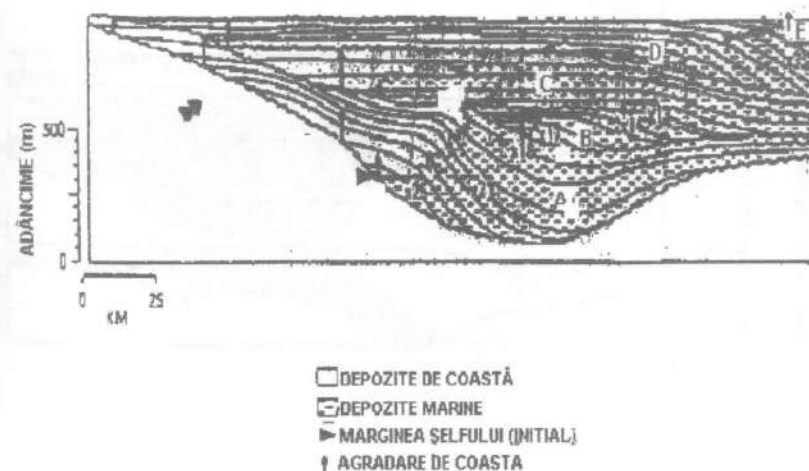


Fig.: 6.3. Secțiune seismică ilustrând suprafețe de tip downlap și variațiile litofaciale ale secvențelor depoziționale (după Vail et al 1984).

Raporturile de discordanță sau concordanță dintre secvențele seismice astfel evidențiate se realizează prin urmărirea fiecărui reflector seismic cu dispoziție onlap care se termină pe suprafața inferioară de discordanță sau pe un alt reflector (fig. 6.3.).

Disponerea (extinderea) în suprafață a acestor reflectori ne permite să individualizăm (pentru fiecare reflector) hărți de invazie a sedimentelor care ne arată cât de departe, pe marginea continentală, se depășesc unele pe altele, prin onlap, prisme la sedimentare (de tip marin, de coastă sau aluviale).

Evidențierea raporturilor cronostratigrafice dintre diversele secvențe seismice, determinate anterior, natura limitelor dintre acestea, faciesurile și suprafețele cu dispoziție downlap (mai ales pentru zonele dinspre largul bazinului) este necesară construirea secțiunii cronostratigrafice (fig. 6.4.).

Această secțiune evidențiază cu claritate dezvoltarea în timp și în spațiu a fiecărei formațiuni geologice (corespunzătoare secvențelor seismice) cu variațiile de grosime ale acestora generate de procesele de sedimentare și/sau erozionale.

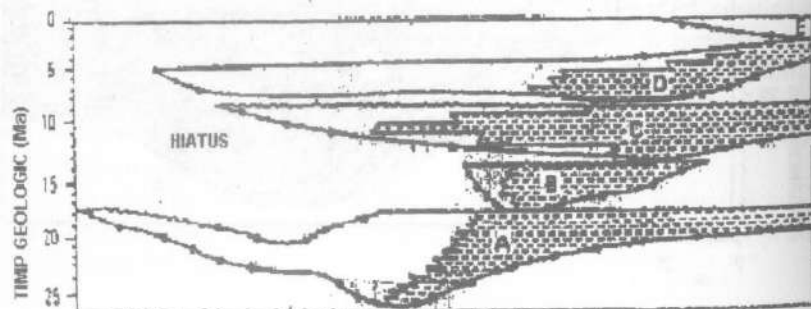


Fig.: 6.4. Hartă cronostratigrafică (diagramă Wheeler) construită pe baza secțiunii seismice din figura 6.3.

În acest mod se poate realiza un grafic, "hartă", de agradare a sedimentelor care indică ridicarea respectiv coborârea componentei verticale a fiecărui reflector seismic cu dispunere de tip onlap. Rezultatul este o reprezentare sintetică, regională a ciclurilor schimbărilor relative ale nivelului mării (fig. 6.5.).

Prin corelarea ciclurilor regionale ale schimbărilor relative ale nivelului mării din locuri (bazine și/sau poziții în cadrul bazinului) diferite, Vail et al.(1977), au fost realizate grafice, "hărți", care prezintă dezvoltarea ciclurilor globale de sedimente onlap, și care pot fi folosite pentru aproximarea generală a variațiilor eustatice pentru zonele mai puțin cunoscute unde nu avem informații concrete privitoare la acest parametru.

Cu toate că este aplicată pe scară largă această abordare este mai puțin precisă datorită faptului că înglobează și variațiile de nivel ale apei din bazin cauzate de schimbările regimului (ratei) de subsidență și/sau diferențele de subsidență și compactizare care pot exagera curbele de onlap.

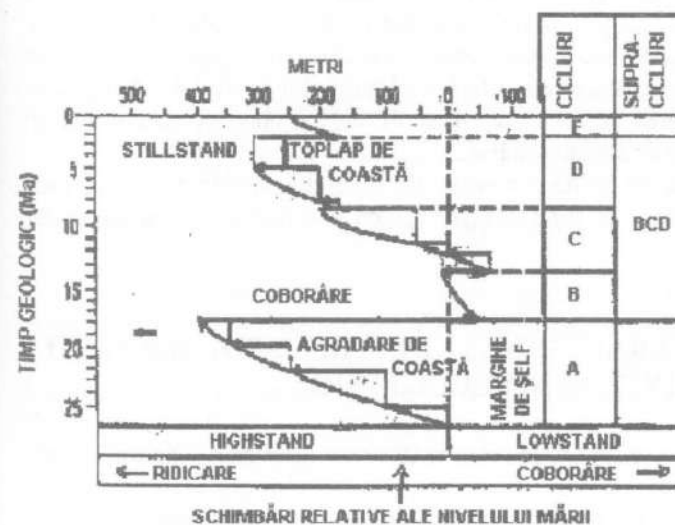


Fig.: 6.5. Harta schimbărilor relative de nivel ale apei bazinului construită pe baza secțiunii seismice din figura 6.3. (după Vail et al.-1984).

2. Suprapunerea și medierea curbelor de subsidență

Mai mulți cercetători (Hardenbol et al.-1991, Vail și Todd-1981) studiind variațiile onlapurilor de coastă în corelare cu datele oferite de cercetările paleontologice, consideră că amplitudinea evenimentelor eustatice de joasă frecvență poate fi determinată prin măsurarea diferențelor dintre curbele de subsidență crustală stabilite din lucrările de foraj (sonde), curbele de backstripping, și curbele de subsidență termo-tectonice calculate teoretic.

În funcție de modelul de calcul folosit la ridicarea curbelor teoretice de subsidență termo-tectonică valorile obținute, pentru același bazin și același interval de timp, sunt diferite de la un autor la altul.

În această situație, pentru o mai bună aproximare a valorilor obținute și alegerea modelului de calcul cel mai adecvat, este necesară compararea curbelor teoretice cu datele din sonde și calcularea unei abateri pătratic.

Atunci când, pentru un anumit model, valoarea abaterii pătratic este minimă, se poate considera că acesta este cel mai adecvat zonei, bazinului, și intervalului studiat. Mărimea shiftării necesare suprapunerii curbelor reprezintă, mai mult sau mai puțin, componenta ponderată a variației nivelului eustatic (după efectuarea celorlalte tipuri de corecții). Hardenbol et al. (1981), pe baza mai multor astfel de determinări au ajuns la concluzia că "rezoluția stratigrafică a schimbărilor nivelului mării rareori permite cuantificarea exactă a magnitudinii lor, dar poate fi determinat un minim al schimbării nivelului mării".

Perturbațiile de înaltă frecvență ale nivelului apelor din bazin sunt eliminate din calcul ele fiind considerate ca o reflectare a variațiilor de origine tectonică.

6.4. INTERACȚIUNEA DINTRE SEDIMENTAȚIE, SUBSIDENȚĂ ȘI NIVELUL MĂRII

Subsidența unui bazin de sedimentare este determinată de trei factori principali și anume:

- *aportul de sedimente* – rezultat inițial din modificarea reliefului ariilor sursă din centurile cutate;
- *subsidența bazinului* – controlată de amplasamentul centurii cutate și flexura litosferei;
- *schimbările regionale de nivel ale apei* – care afectează întreg bazinul.

Trebuie menționat că influența cea mai mare asupra dezvoltării secvențelor stratigrafice revine ratei cu care acționează factori mai sus menționați și nu mărimii acestora (fig. 6.6.).

Apariția și dezvoltarea unei prisme depozitionale care progradează este legată de descreșterea adâncimii apei din bazin în vecinătatea liniei țărmului.

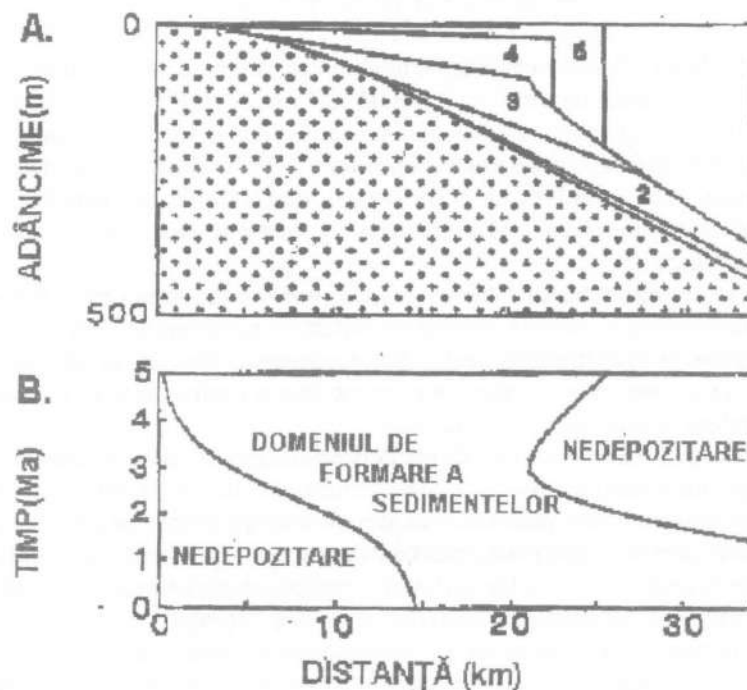


Fig.: 6.6. Secțiune stratigrafică sintetică ai marginii distale a unui bazin de foreland (pânza de șariaj este poziționată în dreapta) ilustrând evoluția secvențială ulterioară încărcării tectonice a bazinului urmată de o scădere a ratei de subsidență. Aportul de sedimente și nivelul eustatic rămân constante. (A) – distribuția secvențelor depozitionale; (B) – diagrama spațiu (distanța față de linia țărmului)/timp. (după Angevine, Heller și Paola - 1990).

Aceasta poate fi rezultatul creșterii ratei aportului de sedimente și/sau scăderii ratei de subsidență și/sau creșterii ratei de coborâre a nivelului apelor din bazin.

Modul de acțiune al acestor factori poate fi redat sintetic printr-o relație de forma:

$$Rlt = (Rsed - Rsub + Rnm) / panta \quad (6.1.)$$

în care: Rlt - rata progadării liniei țărmului;

$Rsed$ - rata de sedimentare la linia țărmului;

Rnm - rata locală de subsidență;

$Panta$ - înclinarea medie a fundului bazinului în zona studiată.

Din relația de mai sus rezultă că orice modificare a valorilor termenilor componenți va induce, în egală măsură, o variație a modului de progradare în bazin a prisme sedimentare. Din această cauză stabilirea factorului sau combinației de factori ce controlează evenimentele transgresive / regresive la nivelul bazinului sedimentar este greu de realizat și relativ incertă.

În condiții structural-tectonice mai mult sau mai puțin asemănătoare toți factorii majori menționați anterior pot să se modifice, ca pondere, mod de acțiune și evoluție temporală (simultan/consecutiv), astfel că ciclurile transgresiv - regresive nu sunt sincrone pe întreg bazinul și se manifestă în mod diferit în zone diferite ale acestuia.

Astfel în cazul Avandosei Pericarpatică, pe fondul general al transgresiunii sarmato-pliocene, la nivelul flancului intern, apar frecvente variații ale factorilor mai sus menționați ceea ce a dus la apariția mai multor cicluri transgresive-regresive diferite ca amploare și/sau durată în diferite zone ale acesteia. De exemplu depozitele meotiene din zona cutelor diapire prezintă importante variații de grosime și litologie.

În timp ce în zona estică grosimea acestora este de peste 700 m și se pot evidenția până la 24 de complexe nisipoase - grezoase separate între ele de secvențe pelitice, pe măsură ce ne deplasăm spre vest grosimea se reduce treptat, până la 100 - 150 m iar numărul complexelor arenitice se reduce până la 3 - 4.

Această situație de nesincronizare se poate explica prin faptul că schimbările nivelului apelor bazinului nu au constituit singurii factori care au controlat succesiunea transgresiune - regresiune și implicit formarea de depozite caracteristice.

Concomitent cu aceste schimbări au avut loc și modificări ale sursei de sedimente (fluctuații ale aportului și tipului), precum și ale subsidenței, chiar dacă evenimentele tectonice nu au fost extrem de active pentru perioada de timp respectivă.

6.5. DISPUNEREA SECVENȚELOR DEPOZIȚIONALE

Combinarea factorilor prezentați în subcapitolul anterior (conform relației 6.1.) are ca efect, la nivelul bazinului, formarea unor secvențe depoziționale cu componentă și arhitectură diferită.

Pentru o reliefare cât mai elocventă a modului în care factorii mai sus menționați influențează stratigrafia secvențială a bazinului sedimentar vor fi prezentate interacțiunile dintre aceștia și efectele induse în constituția și extinderea secvențelor depoziționale.

6.5.1. RELAȚIA SUBSIDENȚĂ/NIVELUL MĂRII

Considerăm o secvență stratigrafică amplasată la marginea distală a unui bazin de foreland (fig. 6.6). Conform modelelor de flexurare ale bazinelor de foreland perioadelor de încărcare tectonică le corespund episoade de subsidență flexurală. În plus această tendință generală este influențată de variațiile regionale ale nivelului apelor din bazin. Dacă evenimentele tectonice - evoluția pânzelor de șariaj - induc încărcări tectonice intermitente și inegale subsidența va fi discontinuă și de intensitate diferită datorită dinamicii maselor de roci implicate în procesul de șariaj.

În exemplul din figura 6.6. este ilustrat schematic modul de acțiune al mecanismului prezentat în paragraful anterior. Astfel centura încălecată (din partea dreaptă a figurii) se deplasează spre bazinul sedimentar ceea ce are ca efect o subsidență continuă și care, în timp, migrează spre marginea bazinului (stânga). Acest proces duce la formarea de unităților secvențiale, 1-5, caracterizate prin terminații de tip onlap de coastă. Rata de subsidență crește continuu în perioada de timp corespunzătoare formării secvențelor 1, 2, 3 generând o deplasare spre coastă a depocentrului.

În continuare rata subsidenței descrește ușor în timpul formării secvențelor depoziționale 4 și 5 generând secvențe având o limită relativ constantă spre continent și terminații ce se depășesc progresiv, de tip downlap, spre largul bazinului sedimentar.

Diagrama timp/spațiu (fig. 6.6.B) construită pe baza acestui aranjament secvențial este foarte asemănătoare cu cele considerate ca fiind produse de variațiile de nivel ale mării (Vail et al. - 1977), caracteristică unei perioade de evoluție prin onlapping cu o discordanță în offshore, urmată de o perioadă de evoluție prin downlapping (Angevine et al. - 1990).

Cu toate că în perioada de timp corespunzătoare formării secvențelor

au loc schimbări relative ale nivelului local al apelor din bazin (adâncimea apei se modifică), geometria unităților secvențiale este generată de schimbările (relativ modeste) ale ratelor de subsidență și nu de variațiile eustatice ale nivelului mării.

6.5.2. VARIAȚIILE DE SUSSIDENȚĂ ȘI ÎN ALIMENTAREA CU SEDIMENTE

Un element important pentru definirea arhitecturii secvențelor depoziționale (în general pentru anumite porțiuni din suprafața bazinului sedimentar) îl constituie aportul de sedimente.

Acumularea, extinderea și compoziția secvențelor rezultate este determinată și de crearea și/sau consumarea spațiului la nivelul bazinului, deci de variațiile subsidenței.

Pentru o mai bună înțelegere a dinamicii proceselor mai sus menționate și a interacțiunii dintre ele se pot considera trei modele distincte (Einsele 1992) și anume:

- rată de sedimentare constantă – rată de subsidență variabilă;
- rată de sedimentare variabilă – rată de subsidență constantă;
- rată de sedimentare și de subsidență variabile.

a). Considerăm un sector al unui bazin de sedimentare caracterizat printr-un aport de sedimente relativ constant și care generează o rată de sedimentare de aproximativ 20 m/Ma (fig. 6.7).

Atunci când rata de subsidență (la nivelul zonei cercetate este de aproximativ egală cu grosimea depozitelor care se formează suprafața și adâncimea bazinului sedimentar vor rămâne aproximativ constante (fig. 6.7.a) procesele de generare și respectiv distrugere de spațiu în bazin compensându-se reciproc. De asemenea tipul sedimentelor ce se formează pe verticala unui anumit punct va rămâne același.

Dacă bazinul sedimentar este caracterizat printr-o subsidență activă ce se manifestă pe o perioadă îndelungată de timp cu o rată de subsidență superioară ratei de sedimentare (fig. 6.7.b și c) bazinul se va adânci și își va modifica suprafața. De asemenea apar modificări litofaciale în sensul formării, pe verticală, de sedimente din ce în ce mai fine (finning up).

Perioada de timp în care rata de subsidență este inferioară ratei de sedimentare se caracterizează prin micșorarea adâncimii apei și prin trecerea de la sedimente cu granulație mai fină spre sedimente din ce în ce

mai grosiere (coarsening up). Acest regim este ilustrat de partea finală a reprezentărilor din fig. 6.7. b și c.

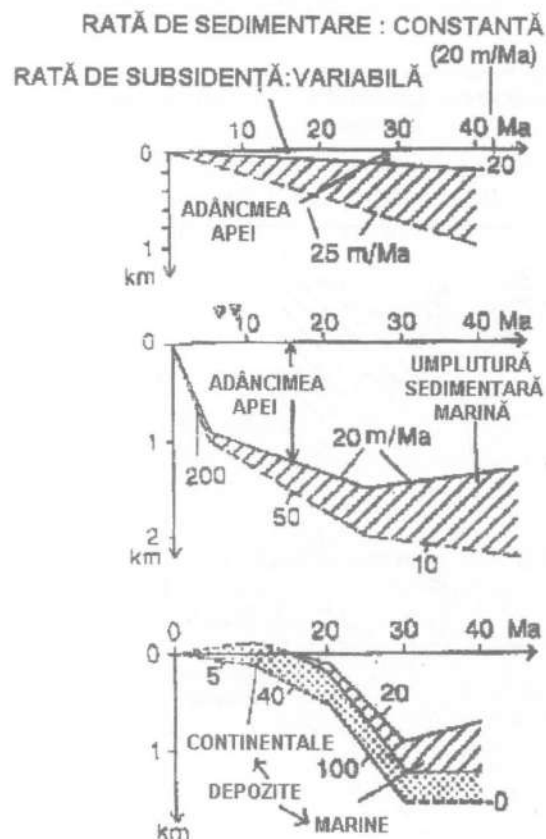


Fig.: 6.7. Evoluția bazinului sedimentar în cazul unei rate de sedimentare constante și o rată de subsidență variabilă (după Einsele 1992).

Dacă perioada de timp caracterizată de o relaxare a ratei de subsidență este suficient de îndelungată se poate ajunge până la modificarea tipului bazinului respectiv trecerea de la bazin de tip marin la cel continental.

b). Dacă rata de sedimentare variază în timp ce rata de subsidență rămâne constantă (fig. 6.8) aportul de sedimente va fi cel care determină

tipul bazinului și caracterele litofaciale. Astfel atunci când rata de sedimentare este inferioară ratei de subsidență va avea loc o adâncire a bazinului însoțită de formarea de sedimente din ce în ce mai fine (fig. 6.8.a).

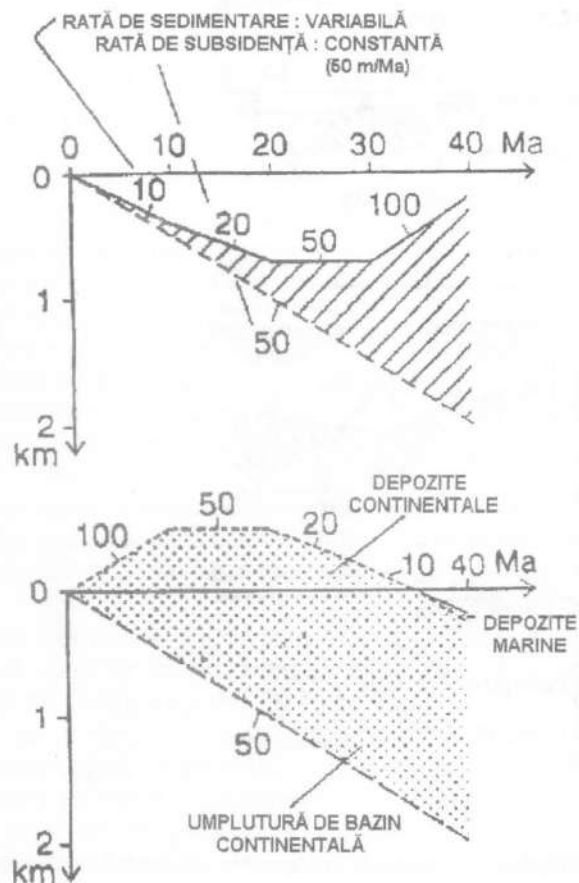


Fig.: 6.8. Evoluția unui bazin cu rată de subsidență constantă și rată de sedimentare variabilă (după Einsele 1992).

Mărirea ratei de sedimentare după o anumită perioadă de timp va conduce la formarea unei stive sedimentare care compensează subsidența astfel că adâncimea bazinului scade.

Dacă variațiile ratei de sedimentare sunt caracterizate printr-o tendință descrescătoare, după o fază inițială de sedimentare intensă, (fig.

6.8.b) bazinul, inițial de tip continental, va trece spre unul marin faciesurile sedimentare modificându-se și ele în mod corespunzător.

c). Atunci când atât rata de sedimentare cât și rata de subsidență variază (fig. 6.9) modelul litofacial cât și umplerea respectiv adâncirea bazinului sedimentar, pentru diferite perioade de timp din evoluția acestuia, vor fi determinate de raportul între cei doi parametri mai sus menționați în sensul că o rată de sedimentare mai mare decât cea de subsidență va conduce la micșorarea adâncimii bazinului și formarea de sedimente din ce în ce mai grosiere pe când raportul invers va favoriza adâncirea bazinului și formarea de sedimente din ce în ce mai fine.

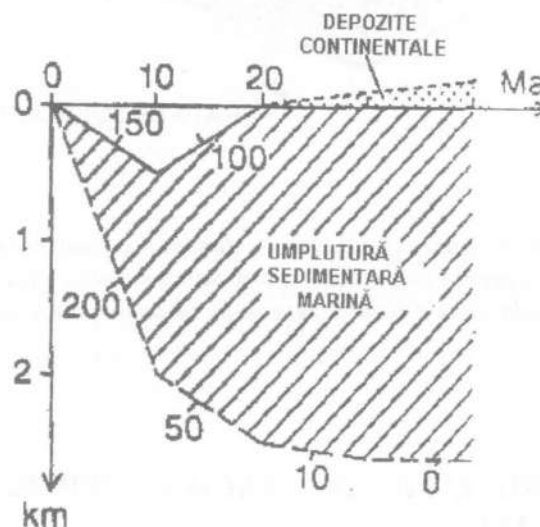


Fig.: 6.9. Evoluția bazinelor de sedimentare cu rate de subsidență și sedimentare variabile în timp (după Einsele - 1992).

De asemenea mai trebuie menționat faptul că, mai ales în cazul bazinelor cu suprafață mare, situațiile prezentate anterior sunt specifice numai unei porțiuni din suprafața bazinului (fig. 6.10) putând fi întâlnite situații în care în același timp, în același bazin sedimentar dar în zone diferite raportul diferit între rata de subsidență și rata de sedimentare să genereze procese contrarii (umplere – adâncire).

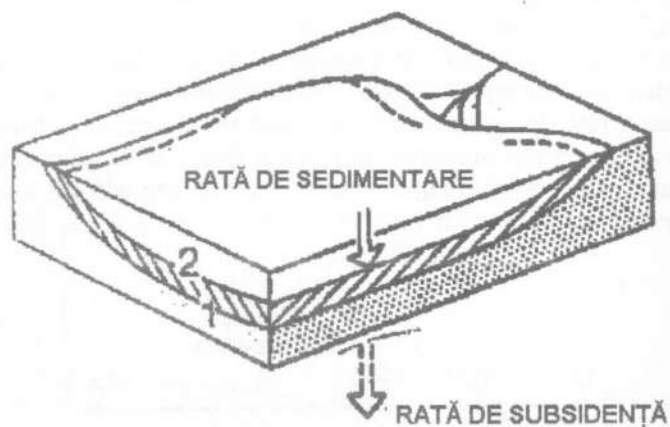


Fig.: 6.10. Porțiune a unui bazin sedimentar caracterizată printr-un model unitar și specific de evoluție bazat pe raporturile dintre ratele de subsidență și sedimentare pentru suprafața respectivă și evoluția lor în timp.

6.6. ASOCIAȚII DE FACIES VERTICALE ȘI LATERALE

6.6.1. EVOLUȚIA FACIESURILOR PE VERTICALĂ

Acțiunea combinată a principalilor factori ce acționează la nivelul bazinului sedimentar (aport și/sau creare de material, sedimentare, subsidență) definește trei tipuri principale de evoluție pe verticală a faciesurilor.

1. Aportul de sedimente este mai mare decât subsidența.

Bazinele au sau dobândesc adâncime redusă. Depozitele formate prezintă o trecere mai mult sau mai puțin graduală de la sedimente marine (de apă puțin adâncă) la cele lacustre, fluviatile, sau alte tipuri continentale. Are loc o scădere a cantității de sedimente biogene produse și a ponderii acestora în raport cu cantitatea totală de sedimente.

Aceste bazine, supra-alimentate, au un ciclu de evoluție (perioadă de existență) scurtă dar datorită aportului important de material sedimentar în raport cu suprafața bazinului și ratei ridicate de sedimentare sunt bine reprezentate în coloana litostratigrafică (formează stive sedimentare destul de groase).

Tipurile de facies sunt dominate de sedimente clastice și pot cuprinde medii ce balează domeniile de la mare adâncă la continental, întâlnindu-se următoarele situații:

- bazine de rift sau structuri de graben cu depozite fluviatile;
- lacuri alimentate de râuri din regiuni cu relief înalt și depozite lacustre proglaciare;
- delte marine și conuri submarine;
- bazine remanente cu sedimentație de fliș;
- bazine de foreland cu depozite de molasă;
- bazine de forearc și backarc cu alimentare bună din intervalul vulcanoclastic și alte clastite;
- bazine pull-apart în arii cu relief înalt;
- unele mări adiacente unui uscat cu energie mare de relief și aport bogat de sedimente terigene (de exemplu Golful Californiei).

2. Aportul de sedimente este mai mic decât subsidența.

Bazinele sunt adânci sau în curs de adâncire, de tranziție de la medii continentale sau marine de mică adâncime la medii de mare adâncă. În ansamblul sedimentelor are loc o creștere a ponderii și/sau cantității componentelor biogenici.

Bazinele slab alimentate (subnutrite) prezintă o tendință de adâncire și sunt în general poziționate la depărtare de sursele de sedimentare terigene cu relief înalt. Deși au o durată de existență relativ îndelungată datorită aportului redus de sedimente coloana litostratigrafică aferentă acestora este de grosime redusă în raport cu timpul de depunere. Aceste evoluții ale faciesurilor sunt caracteristice pentru:

- părțile centrale ale bazinelor oceanice largi și în special bazinele mici aflate în vecinătatea dorsalelor medio-oceanice;

- platforme submarine înalte și izolate;
- mări epicontinentale înconjurate de uscaturi joase;
- mări adiacente zonelor aride (de exemplu Marea Roșie).

3. Aportul de sedimente este relativ compensat de subsidență.

Sunt bazine de tipuri și adâncimi diferite (continentale, mare puțin adâncă, mare adâncă) și care își păstrează configurația morfologică pentru perioade îndelungate de timp. Nu au loc schimbări importante ale ponderii componentelor terigeni sau biogenici ai sedimentelor și nici în aportul de material sedimentar la nivelul bazinului.

Exemple caracteristice sunt:

- mări de șelf, în particular șelfuri carbonatice sau platforme carbonatice, având sau nu diferite tipuri de construcții recifale;
- unele zone afectate de procese de upwelling și cu productivitate organică mare (de exemplu largul coastei Africii de Sud);
- unele bazine de forearc și backarc cu alimentare limitată de sedimente.

Bazinele de sedimentare fiind sisteme deschise aflate în interdependență cu factorii interni (endogeni) și de mediu (exogeni) cum sunt: mișcările tectonice laterale (expansiune, subducție) și verticale, fluctuațiile de nivel ale mării, condițiile oceanografice și climatice, variațiile în timp ale aportului de material biogenic date de evoluția faunei și florei își modifică tendința principală de evoluție astfel că datorită acestor modificări apar o mare varietate de faciesuri sedimentare.

6.6.2. ASOCIAȚII VERTICALE ȘI LATERALE DE FACIES

1. Faciesuri și schimbări de faciesuri

Este bine cunoscut faptul că faciesurile formațiunilor sedimentare sunt dependente de totalitatea condițiilor specifice mediului depozițional aceste condiții fiind dependente la rândul lor de tipul bazinului sedimentar, poziția zonei studiate în cadrul bazinului și nu în ultimul rând de evoluția acestuia în timp.

Faciesul în care este dezvoltat un anumit sediment poate indica mediul său depozițional specific ceea ce îl individualizează în raport cu alte faciesuri din același bazin sau din alte bazine. Modificările ce apar la

nivelul mediului depozițional au ca efect schimbări de facies atât pe verticală (în timp) cât și pe orizontală (în suprafață).

De altfel unul dintre principiile de bază ale sedimentologiei se referă tocmai la aceste "migrații" ale faciesurilor respectiv se consideră că un anumit tip de facies poate migra oblic prin spațiu și timp, în timp ce tipurile de facies se schimbă atât pe direcție orizontală cât și pe orizontală (legea lui Walter). Aceasta înseamnă că un mediu specific, care generează un anumit facies sedimentar, este prezent în diferite momente ale evoluției bazinului în diferite zone ale acestuia mai mult sau mai puțin singulare.

Tipurile individuale de facies, dependente de evoluția bazinului, apar pe verticală și pe orizontală sub forma unor combinații specifice care sunt de fapt rezultatul schimbării în timp și pe suprafață a condițiilor de mediu, și care formează *asociații verticale și laterale de facies*.

Identificarea și interpretarea asociațiilor de facies este unul dintre cele mai importante scopuri ale geologiei sedimentare pentru că determină elementele arhitecturale ale umpluturii sedimentare a bazinelor.

Asociațiile verticale și laterale de facies reprezintă de fapt sursa de informații pe baza căreia putem reconstitui morfostructura și evoluția bazinelor sedimentare.

În continuare vor fi menționate grupurile de asociații de facies majore (la scară bazinului sedimentar).

2. Succesiuni de facies verticale

În funcție de evoluția adâncimilor bazinului sedimentar succesiunile verticale de facies se grupează în:

a). Medii care își măresc adâncimea cu:

- aport crescut de material detritic:
 - câmpii abisale
 - conuri submarine adânci;
 - clastice marine de mică adâncime
 - câmpii formate de râuri;
 - conuri aluviale

- aport redus de material detritic:

- sedimente pelagice de mare adâncă;
- sedimente hemipelagice marine adânci;
- zonă marină cu apă puțin adâncă (sub nivelul valurilor); delte, lagune, câmpii de maree;
- câmpii aluviale.

b). Medii care își micșorează adâncimea:

- sedimente siliciclastice:
 - câmpie fluviatilă;
 - câmpie de deltă, lacuri, mlaștini;
 - zone lagunare și intermareice;
 - bare de nisipuri de la gurile râurilor;
 - prodelte, șelfuri clastice;
 - conuri submarine;
 - câmpii abisale.
- sedimente carbonatate:
 - câmpie aluvială;
 - sabkha de coastă;
 - lagune carbonatice sau evaporitice;
 - recifi și detritus recifal;
 - platforme carbonatate adânci;
 - plante carbonatate;
 - carbonatite de pantă;
 - carbonatite de mare adâncă.

În general la nivelul unui anumit bazin de sedimentare, datorită modelului caracteristic, vor fi prezente numai o parte din aceste succesiuni. În plus se dezvoltă frecvent asociații minore de facies vertical:

- șisturi argiloase, marne, calcare și șisturi negre pelagice și hemipelagice;
- carbonatite pelagice, cherturi carbonatate-silicioase, argile roșii (asociate de obicei cu crustă oceanică);
- depozite de falune, formate din cefalopode, crinoide, gasteropode, etc, fosforite, minerale glauconitice, cruste și noduli de oxihidrați de fier și mangan;
- argile roșii și verzi, evaporite.

3. Asociații laterale de facies

Și în plan orizontal, în cadrul depozitelor mai mult sau mai puțin sincrone se dezvoltă asociații laterale de facies:

- conuri aluviale – câmpii formate în zonele de meandrare a râurilor, lacustre (playa), însoțite sau nu de nisipuri eoliene;
- câmpii aluviale – câmpii de maree (lagune) – marine de mică adâncime – marine adânci;
- câmpii aluviale (strate roșii, nisipuri eoliene) – sabkha de coastă – carbonați/evaporite lagunare – recifi – perirecifal – pantă carbonată;
- șelf clastic – taluz și canale de taluz – conuri submarine –

- câmpii de bazin;
- ridge-uri medio-oceanice – medii pelagice și hemipelagice de mare adâncă (sub și deasupra adâncimii de compensare a calciului) – fose de mare adâncă – prisme acreeționale cu bazine de pantă.

Modificarea distanței zonei de sedimentare în raport cu sursa de sediment (tendențe proximal – distal) pot genera asociații de faciesuri laterale distincte, de exemplu:

- depozitele canalelor de taluz – conuri submarine superioare și inferioare – depozite de overbank – câmpie de bazin cu turbidite de canal, proximale și distale;
- curgeri de lavă – curgeri piroclastice și ignimbrite – căderi de cenușe cu descreștere granulometrică – tephra transportată fluvial – turbidite de cenușe în lacuri și mare adâncă;
- sedimente fluviatile grosiere – nisipuri eoliene fine – loes.

CAPITOLUL 7. POTENȚIALUL DE HIDROCARBURI AL BAZINELOR DE SEDIMENTARE

7.1. CONDIȚII GENERALE DE FORMARE A ZĂCĂMINTELOR DE HIDROCARBURI

În prezent majoritatea cercetătorilor care s-au ocupat cu studiul formării și acumulării hidrocarburilor în scoarța terestră au ajuns la concluzia că petrolul (în accepțiunea dată termenului de reglementări actuale) se formează preponderent din diferitele tipuri de materie organică acumulată în sedimente și care suferă o serie de transformări succesive, din momentul îngropării acestora până la formarea zăcămintelor de hidrocarburi.

De asemenea marea majoritate a zăcămintelor de petrol sunt cantonate în roci sedimentare.

În aceste condiții apare ca evidentă dependența formării hidrocarburilor și a acumulării acestora în zăcămintele de evoluția bazinelor de sedimentare.

Factorii principali care determină formarea zăcămintelor de hidrocarburi sunt următorii:

- existența rocilor sursă de hidrocarburi și a condițiilor de oleogenează;
- existența proceselor de migrare primară (expulzare) a hidrocarburilor;
- existența rocilor rezervor;
- existența proceselor de migrare secundară a hidrocarburilor;
- existența capcanelor.

În cele ce urmează vor fi prezentate relațiile dintre evoluția bazinelor de sedimentare și formarea zăcămintelor de hidrocarburi.

7.2. OLEOGENEZA

7.2.1. ROCILE SURSĂ DE HIDROCARBURI

7.2.1.1. SEDIMENTUL ÎNȚIAL

Existența rocilor generatoare (sursă) de hidrocarburi, așa cum au fost ele definite și caracterizate de cei care au studiat geologia și geochimia petrolului (Levorsen, Brod, Lopatin Waples, Tissot etc.) este evident legată de caracteristicile și evoluția bazinelor de sedimentare. În principal formarea rocilor potențial generatoare de hidrocarburi este condiționată de doi factori oleogenetici și anume:

- formarea sedimentelor pelitice
- acumularea materiei organice în condiții anoxice.

În general istoria evoluției oricărui bazin sedimentar cuprinde episoade, mai mult sau mai puțin extinse, în care pe anumite areale din suprafața acestuia, se depun sedimente pelitice. După natura sedimentului mineral rocile sursă pot fi: argiloase, silicioase, calcaroase, marnoase și, într-o mai mică măsură, carbunoase.

Se poate observa că rocile pelitice formate pot fi caracteristice atât bazinelor sedimentare de tip continental cât și, mai ales, celor marine. În cazul acestora din urmă determinante pentru apariția rocilor pelitice sunt condițiile litofaciale existente în perioada de formare a acestora și paleomorfologia bazinului depozițional.

Conținutul ridicat de materie organică al rocilor pelitice este determinat la rândul său de condițiile litofaciale care au permis, în evoluția geologică a bazinului, generarea unui sediment organic însemnat din punct de vedere cantitativ care să constituie baza materială a generării hidrocarburilor. Ideale din acest punct de vedere sunt sistemele de tip lagunar, dar condiții favorabile mai pot fi întâlnite în fiorduri, unele delte și, în general, în mările interne. Acestea fiind, de obicei, lipsite de curenți de fund (specfici bazinelor marine deschise), cantitatea de oxigen se reduce odată cu creșterea adâncimii astfel că depozitarea materialului organic se face în condiții anoxice.

Clasic pentru acest tip de sedimentare este modelul lagunar imaginat de Fulda (fig. 7.1.) care întrunește condițiile de acumulare, conservare și transformare a materiei organice.

Existența unui prag continental face ca modificările de nivel ale apei din bazin generate de rate de subsidență diferite, variații eustatice sau, atunci când bazinul este de dimensiuni reduse, de raportul precipitații/evaporație la nivelul ariei bazinului și al ariei de denudare, să inducă variații ale condițiilor biotice din lagună. Acestea pot provoca, episodic, moartea în masă a organismelor și deci acumularea unei importante cantități de material organic.

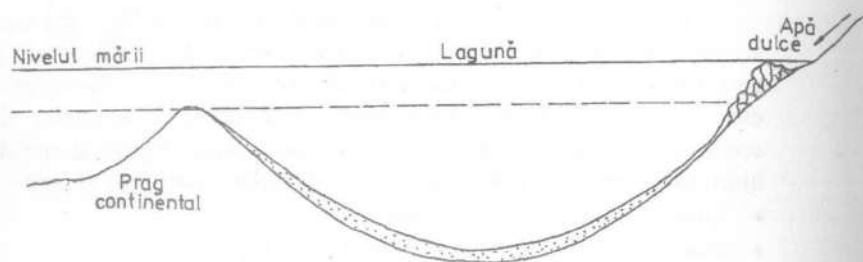


Fig.: 7.1. Secțiune schematică a unui sistem lagunar favorabil formării de sedimente cu conținut de material organic ridicat (după Fulda, din Beca și Prodan 1983).

7.2.1.2. ISTORIA TERMALĂ A BAZINELOR DE SEDIMENTARE

Evoluția bazinelor sedimentare este caracterizată, printre alți parametri, și de variația temporală și în suprafață a fluxului termic și a gradientilor de temperatură. Din punct de vedere oleogenetic regimurile termice la care este supus sedimentul organic înglobat în rocă constituie elementul cheie al transformărilor suferite respectiv determină stadiul de maturare → metamorfism al acestuia. După unii autori generarea hidrocarburilor poate începe încă de la temperaturi destul de scăzute și poate continua până în faza de metamorfism organic respectiv până la temperaturi de aproximativ 200°C (Hunt, Tissot, etc.).

În aceste condiții, considerând că la nivelul bazinului

sedimentar cercetată distribuția temperaturilor se face după un gradient geotermic normal (fig. 7.2.), variația adâncimii limită de debut a metamorfismului de grad scăzut (la circa 200°C), care implică trecerea în domeniul de distrugere a hidrocarburilor, se plasează în jurul adâncimii de 8000m.

Față de cele mai sus prezentate se poate aprecia că metamorfismul regional se dezvoltă normal numai în bazinele care au suferit o subsidență importantă și în care s-au acumulat sedimente foarte groase

În alte situații metamorfismul poate fi produs de factori specifici cum ar fi: gradienti de temperatură anormal de mari, încărcare tectonică (șariaj, supraîncălecarea într-o prismă de acreețiune, stress compresional, etc.)

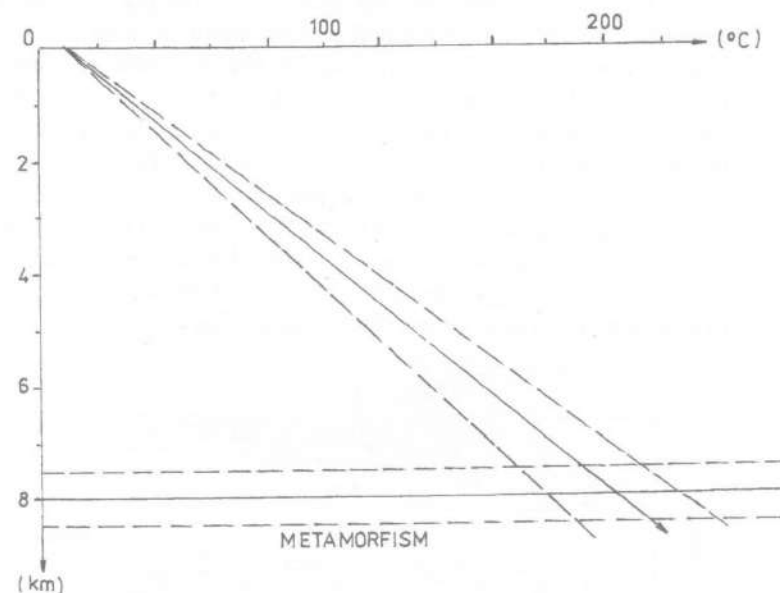


Fig.: 7.2. Limitele de variație ale temperaturii cu adâncimea în cazul unui gradient geotermic normal

Fluxul termic

Distribuția temperaturilor la nivelul bazinului sedimentar este controlată în principal de fluxul termic conductiv al crustei adânci și, în cazuri particulare, de transferul termic adectiv dat de circulația apei meteorice. De asemenea distribuția temperaturilor mai poate fi

influențată de existența unor formațiuni suprapresurizate. Istoria termală a umpluturii sedimentare a unui bazin este dependentă de ciclul (ciclurile) evoluției geologice a acestuia și bineînțeles de tipul de bazin.

De exemplu bazinele de tip rift care evoluează în bazine de tip margine continentală pasivă debutează printr-o fază caracterizată de un flux termic conductiv ridicat (gradienți de temperatură ridicați) urmată de o fază de răcire caracterizată prin descreșterea gradientilor de temperatură. O astfel de situație este ilustrată în secțiunile din figura 7.3.

Bazinul prezentat, Baltimore Canyon (partea sudică a marginii continentale atlantice a Americii de Nord) are o umplutură groasă de sedimente, de peste 15 km., aparținând Triasicului și Jurasicului.

În fazele timpurii ale evoluției fluxul termic mai intens a generat o ridicare spre suprafață a izotermelor în zona de maximă îngroșare a sedimentelor, suprajacentă aliniamentului de întindere maximă (A). În timp, diminuarea fluxului termic a dus la scăderea treptată a valorilor de temperatură în raport cu adâncimea respectiv la micșorarea valorilor gradientilor de temperatură (B).

Raportându-ne însă la temperatura de zăcământ a unei anumite formațiuni geologice, datorită îngropării la adâncimi din ce în ce mai mari, se poate observa o creștere a valorilor de temperatură (deși gradientul geotermic s-a micșorat) astfel că materia organică inclusă în sediment a fost maturată la diferite stadii (fig. 7.3.B).

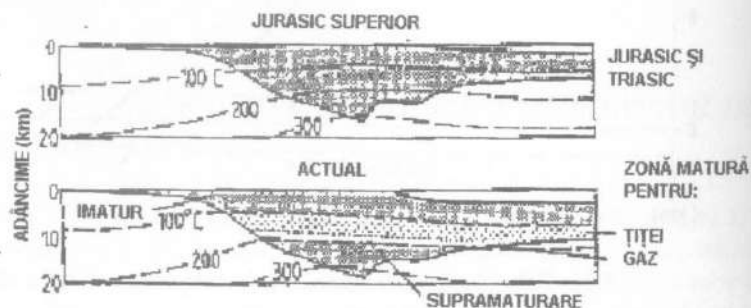


Fig.: 7.3. Distribuția temperaturilor de formație în funcție de adâncime pentru diferite momente din evoluția bazinului sedimentar Baltimore Canyon (după Sawyer - 1984).

Îngroparea ↔ ridicarea formațiunilor

Un alt factor de importanță majoră în evoluția regimului termic al formațiunilor îl constituie mișcările pe verticală la care acestea sunt supuse respectiv subsidența și ridicarea (însoțită de eroziune) a umpluturii bazinului sedimentar.

Dacă o fază de subsidență este urmată de o ridicare și o denudare semnificativă a unei formațiuni sedimentare va cuprinde atât o fază de încălzire cât și o fază de răcire.

Astfel de situații sunt frecvente în centurile cutate dar la acestea reconstituirea istoriei termale și de stress a unor formațiuni sedimentare este complexă datorită implicațiilor tectonice. Un astfel de exemplu a fost descris de Meyer et al. (1989) pe un caz simplu din platoul Colorado din America de Nord (fig. 7.4.)

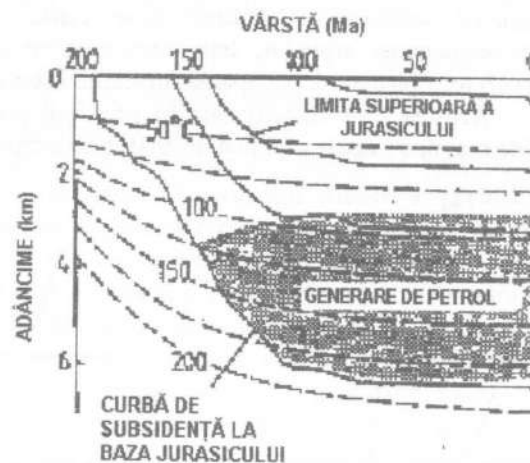


Fig.: 7.4. Evoluția temperaturii depozitelor permieni din bazinul Colorado (după Meyer et al. - 1989).

Sedimentele permieni, după ce au fost depozitate, au fost îngropate la de la 2700m până la 4000m prin acoperire cu sedimente mai tinere. Presupunând un gradient geotermal de 30°C/1000m depozitele permieni au atins o temperatură de 100 - 140°C. După o scurtă perioadă de nedepozitare, sedimentele din bazin au fost

ridicate și circa 2500m din stiva sedimentară au fost erodate. Pentru a determina și verifica temperatura maximă atinsă de sedimente au fost utilizate trei tipuri de metode:

- investigații de fission tracks pe apatite
- studiul incluziunilor fluide
- determinarea reflectanței vitrinitului.

Toate cele trei metode au arătat că maximum de temperatură atins în timpul îngropării sedimentelor permieni a fost între 120°-140°C. Pornind de la aceste determinări sunt de presupus schimbări semnificative în evoluția gradientilor de temperatură sau efecte datorate circulației apelor (meteorice și subterane) deoarece în ultimele 65 de milioane de ani sedimentele permieni s-au răcit cu 30°C.

Suprapresiunile

În unele cazuri, pentru zone mai mult sau mai puțin extinse ale bazinelor sedimentare, datorită unor cauze de natură diferită (subcompactarea argilelor, transformări mineralogice diagenetice, mișcări tectonice etc.), pot apărea formațiuni suprapresurizate.

Acestea sunt caracterizate în principal printr-un conținut de fluide mai mare decât ar fi fost normal la adâncimea de zăcământ.

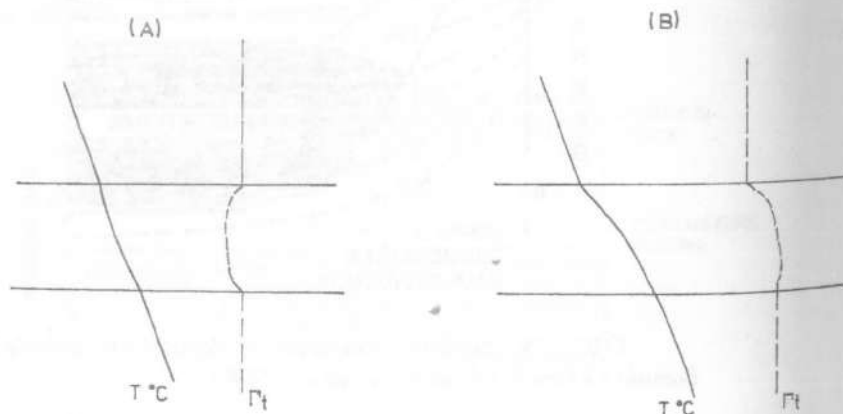


Fig.: 7.5. Influența formațiunilor suprapresurizate asupra transmiterii fluxului termic pe verticală; distribuția temperaturilor și a gradientilor de temperatură.

- (A) - formațiune normal presurizată;
(B) - formațiune suprapresurizată.

Deoarece fluidele interstițiale (în special apa) au o căldură specifică mai mare decât matricea minerală a rocilor formațiunile suprapresurizate se comportă ca un strat izolator caracterizat de o înmagazinare suplimentară de căldură (gradient termic ridicat) și constituie un ecran care îngreunează convecția termică verticală (fig. 7.5.)

În aceste condiții, mai ales când ecranul termic este consistent (de grosime mare) și acționează pentru o perioadă îndelungată de timp, maturarea termică a sedimentului organic, pentru formațiunile aflate sub limita superioară (eventual zona de tranziție) a ecranului de presiune și temperatură, va fi mai rapidă respectiv se va facilita generarea hidrocarburilor.

Radioactivitatea

Se știe că diferitele minerale din care sunt formate rocile pot avea un conținut mai mare sau mai mic de elemente, izotopi, radioactivi dintre care cei mai frecvenți sunt izotopii radioactivi de U, Th și K.

În cazul rocilor sedimentare se poate observa o radioactivitate mai ridicată a mineralelor argiloase generată de conținutul mai ridicat în Potasiu al acestora.

Studiile făcute asupra distribuției și concentrației izotopilor radioactivi în raport cu volumul rocilor au evidențiat faptul că acestea conțin în general o cantitate suficientă de material radioactiv astfel încât energia eliberată de acestea prin procesele de dezintegrare nucleară este suficientă pentru a asigura transformarea sedimentului organic în hidrocarburi (Levorsen 1967).

De asemenea s-a putut constata că substanțele organice (în acest caz sedimentul organic precursor hidrocarburilor) au proprietatea de a concentra o cantitate de izotopi radioactivi cu mult mai mare decât concentrația din mediul de proveniență, respectiv apa bazinului sedimentar (uneori concentrația din sedimentul organic poate fi mai mare de câteva mii de ori decât cea a mediului).

Deoarece energia proceselor radioactive este eliberată aproape integral sub formă de energie termică este evident că aceasta poate influența într-o oarecare măsură regimul termic la care sunt supuse formațiunile geologice.

Trebuie menționat totuși faptul că perioada de timp (timpul de înjumătățire) în care se eliberează această energie este foarte îndelungată astfel că efectele termice nu sunt atât de importante pe cât ar părea la prima vedere.

Circulația apelor

Apele de la suprafața bazinelor sedimentare se infiltrează pe adâncimi diferite (uneori de ordinul sutelor sau chiar miilor de metri) în formațiunile geologice subjacente. De asemenea, în cele mai multe cazuri, în timpul formării și îngropării sedimentelor acestea conțin cantități variabile de apă (fluide) cantonate în volumul de pori al sedimentelor → rocilor.

Atunci când acviferul (alimentat de apele de suprafață) are o dinamică activă, mai ales când datorită aranjamentului topografic și structural al formațiunilor apare un nivel de descărcare la suprafață (fig. 7.6.), pot apărea modificări importante ale distribuției temperaturilor în raport cu adâncimea.

Într-un bazin de foreland ridicat, care coboară dinspre centura orogenică, circulația apei va avea un model ca în figura 7.6. așa cum a fost descris de Jones și Majorowicz (1987) pentru bazinul Prairies din vestul Canadei.

Sub zona de infiltrare (A) gradientul geotermal și astfel densitatea fluxului termic în partea superioară a umpluturii bazinului (sedimente mezozoice-cenozoice) este mai mic decât în stratele paleozoice de dedesubt. În aria de descărcare regională (B) temperatura crește rapid cu adâncimea în umplutura bazinului

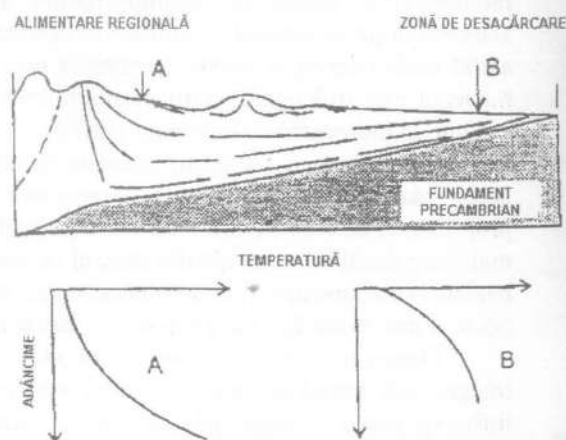


Fig.: 7.6. Circulația apei subterane și influența acesteia asupra distribuției gradientului termic în zonele de încărcare (A) și descărcare (B); Canadian Rocky Mountain (după Jones și Majorowicz – 1987, din Dinu, 1995).

Ariile locale neafectate de această redistribuire a fluxului termic la scara bazinului prin curgerea apelor subterane pot fi interesante din punct de vedere explorării pentru petrol. Astfel de zone păstrează câmpul de temperatură inițial ceea ce indică prezența rocilor impermeabile favorabile pentru reținerea hidrocarburilor.

Un model de distribuție a temperaturilor cu adâncimea a fost calculat de Bethke (1989) pentru Bazinul Illinois, cu depozite paleozoice, influențate de circulația apelor subterane la mare distanță (fig. 7.7.). Distribuția fluxului termic conductiv într-o masă de sedimente poate fi influențată de diferențele permeabilităților rocilor, în special pentru zonele cu relief înalt (Smith et al. - 1989).

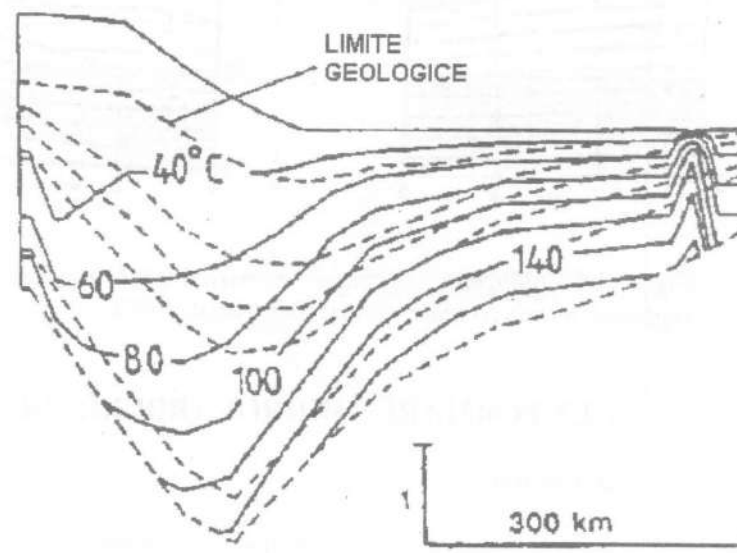


Fig.: 7.7. Perturbarea distribuției temperaturii de curgerea apelor subterane, bazinul Illinois (după Bethke – 1989, din Dinu, 1995)

Atunci când conductivitatea hidraulică este relativ mare atunci variațiile valorilor gradientului termic vor fi semnificativ influențate de circulația apei subterane.

În modelul din figura 7.8. diferența de altitudine dintre zonele de încărcare și descărcare ale apelor subterane a fost presupusă a fi

de 500m pe o distanță de câțiva km. Dacă masa de sedimente este omogenă și are o permeabilitate redusă liniile de flux termic conductiv sunt slab distorsionate (fig. 7.8. a). Dacă însă permeabilitatea crește suficient de mult liniile de flux termic conductiv și gradientii termali sunt puternic afectați (fig. 7.8.b).

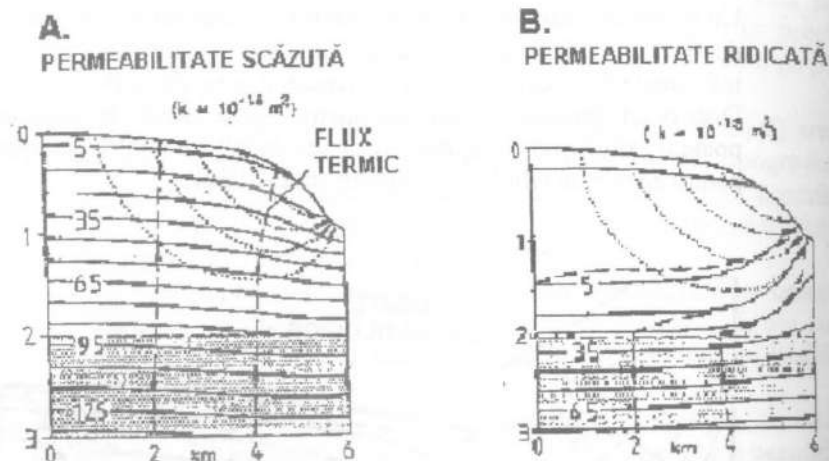


Fig.: 7.8. Influența variațiilor permeabilității rocilor asupra regimului termic conductiv (după Smith et al. 1987).

7.2.2. FORMAREA HIDROCARBURILOR

Kerogenul

Materia organică suferă în timpul sedimentării și îngropării o serie de transformări biochimice și geochimice care o transformă dintr-un "biopolimer" într-un "geopolimer" numit adesea *kerogen*. Totuși folosirea termenului de kerogen pentru cantitatea de materie organică din roci sedimentare este relativ extrapolată în sensul că în afara kerogenului propriu-zis (insolubil în soluții apoase alcaline și solvenți organici obișnuiți) materia organică transformată mai conține o cantitate mică de componenți organici foarte puțin sau deloc metamorfozați "fosile sau markeri biochimici" cât și o cantitate de bitumene ce reprezintă fracția solubilă în solvenți organici (fig. 7.9).

Cantitatea de materie organică, compoziția kerogenului și hidrocarburile generate în diferite roci sursă este controlată de caracteristicile bazinului depozitional (fig. 7.10). Se poate observa că în funcție de mediul depozitional cantitatea și tipul de kerogen generat în timpul îngropării sedimentelor variază semnificativ în funcție de tipul bazinului sedimentar.

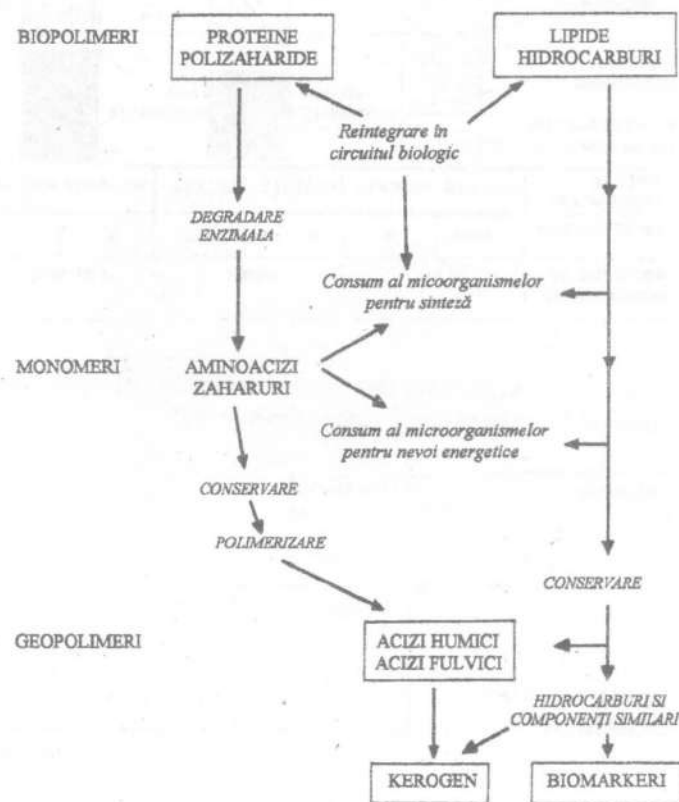


Fig.: 7.9. Transformările materiei organice în procesele de sedimentare și diagenizare (după Espitalie și Bordenave - 1993).

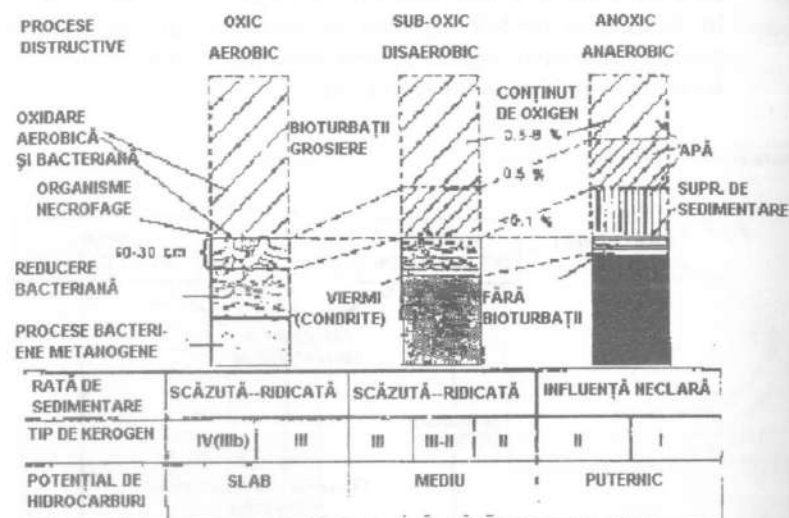


Fig.: 7.10. Dependența dintre caracteristicile mediului depozitional, tipul de kerogen și generarea hidrocarburi.

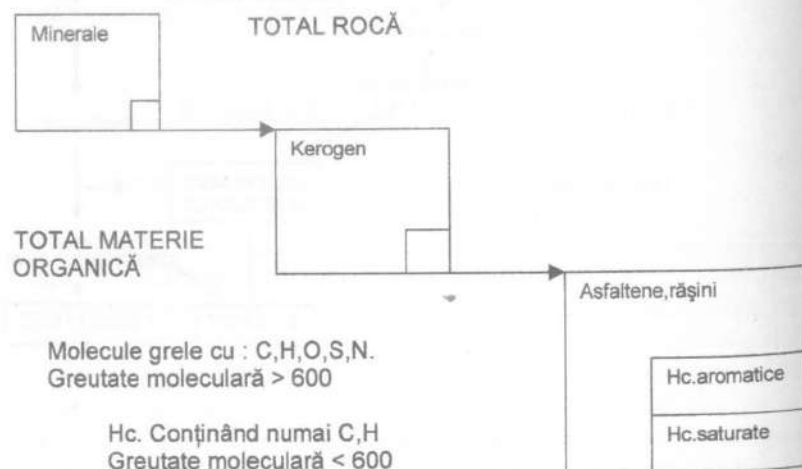


Fig.: 7.11. Compoziția materiei organice (MO) diseminate în roci (după Tissot și Welte - 1978, din Vasiliu, 1999).

Spre deosebire de bitumenul extractibil, extrem de mobil și ca atare întotdeauna în stare de migrație, kerogenul este fixat în sediment (rocă), dar are capacitatea de a genera țiței și gaze care să migreze. Astfel kerogenul reprezintă sursa, aproape exclusivă, a diverselor hidrocarburi care se exploatează în prezent (fig. 7.11).

Un studiu complex privind cantitatea de kerogen din rocile sursă reprezintă un instrument modern, important pentru evaluarea potențialului de hidrocarburi. În cele ce urmează vor fi prezentate principalele tipuri de kerogen și relația acestora cu mediul depozitional.

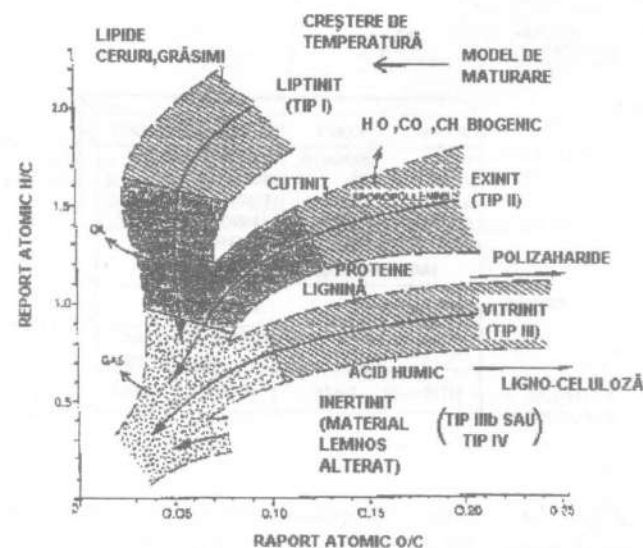


Fig.: 7.12. Tipurile de kerogen (diagramă Van Krevelen) și căile maturizării materiei organice

Kerogenul poate fi clasificat în patru grupe principale în funcție de tipurile macerale și raporturile H/C; O/C (fig. 7.12., 7. 13).

1. Kerogenul de tip liptinit (I), este derivat în principal din componenți lipidici, din material algal după o degradare bacteriană parțială, alterare prin decompoziție, condensare și polimerizare. Depozitele bogate în liptinite se formează în mod obișnuit în lacuri și lagune, dar liptinitul este de asemenea un constituent important al materiei organice de origine marină. Rocile sursă bogate în liptinit

sunt potențial foarte bune generatoare de petrol (de exemplu șisturile de Green River, Eocen mediu, Wyoming).

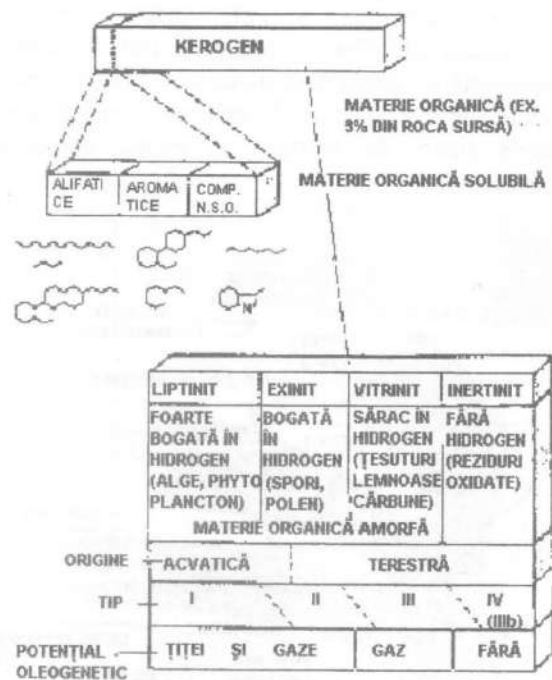


Fig.: 7.13. Materia organică din rocile sursă, tipurile de kerogen și potențialul de hidrocarburi (după Brooks et al - 1988, din Dinu, 1995).

2. Kerogenul de tip exinit (II), este derivat în principal din resturi de membrane ale plantelor, relativ rezistente, cum ar fi spori, polen, cuticule de frunze, etc. Acest tip de kerogen deși provine din surse diferite este depus în mediu marin reducător. Ca exemplu cel mai adesea sunt menționate șisturile Toarcianului inferior din bazinul Parisului.

3. Kerogenul de tip vitrinit (III), este derivat în principal din material lemnos al plantelor continentale mai mult sau mai puțin degradat. Mediul depozitional poate fi diferit, cel mai adesea de tip margine continentală sau, mai rar, de fapt pe suprafețe mai reduse, de tip lacustru. Cele mai cunoscute ocurențe sunt cele din bazinul

Douala și șisturile inferioare de Manville.

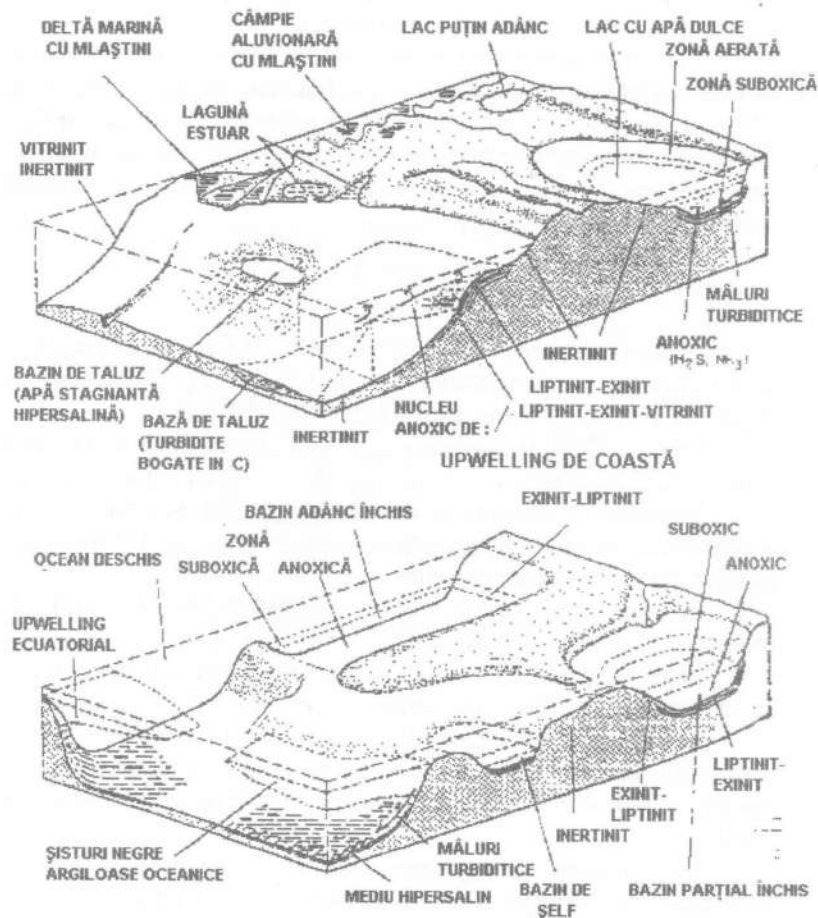


Fig.: 7.14. Reprezentarea schematică a mediilor depozitionale favorabile generării hidrocarburilor

4. Kerogenul de tip inertinit (IV sau III b), este constituit din material organic remaniat și puternic oxidat în mediu marin și/sau material de oxidare biologică din medii palude sau soluri. Potențialul petroligen al acestui tip de kerogen este practic nul.

La nivelul bazinului sedimentar, condițiile de mediu specifice, diferite de la o zonă la alta și de la o perioadă de timp la alta, cât și variația spațio-temporală a surselor și cantităților de materie organică determină o variație a tipului și abundenței kerogenului. Mediile sedimentare majore în cadrul cărora sunt generate diverse tipuri de kerogen sunt prezentate detaliat în figura 7.14.

Un exemplu elocvent îl oferă variația faciesurilor și tipurilor de kerogen în cadrul aceluiasi nivel sedimentar respectiv șisturile de Chattanooga. Astfel în zona de margine a bazinului sedimentar tipul de kerogen este caracterizat de un conținut mai mic de hidrogen pentru ca spre nord (zona de larg) conținutul în hidrogen să crească semnificativ.

Generarea hidrocarburilor

Evoluția materiei organice până la stadiul de hidrocarburi și/sau cărbuni are loc în diferite stadii în funcție de istoricul de îngropare și evoluția termală a formațiunilor (fig. 7.15).

Primul stadiu de evoluție se referă la *diageneză* și se sfârșește când acizii humici extractibili sunt mai mult sau mai puțin expulzați.

În stadiul de *catageneză* o parte din kerogen este convertită în hidrocarburi. Aceasta este principala zonă de generare a țițeiului și a gazelor umede (fereastra de petrol).

În următorul stadiu, de *metageneză*, rocile sursă de hidrocarburi eliberează gazele.

În final, atunci când evoluția termală este completă, în rocile sursă rămâne, diseminat, un reziduu bogat în carbon.

În figura 7.16. este prezentată relația dintre creșterea maturității kerogenului cu temperatura, respectiv adâncimea și tipurile de hidrocarburi care se formează, pentru condițiile din marea Nordului.

La adâncimi de îngropare mici, materia organică imatură generează metan biogenic produs de fermentarea bacteriilor și mici cantități de hidrocarburi grele.

Stadiul de maturitate timpurie și medie caracterizat de temperaturi cuprinse de 60 până la 130°C sau chiar mai mult (în funcție de timpul de îngropare). În acest interval sunt mari cantități de țiței și condensat.

Zona de supra-maturare (maturare târzie) a petrolului, caracterizată prin temperaturi mari, de peste 130°C, generează hidrocarburi din ce în ce mai ușoare, până la gaze uscate.

Un parametru important pentru estimarea cantităților de hidrocarburi generate îl constituie *factorul de transformare*. Acesta reprezintă raportul procentual dintre cantitatea de hidrocarburi generate, sau posibil a fi generate în condiții favorabile de timp și temperatură (timp suficient de îndelungat temperatură mare) și cantitatea de kerogen din roca sursă.

Acesta variază în funcție de tipul de kerogen (până la 80-90% în cazul kerogenului de tip I) și de istoricul de îngropare/temperatură al bazinului sedimentar.



Fig. 7.15. Evoluția materiei organice din momentul sedimentării, depozite de "suprafață," la zone adânc îngropate cu grad de metamorfism organic ridicat.

De asemenea, în cadrul bazinului de sedimentare, aceste valori variază destul de mult de la un loc la altul astfel că se pot observa diferențe foarte mari în ceea ce privește conservarea materiei organice și implicit în potențialul oleogenetic al sedimentelor oxice și anoxice aparținând aceluiasi bazin sedimentar.

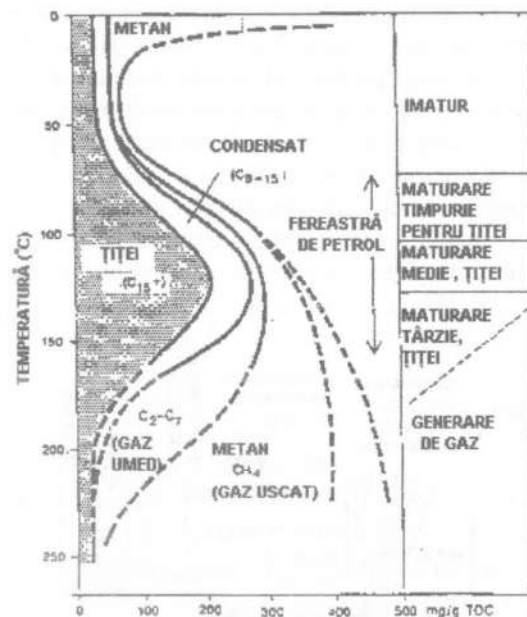


Fig.: 7.16. Generarea hidrocarburilor în relație cu temperatura (adâncimea de îngropare); maturizarea/generarea hidrocarburilor, pentru condițiile din bazinul mării Nordului (după Dinu - 1995).

7.3. MIGRAȚIA PETROLULUI

Procesele prin care hidrocarburile formate în roca sursă se deplasează prin roci și care au ca efect expulzarea și acumularea petrolului poartă denumirea de procese de migrație. Acestea sunt condiționate de mai mulți factori fizico-chimici aflați în strânsă legătură cu evoluția bazinului sedimentar.

Principalii factori determinați de evoluția bazinului și care condiționează procesele de migrație sunt:

- sarcina litostatică;
- regimul termic;
- natura fluidelor și a volumului de pori;
- regimul dinamic al fluidelor conținute.

Sarcina litostatică este o consecință directă a istoriei de îngropare a bazinului și a tipurilor de sedimente care se formează,

având densități și regimuri de comportare diferite.

Astfel un bazin de sedimentare cu un aflus de sedimente important și o subsidență activă va avea un regim de îngropare accelerat; deci creșterea sarcinii litostatice va fi rapidă.

De asemenea având în vedere densitatea diferită a tipurilor litologice (de exemplu calcarele au o densitate de aproximativ 2,7 g/cm³ în timp ce argilele au, în funcție de adâncime, densități cuprinse între 2,1 - 2,5 g/cm³) pentru aceeași grosime a stivei sedimentare pot apărea diferențe semnificative ale sarcinii litostatice.

Creșterea sarcinii litostatice are ca efect compactarea sedimentelor și implicit expulzarea fluidelor (eventual a hidrocarburilor) existente în volumul de pori al rocilor sursă.

În funcție de adâncimea de îngropare, timpul de îngropare a sedimentelor și de modelul litologic, grosimea și aranjamentul unităților litologice, tipurile de hidrocarburi formate mecanismele de expulzare, migrare a acestora vor fi diferite (fig. 7.17.).

Atunci când compactarea se face rapid, înainte ca procesul de maturare a materiei organice la hidrocarburi să fie realizat fluidele expulzate vor conține în special hidrocarburi gazoase și eventual țițeiuri grele (până la 5 - 10° A.P.I.) aflate într-un stadiu incipient de transformare.

Atunci când subsidența, sedimentarea și compactarea realizează un echilibru iar expulzarea se face mai ales după o suficientă maturare a sedimentului organic, în fereastra de petrol, vor fi expulzate diferite tipuri de țiței și gaze asociate. În această fază se întrunesc condiții favorabile generării unor importante cantități de petrol.

Dacă adâncimea de îngropare și metamorfismul organic au depășit fereastra de petrol se expulzează cantități din ce în ce mai mici de hidrocarburi, cu densități din ce în ce mai mici (gaze bogate - gaze sărace) până la încetarea expulzării în fazele de metageneză.

Un element mai puțin luat în calcul până în prezent îl constituie modelul de compactizare al rocilor suprapresurizate.

Astfel considerând o rocă sursă argiloasă, de grosime și extindere mare supusă unei îngropări rapide expulzarea fluidelor va avea un ritm accelerat la limitele formațiunii, ceea ce induce o compactizare → impermeabilizare a zonei limitrofe fețelor stratului (fig. 7.18.) și blocarea căilor de expulzare a hidrocarburilor

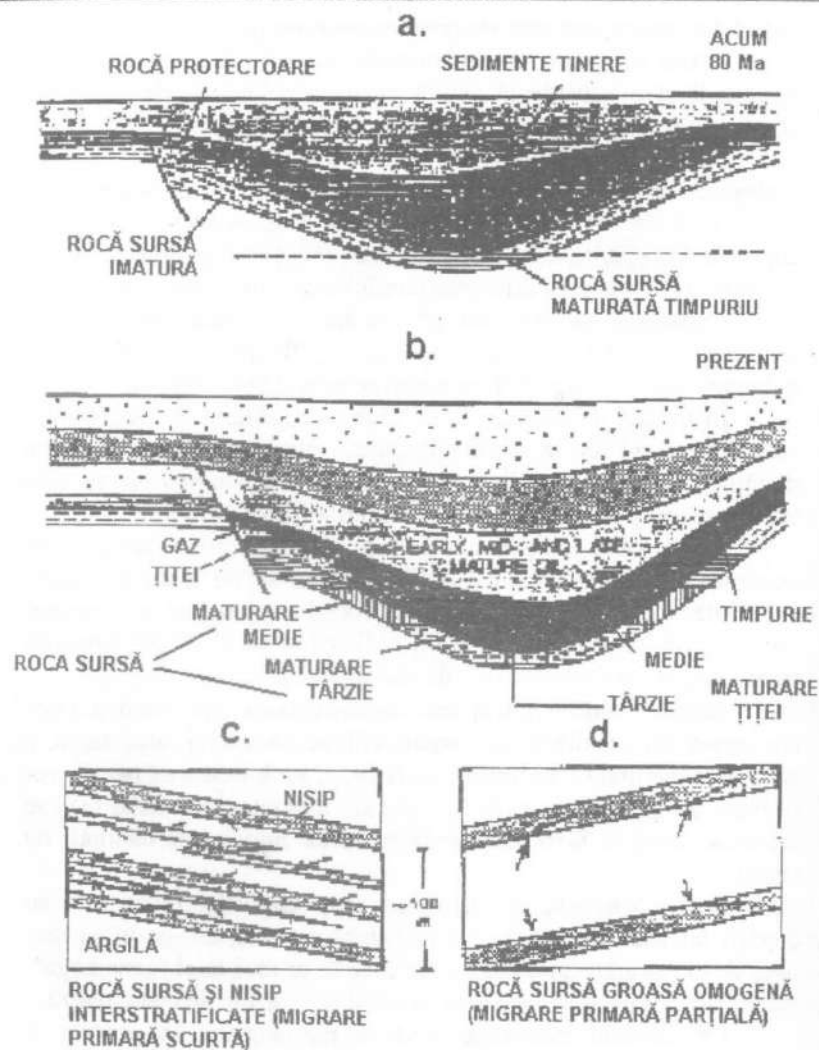


Fig. 7.17. Maturizarea progresivă a rocilor sursă de hidrocarburi și expulzarea petrolului în raport de creșterea subsidenței și a îngropării sub sedimente mai tinere:

- a) - numai partea cea mai adâncă din bazin atinge stadiul de rocă sursă maturată timpuriu cu generare de petrol greu;
 b) - mare parte din rocile sursă ating diferite stadii de maturizare, sunt generate tipuri diferite de petrol;
 c) ; d) - influența modelului litologic asupra proceselor de migrație.

În această situație hidrocarburi formate vor rămâne fixate în roca sursă generând suprapresiuni. Pe baza acestei constatări se poate considera că în general formațiunile suprapresurizate (având gradienti de presiune de peste 1,5 bar/10 m) sunt caracteristice zonelor în care expulzarea hidrocarburilor este deficitară și ca atare perspectivele formării zăcămintelor de hidrocarburi sunt mai puțin favorabile.

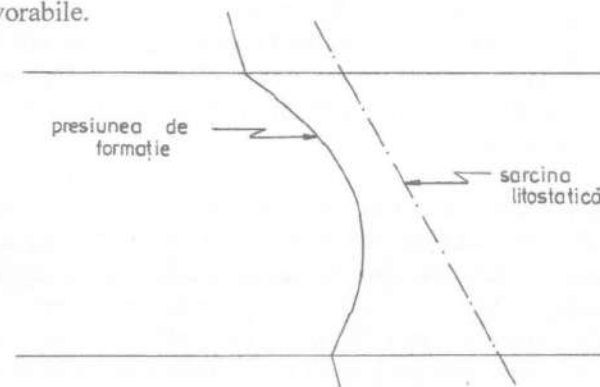


Fig. 7.18. Subcompactarea argilelor cu grosime mare și blocarea mecanismelor de expulzare a hidrocarburilor (după Chapman - 1976).

Regimul termic la care este supus sistemul rocă fluid este dependent de adâncimea de îngropare și de fluxul respectiv gradientul termic specific bazinului.

Deoarece efectele temperaturii asupra sedimentului organic au fost prezentate anterior în cele ce urmează vor fi prezentate în special influențele temperaturii asupra proceselor de migrație.

Astfel sedimentele îngropate la adâncime suficient de mare sunt expuse unor valori de temperatură ridicate ceea ce face ca starea de agitație termică a fluidelor conținute în rocă să se mărească. În raport cu aceasta are loc mărirea miscibilității sistemului apă-petrol, mărirea mobilității și volumului fluidelor ceea ce favorizează expulzarea acestora. De asemenea starea de agitație termică a fluidelor favorizează deplasarea acestora în cadrul rocii rezervor (migrația secundară).

Natura fluidelor și a volumului de pori. Tipul, cantitatea și caracteristicile fizice ale fluidelor conținute în porii rocilor sunt o consecință directă a regimului de sedimentare și a evoluției bazinului sedimentar. Astfel majoritatea zăcămintelor de hidrocarburi de vârstă

sarmato-pliocenă aparținând Platformei Moesice sunt gazeifere și conțin apă de zăcămintă cu salinitate redusă. Aceasta reflectă existența unui bazin lacustru și insuficienta maturare a materiei de origine organică datorită timpului scurt de formare al acestora.

Tot condițiilor specifice bazinului sedimentar se datorează variația volumului de pori al diferitelor formațiuni, în funcție de poziția lor pe suprafața bazinului. Astfel la nivelul formațiunilor oligocene aparținând Zonei Cutelor Diapire se poate observa a trecere graduală de la gresii curate (de tip Kliwa), pe rama nordică a bazinului, zona litorală, spre gresii cu conținut mai mare de argilă spre zona centrală, de larg.

Regimul dinamic al fluidelor conținute se referă în principal la modul în care condițiile de bazin influențează formarea unor acvifere active care să favorizeze procesele de migrație ale hidrocarburilor. Dacă analizăm de exemplu cazul unui bazin continental-fluvial se poate observa că variația condițiilor de sedimentare în lungul bazinului a dus la formarea mai multor lentile de roci poros permeabile incluse în depozite pelitice relativ continue. În acest caz se pot forma zăcămintă delimitate litologic, cu apă de talpă inactivă.

Atunci când, la nivelul bazinului sedimentar se pot urmări niveluri stratigrafice continue, pe suprafețe întinse, gradientul hidrodynamic influențat de înclinarea depozițională și structurală poate genera tipuri diferite de zăcămintă. Astfel la nivelul flancului cutat al Avandosei Pericarpatice, în Zona Mio-Pliocenă din Muntenia, extrapolând principiul lui Gussow la repartitia zăcămintelor aparținând ciclului sedimentar sarmato-pliocen se observă o trecere de la zăcămintă pur gazeifere, pentru aliniamentul sudic la zăcămintă mixte, țiței și gaze, pentru aliniamentele centrale și predominant de țiței pentru aliniamentele aflate în zona mai ridicată din nord.

7.4. CAPCANE; FORMAREA ZĂCĂMINTELOR

Este evident faptul că formarea capcanelor pentru hidrocarburi este o consecință directă a evoluției bazinelor de sedimentare. Dintre multiplele corelații existente între structura bazinului de sedimentare și forma acumulărilor de hidrocarburi vor fi prezentate numai câteva modele mai deosebite de capcane.

Considerăm un bazin sedimentar, poliistoric, în care sunt cantonate, la diferite niveluri stratigrafice, zăcămintă de hidrocarburi, în sens restrâns (fig. 7.19.). Bazinul este caracterizat de existența a două cicluri sedimentare majore separate de o suprafață de discordanță. De asemenea formațiunile de sub suprafața de discordanță sunt afectate de o falie normală contrară.

Dispoziția formațiunilor, variațiile de porozitate și permeabilitate, caracterul etanș ecran al faliei și suprafeței de discordanță, variațiile faciale au generat o multitudine de capcane și implicit, acumulări de hidrocarburi.

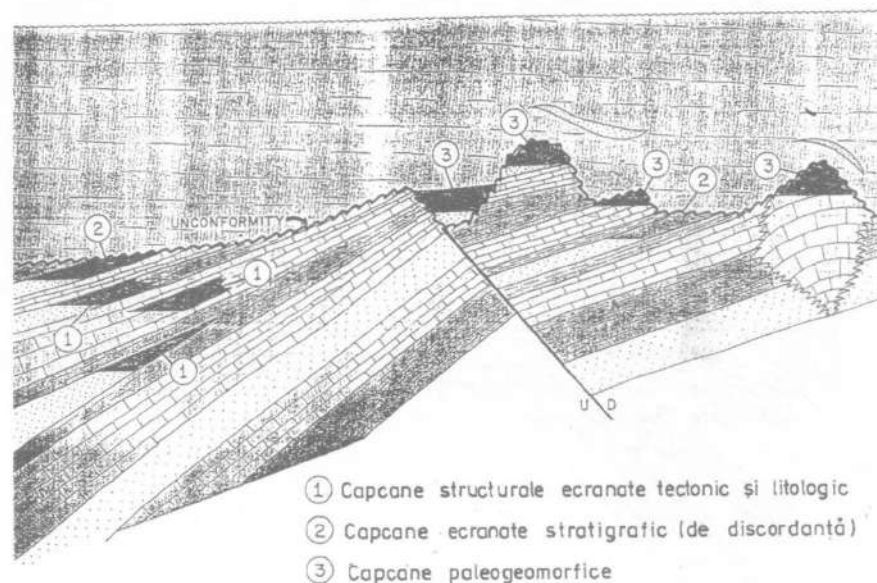


Fig.: 7.19. Dispunerea diferitelor tipuri de capcane în cadrul bazinului sedimentar (după Halbouty - 1980)

Dar nu numai structura internă (de adâncime) a bazinului sedimentar determină formarea capcanelor și a zăcămintelor de hidrocarburi. În unele cazuri acestea sunt generate de interacțiunea dintre factorii (structura) interni și factorii externi, de exemplu regimul hidrodynamic de suprafață. Astfel în figura 7.20. sunt

prezentate două tipuri de zăcăminte generate prin combinarea factorului structural-depozițional cu factorul hidrodinamic.

Rezervele de hidrocarburi, gaze, cumulate la nivelul bazinelor prezentate sunt foarte mari (zeci respectiv sute de miliarde n.m.c.) ceea ce demonstrează că și în cazul capcanelor subtile există posibilitatea formării unor zăcăminte importante de hidrocarburi.

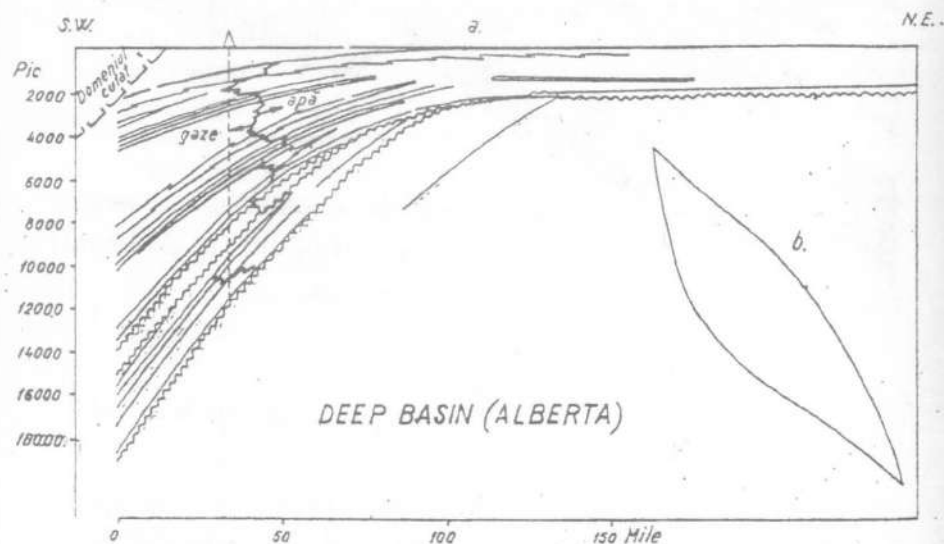
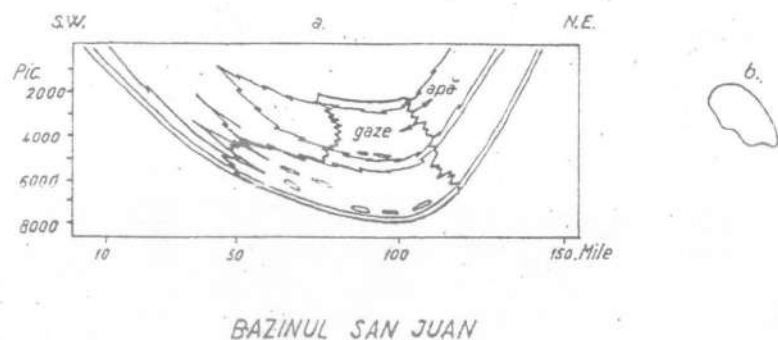


Fig.: 7.20. Capcane combinate, structural/hidrodinamice, pentru hidrocarburi (după Masters - 1979).

7.5. METODE DE EXPLORARE; SUPRAFEȚE DE PERSPECTIVĂ

Cercetarea bazinelor sedimentare în scopul evidențierii unor acumulări de hidrocarburi implică reconstituirea evoluției acestuia din momentul formării până în prezent, localizarea zonelor favorabile generării, migrării și acumulării hidrocarburilor, evidențierea eventualelor suprafețe de resurse și estimarea mărimii resursei geologice în funcție de care, pentru scenariul tehnologic-economic actual calcularea rezervelor și a rentabilității exploatarei.

Este evident că datorită întinderii bazinelor sedimentare cât și relativității parametrilor de calcul estimările sunt perfectibile și, nu de puține ori, datorită datelor de intrare mai puțin exacte, rezultatele obținute pot prezenta erori semnificative.

Prospecțiuni geofizice

Prin capacitatea de a obține informații referitoare la niveluri de mare adâncime situate până la zeci sau chiar sute de kilometri în interiorul globului terestru datele prospecțiunilor geofizice constituie un element fundamental al analizei bazinelor sedimentare.

Astfel cu ajutorul metodelor gravimetrice și electrometrice pot fi puse în evidență, cu destul de multă exactitate, limitele între principalele niveluri crustale și litosferice respectiv adâncimile de interceptare ale fundamentului cristalin, bazei crustei (discontinuitatea Mohorovicici) și eventual limita litosferă rigidă/astenosferă.

Bineînțeles că pot exista erori mai mari sau mai mici legate de achiziția procesarea și interpretarea datelor, dar principal, prin aplicarea unui algoritm corect de prelucrare și interpretare acestea pot fi reduse între niște praguri de eroare acceptabile.

Un interes aparte trebuie acordat prospecțiunilor seismice care ne oferă un set de informații mult mai extins privitor la limitele dintre formațiuni, dispunerea secvențelor depoziționale la nivelul bazinului sedimentar, raporturile dintre acestea, structura de adâncime etc. În ultimele decenii performanțele tehnologice ale prospecțiunilor seismice au permis dezvoltarea unui domeniu distinct – stratigrafia seismică – domeniu care, pe baza interpretării datelor

seismice ne poate furniza informații complexe referitoare la evoluția bazinelor sedimentare.

De asemenea prospecțiunile geofizice de suprafață ne pot oferi valori medii ale unor parametri fizici cum ar fi: densitatea rocilor, viteza de propagare a undelor seismice, porozitatea rocilor, etc.

Lucrări de cercetare geologică și foraje

Prin lucrările de cercetare geologică de suprafață pot fi puse în evidență o mulțime de date referitoare la dispunerea în suprafață a formațiunilor, raporturile structurale dintre acestea, litologie, litofaciesuri, etc. De asemenea existența forajelor de adâncimi cât mai mari ne oferă posibilitatea urmăririi extinderii în adâncime a aranjamentului structural, evidențierea limitelor reale dintre formațiuni, determinarea parametrilor fizici ai rocilor la diferite adâncimi, etc.

Datele geofizice coroborate cu cele geologice (fig. 7.21.) ne permit reprezentarea imaginii actuale a bazinului sedimentar.

Modele de bazin

Pe baza informațiilor obținute prin lucrările de cercetare, aplicând metodele corespunzătoare mecanismelor de subsidență/sedimentare la nivelul bazinului studiat se completează imaginea evoluției geologice a acestuia. Începând din această fază pot fi estimate suprafețe și formațiuni prezentând condiții favorabile pentru generarea și acumularea hidrocarburilor (fig. 7.21.).

Cercetarea geochimică

Datele geochemice obținute pe diferite tipuri de eșantioane (probe de suprafață, din carote, din geofizica de sondă, etc.) ne oferă o multitudine de parametri direcți referitori la potențialul oleogenetic cum sunt: reflectanța vitrinitului, conținutul în carbon organic total, tipul de kerogen, etc. De asemenea, pe baza istoricului de îngropare al formațiunilor se pot calcula indicii de maturare ai materiei organice și generare a hidrocarburilor (de exemplu indicele timp/temperatură – T.T.I.) pentru volumul de rocă sursă din cadrul

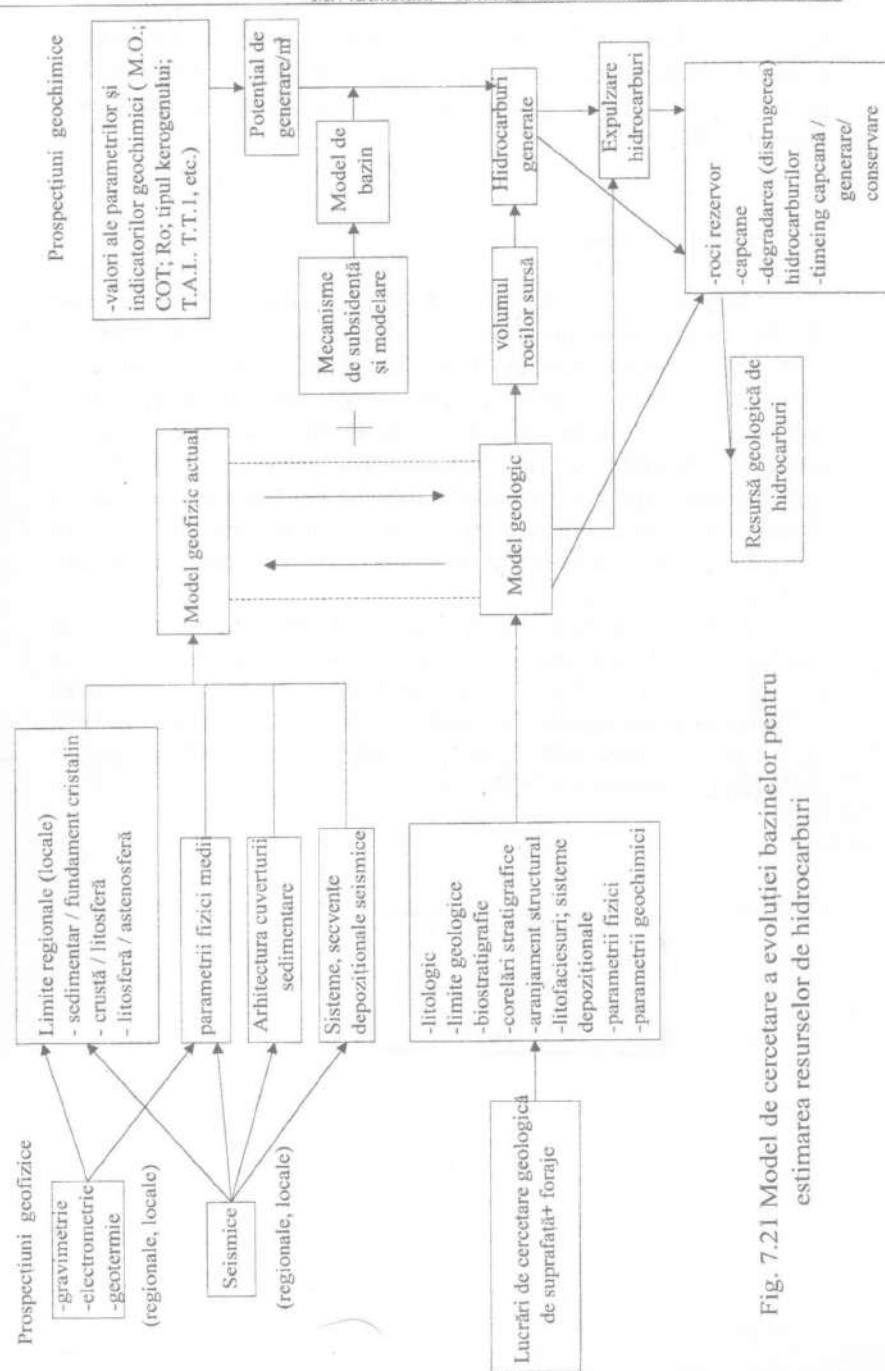


Fig. 7.21 Model de cercetare a evoluției bazinelor pentru estimarea resurselor de hidrocarburi

bazinului sedimentar. În acest mod se obține potențialul de generare al diferitelor tipuri de roci și, prin ponderare cu volumele calculate anterior pe baza datelor geologo-geofizice, potențialul de generare al bazinului (fig. 7.21.).

Estimarea resurselor → rezervelor

Se știe că o mare parte din hidrocarburile generate au fost distruse datorită evoluției geologice a bazinului (eroziune – oxidare, scufundare – incarbonizare). Având conturate zonele potențiale de acumulare – roci rezervor și condiții de capcană anterioare și contemporane migrației și care se mențin până în prezent – pot fi estimate volumele de rocă saturată (în proporții variabile) cu hidrocarburi. Aplicarea diverselor atribute tehnico-economice la nivelul resurselor estimate se realizează o apreciere asupra rezervelor de hidrocarburi exploatabile în momentul de față, în condiții economice favorabile.

Trebuie menționat de asemenea că în general studiile de bazin oferă o conturare grosieră a suprafețelor de resurse; pentru o estimare corectă a resurselor și rezervelor (posibilă numai pentru extinderea individuală a capcanelor, respectiv zăcămintului) fiind necesare lucrări de cercetare amănunțite prin mijloace și metode specifice geologiei zăcămintelor de hidrocarburi.



BIBLIOGRAFIE

1. AIRINEI ȘT. (1980) – Radiografia geofizică a teritoriului României; Editura Științifică și Enciclopedică, București.
2. AIRINEI ȘT. (1987) – Geotermia cu aplicații la teritoriul României; Editura Științifică și Enciclopedică, București.
3. ALLEN P. A., ALLEN G. P. – Basin Analysis. Principles and Applications; Blakwell Sci. Publ., Oxford.
4. ANASTASIU N., JIPA D. (1983) – Texturi și structuri sedimentare, Editura Tehnică, București.
5. ANASTASIU N. (1998) – Sedimentologie și petrologie sedimentară, Editura Universității, București.
6. ANGEVIVE C. L., TURCOTTE D. L. (1981) – Thermal subsidence and compaction in sedimentary basins, Application to Baltimore Canyon Through., A.A.P.G. Bull. vol. 67/2, Tulsa, Oklahoma.
7. ANGEVINE C. L., HELLER P. L., PAOLA C. (1990) – Quantitative Sedimentary Basin Modeling, Continuity Education Course Note Series #32, A.A.P.G. Tulsa, Oklahoma.
8. BADLEY M. E., EGEBERG T., NIPEN O. (1984) – Development of the rift basin illustrated by the structural evolution of the Oseberg feature, off shore Norway. Journal of Geological Society – London.
9. BADLEY M. E. (1992) – Practical Seismic Interpretation, Badleys Publ. Co.
10. BARBU A., SALI L., STĂNESCU V., (1981) – Unele conexiuni între ocurența petrolului în România și modelele tectonicii globale, Mine, petrol și gaze nr. 8, București.
11. BATISTATU M. V. (1992) – Evaluarea potențialului de generare a hidrocarburilor în cadrul formațiunilor oligocene situate la mare adâncime în zona cutelor diapire.
12. BEAUMONT C. (1981) – Foreland basins, Geophysical Journal of the Royal Astronomical Society – London.
13. BECA C.; PRODAN D. – Geologia zăcămintelor de hidrocarburi, Editura Didactică și Pedagogică, București.

14. BECA C. (1992) – Zăcămintele de hidrocarburi subacvatice de pe glob, Editura Didactică și Pedagogică, București.
15. BLEAHU M. (1983) – Tectonica globală – vol. I, Editura Șt. și Enciclopedică, București.
16. BLEAHU M. (1989) – Tectonica globală – vol. II, Editura Șt. și Enciclopedică, București.
17. BORDENAVE M. L. (1993) – Applied petroleum geochemistry, Editura Techniq, Paris.
18. BOTEZATU R. (1987) – Bazele interpretării geologice a informațiilor geofizice, Editura Tehnică, București.
19. CHAPMAN R. E. (1976) – Petroleum geology – a concise study, Editura Elsevier Scientific Publ. Co. Amsterdam.
20. DINU C. (1995) – Analiza cantitativă a bazinelor de sedimentare – manuscris curs – Universitatea din București.
21. EINSELE G. (1992) – Sedimentary Basins. Evolutions, Facies and Sediment Budget, Springer – Verlag, Berlin.
22. ESPITALIE J., BORDENAVE K. L. – Applied Petroleum Geochemistry, Edition Techniq.
23. FRUNZESCU D. (2000) – Noțiuni de sedimentologie, Editura Premier, Ploiești.
24. GEORGESCU P., IONESCU F., HOROMNEA M., POPESCU M. – Prospekțiuni geofizice., Editura didactică și Pedagogică, București.
25. GRASU C. (1997) – Geologie structurală, Editura Tehnică, București.
26. HALBOUTY M. (1980) – Methods used and Experience Gained in Exploration for New Oil and Gas Fields in Highly Explored (Mature) Areas – A.A.P.G. Bull vol. 64/8 – Tulsa Oklahoma.
27. HOBBS B., MEANS W., WILLIAMS P. (1988) – Principii de geologie structurală (traducere din limba engleză), Editura Științifică și Enciclopedică, București.
28. HUNT J. M. (1979) – Petroleum Geochemistry and Geology, Freeman Publ. Co. – San Francisco.
29. HUNT J. M. (1990) – Generation and Migration of Petroleum from Abnormally Pressured Fluid Compartments., A.A.P.G. Bull vol. 74/1 – Tulsa Oklahoma.
30. IOSIFESCU M., MIHOC GH., THEODORESCU R. (1966) – Teoria probabilităților și statistică matematică, Editura

- Tehnică, București.
31. JORDAN T. E. (1981) – Thrust brads and frieland basi evolution, Cretaceous, western uited States., A.A.P.G. Bull., vol. 65/12, Tulsa, Ocklahoma.
32. LĂZĂRESCU V. (1980) – Geologie fizică, Editura Tehnică București.
33. LEVORSEN A. A. (1967) – Geology of Petroleum (second edition), Freeman Publ. Co. San Francisco.
34. MATENCO L., BERTOTTI G. (2000) – Sin – and post – collisional SE Corporations Foreland Subsidence and slab position: an alternative to slab retreat and slab break – off models., SEG-EAGE-RSG Conference volume, București.
35. MIALI A. D. (1986) – Eustatic sea level changes interpreted from seismic stratigraphy: a critique of the methodology with particular reference to the North Sea Jurassic record. A.A.P.G. Bull. vol 70/2 Tulsa, Ocklahoma.
36. MUTIHAC V., IONESCU L. (1975) – Geologia României, Editura Tehnică, București.
37. MUTIHAC V. (1990) – Structura geologică a teritoriului României, Editura Tehnică, București.
38. NEGUȚ A. (1982) – Estimarea parametrilor ce caracterizează regimul termic al formațiunilor geologice în Muntenia și Oltenia, Teza de Doctorat, Universitatea din București.
39. PARASCHIV D. (1979) – Platforma Moesică și zăcămintele de hidrocarburi, Editura Academiei, București.
40. PARASCHIV D. (2000) – Geodynamic processes at Sarmațian – Pleistocene level of external foredeep of the Carpathian Arch., SEG-EAGE-RSG, Conference Volume, București.
41. PARKINSON N., SUMMERHAYES C. (1985) – Synchronous global sequence boundaries, A.A.P.G. Bull vol. 68/7, Tulsa, Ocklahoma.
42. PAULIUC S., DINU C. (1985) – Geologie structurală, Editura Tehnică București.
43. PAYTON C. (1977) – Seismic Stratigraphy – Applications to Hydrocarbon Exploration, A.A.P.G. Memoir 26, Tulsa, Ocklahoma.
44. PERRODON A. (1977) – Concept, modes et logique des bassins sédimentaires, Bull. centr. Rech. Explor. – Prod.

- Elf Aquilaine, 1/1 Pan.
45. PERRODON A. (1990) – Bazine sedimentare, provicii petrolifere și tectonica globală. Bul. St. I. P. G. G. vol. XX nr. 3.
 46. READING H. G. (1978) – Sedimentary Enviroments and Facies, Blackwell Scientific Publ. – Oxford.
 47. READING H. G., RICHARDS M. (1994) – Turbidites System in Deep – Water Basin Margins Clasified by Grain Size and Feeder System, A.A.P.G. Bull vol. 78/5, Tulsa Ocklahoma.
 48. ROYDEN H. L., BURCHFIEL B. C. (1988) – Thrust belt styles and plate boudary processes A.A.P.G. – Memories, vol. 45 – Tulsa, Ocklahoma.
 49. SĂNDULESCU M. (1983) – Le problème de la marge continentale européenne, An. Inst. Geol. și Geof. LX Tectonique, București.
 50. SĂNDULESCU M. (1984) – Geotectonica României, Editura Tehnică, București.
 51. SHERIFF R. E. (1982) – Structural interpretation of seismic data. A.A.P.G. Continuing Education Series 23, Tulsa.
 52. STĂNESCU V. (1993) – Zăcămintele de petrol (vol. 1 – 3), multiplical, Universitatea din București.
 53. STRAHLER A. N. (1973) – Geografia Fizică (traducere din limba engleză), Editura Științifică, București.
 54. STOCKMAL, G. S., BEAUMONT C., BOUTILIER R. (1986) – Geodynamic models of convergent margin tectonics. Transition from rifted margin to overthrust belt and consequences for foreland basin development., A.A.P.G. Bull vol. 70/2, Tulsa, Ocklahoma.
 55. TISSOT B. P., PELET R., UNGERER P. H. (1987) – Thermal History of Sedimetary Basins, Maturation Idices and Kinetics of Oil ad Gas Generation. A. A. P. G. Bull., vol. 71/12, Tulsa, Ocklahoma.
 56. VAIL P., MITCHUM R., THOMSON S. (1977) – Seismic stratigraphy and global changes of sea level, AAPG Bull., 26, Tulsa.
 57. VAN HINTE J. E. (1978) – Geohistory analysis – Application of micropaleontology in exploration geology. A.A.P.G. Bull vol. 62/2, Tulsa, Ocklahoma.
 58. VASILIU V. E. (1999) – Geochimia petrolului, Universitatea Petrol – Gaze Ploiești.

59. WAPLES D. W. (1980) – Simple method for oil surce bed evalution, A.A.P.G. Bull, vol. 64/2, Tulsa, Ocklahoma.
60. WILGUS CH. K. et. al. – Sea Level Changes. An Integrated Approach, SEPM Special Publ. 42, Tulsa, Ocklahoma.
61. ZIEGLER P. (1994) – Seismostratigraphic Principles of Basi Analysis (short course), Uiversitatea București.